

საქართველოს მეცნიერებათა აკადემია  
გახუშტი ბაგრატიონის სახელობის გეოგრაფიის ინსტიტუტი  
მ.ნოდიას სახელობის გეოფიზიკის ინსტიტუტი  
ჰიდრომეტეოროლოგიის ინსტიტუტი

GEORGIAN ACADEMY OF SCIENCES  
VAKHUSHTI BAGRATIIONI INSTITUTE OF GEOGRAPHY  
M. NODIA INSTITUTE OF GEOPHYSICS  
INSTITUTE OF HYDROMETEOROLOGY

АКАДЕМИЯ НАУК ГРУЗИИ  
ИНСТИТУТ ГЕОГРАФИИ ИМ. ВАХУШТИ БАГРАТИОНИ  
ИНСТИТУТ ГЕОФИЗИКИ ИМ. М.З. НОДИЯ  
ИНСТИТУТ ГИДРОМЕТЕОРОЛОГИИ

ქ.თავართქილაძე, ნ.ბეგალიშვილი, ჯ.ხარჩილავა, დ.მუმლაძე,  
ა.ამირანაშვილი, ჯ.ვაჩნაძე, ი.შენგელია, ვ.ამირანაშვილი

K. Tavartkiladze, N.Begalishvili, J. Kharchilava, D.Mumladze,  
A.Amiranashvili, J.Vachnadze, I.Shengelia, V.Amiranashvili

К.А.Таварткиладзе, Н.А.Бегалишвили, Д.Ф.Харчилава,  
Д.Г.Мумладзе, А.Г.Амиранашвили, Д.И.Вачнадзе,  
И.А.Шенгелия, В. А.Амиранашвили

ჰავის თანამედროვე ცვლილება საქართველოში.  
ჰავის ბანაზე გრეჭი ზომიერთი კარამეტრის რეზიგნი  
და მათი ცვალებადობა

CONTEMPORARY CLIMATE CHANGE IN GEORGIA.  
REGIME OF SOME CLIMATE PARAMETERS AND THEIR VAR-  
IABILITY

СОВРЕМЕННОЕ ИЗМЕНЕНИЕ КЛИМАТА В ГРУЗИИ.  
РЕЖИМ НЕКОТОРЫХ КЛИМАТООБРАЗУЮЩИХ  
ПАРАМЕТРОВ И ИХ ИЗМЕНЧИВОСТЬ

თბილისი  
2006

საქართველოს მეცნიერებათა აკადემია  
გახუშტი ბაგრატიონის სახელობის გეოგრაფიის ინსტიტუტი  
მ.ნოდიას სახელობის გეოფიზიკის ინსტიტუტი  
ჰიდრომეტეოროლოგიის ინსტიტუტი

GEORGIAN ACADEMY OF SCIENCES  
VAKHUSHTI BAGRATIONI INSTITUTE OF GEOGRAPHY  
M. NODIA INSTITUTE OF GEOPHYSICS  
INSTITUTE OF HYDROMETEOROLOGY  
АКАДЕМИЯ НАУК ГРУЗИИ  
ИНСТИТУТ ГЕОГРАФИИ ИМ. ВАХУШТИ БАГРАТИОНИ  
ИНСТИТУТ ГЕОФИЗИКИ ИМ. М.З. НОДИЯ  
ИНСТИТУТ ГИДРОМЕТЕОРОЛОГИИ

ქ.თავართქილაძე, ნ.ბეგალიშვილი, ჯ.ხარჩილავა, დ.მუმლაძე,  
ა.ამირანაშვილი, ჯ.ვაჩნაძე, ი.შენელია, გ.ამირანაშვილი  
K. Tavartkiladze, N.Begalishvili, J. Kharchilava, D.Mumladze,  
A.Amiranashvili, J.Vachnadze, I.Shengelia, V.Amiranashvili  
К.А.Таварткиладзе, Н.А.Бегалишвили, Д.Ф.Харчилава,  
Д.Г.Мумладзе, А.Г.Амиранашвили, Д.И.Вачнадзе,

ჟავოს თანამედროვე ცვლილება საქართველოში.  
ჟავოს განვითარების ზოგიერთი პარამეტრის ცვლილება და მათი  
ცვლილება

CONTEMPORARY CLIMATE CHANGE IN GEORGIA.  
REGIME OF SOME CLIMATE PARAMETERS AND THEIR  
VARIABILITY

СОВРЕМЕННОЕ ИЗМЕНЕНИЕ КЛИМАТА В ГРУЗИИ.  
РЕЖИМ НЕКОТОРЫХ КЛИМАТООБРАЗУЮЩИХ ПАРАМЕТРОВ  
И ИХ ИЗМЕНЧИВОСТЬ

რედაქტორი: ფიზ.-მათ. მეცნ. დოქტორი, პროფ. ზ.ხვედელიძე  
რეცენზიენტი: გეოგრ. მეცნ. დოქტორი რ.სამუკაშვილი.

ფიზ.-მათ. მეცნ. კანდიდატი გ.მესტიაშვილი.

**Editor:** Dr. Sci in Physics & Mathematics Prof. Z. Khvedelidze

**Reviewers:** Dr. Sci. in Geography R. Samukashvili

Cand. Sci. in Physics & Mathematics, G. Mestiashvili

**Редактор:** Доктор физ.-мат. наук, проф. З.В.Хведелидзе

**Рецензенты:** Доктор геогр. наук Р.Д.Самукашвили

Канд. физ.-мат. наук Г.А.Местиашвили

თბილისი

2006

**სარეკურსო ქოლეგია**  
ნ.ბეგალიშვილი  
(მთავარი რედაქტორი)  
ბ.ბერითაშვილი  
(რედაქტორის მოადგილი)  
გ.ელიზბარაშვილი  
ბ.მიკაშვიდე  
თ.ცინცაძე  
(მენეჯერი, ტექნიკური  
რედაქტორი)

**Editor Board**  
N.Begalishvili  
(Editor in Chief)  
B.Beritashvili  
(Deputy Ed.-in-Chief)  
E.Elizbarashvili  
B.Mikashavidze  
T.Tsintsadze  
(Meneger and  
Technological Chief)

**Редакционная коллегия**  
Бегалишвили Н.А.  
(Главный редактор)  
Бериташвили Б.Ш.  
(зам.гл.редактора)  
Элизбарашвили Э.Ш.  
Микашавидзе Б.А.  
Цинцадзе Т.Н.  
(Менеджер и технический  
редактор)

საქართველოს მეცნიერებათა აკადემია, პიდრომეტეოროლოგიის ინსტიტუტი.  
0112, თბილისი, დავით აღმაშენებლის გამზირი 150<sup>ა</sup>, ტელ: 951 047, 952 028, ფაქს: 951 160. ელ.ფოსტა: [nb@gw.acnet.ge](mailto:nb@gw.acnet.ge). WEB SITE: [www.acnet.ge](http://www.acnet.ge).

Georgia, David Agmashenebeli avn. 150<sup>a</sup>, Tbilisi, 0112, Georgian Academy of Sciences,  
Institute of Hydrometeorology. Tel.(995) 951 047, 952028. Fax.(995) 951 160. E-mail:  
[nb@gw.acnet.ge](mailto:nb@gw.acnet.ge). WEB SITE: [www.acnet.ge](http://www.acnet.ge).

Академия наук Грузии, Институт Гидрометеорологии. 0112, Тбилиси-12, пр.Д. Агмашенебели 150<sup>а</sup>, Тел.(995 32)951 047, 952 028, Факс (995 32)951 160, Е-mail:  
[nb@gw.acnet.ge](mailto:nb@gw.acnet.ge). WEB SITE: [www.acnet.ge](http://www.acnet.ge).

**ISBN 99928-885-4-7**

© პიდრომეტეოროლოგიის ინსტიტუტი



**პიდრომეტეოროლოგიის ინსტიტუტი**  
INSTITUTE OF HYDROMETEOROLOGY  
ИНСТИТУТ ГИДРОМЕТЕОРОЛОГИИ

**26.234.(24)**

**55.58(473.22)**

**0) 197**

განხილულია პავის განმსაზღვრელი ზოგიერთი პარამეტრის: თავისუფალ ატმოსფეროში ტემპერატურის და ტენშემცველობის ვერტიკალური განაწილების, ატმოსფეროში აეროზოლებისა და ოზონის შემცველობის, რადიაციის და ნიადაგის ზედაპირის ტემპერატურის რეჟიმი საქართველოს ტერიტორიაზე და მათი ცვალებადობა გლობალური პავის თანამედროვე დათბობის ფონზე.

წიგნი გამიზნულია რეგიონალური პავის რეჟიმის და ამ რეჟიმის ცვლილებით დაინტერესებულ პირთათვის.

The regime of some climate-forming parameters-vertical distribution of temperature and water contents in the free atmosphere, the aerosol and ozone content in the atmosphere, and of reactivation and soil surface temperature over the territory of Georgia is discussed along with their variability on the background of contemporary global climate warming.

The monograph is intended for researchers interested in the regional climate regime and its changes.

Рассмотрены некоторые климатообразующие параметры-вертикальное распределение температуры и влагосодержание в свободной атмосфере, содержание в атмосфере аэрозолей и озона, радиация и температурный режим поверхности почвы-и их изменчивость на территории Грузии на фоне глобального потепления климата.

Книга предназначена для лиц, интересующихся вопросами режима регионального климата и изменчивости этого режима.

## შინაარსი

შესაგალი	8
<b>თავი 1.</b> პარის ტემპერატურის ვერტიკალური განაწილების ცვალებადობა საქართველოში.....	20
1.1. პარის ტემპერატურის ვერტიკალური გრადიენტის ცვლილების რეგიონალური თავისებურებები .....	21
პარის ტემპერატურის ვერტიკალური გრადიენტის ცვალებადობა სეზონების მიხედვით.....	23
1.2. პარის ტემპერატურის ვერტიკალური გრადიენტის ცვლილების დღე-დამური ვარიაციები.....	26
1.3. ტემპერატურული ინვერსიები საქართველოში.....	27
1.4. მოდრულულობის გავლენა თავისუფალი ატმოს- ფეროს ტემპერატურულ სტრატიფიკაციაზე.....	29
ლიტერატურა.....	32
<b>თავი 2.</b> ტენშემცველობა თავისუფალ ატმოსფეროში და მისი ცვლილება 1940-1990-იან წლებში.....	35
2.1. ანალიზური კავშირი აბსოლუტური სინოტივის ვერ- ტიკალურ განაწილებასა და მიწისპირულ მნიშვნე- ლობას შორის.....	37
2.2 აბსოლუტური სინოტივე მიწისპირა ფენაში და თავი- სუფალ ატმოსფეროში.....	46
2.3. აბსოლუტური სინოტივის ვერტიკალური განაწი- ლების დღე-დამური და სეზონური ვარიაციები.....	52
2.4. მოდრულულობის გავლენა აბსოლუტური სინოტი- ვის ვერტიკალური განაწილებაზე .....	67
2.5. აბსოლუტური სინოტივის ვერტიკალური განაწილე- ბის ცვლილება 1940-1990-იან წლებში.....	70
ლიტერატურა.....	76
<b>თავი 3.</b> ატმოსფერული აეროზოლების ოპტიკური სიმკვრი- ვის განაწილებისა და ცვლილების ემპირიული მო- დელი .....	78

3.1.	მზის ნათების ხანგრძლივობისა და ქარის გავლენა აეროზოლების ოპტიკურ სიმკვრივეზე.....	80
3.2.	რელიეფის გავლენა ატმოსფერული აეროზოლების ოპტიკურ სიმკვრივეზე.....	85
3.3.	აეროზოლების ოპტიკური სიმკვრივის კავშირი ატმო- სფერულ პარამეტრებთან და მისი გამოყენების შესა- ძლებლობა ატმოსფეროს გაჭუჭყანების ტერიტორიუ- ლი ინტერპოლირებისას.....	87
3.4.	საქართველოს ტერიტორიაზე აეროზოლების ოპტიკუ- რი სიმკვრივის განაწილების რუკები.....	90
	<b>ლიტერატურა.....</b>	<b>98</b>
<b>თავი 4.</b>	<b>ოზონის ვერტიკალური განაწილება ატმოსფეროში, მისი ტერიტორიული და დროითი ვარიაციები.....</b>	<b>100</b>
4.1.	ოზონის ვერტიკალური განაწილება საქართველოში.....	103
4.2.	ზოგიერთი ატმოსფერული პროცესების გავლენა ოზო- ნის ვერტიკალურ განაწილებაზე.....	109
	<b>ლიტერატურა.....</b>	<b>119</b>
<b>თავი 5.</b>	<b>საქართველოს ტერიტორიაზე რადიაციული ნაკადების ცვალებადობის ემპირიული მოდელი.....</b>	<b>121</b>
5.1.	მზის რადიაციის ცვალებადობა .....	123
5.2.	რადიაციული ბალანსის ცვალებადობა.....	125
	<b>ლიტერატურა.....</b>	<b>142</b>
<b>თავი 6.</b>	<b>ნიადაგის ზედაპირის ტემპერატურული ველი და მისი ცვალებადობა საქართველოში.....</b>	<b>146</b>
6.1.	ნიადაგის ზედაპირის ტემპერატურული ველის რეჟიმი საქართველოში.....	147
6.2.	ნიადაგის ზედაპირის ტემპერატურული ველის ცვალე- ბადობა.....	159
	<b>ლიტერატურა.....</b>	<b>170</b>

ՊՐԵՍԻԴԵՆՏԻ ՀԱՅՐԱԴԻՆԻ

ჰავის თანამედროვე გლობალური დათბობის ფონზე, დედა-  
მიწის ზოგიერთ რეგიონში აცივების პროცესი მიმდინარეობს.  
საქართველოს ტერიტორია რეგიონთა ასეთ რიცხვს მი-  
ეკუთვნება. აღმოსავლეთ საქართველოში დათბობის პარალე-  
ლურად, დასავლეთ საქართველოში თითქმის მთელი საუკუნეა  
აცივების პროცესია გაბატონებული. დათბობიდან აცივებაში  
(ან პირიქით) გადასვლა თანდათანობით არ ხდება. დათბობის  
ზონაში, აცივების საზღვართან მკვეთრი აცივების გირზ  
ზოლი, ხოლო აცივების ზონაში ასევე საზღვართან დათბობის  
ზოლია გამოკვეთილი.

წინამდებარე წიგნში განხილულია პავის განმსაზღვრელი ექვსი პარამეტრის (ტემპერატურის და ტენშემცველობის განაწილება თავისუფალ არმოსფეროში, აეროზოლებისა და ოზონის შემცველობა, რადიაცია და ნიადაგის ზედაპირის ტემპერატურა) რეჟიმული მახასიათებლები და მათი ტერიტორიული და დროის მიხედვით ცვალებადობა.

განხილული პარამეტრების რეკიმული თუ რეკიმული მდგომარეობის ცვლილებების დასაღენად გამოყენებულია საქართველოში არსებული ჰიდრომეტეოროლოგიური ქსელის თუ ცალკეული მსხვილმასშტაბიანი ექსპედიციების (სრულყოფილი) ფაქტიური მონაცემები.

დადგენილია პაერის ტემპერატურის ტროპოსფეროში ვერ-ტიკალური განაწილების თავისებურებები, ამ თავისებურებათა რეგიონალური ცვალებადობა, დღე-დამური ვარიაციები, ინვერ-სიების მდგრადობა და ლრუბლიანობის გავლენა თავისუფალი ატმოსფეროს ტემპერატურულ სტრატიფიკაციაზე.

შესწავლილია და გადმოცემულია აბსოლუტური სინოტივის ვერტიკალური განაწილების კანონზომიერებები. კერძოდ, დადგენილია ანალიზური კავშირი აბსოლუტური სინოტივის მიწისპირულ მნიშვნელობასა და მის ვერტიკალურ განაწილებას შორის; აბსოლუტური სინოტივის ვერტიკალური განაწილების დღვე-დამური და სეზონური ვარიაციები; ღრუბლიანობის გაგლენა აბსოლუტური სინოტივის ვერტიკალურ განაწილებაზე. დადგენილია აბსოლუტური სინოტივის ვერტიკალური განაწილების ცვლილების თავისებურებები 1940-1990-იან წლებში.

ჰავის ცვლილების გამომწვევი ერთ-ერთი ძირითადი პარამეტრი ატმოსფერული აეროზოლებია. მათზე მუდმივი დაკვირვებები მე-20-ე საუკუნის მხოლოდ შეა წლების შემდეგ იწყება. ატმოსფეროს გაჭუჭყიანების დონის რაოდენობრივი განახლებისა ზღვრების – ატმოსფერული აეროზოლების ოპტიკური სიმკვრივის რეჟიმული მდგრმარეობა და ცვლილებები განსაზღვრულია საქართველოში დამუშავებული ოპტიკურ-მეტეოროლოგიური მეთოდით. შესწავლილი და გადმოცემულია მზის ნათების ხანგრძლივობისა და ქარის სიჩქარის გავლენა აეროზოლების ოპტიკურ სიმკვრივეზე; გამოკვლეულია ატმოსფერული აეროზოლების ოპტიკური სიმკვრივის კავშირი ატმოსფერული მდგრმარეობის განახლებრელ ძირითად ფიზიკურ პარამეტრებთან, მათი შემდგომი გამოყენების მიზნით აეროზოლების ტერიტორიული ინტერპოლირებისათვის. აგებულია საქართველოს ტერიტორიაზე ატმოსფერული აეროზოლების ოპტიკური სიმკვრივის განაწილების რუკები სხვადასხვა პერიოდების მიხედვით.

მზე-ატმოსფერო-დედამიწის ენერგეტიკულ სისტემაში ოზონის შემცველობას ატმოსფეროში მნიშვნელოვანი აღგილი უჭირავს. დაკვირვებები ოზონის საერთო რაოდენობის შემცველობაზე და მის ვერტიკალურ განაწილებაზე საქართველოში წლების განმავლობაში ტარდებოდა. გამოყენებულია რა საქართველოში და საქართველოს საზღვრების გარეთ არსებული ოზონზე დაკვირვების მდიდარი მასალა, დადგენილია ოზონის ვერტიკალური განაწილების კანონზომიერებები საქართველოში და ამ კანონზომიერებათა სახელმწიფო მინისტრის მიმღები გამოწვეული მათზე ატმოსფერული პროცესების ზეგავლენით.

ქვეყნილი ზედაპირის და მიმდებარე ატმოსფეროს რადიაციული რეჟიმი უშეალო გავლენას ახდენს ჰავის ფორმირებასა და მისი წონასწორობის შენარჩუნებაზე. საქართველოში დაკვირვებები რადიაციის, როგორც მოკლეტალდიან ნაკადებზე (პირდაპირი, გაბნეული, ზედაპირიდან არეკლილი სხივური ენერგია), ასევე გრძელტალდიანზე (ქვეფენილი ზედაპირის ეფექტური გამოსხივება) ნახევარ საუკუნეზე მეტი პერიოდის განმავლობაში ტარდებოდა. აღნიშნული დაკვირვების მასალების გამოყენებით შესწავლილი და დადგენილია საქართვე-

ლოს ტერიტორიაზე რადიაციული ნაკადების რეჟიმული მდგომარეობა და მათი ცვალებადობის სურათი პავის თანამედროვე ცვლილების ფონზე.

პავის ცვლილების შეფასების ერთერთი ძირითადი პარამეტრი ქვეყნილი ზედაპირის ტემპერატურული ველის რეჟიმული მდგომარეობა და ამ მდგომარეობის ტენდენციური ცვლილებაა დათბობის ოუ აცივების მიმართულებით. გამოყენებულია რა საქართველოს ტერიტორიაზე არსებული ნიადაგის ზედაპირის ტემპერატურაზე დაკვირვების მასალები, შესწავლილი და გადმოცემულია ნიადაგის ზედაპირის ტემპერატურული ველის რეჟიმული მდგომარეობის სრული სურათი და მისი ტენდენციური ცვლებადობის თავისებურებანი. აგებულია საქართველოს ტერიტორიაზე ნიადაგის ტემპერატურული ველის ცვლილების სეზონური რუკები.

დასასრულს უნდა აღინიშნოს, რომ აქ თავმოყრილი პავის განმსაზღვრელი ზოგიერთი პარამეტრის რეჟიმისა და ცვლილების შესწავლა ჩატარებულია იმ ხარვეზების შესავსებად, რომელსაც წინამდებარე ნაშრომის ავტორთა კოლექტივი წარმატების საქართველოში პავის ცვლილების ენერგობალანსური მოდელის შექმნის მცდელობისას.

წიგნში წარმოდგენილი ყველა საკითხის კვლევის პროცესში ავტორთა მთელი კოლექტივი იდებდა მონაწილეობას. ეს ხორციელდებოდა აგტორთა პერიოდული შეხვედრებით, რომლის დროსაც კვლევის პროცესის და მიღებული შედეგების განხილვა და გაანალიზება ხდებოდა. ამასთან ერთად, ყოველ თავს ჰყავდა კონკრეტული პასუხისმგებლები, რომლებმაც შესწავლილი საკითხები წიგნში მოცემული სახით ჩამოაყალიბება:

I თავი ჯ.ვაჩნაძემ,

II თავი ნ.ბეგალიშვილმა,

III თავი ა.ამირანაშვილმა და ვ.ამირანაშვილმა,

IV თავი ჯ.ხარჩილავამ,

V თავი კ.თავართქილაძემ და ი.შენგელიამ,

VI თავი დ.მუმლაძემ.

სამუშაოს ხელმძღვანელობდა კ.თავართქილაძე.

## CONTENTS

<b>Introduction.....</b>	8
<b>Chapter 1.</b> Air temperature vertical distribution variability in Georgia..	20
1.1. Regional peculiarities of air temperature vertical gradient variability.....	21
1.2. Seasonal air temperature vertical gradient variability.....	23
1.3. Diurnal changes of air temperature vertical gradient variability.....	26
1.4. Temperature inversions in Georgia.....	27
1.5. Cloudiness impact upon free atmosphere temperature stratification.....	29
References.....	32
<b>Chapter 2.</b> Free atmosphere water content and its variability in 1940-1990 .....	35
2.1. Analytical relation between absolute humidity vertical distribution and surface layer values.....	37
2.2. Absolute humidity in surface layer and in the free atmosphere.....	46
2.3. Diurnal and seasonal variations of absolute humidity vertical distribution.....	52
2.4. Cloudiness impact upon absolute humidity vertical distribution.....	67
2.5. Absolute humidity vertical distribution variability in 1940-1990.....	70
References.....	76
<b>Chapter 3.</b> Empirical model of atmospheric aerosol optical density distribution and variability.....	78
3.1. Solar radiation duration and wind impact upon aerosol optical density.....	80
3.2. Relief impact upon atmospheric aerosol optical density.	85
3.3. Aerosol optical density relation with atmospheric parameters and possibilities of its application during atmospheric pollution territorial interpolation.....	87
3.4. Maps of aerosol optical density distribution over the territory of Georgia .....	90

References.....	98
<b>Chapter 4.</b> Ozone vertical distribution in the atmosphere, it's territorial and temporal variations.....	100
4.1. Ozone vertical distribution in Georgia.....	103
4.2. Impact of some atmospheric processes upon ozone vertical distribution .....	109
References.....	119
<b>Chapter 5.</b> Empirical model of radiation flow variability over Georgian territory.....	121
5.1. Solar radiation variability.....	123
5.2. Radiation balance variability.....	125
References.....	142
<b>Chapter 6.</b> Soil surface temperature field and its variability in Georgia.....	146
6.1. Soil surface temperature field regime in Georgia.....	147
6.2. Soil surface temperature field variability.....	159
References.....	170

## S U M M A R Y

On the background of climate contemporary global warming, in some regions of the earth process of cooling is observed. Georgia's territory is one of them. Along with warming in Eastern Georgia, in Western Georgia the cooling process has been dominated almost for a century. The passing from warming to cooling (or vice versa) is not a gradual process. In the zone of warming, at the cooling border, a sharp, narrow cooling stripe is distinguished as a warming one is observed in the cooling zone.

The present work deals with regime characteristics of 6 climate determining parameters (temperature and water content distribution in the free atmosphere, aerosol and ozone content, radiation and ground surface temperature) and their territorial and temporal variation.

To determine the regime or the state of regime variations of above mentioned parameters, actual data of hydrometeorological network available in Georgia or separate large scale expeditions have been used.

The peculiarities of air temperature vertical distribution in the troposphere, regional variability of these characteristics, diurnal variation, sustainability of inversions and the impact of cloudiness upon free atmosphere temperature stratification are determined.

Absolute humidity vertical distribution regularities have been studied and presented. In particular, there have been studied and presented analytical relation between absolute humidity surface layer value and its vertical distribution, absolute humidity vertical distribution diurnal and seasonal variations, the impact of cloudiness upon absolute humidity vertical distribution. Peculiarities of variation of absolute humidity vertical distribution in 1940-1990 are defined.

Aerosols represent one of the main sources causing the climate change, observations on which were started only in the middle of the 20-th century. The level of atmospheric pollution quantitatively has been determined by means of defining the regime and changes of atmospheric aerosol optical density have been determined by optical and meteorological method, worked out in Georgia.

The impact of solar radiation duration and wind velocity upon aerosol optical density have been studied, relation of atmospheric aerosol optical density with main physical parameters, determining the state of the atmosphere for their further use in aerosol territorial interpolation is exam-

ined. Maps of distribution of atmospheric aerosol optical density over Georgia's territory in various periods have been worked out.

In the sun-atmosphere-earth energetic system, ozone content in the atmosphere plays an important role. Observations over ozone overall content and its vertical distribution have been conducted in Georgia for years. Having used the observational data available in Georgia and abroad, ozone vertical distribution regulations in Georgia and their variations, caused by the impact of atmospheric processes upon them, have been determined.

Radiation regime of surface layer and adjacent atmosphere has a direct impact upon climate formation and preservation of its balance. Observations upon both short-wave flows-(direct and scattered radiation energy, reflected from the surface) and long-wave (surface layer effective radiation) have been conducted for more than half a century. Regime of radiation flows and the pattern of their variability in Georgia have been determined on the background of contemporary changes by means of indicated observation data.

One of the main parameters of climate change assessment is the state of the regime of surface layer temperature field and its tendency to change in the direction of warming or cooling .

A complete pattern of the state of ground surface temperature field regime peculiarities and of its trend to change have been studied and presented by means of ground surface temperature observation data, available in Georgia.

Seasonal maps of ground temperature field variability over Georgia's territory have been worked out.

In addition, it should be noted that investigations of the regime and changes of some climate parameters, presented here, have been conducted to fill those gaps, which were revealed by the authors of the present work while working out the climate change energy-balance model.

## ОГЛАВЛЕНИЕ

<b>Введение.....</b>	<b>8</b>
<b>Глава 1. Изменчивость вертикального распределения</b>	
температуры воздуха в Грузии.....	20
1.1. Региональные особенности изменчивости вертикаль- ного градиента температуры воздуха.....	21
1.2. Сезонные изменения вертикального градиента темпе- ратуры воздуха.....	23
1.3. Суточные вариации вертикального градиента темпе- ратуры воздуха.....	26
1.4. Инверсии температуры воздуха в Грузии.....	27
1.5. Влияние облачности на температурную стратифика- цию свободной атмосферы.....	29
Литература.....	32
<b>Глава 2. Влагосодержание в свободной атмосфере и ее</b>	
изменчивость в 1940-1990гг.....	35
2.1. Эмпирическая связь между вертикальным распреде- лением и приземным значением абсолютной влажности.....	37
2.2. Абсолютная влажность в приземном слое и в свободной атмосфере .....	46
2.3. Суточные и сезонные вариации вертикального распределения абсолютной влажности.....	52
2.4. Влияние облачности на вертикальное распределение абсолютной влажности.....	67
2.5. Изменчивость вертикального распределения абсолют- ной влажности в 1940-1990г.г.....	70
Литература.....	76
<b>Глава 3. Эмпирическая модель распределения и изменения</b>	
аэрозольной оптической толщи атмосферы.....	78
3.1. Влияние продолжительности солнечного сияния и ветра на аэрозольную оптическую толщу атмосферы.....	80
3.2. Влияние рельефа на аэрозольную оптическую толщу	

атмосферы.....	85
3.2. Связи аэрозольной оптической толщи атмосферы с параметрами атмосферы и возможность их использования для территориальной интерполяции уровня загрязненности атмосферы .....	87
3.5. Карты распределения аэрозольной оптической толщи атмосферы над территорией Грузии.....	90
Литература.....	98
<b>Глава 4. Вертикальное распределение озона в атмосфере, его территориальные и временные вариации.....</b>	<b>100</b>
4.1. Вертикальное распределение озона в Грузии .....	103
4.2. Влияние некоторых атмосферных процессов на вертикальное распределение озона.....	109
Литература.....	119
<b>Глава 5. Эмпирическая модель изменчивости радиационных потоков на территории Грузии.....</b>	<b>121</b>
5.1. Изменчивость солнечной радиации.....	123
5.2. Изменчивость радиационного баланса.....	125
Литература.....	142
<b>Глава 6. Поле температуры поверхности почвы в Грузии и его изменчивость.....</b>	<b>146</b>
6.1. Режим температурного поля поверхности почвы в Грузии.....	147
6.2. Изменчивость температурного поля поверхности почвы.....	159
Литература.....	170

## **ПРЕДИСЛОВИЕ**

На фоне современного глобального потепления климата в некоторых регионах земли происходит процесс похолодания. Грузия относится к числу таких регионов. Параллельно с потеплением в Восточной Грузии, в западной её части почти в течение целого столетия идет процесс похолодания. Переход от потепления к похолоданию (или наоборот) не происходит постепенно. В зоне потепления у границы похолодания выделяется узкая полоса резкого похолодания, а в зоне похолодания, также у границы, выделяется зона резкого потепления.

В настоящей книге рассмотрен режим шести определяющих климат параметров (распределение температуры и влагосодержания в свободной атмосфере; содержание аэрозолей и озона; радиация и температура поверхности почвы) и их изменчивость по территории и во времени.

Для определения режима указанных параметров и их изменчивости использованы данные существующей в Грузии гидрометеорологической сети и надежные фактические данные отдельных крупномасштабных экспедиций.

Установлены особенности вертикального распределения температуры воздуха в тропосфере, региональная изменчивость этих особенностей, суточные вариации, устойчивость инверсий и влияние облачности на температурную стратификацию свободной атмосферы. Изучены закономерности вертикального распределения абсолютной влажности воздуха. В частности, установлены: эмпирическая связь между приземным значением абсолютной влажности воздуха и её вертикальным распределением; суточные и сезонные вариации абсолютной влажности; влияние облачности на вертикальное распределение абсолютной влажности. Выявлены особенности изменения вертикального распределения абсолютной влажности в 1940-1990г.г.

Одним из основных параметров обуславливающих изменение климата является атмосферные аэрозоли. Регулярные наблюдения за ними были начаты лишь после середины XX века. Режим уровня аэрозольного загрязнения атмосферы и его изменчивость определялись по данным об аэрозольной оптической толще атмосферы, рассчитанных с использованием разработанного в Грузии оптико-

метеорологического метода. Изучено влияние продолжительности солнечного сияния, и скорости ветра на аэрозольную оптическую толщу атмосферы. Исследована связь аэрозольной оптической толщи атмосферы с основными физическими параметрами, определяющими состояние атмосферы. Составлены карты распределения аэрозольной оптической толщи атмосферы над территорией Грузии для различных периодов времени.

В энергетической системе Солнце-атмосфера земли содержание озона в атмосфере занимает значительное место. Наблюдения за общим содержанием озона и его вертикальным распределением проводились в Грузии в течение ряда лет. С использованием имеющегося в Грузии и за ее пределами богатого материала наблюдений за озоном установлены закономерности его вертикального распределения в Грузии и изменение вида этих закономерностей под влиянием атмосферных процессов.

Радиационный режим приземного слоя и прилегающей к нему атмосфере оказывает непосредственное влияние на формирование климата и сохранение его устойчивости. В Грузии наблюдения за солнечной радиацией, как её коротковолновыми потоками (прямая, рассеянная, отраженная поверхностью земли лучистая энергия), так и длинноволновыми (Эффективное излучение земной поверхности) проводились в течение более пятидесяти лет. С использованием данных указанных наблюдений исследован режим радиационных потоков и их изменчивости на территории Грузии на фоне современного изменения климата.

Одним из важнейших параметров климата является состояние режима температуры поверхности почвы и его изменение в направлении потепления или похолодания. С использованием имеющихся в Грузии данных о температуре поверхности почвы проведено исследование состояния режима указанного параметра и особенностей тенденции изменения этого состояния. Построены карты изменчивости поля температуры поверхности почвы на территории Грузии по сезонам года.

В заключение следует отметить, что представленные выше результаты исследований некоторых параметров, определяющих климат, направлены на устранение тех недостатков, с которыми коллектив авторов данной книги столкнулся при создании энергобалансовой модели изменения климата Грузии.

В процессе исследования всех вопросов, затронутых в книге, участие принимал весь коллектив авторов. Это осуществлялось при периодических встречах авторов, во время которых проводились обсуждение и анализ полученных результатов. В тоже время у каждой главы книги имелись свои ответственные исполнители, которыми исследованные вопросы представлены в книге следующим образом:

Глава 1- Д.Вачнадзе,

Глава 2 – Н. Бегалишвили,

Глава 3– А.Амиранашвили, В.Амиранашвили,

Глава 4 – Д.Харчилава,

Глава 5 – К.Таварткиладзе, И.Шенгелия,

Глава 6 – Д.Мумладзе.

Общее руководство работой осуществлял К.Таварткиладзе.

## თავი 1.

### ჰამრის ტემპერატურის ვერტიკალური გრადიენტის ცვალებაზობა საქართველოში

მეცნიერებისა და ტექნიკის სწრაფი განვითარების მიუხედავად XXI საუკუნეშიც კი ადამიანი დამოკიდებულია ამინდის ცვალებაზე, მის ჭირვეულობაზე და განსაკუთრებით ექსტრემალურ გამოვლინებებზე - ძლიერი ქარი, უხვი თოვლი, თავსება წვიმა გვალვა, სერევა, წაყინვები თუ სხვ. ამ პრობლემისადმი ინტერესს ადასტურებს მრავალრიცხვობის საერთაშორისო კონფერენციები და სიმპოზიუმები, რომლებიც იმართება მსოფლიოს სხვადასხვა ქვეყნებში. ჰავის ცვლილების შესახებ არსებობს უამრავი ლიტერატურა [16,17,18,19 და სხვ.] ცალკე შეიძლება გამოვყოთ ის შრომები, რომლებშიც ავტორები ცდილობენ იწინასწარმეტყველონ მომავლის კლიმატი [20,21] განსაკუთრებით ინტერესს იწვევს ჰავის ცვლილების შესაძლო სცენარების განხილვა [22].

ამ საყოველოაო ინტერესის ფონზე გამორჩეულია ქართველი მეცნიერების შრომები. მათ შორის საფუძვლიანად არის შესწავლილი საქართველოს კლიმატის შესახებ არსებული ცნობები ანტიკური ხანიდან [1,2]. ცალკე შეიძლება აღინიშნოს საქართველოს კლიმატური რესურსების [23], ჰავის თანამედროვე ცვლილების [5,6] და სხვა მრავალრიცხვობის შრომები, რომლებშიც შედარებით უფრო დეტალურად არის განხილული საქართველოს კონკრეტული რეგიონის კლიმატის თავისებურება [24] თუ მოცემული მეტოველების სივრცით და დროითი ცვალებაზობა.

მკვლევართა დიდი ნაწილის აზრით ურბანიზაციის ეფექტმა და რადიაციული რეჟიმის შეცვლამ [7,8,9] შეიძლება გამოიწვიოს საქართველოში ჰაერის ტემპერატურის საგრძნობი მატება, რასაც შედეგად მოყვება გვალვიანობის სიხშირისა და ინტენსივობის ზრდა [10,11], განსაკუთრებით აღმოსავლეთ საქართველოში [12]. შედარებით უფრო დეტალურად არის შესწავლილი ტემპერატურული ველი [13] და მისი შესაძლო ცვლილების ალბათობა [5,6].

წვენი კვლევის ობიექტს წარმოადგენს ტროპიკულეროში ტემპერატურული ველის ერტიკალური განაწილება და მისი

ცვლილება საქართველოში. ატმოსფეროს ქვედა საზღვარზე ტემპერატურის ვერტიკალური ცვალებადობა მსოფლიო მასშტაბით განხილულია შრომაში [25]. ამიერკავკასიაში აეროლოგიური კვლევის მირითადი შედეგები მოცემულია მონოგრაფიაში [26], სადაც განხილულია ტემპერატურის ცვლილების ვერტიკალური გრადიენტიც. ვერტიკალური დენების კავშირი ოზონის კონცენტრაციის შესაძლო ცვალებადობაზე განხილულია [27,28]-ში. ქ. ობილისის მაგალითზე ჩვენ შევვცადეთ დაგვედგინა პაერის ტემპერატურის ვერტიკალური გრადიენტის ცვალებადობა 1945-1955 და 1975-1990 წლებში [14]. გარკვეულ ინტერესს იწვევს პაერის ტემპერატურის ვერტიკალური გრადიენტის განაწილების თავისებურება საქართველოში დღის და დამის რადიოზონდების მონაცემების მიხედვით [15].

## **1.1. პაერის ტემპერატურის ვერტიკალური გრადიენტის ცვლილების რეგიონალური თავისებურებები.**

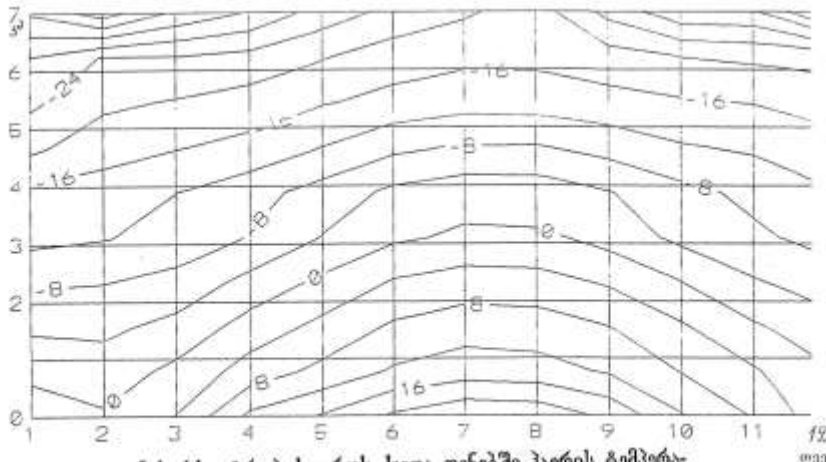
საქართველო ტიპიური მთიანი ქვეყანაა, რომლის ტერიტორიის 60%-ზე მეტი მთებს უჭირავს, ხოლო სიმაღლე ზღვის დონიდან იცვლება 0-დან 5000 მეტრამდე. აქ მკაფიოდაა გამოხატული პავის ვერტიკალური ზონადობა, რაც სიმაღლის ზრდასთან ერთად ტემპერატურის კლებაში ვლინდება. საქართველოს უმეტესი ნაწილი მდებარეობს მთავარ კავკასიონსა და მცირე კავკასიონს შორის. შავი ზღვის სიახლოეს იწვევს კოლხეთის დაბლობზე პაერის ტემპერატურის ცვლილების ამპლიტუდის შემცირებას მტკვრის ხეობის თუ ალაზნის ველთან შედარებით. ცნობილია, რომ ტემპერატურული ველის ცვლილება განპირობებულია რიგი გლობალური თუ ლოკალური ხასიათის ფაქტორებით. ლოკალური პირობებიდან ადსანიშნავია ოროგრაფიული თავისებურებები, ფერდობები, ექსპოზიცია, ნიადაგის საფარი, ურბანიზაციის ეფექტი და სხვ. გლობალურს შეიძლება მივაკუთვნოთ ადგილის გეოგრაფიული მდებარეობა (გრძელი, განედი, სიმაღლე ზღვის დონიდან), რადიაციული რეჟიმი, ცირკულაციური პროცესების ზემოქმედება და სხვა. მნიშვნელოვანი გავლენა აქვს აგრეთვე ამინდს, ბუნებრივ სეზონებს, ურბანიზაციის ეფექტს და სხვა პირობებს. სამხრეთ საქართველო ხასიათდება უფრო

კონტინენტური კლიმატით, რომელსაც ტემპერატურის გრადი-  
ენტის გაზრდილი მნიშვნელობა ახასიათებს. როგორც წესი,  
ტემპერატურის პორიზონტალური გრადიენტი გაცილებით  
ნაკლებია მის ვერტიკალურ ანალოგთან შედარებით. პაერის  
ტემპერატურის ცვლილების სიჩქარის ძირითადი კრიტერიუმია  
მისი ვერტიკალური გრადიენტი.

საქართველოს განედების ცვლილების ვიწრო დიაპაზო-  
ნისათვის პაერის ტემპერატურის ვერტიკალური გრადიენტი ( $\gamma$ )  
უვალ 100 მეტრზე  $0.5-0.6^{\circ}\text{C}$ -ის ფარგლებშია. საქართველოს  
რთული და დანაწევრული რელიეფი განაპირობებს აღნიშნული  
დიაპაზონიდან  $\gamma$ -ს მნიშვნელოვან გადახრას, განსაკუთრებით  
ტროპოსფეროს დაბალ ფენებში. ამ მოვლენის შესწავლას და  
მისი ცვლილების საზღვრების დადგენას უდიდესი პრაქტიკუ-  
ლი მნიშვნელობა აქვს. დამუშავებულია 1980-1990 წლებისათვის  
აეროლოგიური ზონდირების მასალა საღგურებისათვის სოხუ-  
მი, ბათუმი, თბილისი, აბასთუმანი, როდიონოვკა(დღეს  
ფარავნის წყალი) და თეთრი წყარო. თითოეული სად-  
გურისათვის აღებულია ზონდირების 90-90 შემთხვევა,  
თანაბრად განაწილებული თვეების, დღე-დამის, მოღრუბლუ-  
ლობის რეჟიმის მიხედვით. მოღრუბლულობის რეჟიმის მიხედ-  
ვით რადიოზონდები დაჯგუფებულია სამ ჯგუფად: მოწ-  
მენდილი (0-2 ბალი), ნაწილობრივ მოღრუბლული (4-7 ბალი)  
და მოღრუბლული (8-10 ბალი). თითოეული ზონდისათვის  
განხილულია 10 ძირითადი იზობარული დონე, კერძოდ:  
მიწისპირა, როცა  $h_0=0$  კმ და შემდეგ სათანადო  $h_i=0.5;$   $1.0;$   $1.5;$   
 $2.5;$   $3.5;$   $4.5;$   $5.5;$   $6.5$  და  $7.5$  კმ-ს. დონეებისთვის ტემპერატურის  
გარდა აღებულია წევისა და ფარდობითი ტენიანობის შესა-  
ბამისი მნიშვნელობები. ბოლო სამი სადგურისათვის ზონდი-  
რება ხდებოდა მხოლოდ ზაფხულში, კსპერიციის დროს, ამი-  
ტომ მიღებული შედეგები სხვა სეზონებს არ ახასიათებს.

პაერის საშუალო თვიური ტემპერატურა ყველაზე მაღა-  
ლია კოლხეთის დაბლობზე, სადაც ზაფხულში იგი  $20-25^{\circ}\text{C}$ -ის  
ფარგლებშია, ზამთარში კი არ ეცემა  $4-6^{\circ}\text{C}$ -ზე დაბლა. პაერის  
საშუალო თვიური ტემპერატურის ვერტიკალური განაწილება  
თბილისის მეტეოროლოგიური ობსერვატორიის მრავალ-  
წლიური დაკვირვების მასალის ანალიზის მიხედვით მოცე-  
მულია ნახ. 1.1-ზე.

როგორც ამ ნახაზიდან ჩანს სიმაღლის ზრდასთან ერთად ადგილი აქვს ტემპერატურის კლებას მთელი წლის მანძილზე. ნახაზი საშუალებას გვაძლევს თვალი ვადევნოთ ნებისმიერი იზოთერმის სიმაღლის ცვალებადობას თვეების მიხედვით.



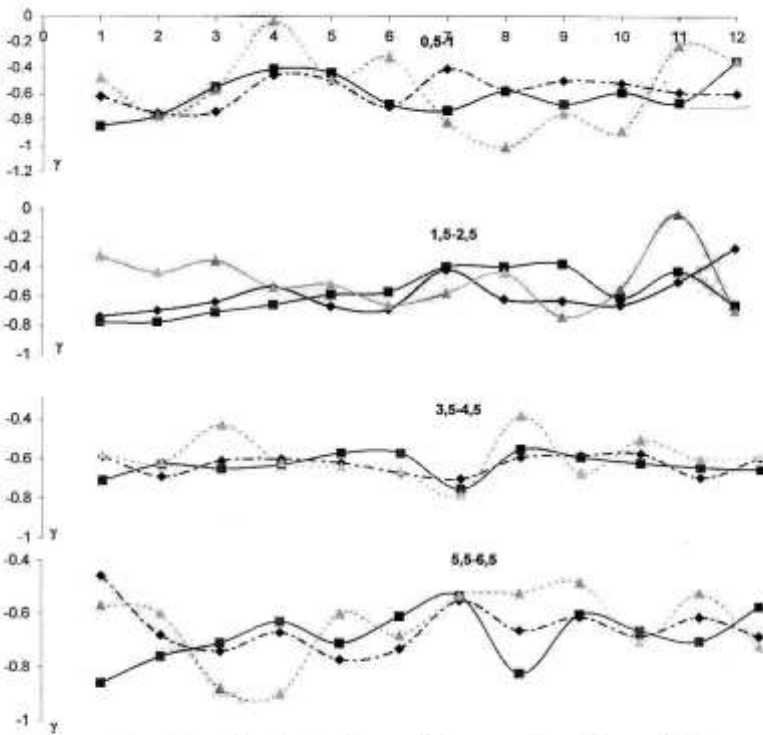
სა. 1.1. ტროპიკურის ჰენდა ფერში პაერის ტემპერატურის შედაწყლოური განაწილება თბილისისათვის

პრაქტიკული მიზნებისათვის დიდი მნიშვნელობა აქვს ე.წ.  $0^{\circ}\text{C}$  იზოთერმის სიმაღლის ცვალებადობას, რომელიც თოვლის საფარის არსებობის თავისებური ინდიკატორია. ეს ნახაზი საშუალებას გვაძლევს ნებისმიერ სიმაღლეზე ზღვის დონიდან ვივარაუდოთ პაერის საშუალო თვიური ტემპერატურის მოსალოდნელი მნიშვნელობა, ასე მაგალითად თუ ზღვის დონიდან 3 კმ-ზე იანვარში და თებერვალში მოსალოდნელია ტემპერატურა  $-12^{\circ}\text{C}$ , აპრილში  $-8.0$ , ივნისში  $0.0^{\circ}\text{C}$  და ა.შ.

## 1.2 პაერის ტემპერატურის გრადიენტის ცვალებადობა სეზონების მიხედვით

როგორც უკვე აღვნიშნეთ, ყოველთვიური რეგულარული ზონდირების მასალა ჩვენს მიერ დამუშავებულია მხოლოდ სოხუმის, ბათუმის და თბილისის აეროლოგიურ სადგურებისათვის. პაერის ტემპერატურის ვერტიკალური გრადიენტის ( $\gamma$ ) მნიშვნელობა თითოეული სადგურისა თვეების მიხედვით

გამოთვლილია ათივე დონეზე. თვალსაჩინოებისათვის მოგვყავს ეს შედეგები მხოლოდ 4 დონეზე (ნახ. 12.).



ნახ. 12. ტემპერატურის კვრტიკალური გრადიუნტის ცვალებადობა თვეების მიხედვით  
(♦-სიხში; ■-ძათუმი; ▲-თბილისი)

ნახ. 1.2(0.5-1) გვიჩვენებს  $\gamma$ -ს ცვალებადობას 0.5-1.0 კმ ფენაში. სიხშისათვის თებერვალში და მარტში  $\gamma = -0.75^{\circ}\text{C}$ -ს სხვა თვეებისათვის უმეტესად  $-0.6$ -ის ფარგლებშია და ზაფხულში ეცემა  $-0.45$ -დან  $-0.5$ -მდე; ამ დონეზე ძათუმში  $\gamma$  უდიდესია I, II-ში და აღწევს  $-0.8$ -დან  $-0.85$ -მდე. ზაფხულში  $\gamma$ -ს რიცხვითი მნიშვნელობა აქაც კლებულობს და არ აღემატება  $-0.4$ -ს. სხვა სადგურებისაგან განსხვავებით ამ დონეზე  $\gamma$  უდიდეს მნიშვნელობას აღწევს VIII და X თვეებში და ტოლია  $-0.90$ -დან  $-1.0$ -მდე.

მდე. უმცირესი მნიშვნელობა აღინიშნება გაზაფხულზე და აღწევს არაუმტებეს  $-0.4^{\circ}\text{C}$ -ს. თუ შევადარებო კ-ს მნიშვნელობებს სხვადასხვა სადგურებისათვის, თებერვლიდან მაისის ჩათვლით კ-ს რიცხვითი მნიშვნელობა ახლოსაა ერთმანეთთან და დაახლოებით  $-0.60^{\circ}\text{C}$ . შედარებით განსხვავებულია კ-ს რიცხვითი მნიშვნელობა I, VI, VIII და XI თვეებში.

რაც შეეხება მომდევნო ფენას, 1.5-დან 2.5 კმ საზღვრებში (ნახ. 1.2.), აქ კ-ს ცვალებადობის დიაპაზონის თითქმის 2-ჯერ მცირდება წინა დონესთან შედარებით. იგივე კანონზომიერებას ადგილი აქვს ფენაში  $3.5\text{--}4.5$  კმ. კ-ს შიდაწლიური გადახრა სადგურებს შორის აქ უდიდესია III და VIII თვეებში და მაშინაც არ აღემატება  $-0.1$ -ს.

განსხვავებული სურათია ბოლო განხილულ ფენაში, 5.5-დან 6.5 კმ საზღვრებში (ნახ. 1.2.). აქ კ-ს რიცხვითი მნიშვნელობა თვეების მიხედვით თითქმის ტოლია სოხუმის და ბათუმის აეროლოგიური სადგურებისათვის. რაც შეეხება თბილისის მონაცემებს, მხოლოდ VII და X თვეშია დაახლოებით თანახვედრა. სხვა თვეებში აბსოლუტური მნიშვნელობით კ უფრო მცირეა ( $-0.9$ -დან  $-0.6$ -მდე) თბილისისათვის გარდა III და IV თვეებისა. ამავე დროს აქ თებერვლიდან მარტამდე კ აბსოლუტური მნიშვნელობით იცვლება  $-0.6$ -დან  $-0.9$ -მდე. ასევე საგრძნობია კ-ს აბსოლუტური მნიშვნელობის ზრდა ( $-0.52$ -დან  $-0.82$ -მდე) ბათუმში VII-დან VIII თვეში, აგვისტოში განსხვავება კ-ს მნიშვნელობებს შორის უდიდესია თბილისისა და ბათუმისათვის ( $-0.61$ -დან  $-0.82$ -მდე). საყურადღებოა, რომ VII და X თვეები კ-ს რიცხვითი მნიშვნელობა ფაქტურად ტოლია სამივე სადგურისათვის ე.ი. ამ თვეებში მკვეთრად გამოხატული სეზონური თავისებურება კ-ს სიდიდის ცვალებადობისას არ ვლინდება.

დანარჩენი სამი სადგურისათვის (აბასთუმანი, როდიონოვკა და თეთრი წყარო) რადიოზონდირების მასალა არსებობს მხოლოდ ზაფხულის თვეებისა და ამიტომ მხოლოდ ზაფხულის დახასიათება შეგვიძლია. აბასთუმანი ხასიათდება კ-ს რამდენადმე შემცირებული მნიშვნელობით, ძირითადად იცვლება  $-0.50$ -დან  $-0.65$ -ის ფარგლებში და განსხვავება დონეებს შორის პრაქტიკულად უმნიშვნელოა. როდიონოვკაში და თეთრ წყარ-

ოში გ რამდენადმე გაზრდილია, ძირითადად იცვლება  $-0.6$ -დან  $-0.97$ -მდე საზღვრებში. გ-ს უმცირესი მნიშვნელობა დაფიქსირებულია თეთრ წყაროში, აგვისტოში, 1.5-2.5 კმ ფენაში, სადაც იგი ტოლია  $-0.37$ -სა და ა.შ.

### 13. პაერის ტემპერატურის ვერტიკალური გრადიენტის ცვლილების დღე-დამური გარიაციები

დღისა და დამის განმავლობაში გ-ს მნიშვნელობა განსხვავებულია სადგურისა თუ სიმაღლის მიხედვით. სათანადო მონაცემები მოცემულია ცხრ. 1.1.-ში. დამის რადიოზონდების მონაცემების მიხედვით სოხუმში და ბათუმში გ-ს ცვლილების ფარგლები შეადგენს  $-0.5$  -  $-0.6^{\circ}\text{C}/\text{კმ}$ -ს, შედარებით შემცირებულია მნიშვნელობა თბილისში და აბასთუმანში და უდიდესია თეთრ წყაროში, სადაც იგი ტოლია  $-1.0$ -ისა. მომდევნო ფენაში სოხუმში და ბათუმში გ პრაქტიკულად უცვლელია, თბილისში და აბასთუმანში აღინიშნება ოდნავი ზრდა და საგრძნობი კლება თეთრ წყაროში, სადაც იგი ეცემა  $-0.63$ -მდე. შემდეგ ფენაში თბილისში და აბასთუმანში გ ისევ უმცირესია, ხდება გრადიენტის რიცხვითი მნიშვნელობების დაახლოება, სხვაობა უდიდეს (როდიოზოგვა  $-0.66$ ) და უმცირეს მნიშვნელობას შორის (აბასთუმანი  $-0.41$ ) არ აღემატება  $-0.25$ -ს. საშუალო მნიშვნელობასთან მიახლოება და უდიდეს და უმცირეს მნიშვნელობას შორის სხვაობის შემცირება დამახასიათებელი გ-სთვის მომდევნო დონეებზეც. აღსანიშნავია გ-ს სიდიდის უმნიშვნელო მომატება თბილისში 4.5-5.5 კმ ფენაში, აგრეთვე სოხუმში და ბათუმში ბოლო დონეზე, სადაც იგი იცვლება  $-0.71$ -დან  $-0.74$ -მდე.

შეადგის რადიოზონდების ანალიზი გვიჩვენებს, რომ ადგილი აქვს გ-ს მნიშვნელობის ოდნავ მომატებას, დამის რადიოზონდების შემთხვევასთან შედარებით. პირველ დონეზე უმცირესი მნიშვნელობა  $\gamma = -0.45^{\circ}\text{C}/\text{კმ}$  თბილისშია. სხვა სადგურებისთვის ადგილი აქვს გ-ს ზრდას  $-0.7$ -დან  $-0.8$ -მდე, უდიდესი მნიშვნელობა აქაც თეთრ წყაროშია, სადაც  $\gamma = -0.94^{\circ}\text{C}/\text{კმ}$  და ცოტათი ჩამორჩება ამავე დონეზე დამით გაზომილ სიდიდეს. მომდევნო ფენაში საყურადღებოა გ-ს მკვერი ზრდა თბილისისათვის, სადაც იგი ტოლია  $-0..9$ -ისა და უდიდესია სხვა სადგურების ანალოგიურ მაჩვენებელთან შედარებით. ამ დონეზე გ-ს უკიდურეს მნიშვნელობებს შორის სხვაობა საგრძნობლად მცირდება და

არ აღემატება  $-0.32$ -ს. მომდევნო ფენაში შენარჩუნებულია  $\gamma$ -ს უდიდესი მნიშვნელობა ობილისისათვის, სადაც იგი ტოლია  $-0.79$ -ისა და სხვა სადგურებისათვის რიცხვითი მნიშვნელობების ნორმასთან სიახლოეს და კონტრასტის შემცირებაა დაფიქსირებული. ეს ტენდენცია, კიდური მნიშვნელობების ერთმანეთთან და ნორმასთან მიახლოება დამახასიათებელია ყველა მომდევნო ფენისათვის. ზოგადად შეიძლება აღინიშნოს  $\gamma$ -ს საშუალო მნიშვნელობის ოდნავი ზრდა, დღის რადიოზონდების შედეგებთან შედარებით და ბოლო დონეზე  $\gamma$ -ს აბსოლუტური მნიშვნელობის მატება, სხვა დონეებთან შედარებით.

#### **ცხრილი 1.1.γ-ს ცვალებადობის დღე-ლამური გარიაციები**

ფენა (კმ)	მეტაროლოგიური სადგური					
	სოხუმი	ბათუმი	თბილისი	აბასთუმანი	როდიონოვანია	თეთრიწყარო
	დამე					
0÷0.5	-0.59	-0.49	-0.23	-0.27	-0.54	-1.00
0.5÷1.0	-0.58	-0.51	-0.28	-0.44	-0.52	-0.63
1.0÷1.5	-0.59	-0.51	-0.44	-0.41	-0.66	-0.53
1.5÷2.5	-0.57	-0.56	-0.48	-0.51	-0.68	-0.50
2.5÷3.5	-0.57	-0.63	-0.51	-0.64	-0.60	-0.65
3.5÷4.5	-0.60	-0.62	-0.63	-0.60	-0.60	-0.64
4.5÷5.5	-0.68	-0.63	-0.72	-0.55	-0.68	-0.66
5.5÷6.5	-0.68	-0.65	-0.64	-0.63	-0.64	-0.65
6.5÷7.5	-0.74	-0.71	-0.64	-0.59	-0.64	-0.62
	დღე					
0÷0.5	-0.80	-0.73	-0.45	-0.72	-0.87	-0.94
0.5÷1.0	-0.58	-0.67	-0.90	-0.63	-0.74	-0.82
1.0÷1.5	-0.56	-0.60	-0.79	-0.71	-0.69	-0.62
1.5÷2.5	-0.61	-0.59	-0.62	-0.61	-0.67	-0.52
2.5÷3.5	-0.59	-0.60	-0.62	-0.56	-0.61	-0.67
3.5÷4.5	-0.64	-0.59	-0.55	-0.61	-0.64	-0.69
4.5÷5.5	-0.67	-0.68	-0.79	-0.62	-0.70	-0.66
5.5÷6.5	-0.69	-0.67	-0.63	-0.66	-0.68	-0.61
6.5÷7.5	-0.77	-0.71	-0.70	-0.66	-0.66	-0.66

#### **1.4. ტემპერატურული ინვერსიები საქართველოში**

ცნობილია, რომ ადგილის სიმაღლის ზრდის შესაბამისად ჰაერის ტემპერატურა მცირდება. თავისი რიცხვითი სიდიდით ეს შემცირება როგორც წესი, ტოლია  $0.6$  ან  $0.7^{\circ}\text{C}$ -ისა ყოველ  $100\text{მეტრზე}$ . იშვიათ შემთხვევაში ადგილი აქვს სიმაღლის ზრდის შესაბამისად ჰაერის ტემპერატურის მატებას, რაც

ცნობილია ინვერსიის სახელწოდებით. ეს მოვლენა ძირითადად დაიკვირვება ანტიციკლონური ტიპის ცირკულაციის დროს, როდესაც მთის ფერდობებიდან და გორაკებიდან ადგილი აქვს ჰაერის შედარებით ცივი მასების დაბლა დაშვებას და ხეობის ძირში დაგროვებას. გარდა ოროგრაფიისა, ტემპერატურული ინვერსია შეიძლება გამოწვეული იყოს თოვლის საფარის არსებობით, რადიაციული გადაცივებით, ჰაერის თბილი მასების ტრანსფორმაციით და სხვ. აქედან გამომდინარე ინვერსიის ხანგრძლივობა, მისი ვერტიკალური მასშტაბი თუ გრადიენტის სიდიდე ყავლა შემთხვევაში განსხვავებული იქნება. დაკვირვებათა უმეტეს შემთხვევაში გვხვდება მიწისპირა ინვერსია, მისი გავრცელების არე და ხანგრძლივობა კი განსხვავებულია დღე-დამის, ხეზონის, ქარის თუ მოღრუბლულობის რეჟიმის ცვალებადობის მიხედვით.

ინვერსიის არსებობაზე მიუთითებს უ-ს ნიშნის შეცვლა. ასეთი შემთხვევები გამოყენებული მონაცემთა ბაზის მიხედვით არც ისე ბევრია და ნიველირდება გასაშუალოების დროს. ინვერსიის შესაძლო არსებობაზე მიუთითებს უ-ს საშუალო კვადრატული გადახრა (σ). ინვერსიების შემთხვევაში ადგილი აქვს ს-ს შედარებით გაზრდილ მნიშვნელობას. ამას ადასტურებს ცხრ. 1.2-ის მონაცემები, სადაც მოყვანილია ჰაერის ტემპერატურის ვერტიკალური გრადიენტის კვადრატული გადახრის ცვალებადობა ღონიერისა და სადგურების მიხედვით. ცხრილი 1.2-ჰაერის ტემპერატურის ვერტიკალური გრადიენტის საშუალო კვადრატული გადახრის ცვალებადობა სადგურების და დონეების მიხედვით

ფანა (ჯმ)	მეტეოროლოგიური სადგური					
	სოსტემი	ბათუმი	თბილისი	აბასთუმანი	როდიონოვკა	თეთრიწყარო
0÷0.5	0.57	0.66	0.36	0.55	0.27	0.21
0.5÷1.0	0.21	0.26	0.54	0.27	0.28	0.23
1.0÷1.5	0.20	0.29	0.31	0.32	0.23	0.32
1.5÷2.5	0.21	0.25	0.29	0.16	0.16	0.22
2.5÷3.5	0.20	0.23	0.25	0.19	0.15	0.14
3.5÷4.5	0.17	0.19	0.26	0.13	0.16	0.14
4.5÷5.5	0.15	0.20	0.22	0.13	0.14	0.13
5.5÷6.5	0.18	0.20	0.25	0.12	0.21	0.19
6.5÷7.5	0.22	0.23	0.22	0.23	0.16	0.18

როგორც ცხრ.1.2-დან ჩანს ს-ს შედარებით გაზრდილი მნიშვნელობები დაიკვირვება მიწისპირა ფენაში ბათუმში და სოხუმში, სადაც მისი რიცხვითი მნიშვნელობა 0.66 და 0.57 თითქმის უტოლდება  $\gamma$ -ს აბსოლუტური სიდიდით. ს-ს უმცირესი მნიშვნელობა ამ დონეზე როდიონოვგაში და თეთრ წყაროშია, შესაბამისად 0.27 და 0.21. რაც შეეხება მომდევნო ფენას აქ ს-ს მნიშვნელობა სოხუმში და ბათუმში შემცირებულია 2.5-ჯერ. როდიონოვგაში და თეთრ წყაროში უცვლელია, ოდნავი ზრდის ტენდენციით. აბასთუმანში ს თითქმის განახევრებულია და მხოლოდ თბილისში ადგილი აქვს ს-ს 1.5-ჯერ მატებას.

მომდევნო ფენაში (1.0-1.5 კმ) სოხუმში ს ინარჩუნებს თავის მნიშვნელობას, ბათუმში ადგილი აქვს უმნიშვნელო მატებას, თბილისში ხევის საგრძნობი შემცირება, 0.54-დან 0.31-მდე. სხვა სადგურებზე ოდნავი კლებაა როდიონოვგაში 0.23 (იყო 0.28) და ოდნავი მატება აბასთუმანში და თეთრ წყაროში, სადაც ორივეგან  $\sigma=0.32$ .

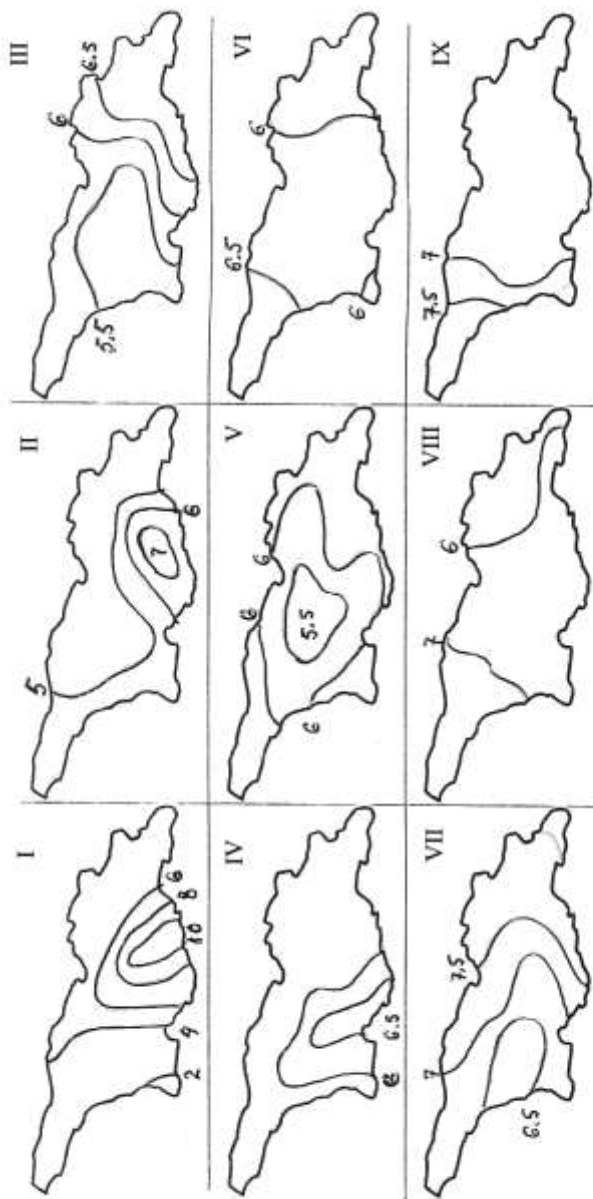
შემდეგ ფენაში, როგორც წესი ს-ს რიცხვითი მნიშვნელობა შემცირებულია ყველა სადგურისათვის. ს უმცირესი მნიშვნელობა დაფიქსირებულია აბასთუმანში და როდიონოვგაში (0.16); უდიდესი მნიშვნელობა, 0.29 - თბილისში. ანალოგიური სურათია მომდევნო ფენებში. შეიძლება აღინიშნოს, რომ ს-ს ოდნავი ზრდა შეიმჩნევა ბოლო დონეზე (6.5-7.5 კმ), რაც შეიძლება აისხნას ამ დონეზე  $\gamma$ -ს შედარებით გაზრდილი მნიშვნელობებით.

ამრიგად, შეიძლება დაგასკვნათ, რომ პაერის ტემპერატურის ინვერსიას ძირითადად ადგილი აქვს მიწისპირა ფენაში, რაზედაც  $\gamma$ -ს ნიშნის ცვლასთან ერთად მიუთითებს მისი შესაბამისი ს-ს შედარებით გაზრდილი მნიშვნელობები.

## **1.5. მოღრუბლულობის გავლენა თავისუფალ ატმოსფეროს ტემპერატურულ სტრატიფიკაციაზე**

პაერის ტემპერატურის ვერტიკალური გრადიენტის რიცხვითი მნიშვნელობა დამოკიდებულია მოღრუბლულობაზე. განვიხილოთ  $\gamma$ -ს ცვალებადობა სადგურებისა და დონეების მიხედვით მოწმენდილი ცის პირობებში (ნახ. 1.3).

Հայ-թագավորական պատմությունների վեց հատվածը կազմությունը կազմությունը կազմությունը կազմությունը կազմությունը կազմությունը



მიწისპირა ფენაში (0-0.5) დასავლეთ საქართველოში უ დიდი არ არის და -0.2-დან -0.3-მდე იცვლება. შედარებით გაზრდილი მნიშვნელობები დაფიქსირებულია როდიონოვკაში (-0.7) და განსაკუთრებით თეორ წყაროში (-1.0). კურადღებას იქცევს დიდი სხვაობა უდიდეს და უმცირეს მნიშვნელობებს შორის, აქვე აღვნიშნავთ, რომ ასეთი კონტრასტი არ ფიქსირდება არც ერთ სხვა დონეზე.

მოძღვნო დონეზე (0.5-1) სოხუმში, ბათუმში და თბილისში უ-ს მნიშვნელობა ფაქტიურად ორკედება. როდიონოვგაში თითქმის უცვლელი რჩება (-0.7) და თეორ წყაროში ტოლია -0.73-ისა. აქ საყურადღებოა ამპლიტუდის შემცირება კიდურ მნიშვნელობებს შორის. საქართველოს სამხრეთ ნაწილში კვლავ სახეზეა უ-ს შედარებით გაზრდილი მნიშვნელობები.

შემდეგ დონეზე (1.0-1.5) დასავლეთ საქართველოში შენარჩუნებულია უ-ს შედარებით შემცირებული მნიშვნელობა. როდიონოვგაში უ ტოლია -0.7-ისა. საერთოდ სადგური როდიონოვგა ხასიათდება უ-ს შედარებით სტაბილური სიდიდით, დონეების ცვლის შედეგად აქ სხვაობა არ აღემატება -0.1-ს. თეორ წყაროში გრძელდება უ-ს შემცირების ტენდენცია და იგი კვემა -0.55-მდე.

მოძღვნო დონე 1.5-2 ხასიათდება უ-ს სტაბილური მნიშვნელობებით -0.65-სა და -0.6-ს შორის. აქვე დაგამატებთ, რომ ამპლიტუდის შემცირების გარდა ამ დონედან ადგილი აქვს შესაბამისი σ-ს საგრძნობ შემცირებას, რაც კიდევ ერთხელ ადასტურებს უ-ს შედარებით სტაბილურობას.

შემდეგ დონეებზე სურათი ფაქტიურად უცვლელია, შეიძლება ადინიშნოს უ-ს მცირედი ზრდა ბოლო დონეზე (6.5-7.5) დასავლეთ საქართველოში.

ამრიგად, შეიძლება დავასკვნათ, რომ უკვე 2-3 კმ-დან მოწმენდილი ცის პირობებში ადგილი აქვს უ-ს ცვლილების სტაბილურობას, სხვაობა კიდურ მნიშვნელობებს შორის უმნიშვნელოა და შედარებით შემცირებულია შესაბამისი σ.

## **ლიტერატურა**

1. ვახუშტი ბაგრატიონი. აღწერა სამეფოსი საქართველოსი. სახ. უნივერსიტეტის გამომცემლობა, თბილისი, 1940.
2. დ.მუმლაძე, ჯ.ვაჩნაძე ვახუშტი ბაგრატიონის ცნობები საქართველოს პავის შესახებ. ჰიდრომეტეოროლოგიის ინსტიტუტის შრომები, ტომი 101, თბილისი, 1998.
3. მ.კორძახია. საქართველოს პავა. საქ. მეცნ. აკადემიის გამოცემლობა, თბილისი, 1961.
4. ე.ელიზბარაშვილი, ჯ.ვაჩნაძე. კლიმატის და კლიმატური რესურსების კვლევის ისტორია და თანამედროვე მდგრადარეობა. ჰიდრომეტეოროლოგიის ინსტიტუტის შრომები, ტომი 101, თბილისი, 1998.
5. დ.მუმლაძე. საქართველოს კლიმატის თანამედროვე ცვლილება. მეცნიერება, თბილისი, 1991.
6. კ.თავართქილაძე, ე.ელიზბარაშვილი, დ.მუმლაძე, ჯ.ვაჩნაძე. საქართველოს მიწისპირა ტემპერატურული ველის ცვლილების ემპირიული მოდელი. თბილისი, 1999.
7. კ.თავართქილაძე, ი.შენგელია. პავის თანამედროვე ცვლილება საქართველოში, რადიაციული რეჟიმის ცვალებადობა. მეცნიერება, თბილისი, 1999.
8. ე.ელიზბარაშვილი, მ.ელიზბარაშვილი. ურბანიზაციის ეფექტი საქართველოს კლიმატის თანამედროვე ცვლილებაში. კლიმატის ცვლილების ეროვნული ცენტრის საინფორმაციო ბიულეტენი, №8, თბილისი, 1999.
9. რ.სამუკაშვილი. პელიოდურებატიკული რესურსების განაწილების თავისებურებები კავკასიის ტერიტორიაზე. ჰიდრომეტეოროლოგიის ინსტიტუტის შრომები, ტომი 102, თბილისი, 2001.
10. ე.ელიზბარაშვილი, ზ.ჭავჭანიძე. გვალვები, უნალექო და ნალექიანი პერიოდები საქართველოში. მეცნიერება, თბილისი, 1992.
11. ლ.ქართველიშვილი, ე.ელიზბარაშვილი, ჯ.დოლიძე, ჯ.ვაჩნაძე, ჯ.მდინარაძე. 2000წლის გვალვა აღმოსავლეთ საქართველოში. ჰიდრომეტეოროლოგიის ინსტიტუტის შრომები, ტომი 107, თბილისი, 2002.

12. ჯ.ვაჩნაძე, ი.ჩოგოვაძე. აღმოსავლეთ საქართველოში გვალვის გამომწვევი სინოპტიკური პროცესების მოკლე ანალიზი. ჰიდრომეტეოროლოგიის ინსტიტუტის შრომები, ტომი 107, თბილისი, 2002.
13. მ.ელიოზბარაშვილი. საქართველოს ტერიტორიის ტემპერატურის ველი. თბილისი, 1999.
14. ჯ.ვაჩნაძე, კ.თავართქილაძე, ლ.ყურაშვილი. თავისუფალი ატმოსფეროს კლიმატის ცვალებადობა. ჰიდრომეტეოროლოგიის ინსტიტუტის შრომები, ტომი 103, თბილისი, 2001.
15. ჯ.ვაჩნაძე, ლ.ყურაშვილი. თავისუფალი ატმოსფეროს თერმული სტრატიფიკაცია და მისი ცვალებადობა საქართველოში. ჰიდრომეტეოროლოგიის ინსტიტუტის შრომები, ტომი 102, თბილისი, 2001.
16. Кондратьев К.Я. Приоритеты глобальной климатологии. Известия РГО, том 136, 2004.
17. Кондратьев К.Я., Демирчян К.С. Глобальный климат и протокол Киото. Вести РАН, том 171, № 11, 2001.
18. Кондратьев К.Я.. Крапивкин В.Ф. Глобальные изменения: реальные и возможные в будущем. Исслед. Земли из космоса. №4, 2003.
19. Пененко В.В., Цветова Е.А. Главные факторы климатической системы глобального и регионального масштабов и их применение в экологических исследованиях. Оптика атмосферы и океана, т.16, №5-6, 2003.
20. Груда Г.В., Ранькова Э.Я. Колебания и изменения климата на территории России. Изв. РАН. Физика атмосферы и океана, т.39, №2, 2003.
21. Наш будущий климат. Публикация ВМО. №952, Женева, 2003.
22. Тезисы докладов. Всемирная конференция по изменению климата. Москва. 29/IX-3/X, 2003.
23. Климатические ресурсы Грузии. Труды ЗакНИГМИ, вып. 44(50). Гидрометеоиздат, Л., 1971.
24. Климат Тбилиси. Гидрометеоиздат, Л., 1992.
25. Вязанкин А.С., Вязанкин С.А., Жадин Е.А., Кадыров Е.Н. Анализ вертикального распределения температуры в пограничном слое атмосферы и мегаполисе. Метеорология и гидрология №7, 2003.
26. Кварацхелия И.Ф. Аэрологические исследования в Закавказье. Гидрометеоиздат, Л., 1964.

27. Харчилава Д.Ф. Некоторые результаты исследования вертикального распределения озона в атмосфере с метеорологическими явлениями. Тр. всесоюзного совещания по озону в Москве, ноябрь 1977. Гидрометеоиздат, М., 1980.
28. Харчилава Д.Ф. О связи между вертикальными скоростями воздуха и озона в атмосфере. Сообщения АН ГССР, «Мецниереба», т.47, №3, Тбилиси, 1967.

## თავი 2 თავისუფალი ატმოსფეროს ჟენერაციებისა და მისი ცვლილება 1940-1990 წლებში

კავკასიის როზულ ფიზიკურ-გეოგრაფიულ პირობებს გარკვეული კორექტივები შეაქვს ატმოსფერული პაერის ფართომასშტაბიანი ფონური ნაკადების დინამიკაში და თერმოდინამიკაში. საქართველის მთა-გორიანი რელიეფის გაცვლენით ხდება ადგილობრივი მეზო და მიკროცირკულაციების ფორმირება, რაც რადიაციული რეჟიმის თავისებურებებთან ერთად, მიზეზია რეგიონის მიწისძირა ფენაში კლიმატის მრავალფეროვნებისა. დედამიწის ზედაპირიდან დაშორებისას განსხვავება კლიმატურ პირობებში მცირდება და უკვე 1-2 კმ სიმაღლეზე შეიმჩნევა მეტეორლემენტების მრავალწლიან მნიშვნელობათა საგრძნობი დაახლოება, ხოლო 3-4 კმ-დან რეგიონის თავისუფალ ატმოსფეროში პავა პრაქტიკულად ერთგვაროვანი ხდება. ამ მოვლენას ადასტურებს კვლევის შედეგები, მოცემული მონოგრაფიაში [1], რომელშიც პირველად არის შესწავლილი რეგიონში თავისუფალი ატმოსფეროს ძირითადი მეტეოროლოგიური ელემენტების რეჟიმის თავისებურებანი და მასზე მთა-გორიანი პირობების გავლენა. ნაშრომში წარმოდგენილი ამოცანის გადაწყვეტა ექრდნობა ქალაქების - სოხუმი, ბათუმი, თბილისი, ერევანი და ბაქო, მიმდებარე ტერიტორიებზე 1936-1953წ. შესრულებულ ატმოსფეროს აეროლოგიურ ზონდირების მასალებს. ეს მონოგრაფია შეიძლება მივიჩნიოთ საწყის ეტაპად თავისუფალ ატმოსფეროს პავის, კერძოდ კი მისი ტენშემცველობის, გამოკვლევაში. ამ მიმართულებით კვლევის შემდგომი განვითარება მოცემულია შრომებში [2,3], სადაც შესწავლილია ატმოსფეროში ტენიანობის ვერტიკალური განაწილება 1957წ. ჩატარებული რადიოზონდირების მონაცემებით დიდი და მცირე კავკასიონის ცენტრალური ნაწილის ზოგიერთი პუნქტისათვის: მთა-საბუეთი, თბილისი, ჯვრის უღელტეხილი და ორჯონიქიძე. როგორც ირკვევა (იხ. გამოსახულებები 2.1 და 2.4), ეს მონაცემები კარგად ესადაგება [1]-ში განხილულ გაზომვათა პირველ ჯგუფს. ქრონოლოგიურად შემდეგი ეტაპის აეროლოგიური კვლევის შედეგები მოცემულია მონოგრაფიებში [4,5]. ისინი წარმოადგენენ მსოფლიოს სხვადასხვა რეგიონის 4 პუნქტში - ატლანტიკის და ინდოეთის ოკეანეები, თბილისი, თამდი (შუა

აზია), აეროლოგიური გაზომვებით 1962-1971წწ. მიღებული მასალების განზოგადოებას და აზუსტებენ ატმოსფეროში ტემპერატურისა და სინოტივის ვერტიკალური განაწილების თავისებურებებს. შრომებში [4,5] განხილული მონაცემები ქმნიან მეორე ჯგუფს, განსხვავებულს [1-3]-ში შესულ გაზომვათა ჯგუფისაგან. ამ მეორე ჯგუფში წარმოდგენილია, აგრეთვე, საქართველოს ტერიტორიის 6 პუნქტის – სოხუმი, ბათუმი, თბილისი, აბასუმანი, თეთრი-წყარო, რადიონოვაბა – 1967-1987წწ. რადიოზონდირების მონაცემები, რომელთა საფუძველზე წინამდებარე ნაშრომში განხილულია მიწისპირა ფენაში და თავისუფალ ატმოსფეროში ტემპერატურისა და სინოტივის განაწილების შემდგომი კვლევის შედეგები. თითოეული პუნქტის 90 რადიოზონდი (რ/ზ) შერჩეულ იქნა იმ პრინციპით, რომ თანაბრად ყოფილიყო წარმოდგენილი მონაცემები დაკვირვებათა ვადების და ოვეების მიხედვით. გარდა ამისა 90რ/ზ დაიყო დამატებით სამ ქვეჯგუფად დრუბლიანობის გრადაციის მიხედვით: მოწმენდილი ცის თალი – 0 ბალი, საშუალო - 4-6 ბალი და ძლიერი მოღრუბლეულობა – 10 ბალი. რადიოზონდირების შედეგად მიღებული ატმოსფეროს პარამეტრები შეესაბამებიან 10 სტანდარტულ დონეს შემდეგ სიმაღლეებზე დედამიწის ზედაპირიდან: 0; 0.5; 1.0; 1.5; 2.5; 3.5; 4.5; 5.5; 6.5; 7.5 კმ.

ზემოთხსენებული ნაშრომების გარდა თავისუფალი ატმოსფეროს სტრატიფიკაციის და კლიმატის ცვალებადობის უკეთ შესწავლის მიზნით ბოლო წლებში საქართველოში გამოქვეყნდა რამდენიმე მონოგრაფია [16-19] და სტატია [20-22].

ამრიგად, ამ მოკლე მიმოხილვაში განხილულ შრომათა მონაცემები საშუალებას იძლევა არა მარტო შეჯერდეს და დაზუსტდეს ატმოსფეროში აბსოლუტური სინოტივის ვერტიკალური განაწილებისა და წყლის ორთქლის მარაგის მნიშვნელობები ქრონოლოგიურად განსხვავებულ პერიოდებში, არამედ შესწავლილ იქნას, აგრეთვე, მათი კლიმატური ცვლილებები საქართველოს ტერიტორიაზე.

## **2.1. კავშირი აბსოლუტური სინოტივის ვერტიკალურ განაწილებასა და მიწისპირულ მნიშვნელობას შორის**

როგორც ცნობილია, ატმოსფეროში აბსოლუტური სინო-  
ტივის ცვლილება ვერტიკალური მიმართულებით შეიძლება  
აღიწეროს პლებადი ექსპონენციალური ფუნქციით [3-8]:

$$\rho = \rho_0 e^{-cz}, \quad (2.1)$$

სადაც  $\rho$  და  $\rho_0$  ( $\text{g}/\text{მ}^3$ ) – აბსოლუტური სინოტივის მნიშვნე-  
ლობებია  $z(\text{მ})$  სიმაღლეზე და დედამიწის ზედაპირზე,  $c(1/\text{მ})$ -  
ემპირიული კოეფიციენტია.  $c$  კოეფიციენტის ფიზიკური შინა-  
არსი იმაში მდგომარეობს, რომ რიცხობრივად იგი იმ სიმაღ-  
ლის შებრუნებული სიდიდეა, რომლისთვისაც  $\rho$  სინოტივე ე-  
ჯერ ეცემა  $\rho_0$ -თან შედარებით.  $c$  გვიჩვენებს, თუ რა სისწრა-  
ვით კლებულობს  $\rho$  სიმაღლის მიხედვით, ე.ო. ფაქტიურად  
წარმოადგენს ცვლილების სიჩქარეს. მართლაც (2.1)-დან

$$\frac{d\rho}{dz} = -c\rho \quad \text{და} \quad -\frac{1}{\rho} \frac{d\rho}{dz} = c, \quad \text{ანუ} \quad c = -\frac{d \ln \rho}{dz}.$$

ატმოსფეროს მთელი ფენის სისქის გათვალისწინებით, (2.1)-ის  
ინტეგრირება გვაძლევს სიდიდეს, რომელიც წარმოადგენს ატ-  
მოსფეროში წყლის ორთქლის (ან წყლის) საერთო მარაგს

$$\omega = \int_0^\infty \rho(z) dz = \int_0^\infty \rho_0 e^{-cz} dz = \frac{\rho_0}{c}. \quad (2.2)$$

ამრიგად, ვარის წყლის რაოდენობა, მოთავსებული ჰაერის  
ერთეულოვანი კვეთის მქონე ვერტიკალურ ცილინდრში დე-  
დამიწის ზედაპირიდან ატმოსფეროს ზედა საზღვრამდე. რად-  
გან მიღებულია ვ-ს განზომილება  $\text{g}/\text{სმ}^2$ , ამიტომ, (2.1) და (2.2)-  
ის გათვალისწინებით, ვიღებთ

$$\omega = 0.1 \frac{\rho_0}{c}. \quad (2.3)$$

ამ ფორმულაში ვ-ს განზომილებაა  $\text{g}/\text{სმ}^2$ ,  $\rho_0$  - $\text{g}/\text{მ}^3$ , ხოლო  $c$ - $1/\text{მ}$ .

შრომებში [3-5,8] ნაჩვენებია, რომ ატმოსფეროში აბსო-  
ლუტური სინოტივის ვერტიკალური განაწილება კაგებასიის  
მთა-გორიანი პირობების გათვალისწინებით უკეთესად აღი-  
წერება ფორმულით [6,7]:

$$\rho = \rho_0 e^{-az-bz^2}, \quad (2.4)$$

სადაც  $a$  ( $1/\text{მ}$ ) და  $b(1/\text{მ}^2)$  – ემპირიული მუდმივებია.

თუ შევადარებთ (2.1) და (2.4) ფორმულებს ერთმანეთს, მაშინ მივიღებთ, რომ  $c=a+bz$  ე.ი.  $c$ -კოეფიციენტი შეიძლება წარმოვადგინოთ  $z$ -სიმაღლის წრფივი ფუნქციის სახით. მაგალითად [3]-ში განხილულია  $a$ კოეფიციენტის დამოკიდებულება ზღვის დონიდან პუნქტის  $z_0$ -სიმაღლეზე:

$$a=a_1+a_2 z_0 . \quad (2.5)$$

ამრიგად, ამ შემთხვევაში

$$c=a_1+a_2 z_0+bz , \quad (2.6)$$

ე.ი. მიიღება  $z$ -ის წრფივი კოეფიციენტი. აქვე [3]-ში და შემდგომ გამოკვლევებში [4,5] ასევე აღნიშნულია, რომ კოეფიციენტების მნიშვნელობები  $a_1=0.21 1/\sqrt{b^2}$ ,  $a_2=0.15 1/\sqrt{b^2}$  და  $b=0.029 1/\sqrt{b^2}$  უკვე ნამდვილად წარმოადგენენ ემპირიულ მუდმივებს და ისინი არ იცვლებიან  $z$ -ის მიხედვით.

ამიტომ, შესაძლებელია (2.1) და (2.4) გამოყენება კავკასიის პირობებში ნებისმიერი პუნქტისათვის, თუ, ცხადია, (2.1)-ში  $c=a_1+a_2 z_0+bz$ , ხოლო (2.4)-ში  $a=a_1+a_2 z_0$ ,  $a_1$ ,  $a_2$  და  $b$ -კოეფიციენტების აღნიშნული რიცხვითი მნიშვნელობებით. (2.4) ფორმულის გათვალისწინებით ატმოსფეროში წყლის მარაგის სიდიდის გამოსათვლელად მიიღება შემდეგი გამოსახულება [8,9]:

$$\omega = \int_0^\infty \rho_0 e^{-az-bz^2} dz = \frac{\rho_0 \sqrt{\pi}}{2\sqrt{b}} \exp\left(\frac{a^2}{4b}\right) \left[ 1 - \Phi\left(\frac{a}{2\sqrt{b}}\right) \right], \quad (2.7)$$

$$\text{ე.ი. } \omega=0.1k\rho_0. \quad (2.8)$$

$$\text{სადაც } k = \frac{\sqrt{\pi}}{2\sqrt{b}} \exp\left(\frac{a^2}{4b}\right) \left[ 1 - \Phi\left(\frac{a}{2\sqrt{b}}\right) \right], \quad (2.9)$$

$$\Phi(x) = \frac{2}{\sqrt{\pi}} \int_0^x \exp(-y^2) dy \quad (2.10)$$

- ცდომილებათა ალბათობის ინტეგრალია [10].

(2.8)-ში  $\omega$ -ს განზომილებაა ისევ გ/ $\sqrt{b}$ ,  $\rho_0=\partial/\partial^3$ , ხოლო  $k$  გაზომილია კმ-ში.

თუ შევადარებთ ერთმანეთს (2.3) და (2.8), მაშინ მივიღებთ

$$k = \frac{1}{c}. \quad (2.11)$$

ამიტომ,  $c$ -ს შესაფასებლად შეიძლება გამოვიყენოთ როგორც (2.6)ფორმულა, ასევე (2.11)-დან გამომდინარე გამოსახულება

$$c = \frac{2\sqrt{b}}{\sqrt{\pi} \exp\left(\frac{a^2}{4b}\right) \left[1 - \Phi\left(\frac{a}{2\sqrt{b}}\right)\right]} . \quad (2.12)$$

ამრიგად, ყველა ზემოთ მოყვანილი (2.1)-(2.12) ანალიზური გამოსახულებები ფაქტიურად აკავშირებენ აბსოლუტური სინოტივის ვერტიკალურ განაწილებას და ატმოსფეროში წყლის მარაგის სიდიდეს სინოტივის მიწისპირულ მნიშვნელობასთან, რომლის დადგენა შესაძლებელია [11]-ში წარმოდგენილი რი-ის მონაცემთა ბაზის საფუძველზე. რაც შეეხება ამ გამოსახულებებში შემავალ ემპირიულ  $a$ ,  $b$  და  $c$  კოეფიციენტებს, მათი გამოოვლა შესაძლებელია, მაგალითად, უმცირეს კვადრატთა მეთოდით იმ რეპერული პუნქტების მონაცემების საფუძველზე, სადაც ჩატარებულია ატმოსფეროს აეროლოგიური ზონდირება.

რა სიზუსტით შეიძლება წყლის მარაგის გამოთვლა (2.3) და (2.8)-(2.10) ფორმულებით? ამ კითხვაზე პასუხის გასაცემად შეფასდა ცდომილება, რომელიც დადგენილ იქნა ფორმულებით მიღებულ თ-ს მნიშვნელობის მის ემპირიულ სიდიდესთან შედარებით. ემპირიული სიდიდე განისაზღვრა უშეალიდ რადიოზონდირების მონაცემების საფუძველზე შემდეგი გამოსახულებით:

$$\omega = \sum_{i=1}^n \frac{\rho_{i-1} + \rho_i}{2} (z_i - z_{i-1}) . \quad (2.13)$$

აქ  $\rho_{i-1}$  და  $\rho_i$  აბსოლუტური სინოტივის მნიშვნელობებია მეზობელ დონეებზე, რომელთა სიმაღლეებია  $z_{i-1}$  და  $z_i$ ,  $n$ -დონეთა რაოდენობა დედამიწის ზედაპირიდან დაწყებული. აბსოლუტური სინოტივ თითოეულ დონეზე გამოთვლილი იქნა ფორმულით:

$$\rho = \frac{216.75e}{273.15 + t} , \quad (2.14)$$

სადაც  $e$  და  $t$  შესაბამისად წყლის ორთქლის დოკადობა (პარციალური წნევა, მმ ან ჰექტომეტრი) და ტემპერატურაა ( $^{\circ}\text{C}$ ).

ცდომილებები დადგენილი იქნა 1967-1987წწ მონაცემების მიხედვით და მისი მნიშვნელობები მოცემულია ცხრ. 2.1-ში. როგორც ვხედავთ, ყველა შემთხვევაში (2.8)-(2.10) გამოსახულებები იძლევიან უკეთეს შედეგს, თუმცა უმარტივესი (2.3) ფორმულითაც მიიღება ოს მნიშვნელობა დასაშვები სიზუსტით.

### ცხრილი 2.1. ატმოსფეროში წყლის მარაგის გამოთვლის ცდომილებები

პარა-მეტრი	რადიოზონდირექტის პუნქტი						შენიშვნა
	ბათუ-მი	სო-ცუმი	თბი-ლისი	თეთრი-წყარო	აბას-თუმანი	რადიონოკება	
$\omega$ $\text{g/b}^2$	2.19	2.10	2.32	2.37	2.51	1.55	ო-ს ემპირიული (ნამდვილი) მნიშვნელობა, განსაზღვრულია (2.13)-ის მიხედვით
$\omega_1$ $\text{g/b}^2$	2.03	1.93	1.83	1.84	1.84	1.28	თაგამოთვლილია (2.3) ფორმულით
$\omega_2$ $\text{g/b}^2$	2.22	2.09	2.27	2.04	2.31	1.48	თაგამოთვლილია (2.8) ფორმულით
$\delta_1 \%$	9	8	24	11	26	16	$\delta_1 = \frac{ \omega_2 - \omega_1 }{\omega_1} \cdot 100\%$
$\delta_2 \%$	9	8	19	10	20	14	$\delta_2 = \frac{ \omega_2 - \omega_1 }{\omega_2} \cdot 100\%$
$\delta_3 \%$	8	8	21	22	27	18	$\delta_3 = \frac{ \omega - \omega_1 }{\omega} \cdot 100\%$
$\delta_4 \%$	1	1	2	14	8	5	$\delta_4 = \frac{ \omega - \omega_2 }{\omega} \cdot 100\%$

შემდგომ გამოკვლევაში [11], სადაც დაისვა საქართველოში კლიმატურ ცვლილებებთან დაკავშირებით ატმოსფეროში სინოტივის ველისა და მისი საუკუნეობრივი ცვლილების ემპირიულ-სტატისტიკური მოდელის აგების ამოცანა, გამოიკვეთა მოსაზრება (2.1)-ში შემავალი ც კოეფიციენტის z-ის უფრო რთული ფუნქციით წარმოდგენისა, ვიდრე მისი წრფივი (2.6) მიახლოვება. უნდა აღინიშნოს, რომ ჯერ კიდევ [2]-ში განხილული მასალა მიუთითებს (2.8)-ში შემავალი k კოეფიციენტის

არა მარტო z-ზე წრფივ დამოკიდებულებაზე, არამედ მისი z-ის უფრო რთული ფუნქციით წარმოდგენის შესაძლებლობაზე (მაგ. თბილისის მონაცემები). ეს კი ნიშნავს სწორედ  $c = \frac{1}{k}$

კოეფიციენტის არაწრფივობას ვერტიკალური კოორდინატის მიმართ. ასევე [4]-ში წარმოდგენილი  $a$  კოეფიციენტის წრფივი აპროქსიმაცია, თანახმად (2.5)-ისა, არ ითვალისწინებს ატლანტიკის და ინდოეთის ოკეანეებში ჩატარებული რადიოზონდორების მონაცემებს, რომლებიც აგრეთვე მიუთითებენ c-ს არაწრფივ დამოკიდებულებაზე ვერტიკალურ კოორდინატზე.

ქვემოთ მოცემულ ნახ. 2.1-ზე წარმოდგენილია ორი მრუდი (ა) და (ბ), რომლებიც ცალკ-ცალკე ასახავენ  $c(z_0, z)$  ფუნქციას ზემოსსენებულ ორ პერიოდში. მრუდი (ა) შეესაბამება პირველი პერიოდის (1936-1957წწ., [1-3]), ხოლო (ბ)- მეორე პერიოდის (1962-1987წწ., [4,5]) და წინამდებარე ნაშრომში გაანალიზებული აეროლოგიურ დაკვირვებათა მასალები) მონაცემებს.  $a$ ,  $b$  და  $c$  კოეფიციენტების მნიშვნელობები დაკვირვების პერიოდისა და აეროლოგიური ზონდირების პუნქტის შესაბამისად მოცემულია ცხრ. 2.2-ში. (ა) და (ბ) მრუდები ნახ.2.1-ზე აგებულია ამ ცხრილის საფუძველზე. (ბ) მრუდის ანალიზური წარმოდგენა მოიცემა (2.15) ფორმულით:

$$c(z_0) = \begin{cases} 0.5 - 0.28z_0, & \text{თუ } z_0 \leq 0.3\beta \\ 0.36 + 0.19z_0 - 0.024z_0^2, & \text{თუ } z_0 > 0.3\beta \end{cases} \quad (2.15)$$

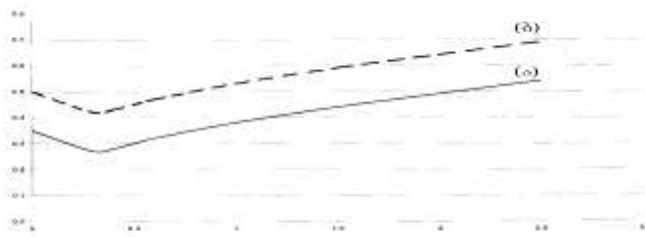


Fig. 2.1. С дифференцируемых (однократноградиентных) методах  
 (a) - 1938-1957 гг.; (б) - 1962-1987 гг.

**ცხრილი 22.c, a და b კოეფიციენტების მნიშვნელობები (2.1) და (2.4) ფორმულებში**

პერიოდი წწ.	კო-ეფ.	დაგვ. პუნქტი	სიმაღლე ზღვის	თვეები												საშ. წლ.
				I	II	III	IV	V	VI	VII	VIII	IX	X	XI	XII	
1981-1987	c	ბათუმი სოხუმი თბილისი	2 26 403	0.56 0.54 0.42	0.54 0.49 0.43	0.51 0.5 0.42	0.5 0.48 0.44	0.46 0.49 0.38	0.49 0.5 0.38	0.55 0.49 0.45	0.53 0.47 0.47	0.47 0.51 0.4	0.5 0.5 0.46	0.56 0.5 0.41	0.48 0.49 0.45	0.508 0.497 0.426
1973-1974		თეთრი-წყარო	1140								0.566					0.566
1978-1979		აბასთ.	1265							0.557						0.557
1967-1968		რადიონ.	2100							0.627						0.627
1981-1987	a	ბათუმი სოხუმი თბილისი	2 26 403	0.38 0.41 0.23	0.35 0.31 0.23	0.39 0.39 0.1	0.39 0.3 0.19	0.38 0.3 0.09	0.36 0.37 0.12	03 0.41 0.25	0.28 0.39 0.1	0.33 0.3 0.11	0.36 0.39 0.14	0.46 0.41 0.14	0.46 0.41 0.15	0.37 0.364 0.154
1973-1974		თეთრი-წყარო	1140							0.413						0.413
1978-1979		აბასთ.	1265							0.287						0.287
1967-1968		რადიონ.	2100							0.542						0.542
1981-1987	b	ბათუმი სოხუმი თბილისი	2 26 403	0.03 0.02 0.03	0.03 0.03 0.03	0.02 0.02 0.05	0.02 0.03 0.04	0.01 0.03 0.05	0.02 0.02 0.04	0.03 0.01 0.03	0.04 0.01 0.06	0.02 0.04 0.05	0.02 0.02 0.05	0 0.02 0.04	0.022 0.023 0.043	
1973-1974		თეთრი-წყარო	1140							0.26						0.26

1978-1979		აბასთ.	1265						0.46						0.46						
1967-1968		რადიონ.	2100						014						0.14						
პერი-ოდი წწ.	პო-მც.	დაბე-პენ-ქტი	სი-მაღ.ზღვდ.												საშ.წლ.						
1962-1971	c	თბილისი ტაძეი წენ.ობ. ატლ.ობ.	403 220 0 0	0.422 0.325 0.581 0.86					0.454 0.355 0.527 0.728	0.422 0.281 0.538 0.836					0.394 0.254 0.576 0.677	0.411 0.266 0.52 0.778	0.425 0.285 0.564 0.632				0.421 0.294 0.551 0.752
1962-1971	a	თბილისი ტაძეი წენ.ობ. ატლ.ობ.	403 220 0 0	0.325 0.257 0.606					0.365 0.23 0.542	0.306 0.168 0.526					0.254 0.135 0.624	0.311 0.14 0.522	0.364 0.183 0.61				0.321 0.185 0.572
1962-1971	b	თბილისი ტაძეი წენ.ობ. ატლ.ობ.	403 220 0 0	0.032 0.027 0.005					0.03 0.036 0.008	0.034 0.04 0.009					0.04 0.045 0.008	0.032 0.036 0.002	0.027 0.034 0.008				0.032 0.036 0.007

(ბ) მრუდის აგებისას ცხრ. 2.2-დან არ არის გათვალისწინებული 1962-1971წწ პერიოდის თამდისა და ატლანტიკის ოკეანის მონაცემები. ეს აიხსნება იმით, რომ პუნქტი თამდი მდებარეობს დაახლოებით  $z_0=0.2$ მ სიმაღლეზე შესაძლებელის უდაბნოს რეგიონში და მისთვის დამახასიათებელია მკვეთრად კონტინენტური, გვალვიანი ჰავა. ასეთი სიმაღლეებით საქართველოს ტერიტორიაზე წარმოდგენილია კოლხეთის დაბლობი, საპირისპირო სუბტროპიკული ტენიანი კლიმატით. რაც შეეხბა ატლანტიკაში რადიოზონდირების პუნქტს, იგი მდებარეობს გოლფსტრიმის დინების საზღვარზე, მისი წარმოქმნის რაიონში ( $z_0=0$ ) და ხასიათდება საქართველოს სანაპირო ზოლისთვის არაგიპიური, მეტად არამდგრადი ამინდისა და ზედმეტად ტენიანი ტროპიკული კლიმატური პირობებით. ასევე, (ა) მრუდის აგებისას არ არის მხედველობაში მიღებული ერევნის მონაცემები (1936-1953წწ) მათი დაბალი სტატისტიკური უზრუნელყოფის გამო, რაც გამოიხატა ც კოეფიციენტის განსაზღვრის დიდ ცდომილებებში. როგორც ნახ.2.1-დან ჩანს, (ა) და (ბ) დამოკიდებულებები დაახლოებით ერთნაირი მოხაზულობისაა. შეიძლება ჩავთვალოთ, რომ ისინი გადადიან ერთმანეთში ორდინატთა დერმის მიმართ პარალელური გადატანით. ეს ადასტურებს მოსაზრებას, რომ ნაპოვნი  $c(z_0)$  ანალიზური წარმოდგენა საქართველოს რეგიონისთვის უნივერსალურ ხასიათს ატარებს. იგი ითვალისწინებს სინოტივის ვერტიკალურ განაწილებას როგორც კოლხეთის დაბლობის ზონაში, ასევე დასავლეთ და აღმოსავლეთ საქართველოს მთისწინა და მთიან რაიონებში. უნდა გიგარაუდოთ, რომ ორი (ა) და (ბ) დამოკიდებულების არსებობა დაკავშირებულია ატმოსფეროში სინოტივის ველის კლიმატურ ცვლილებასთან. ისინი ასახავენ არსებული ორი ჯგუფის აეროლოგიურ მონაცემებს და ორი პერიოდის შესაბამის აბსოლუტური სინოტივის ვერტიკალურ სტრუქტურას რეგიონში. შეიძლება ვიგულისხმოთ, რომ კლიმატურ ცვლილებას ამ შემთხვევაში გამოხატავს  $c(z_0)$  დამოკიდებულებაში შემავალი ემპირიული კოეფიციენტების ცვალებადობა. მაგრამ არ არის გამორიცხული, რომ კლიმატური ცვლილება იწვევდეს თვით სინოტივის ველის სტრუქტურის აღმწერი ფუნქციის ტიპის შეცვლასაც.

ამრიგად, აბსოლუტური სინოტივისა და წყლის მარაგის კელების, აგრეთვე მათი ცვლილების შესწავლისას, ძირითადად გამოყენებული იქნება ინფორმაცია  $c(z)$  კოეფიციენტის შესახებ, ხოლო დამატებით, საჭიროებისამებრ, მონაცემები  $a$  და  $b$  კოეფიციენტებზე.

## 2.2. აბსოლუტური სინოტივე მიწისპირა ფენაში და თავისუფალ ატმოსფეროში

როგორც ცნობილია ტენშემცველობა ატმოსფეროში მიყება ტემპერატურის წლიურ მსვლელობას და შეესაბამება, აგრეთვე, აორთქლების ინტენსივობას წყლის და დედამიწის ზედაპირებიდან. ნახაზებზე 2.2, 2.3 და 2.4 მოცემულია საქართველოს ტერიტორიაზე აბსოლუტური სინოტივის წლიური, იანვრის და ივლისის განაწილებები მიწისპირა ფენაში. ამისათვის გამოყენებულ იქნა  $\rho_0$  მონაცემთა ბაზა [11] და რადიოზონდირების მონაცემები  $z=0-0.5$  დონისათვის. როგორც ვხვდავთ, აბსოლუტური სინოტივის მინიმალური მნიშვნელობები დაიკვირვება ზამთარში (იანვარი), ხოლო მაქსიმალური-ზაფხულში (ივლისი). როგორც მოსალოდნელი იყო, მომატებული ტენშემცველობა ახასიათებს მოლიანად დასავლეთ საქართველოს და, კერძოდ, კოლხეთის დაბლობს. აქ ზამთარში  $\rho_0=5-6\text{g}/\text{m}^3$  საზღვრებშია, ზაფხულში  $\rho_0=16-18\text{g}/\text{m}^3$ , ხოლო წლიური მნიშვნელობები შეადგენებ  $\rho_0=10-12\text{g}/\text{m}^3$ . მთისწინა რაიონებში სინოტივე იანვარში ეცემა  $\rho_0=4\text{g}/\text{m}^3$ -მდე, ხოლო კავკასიონის დასავლეთისა და ცენტრალური ნაწილების მთიან და მაღალ-მთიან ზოლში  $\rho_0=2-3\text{g}/\text{m}^3$ . აქვე მთისწინეთში ივლისში სინოტივე შეადგენს  $\rho_0=12-16\text{g}/\text{m}^3$ , ხოლო წლიური მნიშვნელობა  $\rho_0=8-10\text{g}/\text{m}^3$ . მთიან და მაღალმთიან ზონაში ივლისში  $\rho_0=8-12\text{g}/\text{m}^3$ , საშუალო წლიური სიდიდე  $\rho_0=4-8\text{g}/\text{m}^3$ . დასავლეთ-აღმოსავლეთ საქართველოს გამყოფი ლინის ქედის რაიონში სინოტივე იანვარში  $\rho_0=3.5-4.0\text{g}/\text{m}^3$ , ივლისში  $\rho_0=11.5-13.5\text{g}/\text{m}^3$ , საშუალო წლიური მნიშვნელობა შეადგენს  $\rho_0=7-8\text{g}/\text{m}^3$ .

სამცხე-ჯავახეთის რეგიონს საერთოდ ახასიათებს აბსოლუტური სინოტივის შედარებით დაბალი მნიშვნელობები: იანვარში  $\rho_0=2-3\text{g}/\text{m}^3$ , ივლისში  $\rho_0=8-12\text{g}/\text{m}^3$ , საშუალო წლიური სიდიდე  $\rho_0=5-7\text{g}/\text{m}^3$ .

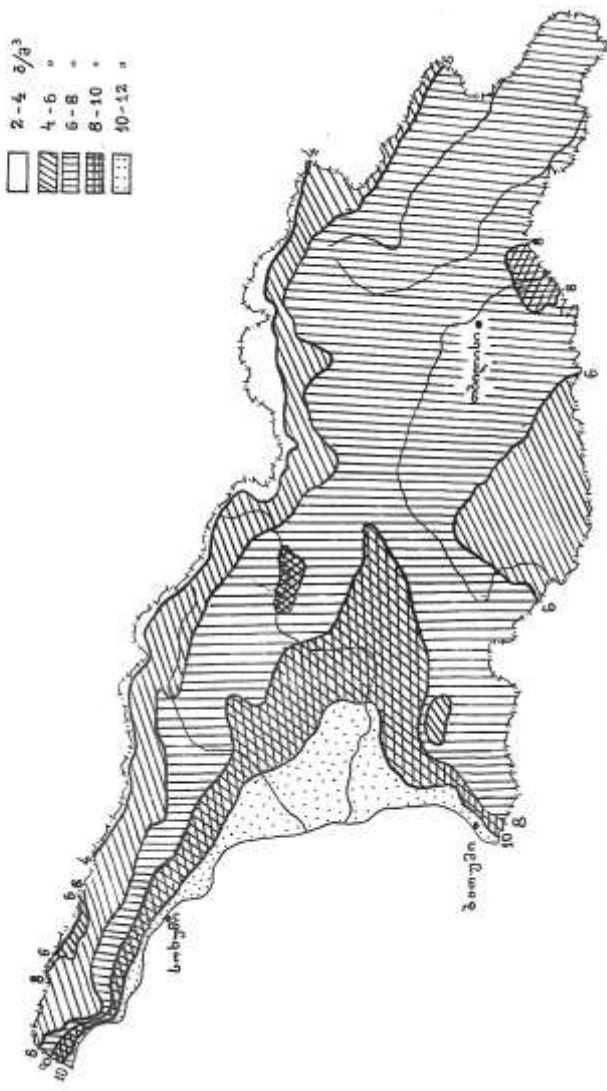


Fig. 2.2. *Admixture* ( $\delta$ ) between two different *haplotypes* ( $H_1$  and  $H_2$ ) in *heterozygous* ( $H_1H_2$ ) individuals.

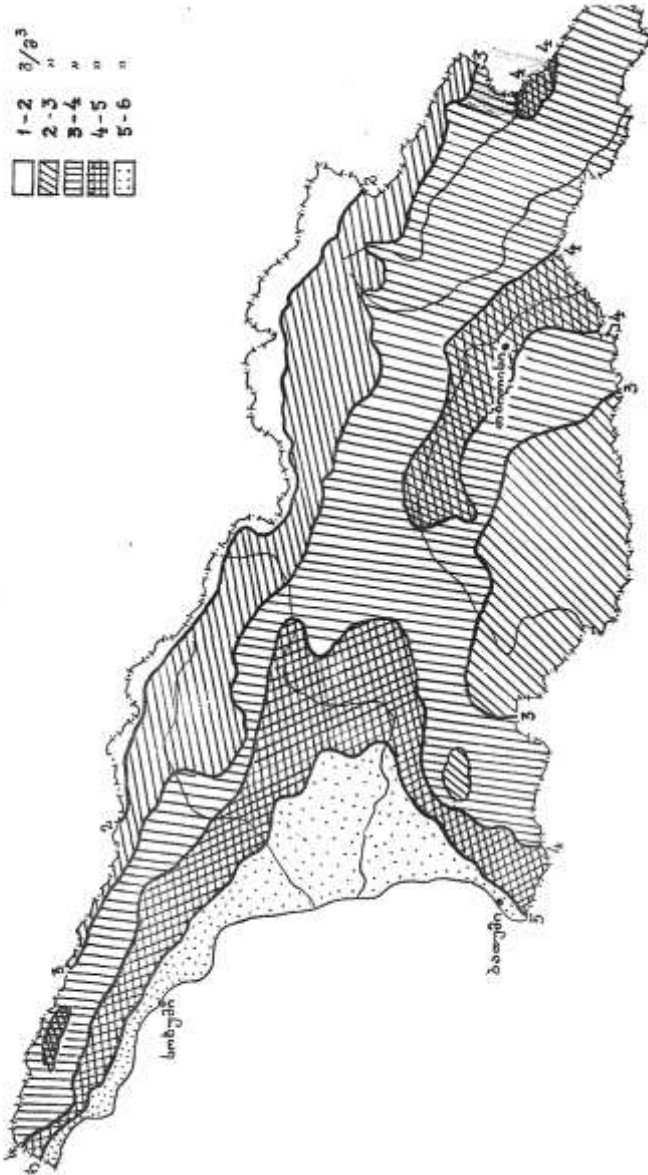


Fig. 2.3. Նեղութեան խորհրդական տակառություն օրդի հաջործ մեջ բարելավացնելու համար պահանջման առավելագույն ակտուալ համար օրդի հաջործ օպերատորական հայ

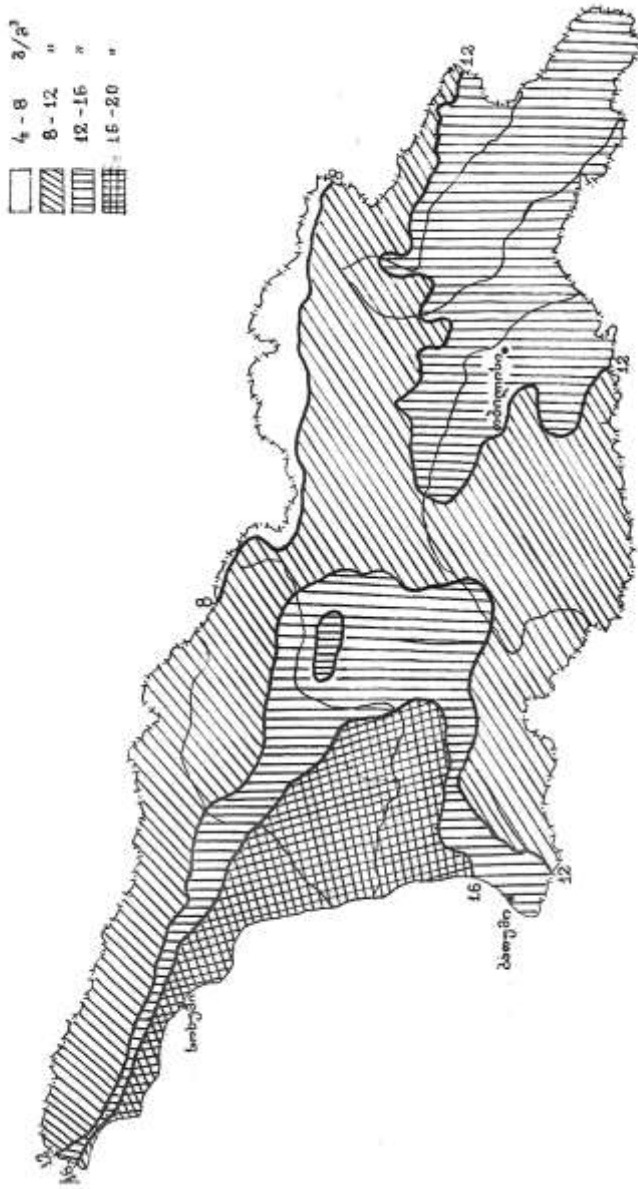


Fig. 24. Հայոց Շինուազրի հովտության տարրական օբյեկտների լուծարությունների քանակական գումարը մակարդակությամբ.

დასავლეთ საქართველოსთან შედარებით აღმოსავლეთ საქართველო ყველა თვეებში გამოირჩევა ატმოსფეროს მიწისპირა ფენაში ტენშემცველობის განაწილების ერთგვაროვნობით. ატმოსფეროს მეტი სიმშრალის გამო აქაც დაიკვირვება აბსოლუტური სინოტივის დაბალი მნიშვნელობები: საშუალო წლიური სიდიდე თითქმის მთელ მის ტერიტორიაზე შეადგენს  $\rho_0=6-8\text{g}/\text{მ}^3$ , აღმოსავლეთ კავკასიონის მთიანეთში სინოტივე ეცემა  $\rho_0=4\text{g}/\text{მ}^3$ -მდე, ხოლო მაღალ მთაში  $\rho_0=2-4\text{g}/\text{მ}^3$ -მდე. როგორც აღვნიშეთ, ყველაზე დაბალი სიდიდეები დაიკვირვება ზამთარში: იანვარში დაბლობ რაიონებში  $\rho_0=3-4\text{g}/\text{მ}^3$ , მთიანეთში  $\rho_0=2-3\text{g}/\text{მ}^3$ , მაღალ მთაში  $\rho_0=1-2\text{g}/\text{მ}^3$ . ზაფხულის თვეებში (ივლისი) აბსოლუტური სინოტივის მაქსიმალური მნიშვნელობებია: დაბლობში  $\rho_0=12-13\text{g}/\text{მ}^3$ , მთისწინა და მთიან ნაწილში  $\rho_0=8-12\text{g}/\text{მ}^3$ , ხოლო აღმოსავლეთ კავკასიონის მაღალ-მთიან კიწრო ზოლში  $\rho_0=4-8\text{g}/\text{მ}^3$ .

სიმაღლის მიხედვით აბსოლუტური სინოტივის საშუალო მნიშვნელობები, აგრეთვე სხვადასხვა პუნქტებში დაფიქსირებულ სიდიდეებს შორის მკვეთრი განსხვავება კლებულობს. ცხრ. 2.3-ის მიხედვით დედამიწის ზედაპირიდან  $z=3.5\text{კმ}$ -ზე  $\rho_0=1.1-2.2\text{g}/\text{მ}^3$  საზღვრებშია, ხოლო  $z=5.5\text{კმ}$ -ზე  $\rho_0=0.3-0.7\text{g}/\text{მ}^3$ . საშუალო სიდიდეებს შორის შესამჩნევი განსხვავება სიმაღლეებზე, გამოწვეული მთაგორიანი რელიეფის გაყლენით, კრცელდება  $z=1.5-2.5\text{კმ}$ -მდე, რაც ადასტურებს [1]-ში მიღებულ შედეგებს.

(2.15) კანონზომიერებიდან გამომდინარე შეიძლება უშუალოდ შეფასდეს, მაგალითად, ორი პუნქტისთვის ზღვის დონიდან ის სიმაღლე, სადაც აბსოლუტური სინოტივის მნიშვნელობები გაუტოლდებიან ერთმანეთს. პირობიდან

$$\rho_1 \exp[-c_1(z_1)(z-z_1)] = \rho_2 \exp[-c_2(z_2)(z-z_2)] \quad (2.16)$$

მივიღებთ

$$z = \frac{\ln\left(\frac{\rho_2}{\rho_1}\right) + c_2 z_2 - c_1 z_1}{c_2 - c_1} \quad . \quad (2.17)$$

აქ  $\rho_1$  და  $\rho_2$  აბსოლუტური სინოტივის მიწისპირა მნიშვნელობებია შესაბამისად პირველ და მეორე პუნქტებში,  $z_1$  და  $z_2$  მათი სიმაღლეებია ზღვის დონიდან (კმ-ში), ხოლო  $c_1$  და  $c_2$  კოეფიციენტები გამოითვლება (2.15)-ის საფუძველზე. მაგალითად, თბილისი-რადიონოვების შემთხვევაში (2.17)-დან მიიღება  $z=5.6\text{ კმ}$ , რაც ამ პუნქტების განლაგების სიმაღლის გათვალისწინებით, კარგ თანხვედრაშია ცხრ. 2.3-ის მონაცემებთან.

### ცხრილი 2.3 აბსოლუტური სინოტივის ( $\text{გ/მ}^3$ ) მნიშვნელობები სიმაღლეების მიხედვით

№	პუნქტი	სიმაღლე $z_0$									
		0	0.5	1.0	1.5	2.5	3.5	4.5	5.5	6.5	7.5
1	ბათუმი	9.535 4.280	7.885 3.522	6.307 2.847	5.193 2.472	3.483 1.960	2.224 1.320	1.314 0.8109	0.6754 0.4442	0.3608 0.2289	0.1914 0.1400
2	სოხუმი	9.161 4.187	7.505 3.587	6.143 3.143	5.082 2.820	3.220 1.986	2.097 1.306	1.257 0.7509	0.6758 0.4339	0.3724 0.2545	0.1844 0.1327
3	თბილისი	7.78	6.27	5.05	4.06	2.64	1.71	1.11	0.72	0.47	0.30
4	თეთრი-წყარო	11.32 2.047	8.537 1.868	7.322 1.696	6.163 1.597	3.867 1.154	2.129 0.7500	1.136 0.4976	0.5359 0.2865	0.2689 0.1445	0.1458 0.0841
5	აბასთუ-მანი	9.99	7.54	5.70	4.30	2.45	1.40	0.80	0.45	0.26	0.15
6	რადიო-ნობა	8.238 1.578	6.526 1.315	5.258 1.249	4.077 1.020	2.235 0.8020	1.098 0.5231	0.5501 0.2930	0.2774 0.1452	0.144 0.0668	0.0751 0.0343

1-3 პუნქტებისათვის მოცემულია  $\rho$ -ს საშუალო წლიური მნიშვნელობები, 4-6 შემთხვევაში კი  $\rho$ -ს საშუალო სიდიდე ივნის-აგვისტოს პერიოდისათვის.

აღსანიშნავია, რომ საქართველოს ტერიტორიაზე მიწისპირა ფენაში და თავისუფალ ატმოსფეროში სინოტივის რეგიონალურ კანონზომიერებაზე წარმოდგენა შეიძლება მივიღოთ უშუალოდ (2.15) დამოკიდებულებიდან. მაგალითად ის ფაქტი, რომ  $z_0 \leq 0.3\text{ კმ}$  სიმაღლეებისთვის  $c(z_0)=0.5-0.28z_0$ , ე.ო. კოეფიციენტი კლებულობს სიმაღლის მიხედვით და სინოტივე კი პირიქითი იზრდება, ფიზიკურად მიგვანიშნებს, რომ კოლხეთის დაბლობის თავზე ადგილი აქვს წყლის ორთქლის მარაგის დაგროვებას, რაც გამოხატულებას პოულობს ამ რეგიონის მეტად ნოტიო ჰავაში, ჭარბ ნალექებში, მათი სიდიდის მატებაში სიმაღლის მიხედვით, დაჭაობებული მიწების არსებობაში, ზედაპირიდან აორთქლების პროცესის ინტენსივობის გაზრდაში და სხვ. ამიტომ, წლის ყველა თვეში და სეზონში ატმოსფეროს

ტენშემცველობა აქ გაცილებით მეტია, ვიდრე საქართველოს სხვა რეგიონში.

### **2.3. აბსოლუტური სინოტივის ვერტიკალური განაწილების დღე-დამური და სეზონური გარიაციები**

აბსოლუტური სინოტივის მიწისპირა ველის დღე-დამური გარიაციების შესასწავლად გამოყენებული იქნა კლიმატური ცნობარების მასალები [12-14]. მაგალითად [12]-ში მოცემულია 1966-1980 წლებში 8 ვადიან დაკვირვებათა მიხედვით პარის ტემპერატურისა და წყლის ორთქლის საშუალო თვიური და წლიური მნიშვნელობები ორი სადგურისათვის-სამტრედია და თბილისი. ამ მონაცემების საფუძველზე (2.14) ფორმულით გამოვლილი აბსოლუტური სინოტივის საშუალო წლიური მნიშვნელობების დღე-დამური ცვლილება წარმოდგენილია ცხრ. 2.4.-ში. აქ მოვანილია ცვლილების კოეფიციენტის სიდიდეები 8 ვადიანი დაკვირვებების მიხედვით (ვარიაციის კოეფიციენტისგან განსხვავებით)

$$k = \frac{\rho_i}{\rho_0} . \quad (2.18)$$

აბსოლუტური სინოტივის დღე-დამური ცვლილებები 8 და 4 ვადიანი დაკვირვების მიხედვით სამტრედისა და თბილისისათვის მოცემულია ცხრ. 2.4 და 2.5.-ში.

**ცხრილი 2.4 აბსოლუტური სინოტივის დღე-დამური ცვლილება სამტრედისა და თბილისისათვის 8 ვადიანი**

**დაკვირვების მიხედვით**

დაკვ. გადა სთ.	სამტრედია				თბილისი			
	ტემპ. t°C	წყლ. ორთქ. დრეკ- ებბ	აბსოლ. სინოტ. გ/მ³	$k = \frac{\rho_i}{\bar{\rho}}$	ტემპ. t°C	წყლ. ორთქ. დრეკ- ებბ	აბსოლ. სინოტ. გ/მ³	$k = \frac{\rho_i}{\bar{\rho}}$
21	13.6	13.4	10.14	1.044	12.0	10.6	8.07	1.022
0	12.5	13.3	10.10	1.040	10.7	10.5	8.03	1.017
3	11.8	12.9	9.82	1.011	9.8	10.3	7.90	1.000
6	11.5	12.5	9.53	0.982	9.5	10.3	7.91	1.001
9	14.2	12.2	9.21	0.949	12.6	10.6	8.05	1.019
12	17.5	12.7	9.48	0.976	16.1	10.4	7.80	0.987
15	18.6	12.9	9.60	0.989	17.1	10.2	7.63	0.966
18	16.3	13.1	9.82	1.011	14.9	10.4	7.84	0.992

ცხრილი 2.5.აბსოლუტური სინოტივის დღე-ლამური ცვლილება  
სამტრედიისა და თბილისისათვის 4 გადიანი დაკვირვების  
მიხედვით

დაპკ- გადა- სთ.	სამტრედია				თბილისი			
	ტემპ. t°C	წყლ. ორთქ. დრეპ. ებბ	აბსოლ. სინოტ. გ/მ³	$k = \frac{\rho_i}{\bar{\rho}}$	ტემპ. t°C	წყლ. ორთქ. დრეპ. ებბ	აბსოლ. სინოტ. გ/მ³	$k = \frac{\rho_i}{\bar{\rho}}$
0	14.3	13.0	9.81	0.988	10.3	10.7	8.19	1.029
6	14.3	12.7	9.59	0.966	9.9	10.5	8.05	1.011
12	14.6	13.2	9.96	1.003	16.6	10.1	7.56	0.950
18	14.4	13.7	10.34	1.041	13.8	10.6	8.02	1.008

როგორც ვხედავთ, სინოტივის რყევა სამტრედიის შემთხვევაში უფრო მეტად არის გამოხატული, ვიდრე თბილისში. რყევის ამპლიტუდა სამტრედიაში შეადგენს დაახლოებით 0.04-0.05გ/მ³, ე.ი. არ აღემატება დღე-ლამური მნიშვნელობის ( $\bar{\rho}_0 = 9.71\text{გ/მ}^3$ ) 5%-ს. თბილისში კი ამპლიტუდა უდრის 0.02-0.03გ/მ³-ს ან ( $\bar{\rho}_0 = 7.90\text{გ/მ}^3$ ) 3-4%-ს. განსხვავებულია თავად მსვლელობის ხასიათი: სამტრედიაში აღინიშნება ერთი მინიმუმი (6სთ) და ერთი მაქსიმუმი (21სთ), თბილისში კი - ორი მინიმუმი (6 და 15სთ) და ორი მაქსიმუმი (9 და 24სთ). მსვლელობის დამთხვევა აღინიშნება მხოლოდ დამის და დილის საათებში (0-9სთ). სამტუხაროდ [12]-ში არ არის მოცემული ტემპერატურისა და წყლის ორთქლის დრეკადობის 8 ვადიან დაკვირვებათა მონაცემები სხვა სადგურებისთვის, რაც არ იძლევა ვარიაციის რეგიონალური თავისებურებების გამოვლენის საშუალებას. ასეთი პირველადი მასალების მოძიება უნდა მოხდეს უშუალოდ პიდრომეტეოროლოგიურ მონაცემთა ფონდიდან და დაკავშირებულია დიდი მოცულობის სამუშაოსთან, რადგან განხილული უნდა იყოს ყოველდღიური 8 ვადიან დაკვირვებათა მონაცემები დასავლეთ და აღმოსავლეთ საქართველოს ტერიტორიაზე განთავსებულ 20-20 სადგურისათვის მაინც. ასეთ ვითარებაში ბუნებრივია მიგმართოთ სამეცნიერო ლიტერატურაში არსებულ 4 ვადიან დაკვირვებათა მასალებს [13,14]. უპირველეს ყოვლისა საინტერესოა შევადაროთ იგივე სადგურებზე აბსოლუტური სინოტივის დღე-ლამური ვარიაციები 8 და 4 ვადიანი დაკვირვე-

ბევრის მიხედვით. ასეთი შედარება შეიძლება ჩატარდეს ცხრ. 2.5. და ცხრ. 2.6-ში წარმოდგენილი მონაცემების საშუალებით.

**ცხრილი 2.6.აბსოლუტური სინოტივის დღე-დამური ცვლილება [15]-ში წარმოდგენილი მონაცემების მიხედვით**

დაკვ- ვადა სო.	სამტრედია		თბილისი		სამტრედია, K თვეების მიხედვით		I	IV	VII	X
	ρ	K	ρ	K						
6	9.6	0.967	8.05	1.011	0.994	0.993	0.995	0.990		
9	9.8	0.987	7.75	0.974	1.002	1.005	1.001	1.001		
12	10.0	1.007	7.65	0.961	1.010	1.011	1.012	1.015		
15	10.2	1.027	7.85	0.986	1.008	1.010	1.010	1.009		
18	10.25	1.032	8.10	1.018	1.000	1.001	1.002	0.999		

შევნიშნოთ, რომ [13]-ში არ არის შესული სამტრედიის პირობებში ტემპერატურაზე დაკვირვებათა მონაცემები დღე-დამური მსვლელობის შესახებ. ამიტომ, 4 ვადიანი მონაცემები ტემპერატურაზე აღდგენილ იქნა მეთოდით, რომელიც შემოთავაზებულია [15,16]-ში. ანალიზი გვიჩვენებს, რომ ერთი და იგივე პერიოდის (1966-1980წწ) 8 და 4 ვადიან ვარიაციებს შორის საქმაოდ კარგი დამთხვევაა. აღსანიშნავია, აგრეთვე, კარგი დამთხვევა 4 და 8 ვადიან დღე-დამური საშუალოებს შორის – აბსოლუტური სინოტივის მნიშვნელობები ერთმანეთის ტოლია მეთევდის სიზუსტით. რაც შეეხება დაკვირვებებს სხვადასხვა პერიოდებში, დღე-დამური ვარიაციების განსხვავება შესამჩნევია ერთის მხრივ 8 და 4 ვადიან (1966-1980წწ) და, მეორეს მხრივ, 4 ვადიან (1936-1965წწ) მრუდების შედარებისას. სამტრედიის შემთხვევაში ეს განსხვავება მეტად არის გამოხატული, ვიდრე თბილისათვის. მაგრამ აბსოლუტური სინოტივის შესაბამისი დღე-დამური საშუალოების განსხვავება უმნიშვნელო: სამტრედიისათვის – 9.9 (1936-1965) და 9.7 გ/მ<sup>3</sup> (1966-1980), თბილისათვის – 8.0 (1936-1965) და 7.9 გ/მ<sup>3</sup> (1966-1980). შემჩნეული განსხვავება ვარიაციებში შეიძლება გამოწვეული იყოს სწორედ სხვადასხვა პერიოდის მონაცემების განხილვით ცხრ. 2.6-ში.

ანალიზის შედეგი საშუალებას გვაძლევს დავასკვნათ, რომ არსებული უმნიშვნელო განსხვავებათა გამო აბსოლუტური სინოტივის დღე-დამური მსვლელობის შემდგომი კვლევისთვის სრულიად მისაღებია 4 ვადიან დაკვირვებათა მასალების განხილვა [13,14]. ამისათვის შერჩეული იქნა 20 საღ

გური დასავლეთ საქართველოში და 24 აღმოსავლეთ საქართველოში იმ პრინციპის თანახმად, რომ ორივე ამონაკრებში მეტნაკლებად თანაბრად იყოს წარმოდგენილი პუნქტები მათი კერტიკალური ზონალობის მხრივ განთავსების თვალსაზრისით.

ცხრ.2.7-ში მოცემულია დასავლეთ და აღმოსავლეთ საქართველოს მეტეოპუნქტებზე აბსოლუტური სინოტივის ცვლილების კოეფიციენტის მნიშვნელობები 4 ვადიან დაკვირვებათა თანახმად, მათი განაწილება თვეების მიხედვით და საშუალო წლიური სიდიდე. ყოველი ვადის (1,7,13 და 19სთ) შესაბამის მონაცემთა ბოლო სტრიქონში შესულია K-ს ტერიტორიული გასაშუალოებით მიღებული სიდიდეები თვეების მიხედვით და მისი წლიური მნიშვნელობა.ანალიზი ცხადპყოფს, რომ სინოტივის დღე-დამური ვარიაცია მეტეოპუნქტებზე დაახლოებით ერთი და იგივე ხასიათისაა ორივე რეგიონში. ამიტომ, ანალიზის შედეგად მიღებული დასკვნები ეხება მთლიანად საქართველოს ტერიტორიას. კერძოდ, 1სთ-ზე უმეტეს შემთხვევებში აბსოლუტური სინოტივის გადახრა დღე-დამურ საშუალოდან

$$\sigma = |k - 1| \quad (2.19)$$

არ აღემატება 5%, ზოგიერთ შემთხვევაში მაქსიმალური გადახრა შეადგენს 10-14%, ტერიტორიული გასაშუალოების შემდეგ თვეების მიხედვით იგი არ აჭარბებს 3%, ხოლო წლიური გადახრა ტოლია 2%-ის. როგორც წესი ამ ვადაში  $K < 1$ .

7 სთ-ზე გადახრის სიდიდე იზრდება. უმეტეს შემთხვევებში იგი არ აღემატება 5-7%, მაქსიმალური გადახრა შეადგენს 10-13%, ტერიტორიული გასაშუალოების შემდეგ მაქსიმალური გადახრა თვეების მიხედვით არ აღემატება 6-7%, წლიური ტოლია 3-5%. ძირითადად  $K < 1$ .

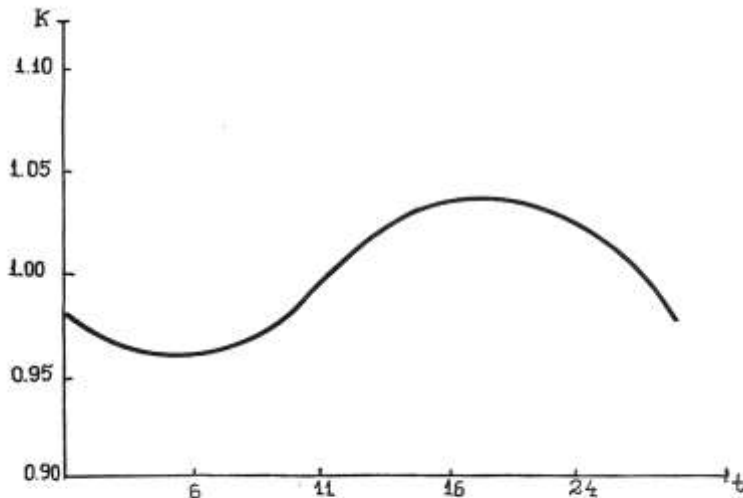
13სთ-ზე უმეტეს პუნქტებზე გადახრა არ აღემატება 5-10%, მაქსიმალური გადახრა ერთეულ შემთხვევებში იზრდება 20-25%-მდე, ტერიტორიული გასაშუალოებით მიღებული გადახრა ყოველ თვეში არ აჭარბებს 5-6%, წლიური გადახრა ტოლია 2%. უმეტეს შემთხვევებში  $K > 1$ .

19სთ-ზე გადახრა მცირდება და ძირითადად არ აღემატება 5-7%, მაქსიმალური გადახრა შეადგენს 10-11%, ტერიტორიული გასაშუალოების შემდეგ თვეების მიხედვით იგი არ

აჭარბებს 4-6%, წლიური სიდიდე ტოლია 3-4%. თითქმის ყველა პუნქტზე  $K > 1$ .

დასავლეთ საქართველოში ვარიაცია უფრო გამოხატულია, ვიდრე აღმოსავლეთ საქართველოში: ყველა ვადაში გადახრის სიდიდე, როგორც წესი, მეტია დასავლეთის რეგიონში, ვიდრე აღმოსავლეთში. მაქსიმალური გადახრები დაიკვირვება მაღალმთიან სადგურებზე ზაფხულის თვეებში.

მიღებული შედეგებიდან გამომდინარე ნახ. 2.5-ზე მოცემულია საქართველოს მთელი ტერიტორიისათვის დამახასიათებელი აბსოლუტური სინოტიფის ცვლილების  $K$  კოეფიციენტის



ნახ. 2.5.  $K$  კოეფიციენტის დაცულამური ცვლილება საქართველოს ტერიტორიისათვის, გამოითვლილი 2.20 ფორმულით.



ცხრილი 2.7.აბსოლუტური სინოტიგის დღე-დამური ცვლილების კოეფიციენტები ( $K=P/\bar{P}$  4 გა-დიანი დაკვირვებების მიხედვით

ტერიტორია	დაბ- გადა (სო.)	კოეფიც- k	თვე												საჭ. წლ.
			I	II	III	IV	V	VI	VII	VIII	IX	X	XI	XII	
დასავალე საქართველო	1	საშუალო მინიმალური მაქსიმალური	0.98 0.95 1.01	0.98 0.93 1.05	0.98 0.94 1.03	0.97 0.92 1.02	0.96 0.90 1.04	0.97 0.91 1.04	0.99 0.92 1.03	0.98 0.94 1.04	0.98 0.94 1.02	0.98 0.95 1.01	0.98 0.95 1.01	0.98 0.94 1.03	0.98
	7	საშუალო მინიმალური მაქსიმალური	0.95 0.87 1.00	0.95 0.88 1.00	0.95 0.90 0.98	0.97 0.92 1.01	0.98 0.94 1.04	0.97 0.93 1.04	0.97 0.91 1.02	0.96 0.91 1.01	0.94 0.89 0.98	0.94 0.89 0.97	0.94 0.91 0.97	0.95 0.91 1.00	0.95
	13	საშუალო მინიმალური მაქსიმალური	1.04 0.96 1.12	1.02 0.95 1.11	1.02 0.96 1.08	1.01 0.91 1.08	1.01 0.91 1.12	1.02 0.92 1.14	1.02 0.94 1.15	1.02 0.94 1.17	1.02 0.94 1.19	1.03 0.96 1.15	1.04 0.97 1.12	1.05 0.96 1.10	1.02
	19	საშუალო მინიმალური მაქსიმალური	1.02 0.94 1.06	1.04 0.94 1.10	1.04 0.97 1.07	1.04 1.00 1.07	1.04 1.00 1.08	1.05 1.00 1.11	1.05 1.01 1.10	1.06 0.99 1.11	1.06 0.96 1.10	1.06 0.96 1.11	1.03 0.96 1.07	1.02 0.94 1.05	1.04
აღმოსავალე საქართველო	1	საშუალო მინიმალური მაქსიმალური	0.97 0.93 1.01	0.98 0.93 1.01	0.98 0.92 1.04	0.98 0.92 1.05	0.97 0.89 1.03	0.96 0.89 1.04	0.97 0.89 1.05	0.99 0.89 1.05	0.99 0.91 1.04	1.00 0.93 1.02	0.99 0.96 1.02	0.97 0.94 1.00	0.98
	7	საშუალო მინიმალური მაქსიმალური	0.94 0.87 0.97	0.94 0.90 0.97	0.95 0.89 1.01	0.98 0.88 1.05	0.99 0.88 1.04	0.99 0.89 1.03	1.00 0.87 1.03	1.00 0.87 1.05	0.98 0.88 1.03	0.96 0.90 1.01	0.95 0.91 0.98	0.94 0.88 0.98	0.97
	13	საშუალო მინიმალური მაქსიმალური	1.06 0.99 1.14	1.06 0.97 1.17	1.03 0.94 1.16	1.01 0.91 1.15	1.00 0.94 1.14	1.00 0.94 1.15	1.00 0.93 1.16	0.98 0.91 1.16	1.00 0.94 1.19	1.02 0.96 1.17	1.04 0.97 1.09	1.06 0.99 1.14	1.02
	19	საშუალო მინიმალური მაქსიმალური	1.01 0.93 1.08	1.03 1.00 1.08	1.03 1.00 1.07	1.03 1.01 1.09	1.04 1.00 1.10	1.04 1.00 1.11	1.03 0.99 1.08	1.03 0.98 1.10	1.03 0.99 1.11	1.03 0.99 1.08	1.02 0.98 1.06	1.02 0.97 1.06	1.03

დღე-დამური ვარიაცია, აგებული საშუალო წლიურ სი-  
დიდეთა საფუძველზე, რომლის ანალიზური სახე შეიძლება  
წარმოდგენილ იქნას შემდეგი გამოსახულებით:

$$k = 1 + a \sin\left[\frac{\pi}{12}(t - 11)\right]. \quad (2.20)$$

აქ  $a$ -რხევის ამპლიტუდაა და საქართველოს მთელი ტერიტო-  
რიისთვის მისი საშუალო მნიშვნელობაა 0.04,  $t$ -დრო სთ-ში.  
როგორც ვხედავთ, საქართველოს ტერიტორიაზე აბსოლუტური  
სინოტივის მინიმუმი დაიკვირვება სთ-ზე, მაქსიმუმი კი-  
დაახლოებით 17სთ-ზე.

გავაანალიზოთ აბსოლუტური სინოტივის დღე-დამური  
ვარიაციის სვლა სიმაღლის მიხედვით ტროპოსფეროში. ამისა-  
თვის მივმართოთ (2.1) გამოსახულებას, რომლის თანახმად  
საქართველოს ტერიტორიის ნებისმიერი პუნქტისთვის აბსოლუ-  
ტური სინოტივის ვერტიკალური განაწილების დროში ცვლი-  
ლება (2.18) და (2.20)-ის გათვალისწინებით შეიძლება წარმო-  
ვადგინოთ შემდეგი სახით:

$$\rho(z) = k\rho_0 \exp[-c(z_0)z] = \left[1 + a \sin\left(\frac{\pi}{12}(t - 11)\right)\right] \rho_0 \exp[-c(z_0)z]. \quad (2.21)$$

აქ  $\rho(z)$  სინოტივის საშუალო წლიური მნიშვნელობაა  $z$  სი-  
მაღლეზე დღე-დამის განმავლობაში,  $\rho_0$  დღე-დამური საშუა-  
ლოს წლიური მნიშვნელობაა პუნქტზე,  $t$ -დროა სთ-ში, ხოლო  
 $C(z_0)$  მოცემა (2.15)-ის საფუძველზე. როგორც ვხედავთ ვარია-  
ციის ამპლიტუდა სიმაღლის მიხედვით მცირდება ექსპონენ-  
ციური კანონით და  $z$  სიმაღლეზე მისი მნიშვნელობა შეადგენს

$$a(z) = a(z_0) \exp[-c(z_0)z]. \quad (2.22)$$

განვხსაზღვროთ, მაგალითად, თბილისის შემთხვევაში ის სი-  
მაღლე, სადაც ვარიაციის ამპლიტუდა მცირდება ერთი რიგით.  
თანახმად (2.22)

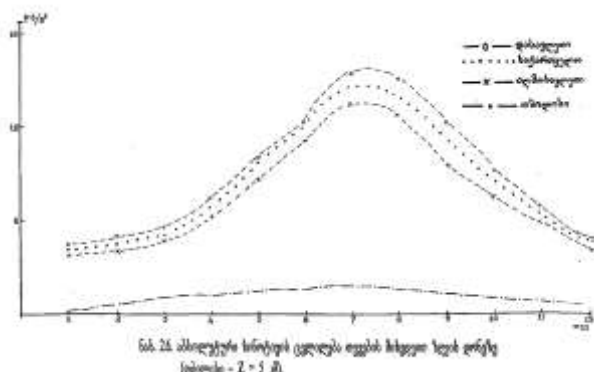
$$\frac{a(z)}{a(z_0)} = \exp[-c(z_0)z]. \quad (2.23)$$

რადგან თბილისისათვის  $C(z_0)=0.43$   $1/\text{გ}\cdot\text{მ}$ , პირობიდან  
 $\frac{a(z)}{a(z_0)}=0.1$ , ვიდებთ  $z=4.9\text{ გ}\cdot\text{მ}$ .

რა კანონზომიერებით ხასიათდება აბსოლუტური სინო-  
ტივის ვერტიკალური განაწილების სეზონური ვარიაცია? ტრო-  
პოსფეროს მიწისპირა ფენაში სინოტივის სეზონური გა-  
ნაწილების რეგიონალურ თავისებურებათა დეტალები გან-  
ხილული იყო 2.2 ქვეთავში. კერძოდ, შეიძლება აღვნიშნოთ,  
რომ დასავლეთ და აღმოსავლეთ საქართველოს ორივე რეგიო-  
ნის ყველა სადგურზე აბსოლუტური სინოტივის მაქსიმუმი  
დაიკვირვება ივლისში, ხოლო მინიმალური მნიშვნელობა –  
იანვარში. ნახ. 2.6-ზე მოცემულია მიწისპირა სინოტივის სე-  
ზონური ვარიაცია ცალკალკე ორივე რეგიონისათვის და  
თბილისისათვის  $z=5$  მ სიმაღლეზე. ამ ნახაზის მონაცემებზე  
დაყრდნობით, მსგავსად (2.21)-ისა, სინოტივის ვარიაციის  
მსვლელობა ტროპოსფეროს ზედა ფენებში ანალიზური სახით  
შეიძლება წარმოვადგინოთ შემდეგი სახით:

$$\rho_0 \equiv \rho_0 \varphi(t), \quad (2.24)$$

სადაც რეაბსოლუტური სინოტივის საშუალო წლიური  
მნიშვნელობაა, ხოლო  $\varphi(t)$ -დროის უგანზომილებო ფუნქცია,  
რომელიც აღწერს მიწისპირა ფენაში აბსოლუტური სინოტივის  
ცალილებას თვეების მიხედვით. ეს ფუნქცია გლუვია, მაქსიმუ-  
მით, როგორც იყო აღნიშნული, VII თვეში (ივლისი) და მინი-  
მალური მნიშვნელობით I თვეში (იანვარი). ამრიგად, ნამრავლი  
რიფ(t) გვაძლევს აბსოლუტური სინოტივის მნიშვნელობას t  
თვეში ( $t = 1, 2, \dots, 12$ ),  $\varphi(t)$  –კი წარმოადგენს სინოტივის გა-  
დახრას მისი საშუალო წლიური



მნიშვნელობიდან. მაშინ აბსოლუტური სინოტივის გერტიკალური განაწილებისათვის გვექნება

$$\rho = \rho_0 \varphi(t) \exp[-c(z_0)z]. \quad (2.25)$$

გამომდინარე მიღებული შედეგიდან შეიძლება ითქვას, რომ სეზონური ვარიაციაც მცირდება სიმაღლის ზრდასთან ერთად ექსპონენციალური კანონით. ნამ. 2.6-ზე მოცემულია აბსოლუტური სინოტივის სეზონური მსვლელობა თბილისისათვის 25-ჯერ სიმაღლეზე, სადაც იგი კლებულობს ერთი რიგით მიწისპირა მნიშვნელობასთან შედარებით.

რადგან სინოტივის ვერტიკალურ განაწილებას, თანახმად (2.1) და (2.4)-ის, ასასიათებენ  $a$ ,  $b$  და  $c$  კოეფიციენტების მნიშვნელობები, განვიხილოთ, აგრეთვე, მათი დღე-დამური და სეზონური ვარიაციები. ეს საკითხი შესწავლილ იქნა [1]-ში, სადაც ნაჩვენები იყო ვარიაციის მცირე სიდიდე, მისი უმნიშვნელო ხასიათი. მართლაც განვიხილოთ ცხრ. 2.8-ში წარმოდგენილი 6 აეროლოგიური პუნქტის მონაცემი. როგორც ვხედავთ, თითოეული პუნქტისათვის კოეფიციენტების მნიშვნელობები, დამახასიათებელი ცალკ-ცალკე დღის და დამის მონაცემთა ქვეჯგუფისათვის, ახლოს არიან ერთმანეთთან და ჯგუფურ (დღე-დამური) მნიშვნელობასთან, რომელიც ფაქტურად წარმოადგენს მათ არითმებიკულ საშუალოს.

$a$  კოეფიციენტის შემთხვევაში დღე-დამური მნიშვნელობიდან მაქსიმალური გადახრა შეადგენს 20% (თბილისი), მინიმალური – 2% (რადიონოვკა), საშუალო კი – 11%.

$b$  კოეფიციენტის გადახრა იცვლება ინტერვალში 0.001-0.006 1/კმ<sup>2</sup>, რაც შეადგენს 6(თბილისი) - 27(ბათუმი) პროცენტს დღე-დამური მნიშვნელობისა.  $b$  კოეფიციენტის საშუალო გადახრა შეადგენს 12%.

$c$  კოეფიციენტის მაქსიმალური გადახრა ტოლია 5% (სოხუმი), მინიმალური – 1% (რადიონოვკა), საშუალო – 3%.

პუნქტის ზღვის დონიდან სიმაღლის ზრდასთან ერთად, როგორც წესი, მცირდება კოეფიციენტების გადახრები. ყველა  $a$  და  $c$  კოეფიციენტების დღიური მნიშვნელობები მეტია დამის სიდიდეებზე, რაც იმის მაჩვენებელია, რომ დღისით აბსოლუტური სინოტივე სიმაღლის მიხედვით უფრო სწრაფად უცემა, ვიდრე დამით. ამრიგად შეგვიძლია დაგადასტუროთ

### ცხრილი 2.8.

წყლის მარაგის **c**, **a** და **b** კოეფიციენტების და მათი საშუალო კვადრატული გადახრების (STD) ცვალებადობა დღის, დამის და ყველა რადიოზონდის მონაცემებით (B-ბათუმი; S-სოხუმი; T-თბილისი; TE-თეთრი წყარო; A-აბასთუმანი; R-რადიონოგბა)

		AV (1-90)						საშუალო კვადრატული გადახრა (STD)					
		B	S	T	TE	A	R	B	S	T	TE	A	R
w	$\delta/b\partial^2$	2.23	2.11	2.32	2.37	2.51	1.55	1.04	1.07	1.2	0.53	0.5	0.36
c	$1/\beta\partial$	0.506	0.504	0.43	0.566	0.557	0.627	0.75	0.068	0.072	0.064	0.099	0.076
a	$1/\beta\partial$	0.372	0.385	0.151	0.413	0.287	0.542	0.15	0.15	0.15	0.15	0.15	0.15
b	$1/\beta\partial^2$	0.023	0.02	0.047	0.026	0.046	0.014	0.025	0.026	0.018	0.017	0.021	0.02
<b>ღვევის</b>													
w	$\delta/b\partial^2$	2.25	2.12	2.21	2.48	2.58	1.59	1.09	1.05	1.18	0.58	0.49	0.4
c	$1/\beta\partial$	0.528	0.528	0.444	0.556	0.571	0.631	0.071	0.059	0.073	0.07	0.107	0.074
a	$1/\beta\partial$	0.423	0.431	0.181	0.393	0.324	0.552	0.168	0.197	0.113	0.13	0.124	0.17
b	$1/\beta\partial^2$	0.018	0.016	0.044	0.027	0.042	0.013	0.023	0.029	0.015	0.017	0.018	0.02
<b>გაძე</b>													
w	$\delta/b\partial^2$	2.21	2.11	2.43	2.26	2.43	1.52	0.98	1.09	1.21	0.45	0.51	0.3
c	$1/\beta\partial$	0.485	0.48	0.416	0.577	0.543	0.623	0.073	0.068	0.067	0.056	0.087	0.077
a	$1/\beta\partial$	0.321	0.34	0.121	0.433	0.25	0.533	0.18	0.171	0.124	0.115	0.165	0.173
b	$1/\beta\partial^2$	0.028	0.024	0.05	0.024	0.049	0.015	0.027	0.023	0.021	0.016	0.023	0.019

*a* და *b* კოეფიციენტების შედარებით შესამჩნევი, ხოლო *c* კოეფიციენტის – უმნიშვნელო დღე-დამური ვარიაცია. ამასთან ერთად ის გარემოება, რომ დღისით დაიკვირვება კოეფიციენტების დადგებითი, დამით კი – უარყოფითი გადახრები, თანაც დღე-დამური მნიშვნელობა წარმოადგენს საშუალო არითმეტიკულს დღისა და დამის სიდიდეებისა, საშუალებას გაძლევს ცალკეალკე არ განვიხილოთ ისინი, არამედ ვისარგებლოთ *a*, *b* და *c* კოეფიციენტების საშუალო დღე-დამური მნიშვნელობებით.

ცხრ. 2.9-ში მოცემულია მათი შიდაწლიური ვარიაცია (თვეების მიხედვით) სამი აეროლოგიური პუნქტისათვის – ბათუმი, სოხუმი, თბილისი.

*a* კოეფიციენტის შემთხვევაში ზღვისპირა სადგურებზე გადახრა წლიური მნიშვნელობიდან უმეტეს თვეებისათვის შეადგენს 3-11%, ცალკეულ შემთხვევაში მაქსიმალური გადახრა ტოლია 20-25%. თბილისში გადახრა იზრდება და უმეტეს თვეებისათვის არ აღემატება 40%, ცალკეულ თვეებში მაქსიმალური გადახრა აღწევს 50-70%.

*b* კოეფიციენტის გადახრა წლიური მნიშვნელობიდან ან ნულია, ან შეადგენს სიდიდეს 0.01, 0.02 1/კ<sup>2</sup>, რაც განხილული სადგურებისათვის ტოლია 25 და 50% (თბილისი), 50 და 100% (ბათუმი, სოხუმი).

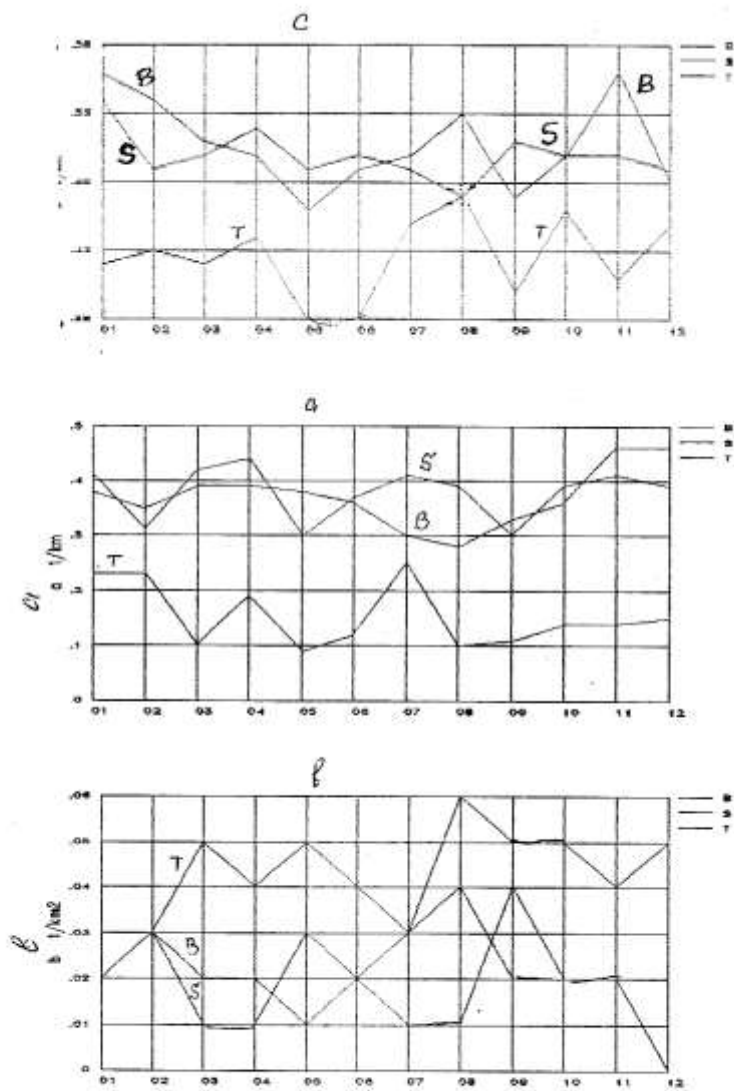
*c* კოეფიციენტის შემთხვევაში მისი საშუალო წლიური სიდიდიდან გადახრა უმეტეს თვეებისათვის არ აღემატება 6-7%, ხოლო მაქსიმალური მნიშვნელობა ცალკეულ თვეებში შეადგენს 8-12%.

ნახ. 2.7-დან ჩანს, რომ სამივე კოეფიციენტის შიდა-წლიური ვარიაცია თვეების მიხედვით შემთხვევით ხასიათს ატარებს და რაიმე კანონზომიერებას არ ექვემდებარება. ამიტომ, მიუხედავად *a* და *b* კოეფიციენტების საკმაოდ დიდი გადახრებისა, მიზანშეწონილია მათი, აგრეთვე *c* კოეფიციენტის შიდაწლიური გასაშუალოება და საშუალო წლიური სიდიდეებით სარგებლობა. ეს დასკვნა ემთხვევა [11]-ში მიღებულ შედეგს.

ცხრილი 2.9.

წყლის მარაგის (w, c, a და b კოეფიციენტების ცვალებადობა თვეების მიხედვით (B-ბათუმი;  
S-სოხუმი; T-თბილისი);)

პოეზ.		დაბგ- ჯუნქტი	თვეები											
			I	II	III	IV	V	VI	VII	VIII	IX	X	XI	XII
w	$\delta/\delta\theta^2$	B	1.08	1.34	1.47	1.72	2.87	3.06	3.43	3.43	3.71	2.45	1.9	1.11
		S	1.2	1.33	1.17	1.55	2.16	2.95	3.55	3.72	3.47	2.13	2.03	1.21
		T	1.14	1.07	1.09	1.82	2.33	3.2	3.79	3.15	3.59	2.57	1.8	1.35
c	$1/\delta\theta$	B	0.56	0.54	0.51	0.5	0.46	0.49	0.5	0.53	0.47	0.5	0.56	0.48
		S	0.54	0.49	0.5	0.52	0.49	0.5	0.49	0.47	0.51	0.5	0.5	0.49
		T	0.42	0.43	0.42	0.44	0.38	0.38	0.45	0.47	0.4	0.46	0.41	0.45
a	$1/\delta\theta$	B	0.38	0.35	0.39	0.39	0.38	0.36	0.3	0.28	0.33	0.36	0.46	0.46
		S	0.41	0.31	0.42	0.44	0.3	0.37	0.41	0.39	0.3	0.39	0.41	0.39
		T	0.23	0.23	0.1	0.19	0.09	0.12	0.25	0.1	0.11	0.14	0.14	0.15
b	$1/\delta\theta^2$	B	0.03	0.03	0.02	0.02	0.01	0.02	0.03	0.04	0.02	0.02	0.02	0
		S	0.02	0.03	0.01	0.01	0.03	0.02	0.01	0.01	0.04	0.02	0.02	0.02
		T	0.03	0.03	0.05	0.04	0.05	0.04	0.03	0.06	0.05	0.05	0.04	0.05



ნახ. 2.7. წელის მარაგის ა. ა და ბ კომუნიციენტების ცვლილებები  
ოვენის მიხედვით 1982-1985 წლების მონაცემებით  
(B-ბაზუმი; S-სისხუმი; T-თბილისი)

## 2.4. მოღრუბლულობის გავლენა აბსოლუტური სინოტივის გერტიკალურ განაწილებაზე

ატმოსფეროში აბსოლუტური სინოტივის სიმაღლის მიხედვით ცვლილების დამახასიათებელი  $a$ ,  $b$  და  $c$  კოეფიციენტების მნიშვნელობები მოღრუბლულობის სხვადასხვა პირობებში წარმოდგენილია (ცხრ. 2.10-ში).

ცხრილი 2.10.წყლის მარაგის (w)  $c$ ,  $a$  და  $b$  კოეფიციენტების ცვალებადობა მოღრუბლულობის სხვადასხვა რეჟიმის პირობებში (B-ბათუმი; S-სოხუმი; T-თბილისი; TE-თეთრი წყარო; A-აბასთუმანი; R-რადიონოვგა  $G_0$ -მოღრუბლულობა ბალებში).

კოეფიც.		B	S	T	TE	A	R
$G_0=0$							
w	$\delta/l\theta^2$	1.93	1.86	2.33	2.2	2.36	1.34
c	$1/\delta\theta$	0.535	0.523	0.432	0.601	0.564	0.651
a	$1/\delta\theta$	0.478	0.426	0.159	0.48	0.293	0.632
b	$1/\delta\theta^2$	0.01	0.016	0.046	0.02	0.046	0.003
$G_0=4-6$							
w	$\delta/l\theta^2$	2.25	1.98	2.6	2.37	2.57	1.59
c	$1/\delta\theta$	0.515	0.508	0.431	0.572	0.552	0.657
a	$1/\delta\theta$	0.358	0.418	0.116	0.401	0.289	0.594
b	$1/\delta\theta^2$	0.026	0.015	0.053	0.029	0.044	0.011
$G_0=10$							
w	$\delta/l\theta^2$	2.5	2.51	2.02	2.54	2.59	1.72
c	$1/\delta\theta$	0.469	0.481	0.427	0.526	0.556	0.573
a	$1/\delta\theta$	0.279	0.312	0.177	0.357	0.278	0.402
b	$1/\delta\theta^2$	0.032	0.028	0.042	0.029	0.047	0.029

$a$  კოეფიციენტის შემთხვევაში მოწმენდილი ცის პირობებში (ღრუბლიანობის ბალი  $G=0$ ) მისი გადახრა საშუალო ჯგუფური სიღილიდიდან (საშუალო დღე-დამურის წლიური მნიშვნელობა იხ. ცხრ. 2.8-ში) იცვლება განხილული 6 სადგურისათვის დიაპაზონში 2-30%, საშუალო გადახრა შეადგენს 13%. საშუალო მოღრუბლულობის პირობებში ( $G=4-6$ ) გადახრა მცირდება, მისი ცვლილების ინტერვალია 1-23%, საშუალო გადახრა კი შეადგენს 8%. მაქსიმალური გადახრები დაიკვირვება ძლიერი

მოღრუბლულობის პირობებში ( $G=10$ ). ამ შემთხვევაში გადახრის სიდიდე იცვლება დიაპაზონში 3-30%, საშუალო გადახრა შეადგენს 17%.

б კოეფიციენტის გადახრა საშუალო დღე-დამური წლიური მნიშვნელობიდან უდრუბლო პირობებში ( $G=0$ ) იმყოფება ინტერვალში 0-80%, საშუალო სიდიდე ტოლია 30%. საშუალო დრუბლიანობისას ( $G=4-6$ ) გადახრის დიაპაზონია 4-25%, საშუალო შეადგენს 15%. ძლიერი მოღრუბლულობის პირობებში ( $G=10$ ) ბ კოეფიციენტის გადახრა მაქსიმალურია და იცვლება ინტერვალში 2-107%, საშუალო სიდიდე ტოლია 35%.

შემთხვევაში სუსტი გავლენა მოღრუბლულობას გააჩნია ც კოეფიციენტის მნიშვნელობაზე. დრუბლიანობის ყველა შემთხვევაში მისი გადახრა არ აღემატება 10%, საშუალო კი შეადგენს 2-5%.

ა და ც კოეფიციენტებისთვის დადებითი გადახრები დაიკვირვება უდრუბლო პირობებში, დრუბლიანობის ზრდასთან ერთად ( $G=4-6$ ) ადგილი აქვს როგორც დადებით, ასევე უარყოფით გადახრებს. ძლიერი დრუბლიანობის პირობებში გადახრის ნიშანი ყოველთვის უარყოფითია.

## 2.5. აბსოლუტური სინოტივის ვერტიკალური განაწილების ცვლილება 1940-1990-იან წლებში

საკითხს აბსოლუტური სინოტივის ვერტიკალური განაწილების ცვლილების შესახებ ნაწილობრივ შევეხეთ კვლევის იმ შედეგებთან დაკავშირებით, რომელთა განხილვა მოხდა 2.1 ქვეთავსში. როგორც იყო აღნიშნული, ამ შედეგებზე დაყრდნობით შეგვიძლია გამოვყოთ ორი პერიოდი – 1936-1957, 1962-1987 წლები, როდესაც სინოტივის ვერტიკალური განაწილება სიმაღლის მიხედვით ექვემდებარებოდა (2.15)-ით განსაზღვრულ კანონზომიერებას (III პერიოდი, (ბ) მრუდი ნახ. 2.1-ზე) და ორდინატთა დერძის მიმართ (ბ) მრუდის პარალელური გადატანით მიღებულ გამოსახულებას (I პერიოდი, (ა) მრუდი 2.1-ზე):

$$c'(z_0) = \begin{cases} 0.35 - 0.28z_0, & \text{თუ } z_0 \leq 0.3\vartheta \\ 0.21 + 0.19z_0 - 0.024z_0^2, & \text{თუ } z_0 > 0.3\vartheta \end{cases}. \quad (2.26)$$

((ა) და (ბ) მრუდების ურთიერთგანლაგებისგათვალისწინებით შეფასდა ცვლილების საშუალო სიჩქარე I-დან II პერიოდში გადასვლისას. I პერიოდის შუა წელია 1947, ხოლო II-ის – 1975წ. ამრიგად, ცვლილება მოხდა დაახლოებით 29 წლის განმავლობაში. ამიტომ ცვლილების საშუალო სიჩქარე ტოლია

$$\frac{\Delta c}{\Delta t} = \frac{0.151 / \text{წ}}{29 \text{წ}} = 0.0052 \frac{1 / \text{წ}}{\text{წ}} \quad (2.27)$$

ამის შემდეგ გამოიყო სამი ათწლეული – 1936-1945, 1956-1965, 1976-1985წწ და ამ ქვეპერიოდებში ც კოფიციენტის გამოსათვლელად გამოყენებულ იქნა მისი დროში ცვლილების შემდეგი განტოლება:

$$c(z,t) = c'(z,0) + 0.0052t \quad (2.28)$$

აქ  $t$  წლების ნომერია ( $t=0,1,2,\dots,40$ ), ე.ი.  $t=0$  შეესაბამება 1940 წელს (I ათწლეულის შუა წელი), ხოლო  $t=40$ - 1980 წელს (IIIათწლეულის შუა წელი),  $c'(z,0)$  მოიცემა (2.26) გამოსახულებით. (2.1)-ის საფუძველზე აგებულ იქნა ტროპოსფეროში აბსოლუტური სინოტიფის ვერტიკალური კვეთი მიმართულებით: მარნეულიდან-ყაზბეგი მაღალმთიანამდე, ჰორიზონტალური და ვერტიკალური მასშტაბების დაცვით. ნახ. 2.8 და 2.9 წარმოდგენილია ჭრილი სამი ქვეპერიოდის შესაბამისად. აბსოლუტური სინოტიფის იზოხაზების მნიშვნელობები მოცემულია  $\text{გ}/\text{მ}^2$ -ში,  $\ell=0.5\text{მ}$  შეესაბამება სადგურ მარნეულს, ხოლო  $\ell=160\text{მ}$  – სადგურ ყაზბეგი მაღალმთიანს. მხედველობაშია მიღებული, აგრეთვე, მათ შორის განლაგებულ სადგურებზე – კოჯორი, თბილისი, მუხრანი, დუშეთი, ფასანაური, გუდაური, ჯვრის უღელტეხილი – აბსოლუტური სინოტიფის ვერტიკალური განაწილების მნიშვნელობები. როგორც ვხედავთ, მიუხედავად არსებული მარნეული-კოჯორი-თბილისის ამაღლების შედარებით მცირე ვერტიკალური მასშტაბისა, მისი გავლენა აბსოლუტური სინოტიფის განაწილებაზე ტროპოსფეროში ნათლად გამოიკვეთა სამივე განხილულ ქვეპერიოდში. „გადალახვის“ ტიპის ეს ეფექტი შესამჩნევია საქმაოდ დიდ სიმაღლეებზე, მაგრამ იგი მცირდება დროთა განმავლობაში. მნიშვნელოვანია, აგრეთვე, აბსოლუტური სინოტიფის ვერტიკალური განაწილების ცვლილება განხილულ

ათწლეულებში – იზრდება მისი მიწისპირა მნიშვნელობა, სინოტივის დაცემა სიმაღლის მიხედვით ხდება უფრო სწრაფად, ვერტიკალური გრადიენტი მატულობს, განსაკუთრებით ბოლო ათწლეულში. ადსანიშნავია ერთი მოვლენა, ჯერ კიდევ შემნებული [1]-ში. ზოგიერთ შემთხვევაში დედამიწის ზედაპირთან მიახლოებისას აბსოლუტური სინოტივის იზოხაზი მიემართება ზემოთ, რაც იმაზე მიუთითებს, რომ მისი მნიშვნელობა, დაფიქსირებული სადგურზე, მეტია ვიდრე ტენისებრულობა თავისუფალ ატმოსფეროში.

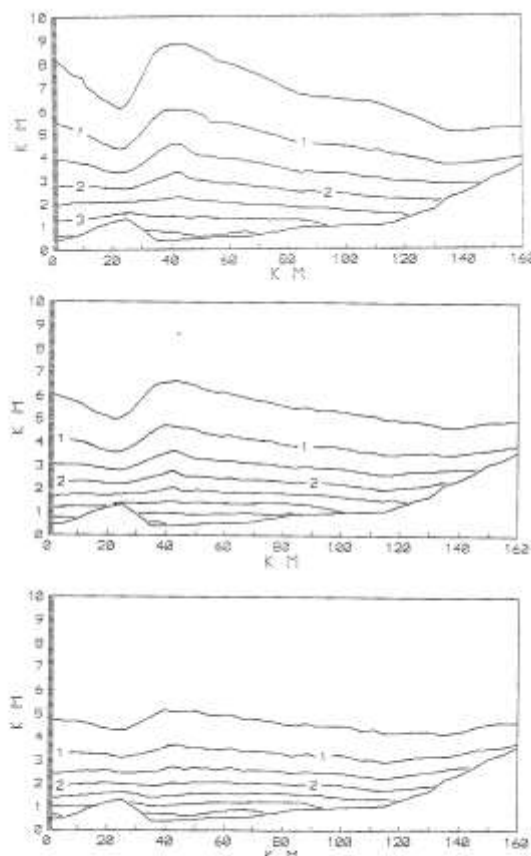
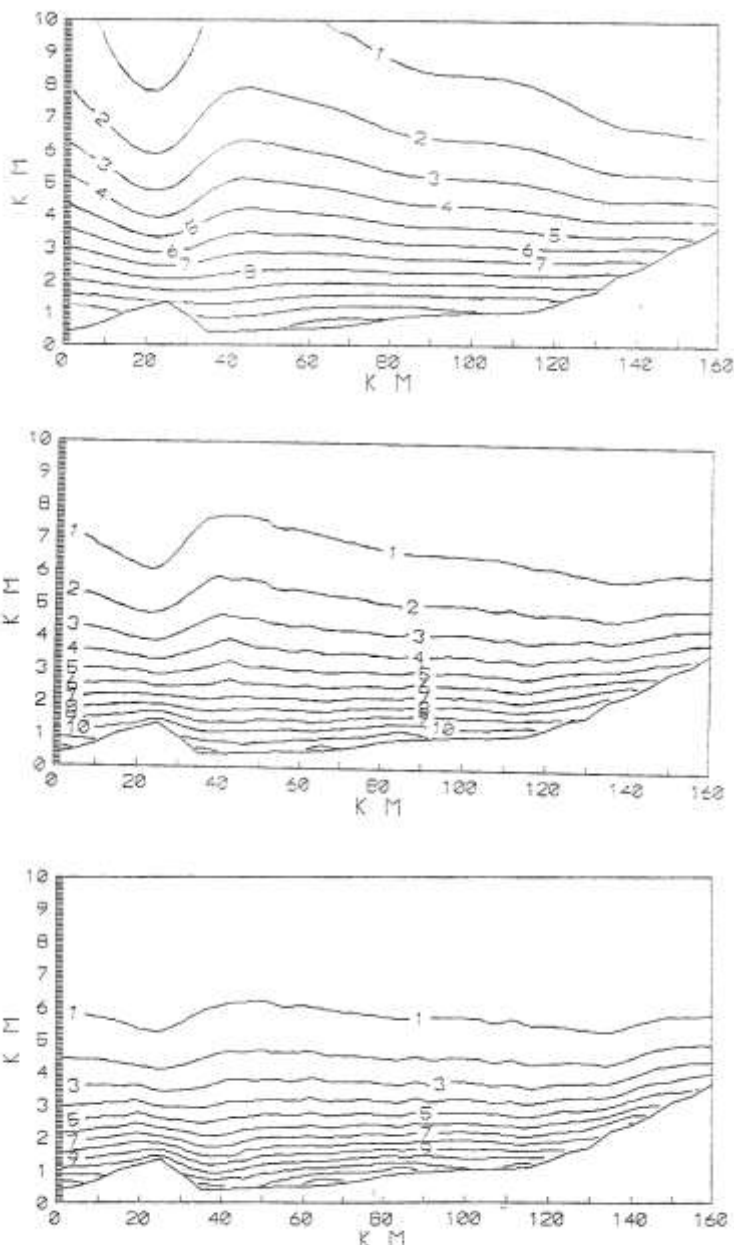


Fig. 28. թեղումնարու խեցքը (շ/թ) ըստ Առնելյանակ 40 յի թագավորական թեղումնարու բարորդական նիւթակայի պրոցեսակառքներ (1-1936-1945 թ., 2-1956-1965 թ., 3-1976-1985 թ.) - սպառնել:



Гор. 2.9. Абсолютноджерельний та бізексуальний ( $\Delta/\beta$ ) джерел магнітного полем (0,01) після землетрусу відповідно до 1936-1945 рр.; 1956-1965 рр.; 1976-1985 рр. — підземні джерела.

## დასკვნა

1940-1990 წლების მეტეოროლოგიური სადგურების მონაცემებისა და აეროლოგიური ზონდირების მასალების საფუძველზე შესწავლილია საქართველოს ტერიტორიაზე აბსოლუტური სინოტივის მიწისპირა ველი და თავისუფალ ატმოსფეროში მისი ვერტიკალური სტრუქტურა.

მოცემულია აბსოლუტური სინოტივის წლიური, იანვრისა და ივლისის ტერიტორიული განაწილების სქემატური რუკები.

ნაჩვენებია, რომ კაგასიის მთა-გორიან პირობებში ატმოსფეროში აბსოლუტური სინოტივის სიმაღლის მიხედვით განაწილება აღიწერება ვერტიკალური კოორდინატის ექსპონენციალური ფუნქციით, რომლის მაჩვენებელში შემავალი  $c(z)$  ემპირიული მუდმივა რთულად არის დამოკიდებული ზღვის დონიდან ადგილმდებარეობის ზე სიმაღლეზე. შემოთავაზებული  $c(z)$  –ის ანალიზური წარმოდგენა უნივერსალური ხასიათისაა – იგი აღწერს სინოტივის ვერტიკალურ განაწილებას როგორც კოლხეთის დაბლობის ზონაში, ასევე დასავლეთ და აღმოსავლეთ საქართველოს მთისწინა და მთიან რაიონებში. ის გარემოება, რომ  $z_0 \leq 0.3$  კმ სიმაღლეებისათვის  $c(z)$  კოეფიციენტი კლებულობს სიმაღლის მიხედვით, ხოლო სინოტივე კი პირიქით იზრდება, ფიზიკურად შეესაბამება კოლხეთის დაბლობის თავზე წყლის ორთქლის დაგროვებას. ამიტომ, წლის ყველა თვეში და სეზონში აგმოსფეროს ტენძემცველობა აქ გაცილებით მეტია, ვიდრე საქართველოს სხვა რეგიონში.

დადგენილია აეროლოგიურ ჰუნძებები (ბათუმი, სოხუმი, თბილისი, თეთრი-წყარო, აბასთუმანი, რადიონოვკა) ატმოსფეროში წყლის მარაგის მნიშვნელობები.

შემოთავაზებული ანალიზური გამოსახულებების საშუალებით შესაძლებელია აბსოლუტური სინოტივის ვერტიკალური განაწილებისა და ატმოსფეროში წყლის მარაგის სიდიდის დაკავშირება სინოტივის მიწისპირა მნიშვნელობასთან.

გამოკვლეულია აბსოლუტური სინოტივის ვერტიკალური განაწილების დღე-დამური და სეზონური ვარიაციები, მოცემულია მათი გამომხატველი ანალიზური გამოსახულებები.

შესწავლითია მოღრუბლელობის გავლენა აბსოლუტური სინოტივის ვერტიკალურ განაწილებაზე.

გამოკვლეულია აბსოლუტური სინოტივის მიწისპირა ველის და ტროპოსფეროში მისი ვერტიკალური განაწილების ცვლილება გარეული საუკუნის II ხანევარში.

1936-1957 და 1962-1987 წლების ორი პერიოდის შესაბამის აბსოლუტური სინოტივის ვერტიკალურ განაწილებათა შედარებით ერთმანეთთან დადგენილია  $c(z)$  ცვლილების საშუალო სიჩქარე I-დან II პერიოდში გადასვლისას. ამ სიჩქარის გათვალისწინებით, სამი ათწლეულისათვის – 1936-1945, 1956-1965 და 1976-1985წწ – აგებულია ტროპოსფეროში აბსოლუტური სინოტივის ველის ვერტიკალური კეთი მიმართულებით: მარნეული, კოჯორი, თბილისი, მუხრანი, დუშეთი, ფასანაური, გუდაური, ჯვრის უდელტეხილი. სამივე განხილულ ქვეპერიოდში, გამოიკვეთა მცირე ვერტიკალური მასშტაბის გავლენა მარნეული-კოჯორი-თბილისის ამაღლების აბსოლუტური სინოტივის განაწილებაზე ტროპოსფეროში – „გადალახვის“ ტიპის ეფექტი ადინიშნა საქმაოდ დიდ სიმაღლეებზე. მაგრამ, იგი მცირდება დროთა განმავლობაში. გამოვლინდა, აგრეთვე, რომ ცვლილებას განიცდის სინოტივის ვერტიკალური განაწილებაც – იზრდება მისი მიწისპირა მნიშვნელობა, სინოტივის კლება სიმაღლის მიხედვით ხდება უფრო სწრაფად, ვერტიკალური გრადიენტი მატულობს, განსაკუთრებით ბოლო ათწლეულში.

ავტორები მაღლობას უხდიან პიდრომეტეოროლოგიის ინსტიტუტის ასპირანტებს ლალი ყურაშვილს და ნანა ნებიერიძეს გაწეული დახმარებისათვის გამოთვლების ჩატარებაში და კვლევის შედეგების წარმოდგენაში (თავი 1 და 2).

### ლიტერატურა

1. Кварацхелия И.Ф. Аэрологические исследования в Закавказье. Гидрометеоиздат, Л., 1964, 246с.
2. Тавартиладзе К.А. К вопросу определения запаса воды в атмосфере для регионов Закавказья. Труды ЗакНИГМИ, вып. 14, Гидрометеоиздат, Л., 1963, с 101-106.

3. Тавартиладзе К.А. Некоторые особенности влагосодержания атмосферы в условиях Главного Кавказского хребта. Труды ЗакНИГМИ, вып. 22, Гидрометеоиздат, Л., 1966, с 46-52.
4. Давитая Ф.Ф., Тавартиладзе К.А. Проблема борьбы с градобитием, морозами в субтропиках и некоторыми другими стихийными процессами. Изд. «Мецниереба», Тбилиси, 1982, 220с.
5. Тавартиладзе К.А. Моделирование аэрозольного ослабления радиации и методы контроля загрязнения атмосферы. Изд. «Мецниереба», Тбилиси, 1989, 206с.
6. Хриган А.Х. Физика атмосферы. Том 1. Гидрометеоиздат, Л., 1978, 248с.
7. Матвеев Л. Т. Курс общей метеорологии. Физика атмосферы. Гидрометеоиздат, Л., 1976, 640с.
8. Тавартиладзе К.А. К вычислению содержания водяного пара в атмосфере. Сообщения АН Грузинской ССР, XLIII, 1966, с. 71-73.
9. Градшtein И.С., Рыжик И.М. Таблицы интегралов, сумм, рядов и произведений. М., Физматгиз, 1963, 1100с.
10. Справочник по специальным функциям с формулами, графиками и таблицами. Под редакцией М.Абрамовича и И.Стиган. М., Изд. «Наука», 1979, 832с.
11. Бегалишвили Н.А., Тавартиладзе К.А., Вачнадзе Д.И. Вековое изменение влагосодержания атмосферы в Грузии и его влияние на влагооборот. Монография. Труды Инст. Гидрометеорологии АН Грузии, Тбилиси, 2006, в печати.
12. Научно-прикладной справочник по климату СССР. Серия 3. Многолетние данные. Часть 1-6. Вып. 14. Грузинская ССР. . Гидрометеоиздат, Л., 1990, 348с.
13. Справочник по климату СССР. Вып. 14. Грузинская ССР. Ч. II. Температура воздуха и почвы. Гидрометеоиздат, Л., 1967, 376с.
14. Справочник по климату СССР. Вып. 14. Грузинская ССР. Ч. IV. Влажность воздуха, атмосферные осадки, снежный покров. Гидрометеоиздат, Л., 1970, 428с.
15. Тавартиладзе К.А., Шенгелия И.А. Моделирование вертикального распределения влаги в свободной атмосфере. Сообщения АН Грузинской ССР, т.III, №3, 1983, с.509-512.
16. კ.თავართქილაძე, ე.ეჭიოზბარაშვილი, დ.მუმლაძე, ჯ.ვაჩნაძე-საქართველოს მიწისპირა ტემპერატურული ველის ცვლილების ემპირიული მოდელი. საქ. მეცნ. აკად. პიდობებები

- ოროლოგიის ინსტიტუტის გამომცემლობა, თბილისი, 1999, 128 გვ.
17. დ.მუმლაძე. საქართველოს კლიმატის თანამედროვე ცვლილება. თბილისი, მეცნიერება. 1991, 125 გვ.
18. მ.ელიზბარაშვილი. საქართველოს ტერიტორიის ტემპერატურის ვალი. თბილისი, 1999, 88 გვ.
19. კ.თავართქილაძე, ი.შენგალია. პავის თანამედროვე ცვლილება საქართველოში (რადიაციული რეჟიმის ცვალებადობა). მეცნიერება, თბილისი, 1999, 150 გვ.
20. ჯ.ვაჩნაძე, კ.თავართქილაძე, ლ.ყურაშვილი. თავისუფალი ატმოსფეროს კლიმატის ცვალებადობა. საქ. მეცნ. აკად. ჰიდრომეტეოროლოგიის ინსტიტუტის შრომები. ტომი 103. თბილისი, 2001, გვ. 70-76.
21. ე.ელიზბარაშვილი, ჯ.ვაჩნაძე. კლიმატის და კლიმატური რესურსების კვლევის ისტორია და თანამედროვე მდგომარეობა. საქ. მეცნ. აკად. ჰიდრომეტეოროლოგიის ინსტიტუტის შრომები. ტომი 103. თბილისი, 2001, გვ. 4-7.
22. ჯ.ვაჩნაძე, ლ.ყურაშვილი. თავისუფალი ატმოსფეროს თერმული სტრატიფიკაცია და მისი ცვალებადობა საქართველოში. საქ. მეცნ. აკად. ჰიდრომეტეოროლოგიის ინსტიტუტის შრომები. ტომი 102. თბილისი, 2001, გვ. 117-126.

### თავი 3.

## ატმოსფერული ააროზოლების ოპტიკური სიმპვრიზის ბანაზილებისა და ცელილების ეგიზოშლი მოდელი

ატმოსფეროში აეროზოლების შემცველობა, მათი გაფრქვევის წყაროების გარდა (ბუნებრივის და ანთროპოგენურის) დამოკიდებულია მრავალ მეტეოროლოგიურ ფაქტორზე. აეროზოლების შემცველობის ვარიაციებზე მნიშვნელოვან გავლენას ახდენენ ატმოსფეროში მიმდინარე დინამიკური პროცესები, მოღრუბლებულობა, ნალექები, ჰაერის ტენიანობა, მზის რადიაციის გავლენით ფოტო-ქიმიური რეაქციების შედეგად მეორადი აეროზოლების წარმოქმნა და სხვა [1-5]. სშირად ამ ფაქტორების გავლენა ატმოსფერულ აეროზოლებზე არაცალსახაა. მაგალითად, მოღრუბლებულობამ, მისი მიკროფიზიკური, დინამიკური და ელექტრული მდგომარეობიდან გამომდინარე, - ერთ შემთხვევაში შეიძლება გამოიწვიოს ატმოსფეროს გასუფთავება აეროზოლური მინარევებისგან, მეორე შემთხვევაში მათი წყარო იყოს [1-4,6]. ნაშრომში [7] ნაჩვენები იყო, რომ ცალკეული თვეებისათვის შედარებით ფარდობით ტენიანობასთან, ტემპერატურასთან, წყლის ორთქლის დრეკადობასთან და ნალექებთან აეროზოლების ოპტიკური სიმკვრივე ყველაზე კარგად მიწისპირული ქარის სიჩქარესთან ამჟღავნებს კორელაციურ კავშირს.

აეროზოლები თამაშობენ მნიშვნელოვან როლს ჰავის ფორმირებაში. ეს როლი განპირობებულია როგორც პირდაპირი რადიაციული უფექტებით, რომლებიც დაკავშირებულია დედამიწის ზედაპირზე მოსული მზის რადიაციის ინტენსივობის ცვლილებებთან, ასევე არაპირდაპირით – მოღრუბლებულობის რეჟიმის, მისი მიკროსტრუქტურის, ელექტრული თვისებების და სხვა ცვლილებებით [1,2,4]. აღნიშნულიდან გამომდინარე ჰავის ცვლილების სხვადასხვა მოდელის შექმნისას დიდი მნიშვნელობა აქვს ატმოსფერული აეროზოლების სივრცულ-დროითი მახასიათებლების შესახებ ინფორმაციას. საქართველოში 1990 წლამდე დაახლოებით 35 წლის მანძილზე ფუნქციონირებდა 6 აქტინომეტრული სადგური (თბილისი, თელავი, წალკა, სენაკი, ანასეული, სოხუმი), რომელთა მონა-

ცემებითა და [5] მეოთხდიკის გამოყენებით დადგენილი იქნა ატ-მოსფერული აეროზოლების ოპტიკური სიმკვრივის ( $\tau_a$ ) მნიშვნელობები. აქტინომეტრული დაკვირვებების უფრო მოკლე რიგები არსებობს სადგურებისათვის ჯვრის გადასახვლელი (1973-1985 წწ.) და მაღალმოთიანი ყაზბეგი (1955-1964 წწ.).

ატმოსფერული აეროზოლების ოპტიკური სიმკვრივის გრძელვადიანი დროითი ვარიაციები კარგად არის შესწავლილი სესნებული 6 აქტინომეტრიული სადგურისათვის [6,8-10]. შეფასებულია ფონური, ანთროპოგენური და შემთხვევითი ძლიერგამაჭუჭყიანებელი ფაქტორების წვლილი  $\tau_a$ -ს მნიშვნელობებში ამ სადგურებზე სხვადასხვა წელს [11]. თუმცა აეროზოლების ოპტიკური სიმკვრივის ცვლილებების ხასიათი ბოლო ათწლეულების მანძილზე საქართველოს მთელი ტერიტორიისათვის ჯერ-ჯერობით უცნობია, რაც დაკავშირებულია აქტინომეტრიული სადგურების რაოდენობის სიმცირესთან. ამ ამოცანის გადასაჭრელად ორი მიზღომის შემოთავაზებაა შესაძლებელი: ან მოიძებნოს ისეთი მეტეოროლოგიური პარამეტრი, რომელთანაც  $\tau_a$ -ს მდგრადი და მაღალი კორელაციური კავშირი ექნება ყველა აქტინომეტრიული სადგურისთვის. (ნაპოვნი კავშირი შემდეგ გამოყენებული იქნება ოპტიკური სიმკვრივის მნიშვნელობათა შესაფასებლად სადგურების გაცილებით უფრო დიდი რაოდენობისთვის); ან დადგენილი იქნას  $\tau_a$ -ს ვერტიკალური განაწილება აღგილმდებარეობის ზღვის დონიდან სიმაღლეზე დამოკიდებულებით ყველა აქტინომეტრიული სადგურის მონაცემთა საფუძველზე, რომ შემდეგში იგი გამოყენებული იქნას  $\tau_a$ -ს გამოსათვლელი აღგილმდებარეობის სხვადასხვა სიმაღლისათვის, დროის სხვადასხვა პერიოდში. დღეისათვის აღნიშნული მეთოდითაა შესაძლებელი  $\tau_a$ -ს სივრცულ-დროითი განაწილების დადგენა საქართველოს ნაკლებად გაჭუჭყიანებული ტერიტორიებისთვის პირველი მიახლოებით. გაჭუჭყიანებული რაიონებისათვის  $\tau_a$ -ს სივრცული განაწილების დადგენა დროის სხვადასხვა პერიოდისათვის შესაძლებელია  $\tau_a$ -ს ვერტიკალური პროფილის საშუალებით ამ რაიონებში და გაუსის ინტერპოლაციური ფორმულით ნაკლებადგაჭუჭყიანებული ტერიტორიების საზღვრებზე.

განვიხილოთ ორივე მიდგომის გამოყენების შესაძლებლობა აღნიშნული ამოცანის გადასაჭრელად.  $\tau_a$ -ს სხვადასხვა მეტეოროლოგიურ პარამეტრთან კავშირების შესახებ ადრე ჩატარებულ კვლევებში ვერ მოხერხდა ისეთი პარამეტრის პოვნა, რომელთანაც აეროზოლების ოპტიკური სიმკვრივე იქნებოდა მდგრად კორელაციურ კავშირში საქართველოს მთელი ტერიტორიისათვის. ქვემოთ წარმოდგენილია  $\tau_a$ -ს ქარის სიჩქარესთან კავშირის უფრო დაწვრილებითი კვლევის შედეგები [7] ნაშრომთან შედარებით და ასევე წარმოდგენილია ატმოსფერული აეროზოლების ოპტიკური სიმკვრივის კავშირების კვლევა მზის ნათების ხანგრძლივობასთან კავშირის კვლევის შედეგები.

### 3.1. მზის ნათების ხანგრძლივობის და ქარის გავლენა აეროზოლების ოპტიკურ სიმკვრივეზე

ატმოსფეროს აეროზოლურ გაჭუჭყიანებას დიდი გავლენა აქვს ღრუბლების მიკროსტრუქტურის ფორმირებაზე, მათ მდგომარეობაზე სივრცესა და დროში. ამიტომ, ატმოსფერული აეროზოლები არაპირდაპირი გზით გავლენას ახდენენ, აგრეთვე მზის ნათების ხანგრძლივობაზეც. ცხრილში 3.1 წარმოდგენილია კორელაციის კოეფიციენტების მნიშვნელობები ატმოსფერული აეროზოლების ოპტიკურ სიმკვრივესა ( $\tau_a$ ) და მზის ნათების ხანგრძლივობას ( $S_i$ ) შორის საქართველოს 5 აქტიონომეტრული სადგურისთვის.

ცხრილი 3.1 კორელაციური კავშირები ატმოსფერული აეროზოლების ოპტიკურ სიმკვრივესა და მზის ნათების ხანგრძლივობას შორის საქართველოს ხუთი აქტიონომეტრული სადგურისათვის 1954-1990 წლების მონაცემებით

სადგ-ოვე	თბილისი	თელავი	წალკა	ანასეული	სოხუმი
I	0.17	-0.07	-0.14	0.15	0.09
II	-0.08	-0.10	-0.07	-0.37	0.11
III	-0.03	-0.35	0.13	-0.14	0.21
IV	-0.007	-0.16	0.19	-0.16	-0.04
V	-0.10	-0.10	-0.05	-0.12	0.09
VI	0.19	-0.19	0.10	-0.02	-0.09
VII	-0.20	-0.39	-0.12	-0.27	-0.33
VIII	-0.13	-0.41	0.03	-0.14	-0.18
IX	0.01	-0.11	0.13	-0.14	0.03

X	-0.17	-0.16	-0.29	-0.08	0.37
XI	-0.29	-0.27	-0.36	-0.18	-0.23
XII	0.08	-0.04	0.13	-0.05	0.04
I-XII	-0.24	-0.62	-0.29	-0.43	-0.19

გამოთვლები ჩატარებულია თვიური და წლიური მონაცემებით 1954-1990 წწ. პერიოდისთვის. აღნიშნული პერიოდისთვის (37 წელი) არანაკლებ 95% სანდობით კორელაციის კოეფიციენტის ნიშნადი მნიშვნელობა უნდა იყოს  $\pm 0,27$ -ზე მეტი.

როგორც ცხრილი 3.1-დან ჩანს, ზოგადად თვიური მონაცემებით, კორელაციური კავშირი  $\tau_a$ -სა და  $S_i$ -ს შორის არანიშნადია. წლიური მონაცემებით ყველა სადგურისთვის სობუმის გარდა, კორელაცია  $\tau_a$ -სა და  $S_i$ -ს შორის ნიშნადია ან ახლოსაა ნიშნადთან (თბილისი). ყველა სადგურზე ეს პარამეტრები უკუკავშირში არიან. სხვა სიტყვებით, ატმოსფერული გაჭუქრიანების დონის საშუალო წლიური მნიშვნელობის ზრდა ხელს

უწყობს მზის ნათების წლიური ხანგრძლივობის შემცირებას. აღსანიშნავია, რომ  $\tau_a$ -ს მზის ნათების ხანგრძლივობაზე ყველაზე დიდი გაფლენა აღინიშნება თელავში. შესაძლებელია, რომ ეს დაკავშირებულია კახეთის რეგიონში სეტყვის საწინააღმდეგო სამუშაოებთან, რომელთა დროსაც (20 წელზე მეტი წენის განმავლობაში) ხდებოდა აქტიური ზემოქმედება კონვექტურ ღრუბლებზე ყინულწარმომქმნელი რეაგენტით. ატმოსფეროში ყინულწარმომქმნელი აეროზოლის დიდ რაოდენობას შეუძლია მნიშვნელოვნად გარდაქმნას დრუბლების მიკროფიზიკური სტრუქტურა, შეცვალოს მათი ფორმირების პირობები, მდგრადობის დონე და სხვ. ეს საკმაოდ რთული საკითხია და დამატებით შესწავლას მოითხოვს. ჩვენი აზრით  $\tau_a$ -ს კავშირი მზის ნათების ხანგრძლივობასთან ატარებს არაპირდაპირ ხასიათს და განპირობებულია მოღრუბლულობასთან კავშირებით.

ცხრილი 3.2 საერთო და ქვედა მოღრუბლულობის ცვლილებები საქართველოს ხუთი სადგურისთვის (ბალი/100წელი)

1936-1990 წლების მონაცემებით

სადგური	$G_0$	$G_n$
თბილისი	-0.1	2.0

თელავი	-0.4	1.1
წალკა	0.88	-1.6
ანასეული	0.83	-1.0
სოხუმი	0.25	-1.0

ცხრ-ში 3.2 მოყვანილია მონაცემები საერთო  $G_0$  და ქვედა იარუსის  $G_n$  მოღრუბლულობის მნიშვნელობათვა ცვლილების შესახებ საქართველოს ხუთი აქტინომეტრული სადგურისათვის [12].

როგორც ამ ცხრილიდან ჩანს, თბილისში და თელავში აღინიშნება ქვედა მოღრუბლულობის მნიშვნელოვანი ზრდა და საერთო მოღრუბლულობის უმნიშვნელო კლება. წალკაში და ანასეულში საერთო მოღრუბლულობის მნიშვნელოვანი ზრდა და ქვედა მოღრუბლულობის შემცირება, სოხუმში  $G_0$ -ის უმნიშვნელო ზრდა და  $G_n$ -ის მნიშვნელოვანი შემცირება. ამრიგად, შედარებით ნაკლებადგაჭუქყიანებულ სადგურებზე ადგილი აქვს საერთო მოღრუბლულობის ზრდას და ქვედა მოღრუბლულობის შემცირებას (წალკა, ანასეული, სოხუმი), ხოლო თბილისში და თელავში (ატმოსფერული გაჭუქყიანების მაღალი დონე) - ქვედა მოღრუბლულობის მნიშვნელოვან ზრდას საერთო მოღრუბლულობის სუსტი შემცირების ფონზე საერთოდ, მოღრუბლულობის ზრდა ( $G_0$ -ს ან  $G_n$ -ის) ხელს უწყობს მზის ნათების სანგრძლივობის შემცირებას. სწორედ ეს ვლინდება  $\tau_a$ -სთან უკუკავშირებში. თუმცა  $G_0$ -სა და  $G_n$ -ის დროითი ცვლილებების ხასიათი სხვადასხვა სადგურებისათვის ისეთია (ცვლილებების განსხვავებული მიმართულება), რომ კორელაციის კოეფიციენტებს აქვთ შედარებით მაღალი მნიშვნელობები მხოლოდ თელავისა და ანასეულისათვის (-0.62 და -0.43 შესაბამისად). ამიტომ  $\tau_a$ -ს ცვლილების შეფასება  $S_i$ -ის ცვლილებით (ან პირიქით) საკმარისად მაღალი სანდოობით შესაძლებელია მხოლოდ ამ სადგურებისათვის. მიუხედავად ამისა, მზის ნათების წლიური სანგრძლივობის შემცირებაზე მოღრუბლულობის (ქვედა, საერთო) ზრდის გავლენის ფაქტი კარგად ვლინდება ყველა ხუთი სადგურისათვის.

შემდეგ მეტეოროლოგიურ ელემენტს, რომელთანაც ატმოსფერული აეროზოლების ოპტიკურ სიმკვრივეს გააჩნია კავშირი, წარმოადგენს მიწისპირა ქარი. კერძოდ, ქარის სიჩქარის (V) ზრდა ხელს უწყობს ატმოსფეროში ტურბულენტური

მოძრაობის გაზრდას, რასაც მინარევების სივრცეში სწრაფი გაბნევა მოყვება, ხოლო ეს შესაბამისად იწვევს ჰაერში აერო-ზოლების შემცველობის შემცირებას. ამავე დროს ქარს შეუძლია ატმოსფერული მტკერის გადატანა გაჭუჭყიანებული ადგილებიდან ნაკლებად გაჭუჭყიანებულ ტერიტორიაზე, რასაც ჰაერში მინარევების კონცენტრაციის ზრდა მოყვება. ნაშრომში [7] დაკვირვებათა 20-წლიანი რიგის საფუძველზე დადგენილი იქნა, რომ წლის სხვადასხვა დროში ქარის სიჩქარესა და აეროზოლების ოპტიკურ სიმკვრივეს შორის ძირითადად აღინიშნება უაუგაგშირები. მონაცემები გავშირების შესახებ  $\tau_a$ -სა და V-ს შორის საქართველოს ხუთი აქტინომეტრული საღგურებისთვის დაკვირვებათა უფრო გრძელი რიგისთვის (37 წელი) წარმოდგენილია ცხრილში 3.3. ცხრილი 3.3 კორელაციური კავშირი ატმოსფერული აერო-ზოლების ოპტიკურ სიმკვრივესა და ქარის სიჩქარეს შორის საქართველოს ხუთი აქტინომეტრული საღგურისთვის 1954-1990 წლების მონაცემების მიხედვით

საღგ. თვე	თბილისი	თელავი	წალკა	ანასული	სოხუმი
I	-0.30	-0.54	-0.04	-0.65	0.02
II	-0.26	-0.55	-0.23	-0.57	-0.13
III	-0.35	-0.64	-0.08	-0.62	0.01
IV	-0.52	-0.69	-0.24	-0.65	0.002
V	-0.56	-0.63	-0.36	-0.77	0.18
VI	-0.37	-0.60	-0.19	-0.73	-0.02
VII	-0.60	-0.65	-0.15	-0.74	0.10
VIII	-0.54	-0.64	-0.29	-0.68	0.18
IX	-0.45	-0.60	-0.04	-0.61	0.17
X	-0.59	-0.66	-0.43	-0.73	0.02
XI	-0.32	-0.58	-0.29	-0.64	0.03
XII	-0.21	-0.49	-0.17	-0.63	-0.004
I-XII	-0.69	-0.77	-0.38	-0.82	0.13

როგორც ამ ცხრილიდან ჩანს, კორელაციური კავშირი  $\tau_a$ -სა და V-ს შორის მათი საშუალო წლიური მონაცემების მიხედვით ყველა საღგურისთვის, სოხუმის გარდა, უარყოფითია

და გააჩნიათ სანდოობის დონე არანაკლებ 95%-სა. ამასთან, თასა და V-ს კავშირი თბილისში, თელავში და ანასეულში ახლოს არის წრფივთან (კორელაციის კოეფიციენტი მეტია – 0.69-ზე). სოხუმში ქარის სიჩქარისა და ატმოსფერული აეროზოლების ოპტიკური სიმკვრივის კორელაციური კავშირი არანიშნადია. შესაძლოა ეს დაკავშირებულია ქარის სიჩქარეზე დაკირვებათა დაბალ რეპრეზენტატულობასთან (მეტეოსადგურის გადატანა ქალაქის სხვადასხვა ადგილებში). სოხუმში თასა და V-ს კორელაციური კავშირების არანიშნადობის, როგორც საშუალო თვიური ისე საშუალო წლიური მონაცემებით, სხვა მიზეზიც შეიძლება იყოს კერძოდ თას დამოკიდებულება ჰაერის მასების გადაადგილების მიმართულებაზე. ერთ შემთხვევაში ქალაქის თავზე მეტი რაოდენობითაა ზღვის აეროზოლები (გადმოტანა ზღვიდან), მეორე შემთხვევაში კონტინენტური (გადმოტანა ხმელეთიდან), მესამე შემთხვევაში შერეული ტიპი (ქარის დაბალი სიჩქარეები ან ჰაერის მასების გადაადგილება სანაპირო ზოლის გასწვრივ).

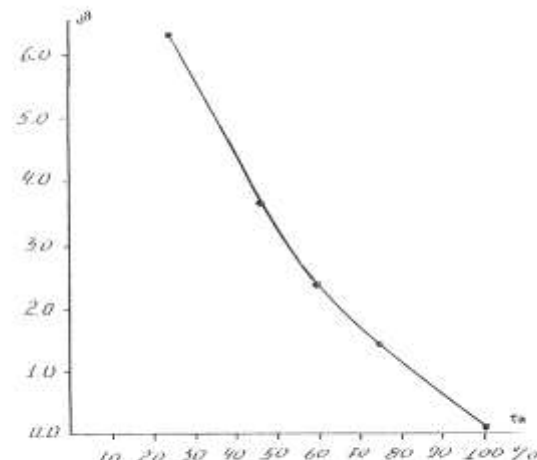
სოხუმისგან განსხვავებით, ყველა დანარჩენი ოთხი სადგურისთვის თასა და V-ს კორელაციური კავშირები მათი საშუალო თვიური მნიშვნელობებით უმრავლეს შემთხვევაში ნიშვნადია. გამონაკლისს წარმოადგენს დეკემბერი (თბილისი), იანვარი-აპრილი, ივნისი, ივლისი, სექტემბერი და დეკემბერი (წალკა), როდესაც თასა და V-ს შორის კორელაციის ნიშნადობის დონე 95%-დაბალია.

ამგვარად, ქარის სიჩქარე (როგორც საშუალო თვიური ისე საშუალო წლიური) წარმოადგენს ატმოსფეროს გაჭუჭყიანების დონის კარგ ინდიკატორს თბილისის, თელავის და ანასეულისათვის და ნაწილობრივ წალკისათვის.

### **32. რელიეფის გავლენა ატმოსფერული აეროზოლების ოპტიკურ სიმკვრივეზე**

საქართველოს აქტინომეტრიული სადგურები განლაგებულია ზღვის დონიდან სხვადასხვა სიმაღლეზე. სადგურები სენაკი, სოხუმი და ანასეული მდებარეობს დასავლეთ საქართველოს შედარებით ნაკლებად გაჭუჭყიანებულ რაიონებში, ზღვის დონიდან საშუალოდ 100 მ. სიმაღლეზე. სადგურები წალკა, ჯვრის გადასასვლელი და უაზბეგი მდებარეობენ შესაბამისად სიმაღლეებზე 1457, 2396 და 3656 მ.

ზღვის დონიდან. ამ სადგურების დაკვირვებათა მონაცემების გამოყენებით და მათი მიყვანით წალკის მონაცემების საშუალებით 1966-1986 წლების პერიოდამდე, (ამ პერიოდისთვის) მოიპოვება ინფორმაცია  $\tau_a$ -ს შესახებ მაღალმოიან სადგურზე ტიპებში, 6300 მ. ზღვის დონიდან [13]), შესაძლებელი გახდა აეროზოლების ოპტიკური სიმკვრივის ვერტიკალური განაწილების აგება საქართველოს ნაკლებად გაჭუჭყიანებულ ტერიტორიებისათვის (ნახ. 3.1).



ნახ. 3.1. ატმოსფერული აეროზოლების ასატყოფო სიმკვრივის კონტრიული განაწილება საქართველოს საკუთრებულ ტერიტორიებზე (ნორმირებული აეროზოლების სიმკვრივეზე 100%). ზემოთ წერილი არ უნდა ტრანსპორტირდებოთ [13].

ამ ნახაზიდან ჩანს, რომ  $\tau_a$ -ს შემცირებას ადგილმდებარეობის (H) მიხედვით აქვს ექსპონენციალური ხასიათი.  $\tau_a$ -ს ემპირიულ დამოკიდებულებას H-ზე შემდეგი სახე აქვს:

$$\tau_a = 1.03e^{-0.0002H} \quad (3.1)$$

სადაც H მეტრებშია გამოსახული. ნორმირება ჩატარებულია 100მ დონეზე. ე.ო. ითვლება, რომ 100მ სიმაღლეზე სხვა სიმაღლეების მიმართ  $\tau_a$  შეადგენს 100%-ს. ადსანიშნავია, რომ  $\tau_a$ -ს სიმაღლის მიხედვით შემცირება 0-დან 1000მ-მდე თითქმის წრფივია (სიზუსტით არანაკლებ 3%-სა). უფრო ზემოთ  $\tau_a$ -ს შემცირება სიმაღლესთან ექსპონენციალური ხდება.

გაჭუჭყიანებულ რაიონებში (თბილისი, თელავი)  $\tau_a$ -ს მნიშვნელობები გასაშუალოების ხევნებული პერიოდისათვის აღემატება მის ფონურ მნიშვნელობებს შესაბამისად 42 და 36%-ით. ამრიგად, იმის გათვალისწინებით, რომ  $\tau_a$ -ს ვერტიკალური განაწილების სახე საქართველოს ნაკლებად გაჭუჭყიანებული რაიონებისათვის (ნახ. 3.1) მუდმივია, ამ ტერიტორიებისათვის, წალკაში  $\tau_a$ -ს ცვლილების მიხედვით, შესაძლებელია ატმოსფერული აეროზოლების ოპტიკური სიმკვრივის სივრცულ-დროითი განაწილების აგება. გაჭუჭყიანების ლოკალური წყაროების მქონე ტერიტორიებისათვის (თბილისი, თელავი)  $\tau_a$ -ს სივრცულ-დროითი განაწილების დადგენა შესაძლებელია ამ თავის დასაწყისში შემოთავაზებული ამოცანის გადაჭრის ორი მიღებულიდან მეორე გზით.

**3.3 აეროზოლების ოპტიკური სიმკვრივის კავშირი ტმოსფერულ პარამეტრებთან და მისი გამოყენების შესაძლებლობა ატმოს ფეროს გაჭუჭყიანების ტერიტორიული ინტერპოლაციების დროს**

როგორც ზემოთ იყო აღნიშნული, ატმოსფერული აეროზოლების ოპტიკურ სიმკვრივეს გააჩნია კორელაციური კავშირი მრავალ მეტეოროლოგიურ ელემენტთან (ცხრილი 3.4). ცხრილი 3.4.ატმოსფერული აეროზოლების ოპტიკური სიმკვრივის კორელაციური კავშირი ატმოსფერულ პარამეტრებთან (საშუალო წლიური მონაცემებით 1954-1990წ.).

სადგ.	თბილისი	თელავი	წალკა	ანასეული	სოხუმი
პარამეტრი					
T	-0.04	0.051	-0.21	-0.16	-0.14
E	0.063	0.41	-0.15	0.21	0.38
F	-0.35	0.24	0.005	0.48	0.53
S <sub>i</sub>	-0.24	-0.62	-0.29	-0.43	-0.19
G <sub>0</sub>	-0.31	-0.23	0.33	0.39	0.32
G <sub>n</sub>	0.60	-0.42	-0.46	0.28	-0.40
N	-0.09	-0.08	0.19	-0.17	0.04
V	-0.69	-0.77	-0.38	-0.82	0.13

T-მიწისპირა ჰაერის ტემპერატურაა;

E-წყლის ორთქლის დრეგადობაა;

F-ჰაერის ფარდობითი ტენიანობაა;

S<sub>i</sub>-ზების ნათების ხანგრძლივობაა;

Ge-საერთო მოდრუბლულობაა;  
 G<sub>n</sub>-ქვედა იარუსის მოდრუბლულობაა;  
 N-ნალექებია და V-ქარის სიჩქარეა.

ნიშნის სტაბილურობის მიხედვით კორელაცია  $\tau_a$ -ს აქვს მხოლოდ მზის ნათების სანგრძლივობასთან. ყველა დანარჩენ მეტეოროლოგიურ პარამეტრთან  $\tau_a$ -ს კორელაცია ნიშნის მიხედვით არაცალსახაა, თუმცა მთელი რიგი შემთხვევებისთვის კორელაციის კოეფიციენტების აბსოლუტური მნიშვნელობები საკმარისად მაღალია. აქედან გამომდინარე,  $\tau_a$ -ს მნიშვნელობათა განსაზღვრა ამ მეტეოროლოგიური პარამეტრებით მიზანშეწონილია მხოლოდ დაკვირვების კონკრეტული პუნქტისთვის და მასთან ახლო მდგრადი ტერიტორიისთვის. კორელაციის კოეფიციენტების მაღალი მნიშვნელობები  $\tau_a$ -სა და ქარის სიჩქარეს შორის (სოხუმის გარდა) მიუხედავად ზემოთთქმულისა, მაინც იძლევა საშუალებას ატმოსფერული აეროზოლების ოპტიკური სიმკვრივის სივრცული განაწილების აგებისა პირველ მიახლოებაში იმ რაიონებისათვისაც, სადაც აქტინომეტრული დაკვირვებები არ ტარდებოდა. მსგავსი სამუშაო პირველად საქართველოში ჩატარებულია [14]-ში.

რაც შეეხება  $\tau_a$ -ს სივრცულ-დროით განაწილებას საქართველოს მთელი ტერიტორიისათვის, ამ შემთხვევაში ამის გაკეთება  $\tau_a$ -სა და მეტეოპარამეტრებს შორის კორელაციის კავშირების გამოყენებით შეუძლებელია. საილუსტრაციოდ ცხრილში 3.5 მოყვანილია კორელაციური კავშირები ზოგიერთ მეტეოსადგურსა და აქტინომეტრიულ სადგურებს შორის, ქარის სიჩქარის საშუალო წლიური მნიშვნელობების მიხედვით.

ცხრილი 3.5.კორელაციური კავშირები საქართველოს ზოგიერთ მეტეოსად გურსა და აქტინომეტრიულ სადგურებს შორის ქარის სიჩქარის საშუალო წლიური მნიშვნელობების მიხედვით 1954-1990წ.

კორელაციის კოეფიციენტები სადგურებს შორის			
თბილისი-თელავი	თბილისი-კოჯორი	თბილისი-მერანი	თბილისი-ცხინვალი
0.68	0.71	0.75	0.74
თელავი			

0.03	0.71	0.65	0.60
წალკა			
-0.40	0.44	0.46	0.31
ანასეული			
0.61	0.65	0.44	-0.11

როგორც ამ ცხრილიდან ჩანს, უმეტეს შემთხვევაში კორელაციის კოეფიციენტების მნიშვნელობები საკმაოდ მაღალია და კავშირები დადებითია. თუმცა, ერთი და ოგივე რაოონის ფარგლებში გვხვდება გამონაკლისებიც. მაგალითად, თელავსა და ახმეტას შორის კორელაცია ქარის მიხედვით არანიშნადია, წალკასა და აბასთუმანს შორის უკუკავშირშია, ანასეულსა და ქუთაისს შორის არანიშნადი კორელაციაა – ეს ფაქტები ადასტურებს ზემოთთქმულს.

მზის ნათების ხანგრძლივობის გამოყენებაც  $\tau_a$ -ს საქართველოს ტერიტორიაზე მხოლოდ რეჟიმული განაწილების დასადგენადა შესაძლებელი, რადგანაც კორელაციის კოეფიციენტების მნიშვნელობები  $\tau_a$ -სა და  $S_i$ -ს შორის არ არის მაღალი.

ცხრილში 3.6 წარმოდგენილია ატმოსფერული აეროზოლების ოპტიკური სიმკვრივის ცხრილში 8 ატმოსფერულ პარამეტრთან (მიწისპირული პაერის ტემპერატურა, წელის ორთქლის დრეკადობა, ფარდობითი ტენიანობა, მზის ნათების ხანგრძლივობა, საერთო და ქვედა იარუსის მოდრუბლულობა, ნალექები და ქარის სიჩქარე) კავშირის მრავალჯერად რეგრესიის განტოლების კოეფიციენტები.

ცხრილი 3.6.ატმოსფერული აეროზოლების ოპტიკური სიმკვრივის ატმოსფერულ პარამეტრთან კავშირის მრავალჯერადი რეგრესიის განტოლების კოეფიციენტები

პარა-მეტრი	ს ა დ გ უ რ ე ბ ი				
	თბილისი	თელავი	წალკა	ანასეული	სოხუმი
T(x <sub>1</sub> )	-0.04105	-0.00638	0.0076591	-0.017676	0.0397463
E(x <sub>2</sub> )	0.0961584	0.0341313	-0.033462	0.0302045	-0.062064
F(x <sub>3</sub> )	-0.013318	-0.003558	0.0035482	-0.00324	0.0094816
S <sub>i</sub> (x <sub>4</sub> )	-0.000011	-0.000106	0.0000271	-0.000041	-0.00004
G <sub>0</sub> (x <sub>5</sub> )	-0.039327	-0.029817	0.0321549	-0.010516	-0.002965
G <sub>n</sub> (x <sub>6</sub> )	0.0406809	0.0100642	-0.038432	-0.007075	-0.029203

N(x <sub>7</sub> )	-0.000054	-0.00003	0.0000469	-0.000004	0.0000159
V(x <sub>8</sub> )	-0.00018	-0.031677	-0.006742	-0.025849	-0.002754
C	0.6165745	0.5100223	-0.094004	0.4112393	-0.194681

$$\tau_a = \sum_{i=1}^8 a_i x_i + C \quad (3.2)$$

$\tau_a$ -ს გამოთვლილი და გაზომილი მნიშვნელობების შედარებისას აღმოჩნდა, რომ ფორმულით გამოთვლილი მნიშვნელობების სიზუსტემ შეადგინა: თბილისისათვის 75%, თელავისათვის 73%, ახასეულისათვის 67%, წალკისათვის 56%, სოხუმისათვის 47%.

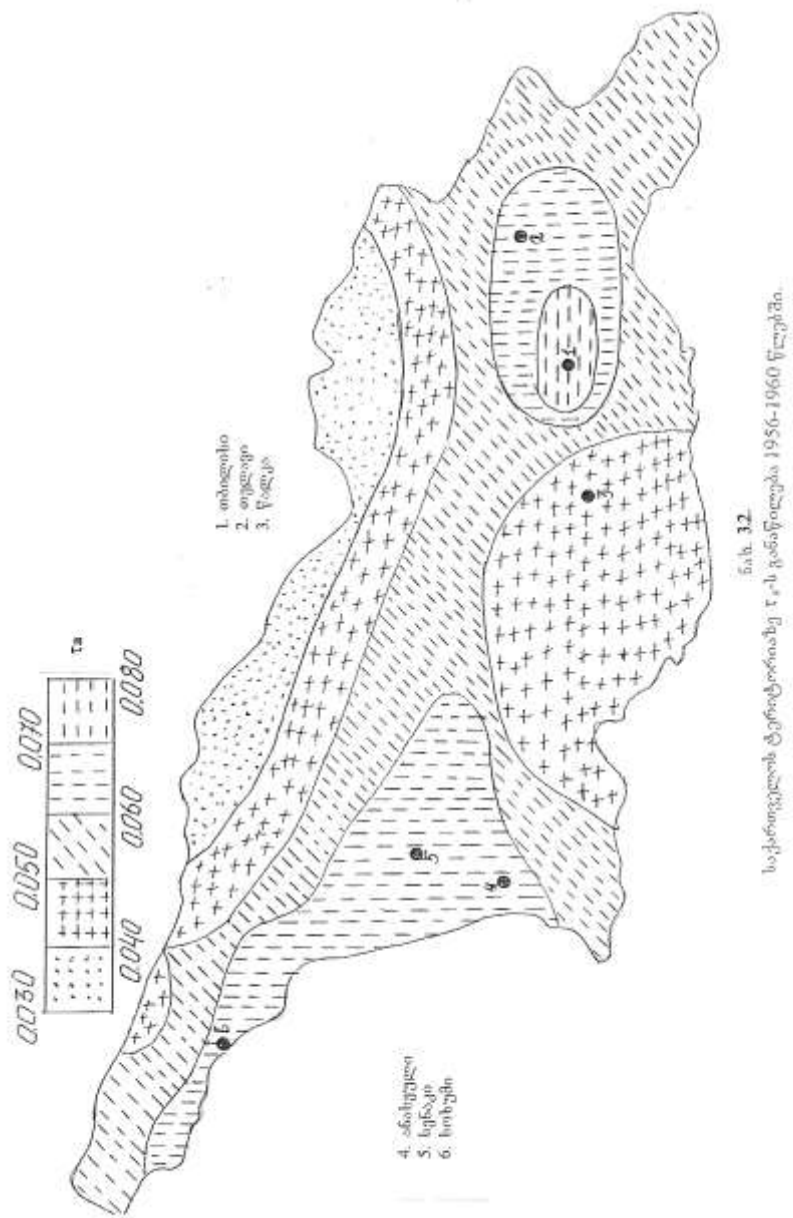
ამგვარად,  $\tau_a$ -ს მნიშვნელობათა დადგენის სიზუსტე მეტეოპარამეტრების მნიშვნელობებით არც თუ ისე მაღალია. მიუხედავად ამისა, მრავალჯერადი რეგრესიის (3.2) განტოლების გამოყენება შესაძლებელია ცალკეული მეტეოპარამეტრების გარიაციების გავლენის შესაფასებლად  $\tau_a$ -ს ცვლილებებზე, სხვა პარამეტრების ფიქსირებული მნიშვნელობების დროს.

### 3.4 საქართველოს ტერიტორიაზე აეროზოლების ოპტიკური სიმკვრივის განაწილების რუკები

ნახ. 3.2—3.8 წარმოდგენილია საქართველოს ტერიტორიაზე  $\tau_a$ -ს განაწილების რუკები ხუთწლიანი პერიოდების მიხედვით 1956-1990 წლებში. შვიდი ხუთწლიანი აეროზოლური ოპტიკური სიმკვრივის ცვლილებების გრადაციების სკალა მოყვანილია ყველა შესაბამისად ნახაზებზე. ამ ნახაზებიდან კარგად ჩანს საქართველოს ტერიტორიაზე აეროზოლური გაჭუჭყაფიანების დინამიკა დროის სხენებული მონაცემებისათვის. მაგ., 1986-1990 წლების პერიოდში  $\tau_a$ -ს ცვლილების დიაპაზონია 0.060-0.160, მაშინ როცა 1976-1980 წლებში იგი შეადგენდა 0.050-0.150 ხოლო 1966-1970 წლებში  $\tau_a$ -ს ცვლილების დიაპაზონი იყო 0.040-0.110 [15]. ყველაზე სუფთა ატმოსფერო საქართველოში იყო 1956-1960 წწ. და შესაბამისად  $\tau_a$  იცვლებოდა 0.030-დან 0.080-მდე.

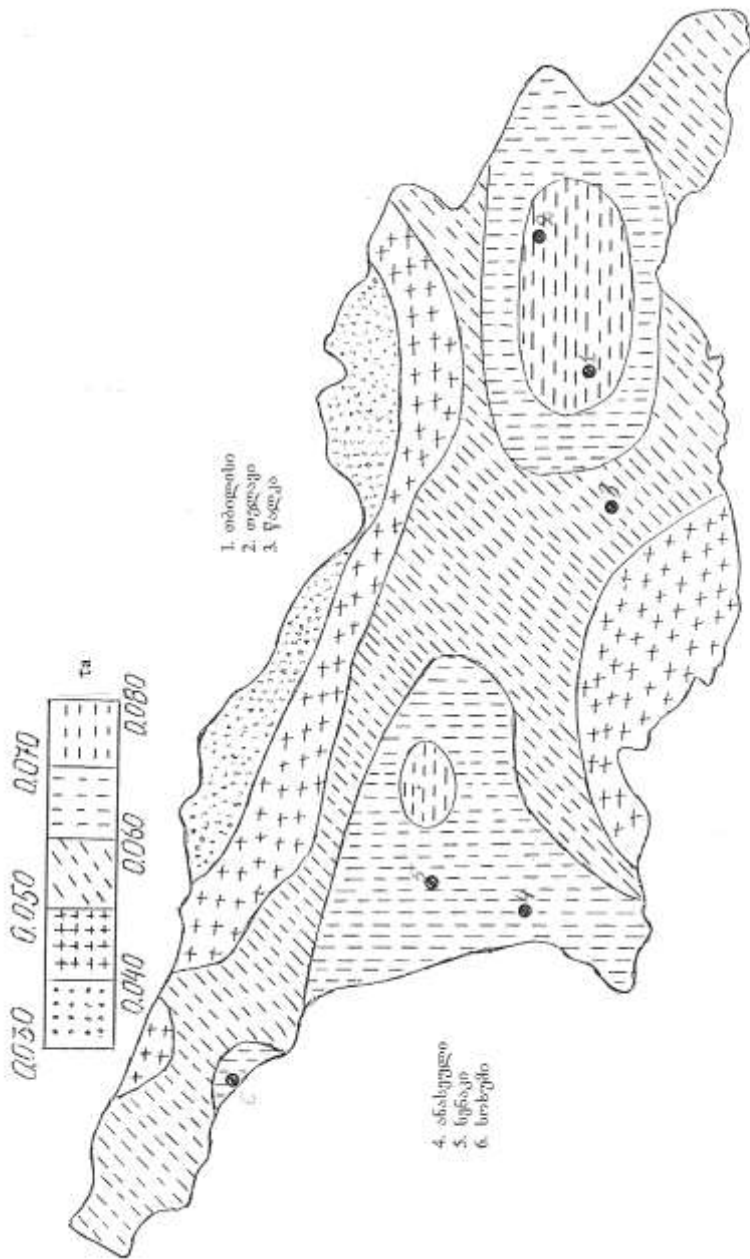
ყოველივე ზემოთთქმულიდან შემდეგი დასკვნების გაპეტება შეიძლება

დადგენილია კორელაციური კავშირები  $\tau_a$ -ს და ქარის სიჩქარესა და მზის ნათების ხანგრძლივობას შორის.

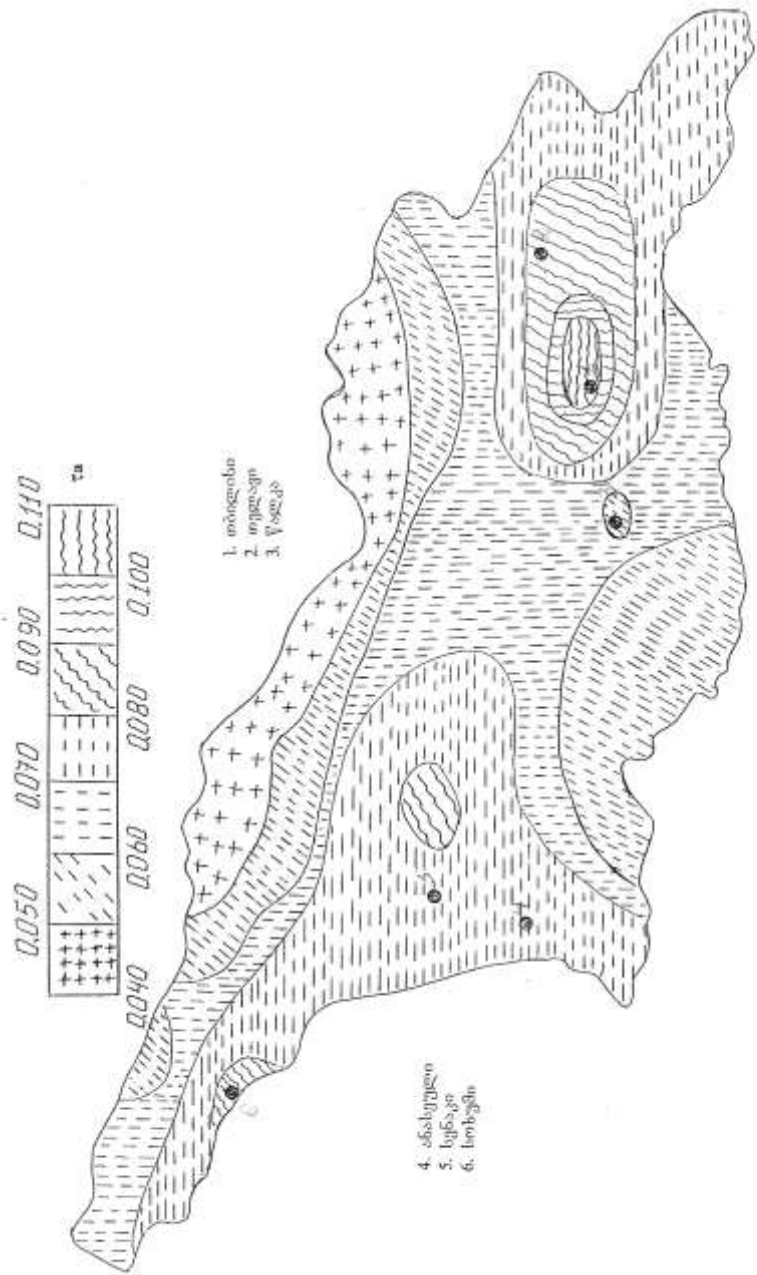


Հայաստանի տարածքում գլուխացած 1956-1960 թվականների բուհաբանական դաշտավայրերի տարածությունը՝ մակարդակային պատճենությունում.

ՀԱ. 12

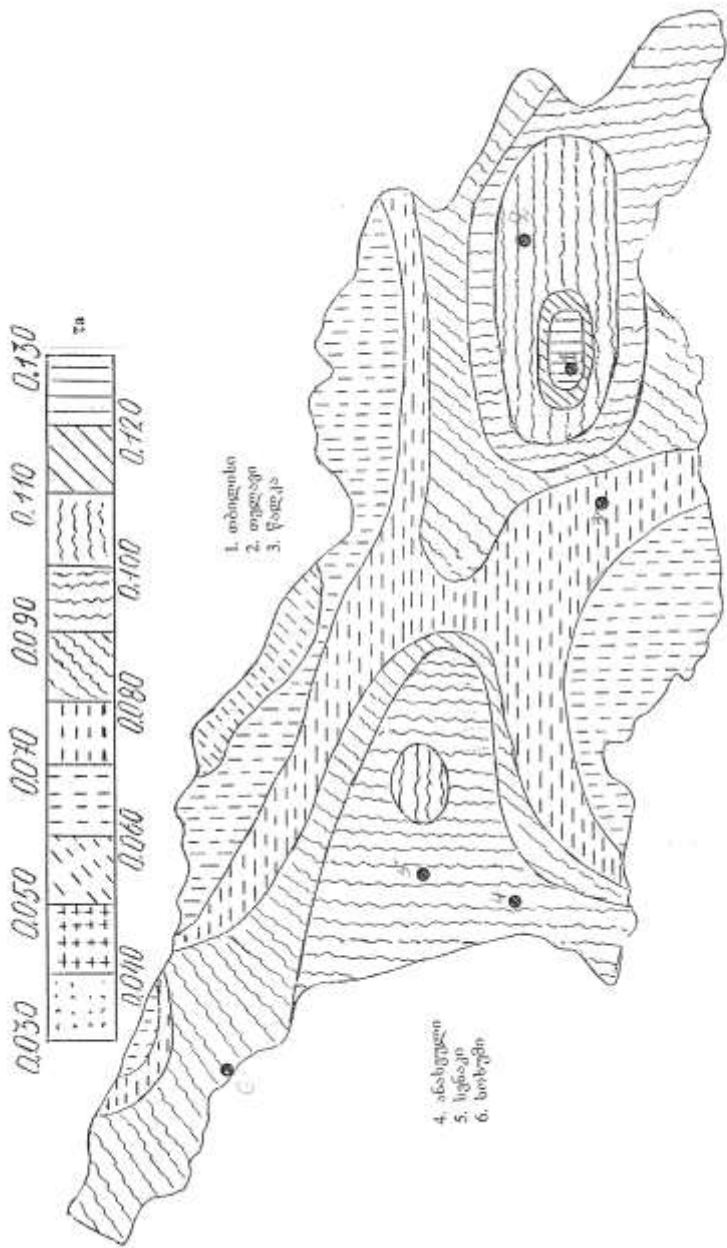


ნაბ. 33. ტერიტორიული გენოფონური 1961-1965 წლებში.

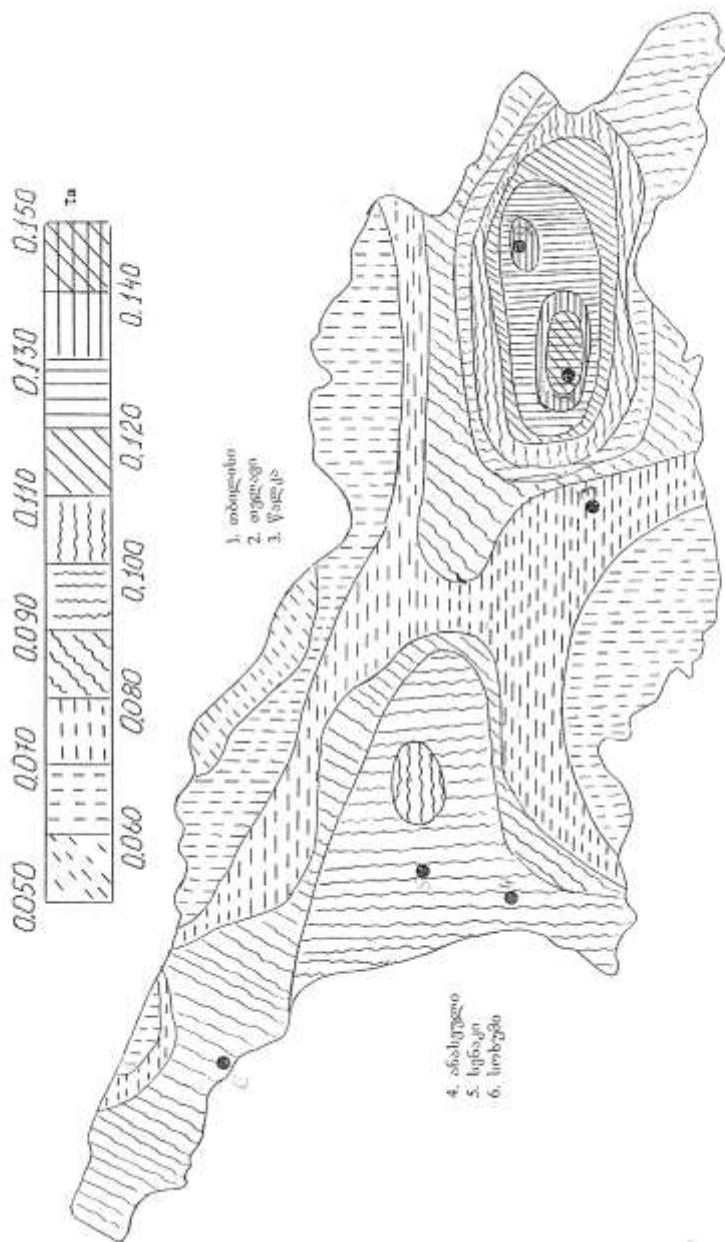


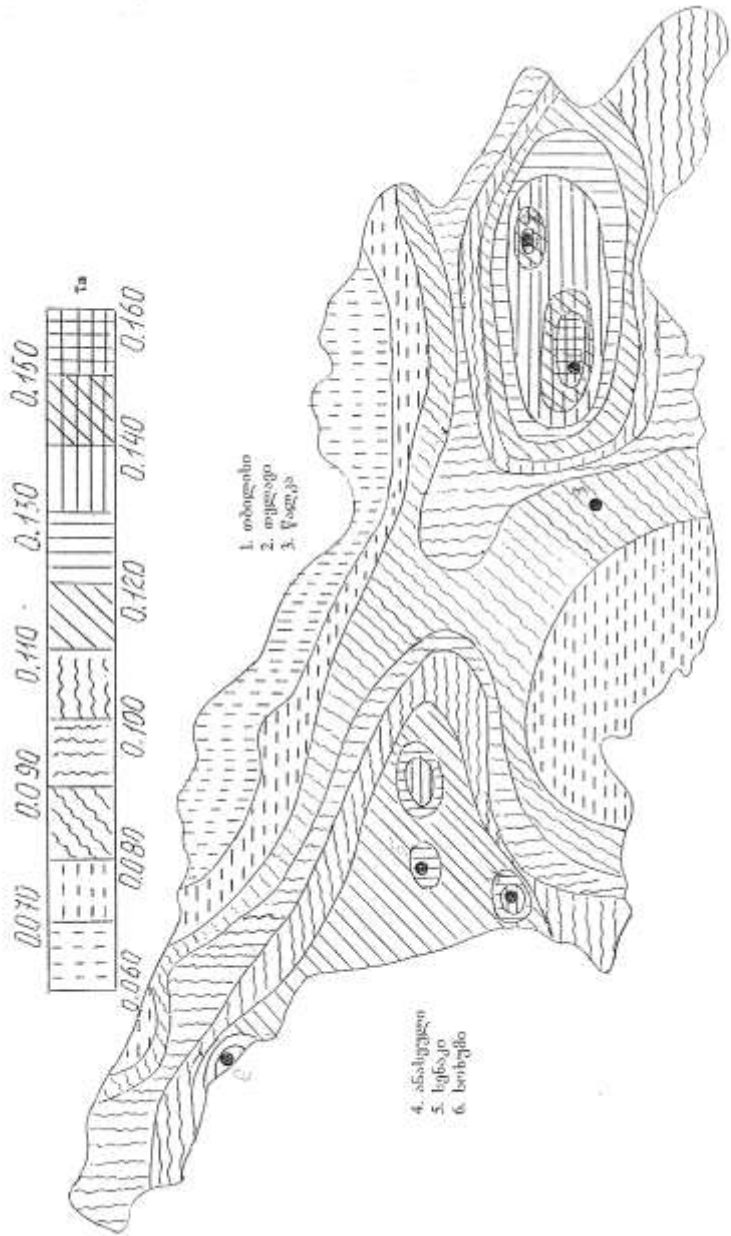
საქართველოს ტერიტორიაზე უსაბოლოდ 1966-1970 წლებში,

Ліжко з північно-західного боку від джерела 1-го ступеня  
1971-1975 рр. № 35.

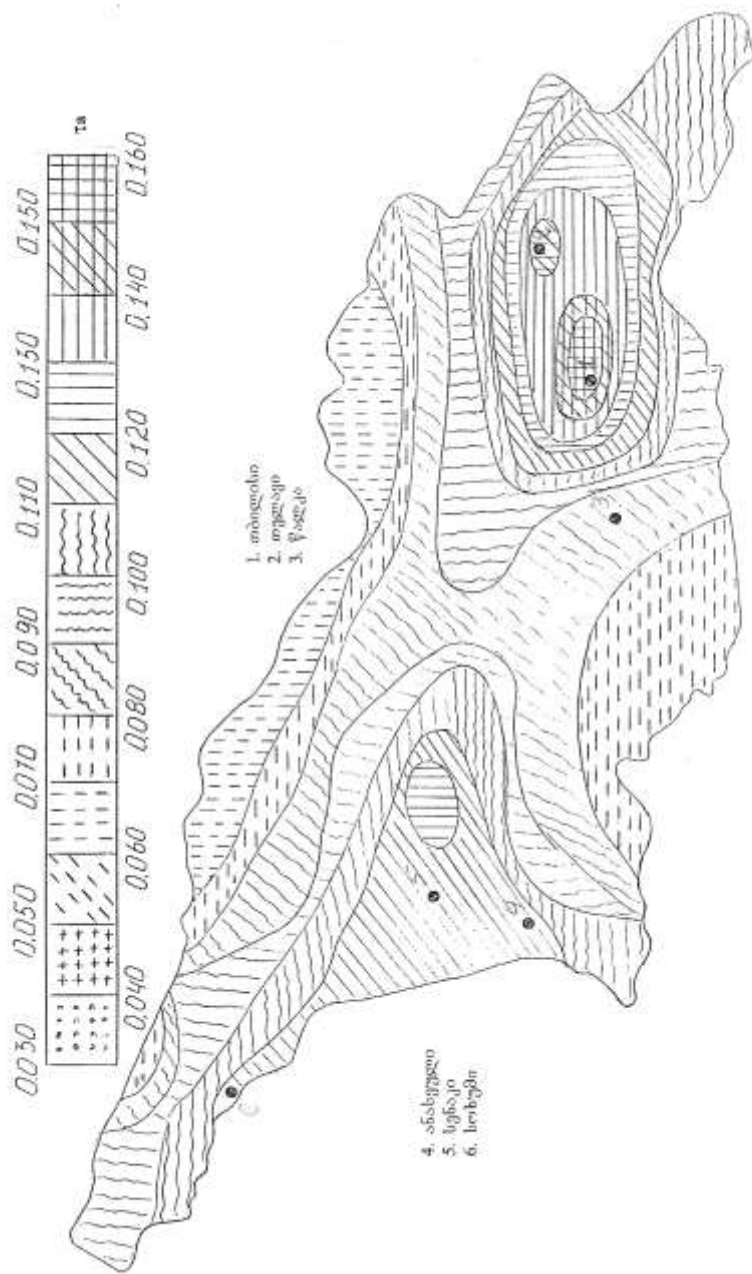


Бюллетень Центрального гидрометеорологического института  
1976-1980 гг. № 36.





Հանձնաժողովը պահանջում է առաջարկ գաղտնաբառը՝ 1981-1985 թվականներին կազմակերպված աշխատանքների համար:



ნახ. 38.  
ასეთი გელიკური გეოლოგიური გრადუსის ტექტურული განვითარების 1986-1990 წლები.

ნაჩვენებია, რომ  $\tau_a$ -ს მეტეოპარამეტრებთან კავშირების გამოყენება შესაძლებელია მხოლოდ აეროზოლების ოპტიკური სიმკვრივის ტერიტორიული განაწილების რეაქტული რუკების შესაქმნელად პირველ მიახლოებაში.

მიღებულია ატმოსფერული აეროზოლების ოპტიკური სიმკვრივის ვერტიკალური განაწილების პროფილი საქართველოს ტერიტორიაზე.

შემოთავაზებულია ატმოსფერული აეროზოლების ოპტიკური სიმკვრივის სივრცეულ-დროითი განაწილების დადგენის მეთოდი  $\tau_a$ -ს ვერტიკალური განაწილების პროფილისა და საკვანძო წერტილებში მნიშვნელობების გამოყენებით.

შედგენილია  $\tau_a$ -ს განაწილების რუკები საქართველოს ტერიტორიისათვის: 1956-1960, 1961-1965, 1966-1970, 1971-1975, 1976-1980, 1981-1985, და 1986-1990 წლები.

### ლიტერატურა

1. Аэрозоль и климат - под. ред. Кондратьева К.Я., Л., Гидрометеоиздат, 1990.
2. Амиранашвили А.Г., Гзиришвили Т.Г. – Аэрозоли и ледяные кристаллы в атмосфере Тбилиси, «Мецниереба», 1991.
3. Тавартиладзе К.А. – Моделирование аэрозольного ослабления радиации и методы контроля загрязнения атмосферы Тбилиси, «Мецниереба», 1989.
4. Aerosol-cloud – Climate Interactions, Edited by P.V.Hobbs, Acad. Press. Inc. 1993.
5. Тавартиладзе К.А. – Влияние водяного пара на прозрачность безоблачной атмосферы, Мет. и Гидр., №11, 1982.
6. საქართველოში კლიმატის ცვლილების ენერგობალანსური მოდელის შექმნა და კლიმატის ცვლილების ძირითადი მიზე-ეზების დადგენა, საქ. მეცნ. აკად., ანგარიში, თბილისი, 1997.
7. Тавартиладзе К.А. Саджая Э.В.–Некоторые особенности загрязнения атмосферы над Грузией. Сообщ. АН ГССР., №1, 1990.
8. საქართველოს კლიმატის ცვლილების ემპირიული მოდელი. ანგარიში, საქ. კლიმატის ცვლილების ეროვნული ცენტრის ფონდი, თბილისი, 1996.

9. Amiranashvili A., Amiranashvili V., Tavartkiladze K., Sajaia E.- Some peculiarities of atmospheric aerosol pollution in Georgia, Bull. of the National Climate Research Centre, Tbilisi, 1997, №5.
10. ამირანაშვილი ა. – ატმოსფერული აეროზოლების ცვლილება საქართველოში ატმოსფეროს მახასიათებლებთან და რადიაციულ ნაკადებთან კავშირში. სამეცნ. სესია “ჰავის თანამედროვე ცვლილება საქართველოში”, მასალები, თბილისი, “მეცნიერება”, 1998.
11. ამირანაშვილი ვ. – საქართველოს ტერიტორიაზე ატმოსფეროს ანთროპოგენური გაჭუჭყიანების თავისებურებანი. სამეცნ. სესია “ჰავის თანამედროვე ცვლილება საქართველოში”, მასალები, თბილისი, “მეცნიერება”, 1998.
12. საქართველოში კლიმატის ცვლილების ემპირიული მოდელი. ანგარიში, საქ. კლიმატის ცვლილების ეროვნული ცენტრის ფონდი, თბილისი, 1997.
13. Fang Li, Daren Lu – An estimation of the optical depth and the particle size distribution of atmospheric aerosols in the Region of Mount Gomolungma in Tibet, j. of Aeros. Sci, vol. 26, Suppl.1, Sept. 1995.
14. Саджая Э.В.- Влияние внешних факторов на динамику загрязнения атмосферы над Грузией. Дисс. на соискание уч. степени канд. геогр. наук, Тбилиси, 1998.
15. Amiranashvili A., Amiranashvili V., Tavartkiladze K. – Dinamics of the Aerosol Pollution of the Atmosphere in Georgia in 1956-1990, j. of Aeros. Sci., Pergamon Press, vol.30, Suppl.1, 1999.

#### თავი 4.

### ოზონის გერტიკალური განაწილება ატმოსფეროში, მისი ჰარიტორიული და დროითი გარიაციები

ატმოსფერული პროცესების კვლევისას დიდი მნიშვნელობა აქვს ოზონის ვერტიკალური განაწილების ვარიაციების კანონზომიერების ცოდნას, მას შეუძლია მოგვცეს უხვი ინფორმაცია ატმოსფეროში მიმდინარე ფოტოქიმიურ, თერმულ და დინამიკურ პროცესებზე.

სტრატოსფეროს და მეზოსფეროს ტემპერატურა დიდადაა დამოკიდებული ოზონის ვერტიკალურ განაწილებაზე. ოზონის სრულიად აკავებს და არ უშვებს დედამიწის ზედაპირამდე მზის რადიაციას 290 ნმ-ზე ნაკლები ტალღის სიგრძით. მზის მიერ გამოსხივებული ბიოლოგიურად აქტიური რადიაცია, ტალღის სიგრძის უბანში 290-330 ნმ, იფილტრება ოზონით. ოზონი, ასევე შთანთქავს რადიაციას საექტრის ინფრაწილები უბნის, 9,6 მგმ ზოლში. ეს უბანი ახლოსაა დედამიწის მიერ გამოსხივებული რადიაციის მაქსიმუმთან. ამრიგად შთანთქმის შედეგად დედამიწის მიერ გამოსხივებული რადიაციის დაახლოებით 20% შეკავდება ოზონით, რის შედეგადაც მატულობს ჰაერის ტემპერატურა ატმოსფეროში [1]. სტრატოსფეროს ქვედა ნაწილში ოზონის გააჩნია კონსერვატიული თვისება და ის შეიძლება გამოყენებულ იქნეს ჰაერის ნაკადების დიაგნოსტიკისათვის.

ოზონის ვერტიკალური განაწილების გაზომვებისათვის იყენებენ მიწისპირა, ბალონურ, რაკეტულ და თანამგზავრულ მეთოდებს [1-3]. მიწისპირა მეთოდი “შებრუნების ეფექტის” გამოყენებით ყველა მეთოდზე იაფია. ამ მეთოდის არსებითი ნაკლია მისი დაბალი სიზუსტე. ამჟამად ბალონური მეთოდი წარმოადგენს ერთადერთს, რომლის საშუალებითადაც შეიძლება მიღებული იქნას მასიური რაოდენობით მონაცემები ოზონის ვერტიკალურ განაწილებაზე ტროპოსფეროსა და სტრატოსფეროს ქვედა ნაწილში დღე-დამის ნებისმიერ დროს მაშინ, როდესაც “შებრუნების ეფექტის” გამოყენებით მისი გაზომვები შესაძლებელია მხოლოდ უღრუბლო ცის დროს, დიღას და

საღამოს. ბალონური მეთოდით ზონდირების სიმაღლე შემოსაზღვრულია დაახლოებით 30 კმ-ით. რაკეტული მეთოდით ოზონზონდირების სიმაღლე არსებითად დიდია (80 კმ-დე), მაგრამ მეთოდის სიძვირე არ იძლევა საშუალებას მისი მეშვეობით მიღებულ იქნას ოზონის ვერტიკალური განაწილების მონაცემების დიდი მასივი. ამჟამად მოქმედებს ოზონის ვერტიკალური განაწილების გაზომვის ოანამგზავრული მეთოდიც. მისი ძირითადი უპირატესობაა – მიღებული ინფორმაციის გლობალურობა. მაგრამ ჯერ-ჯერობით ეს მეთოდი ვერ იძლევა ოზონის კონცენტრაციის ინფორმაციას 25-30 კმ-ის ქვემოთ, ე.ი. იმ უბანში, სადაც ოზონის ძირითადი მასაა მოთავსებული. ყველა მეთოდები გარკვეული ხარისხით ავსებენ ერთმანეთს, ამიტომ ყველა ისინი ამჯერად გამოიყენება.

თანამედროვე წარმოდგენით [4] ოზონის ვერტიკალური განაწილებისათვის დამახასიათებელია: მცირე შემცველობა ტროპოსფეროში – ოზონის საერთო რაოდენობის 8-10%, მისი პარციალური წნევის ( $P_3$ ) მკვეთრი ზრდა ოზონოპაუზიდან მის მაქსიმალურ მნიშვნელობამდე ( $P_{3\max}$ ), რომელიც საშუალოდ მდებარეობს 20-22 კმ-ზე ზღვის დონიდან;  $P_3$ -ის შემდგომი შემცირება 80-100 კმ სიმაღლემდე ექსპონენციალური კანონით მიმდინარეობს.

ოზონის ვერტიკალურ განაწილებაზე მოქმედებენ: ფოტო-ქიმიური და ოზონის გადატანის პროცესები, განედი, სეზონი, გეოგრაფიული პირობები და მეტეოროლოგიური პროცესები.

არჩევენ ოზონის ვერტიკალური განაწილების სამ ტიპს: ტროპიკულს, ზომიერს და პოლარულს [4]. ტროპიკული ტიპისთვის ოზონის ძირითადი მასა დაიკვირვება შედარებით დიდ სიმაღლეზე. კერძოდ, ოზონის მაქსიმალური პარციალური წნევა ( $P_{3\max}$ ) – 130-160 ნმ. იმყოფება 24-27 კმ სიმაღლეზე. განაწილების ამ ტიპის ძირითადი ფენა ერთგვაროვანია და თითქმის არ გააჩნია თხელი სტრუქტურა. ოზონის საერთო რაოდენობა მისთვის შეადგენს 0.26-0.27 ატმოსმ-ს, რომელიც უმნიშვნელოდ იცვლება სეზონის მიხედვით.

ოზონის ვერტიკალური განაწილების ტროპიკული ტიპი უფრო ხშირად გვხვდება  $30^{\circ}$ -მდე განედებისათვის და ყოველთვის დაიკვირვება მაღალი ტროპიკაუზის დროს. ამ ტიპისათვის ოზონის მაქსიმალური შემცველობა აღწევს 190 ნბ-მდე, ზოგჯერ მეტსაც და იმყოფება 19-21 კმ სიმაღლეზე. ეს ტიპი საშუალოდ შეიცავს 0.34 ატმოსმ-ს ოზონის საერთო რაოდენობას. ის უპირატესად დაიკვირვება ნორმალურ ზოლში  $35^{\circ}$  განედის ჩრდილოეთით და სამხრეთით. მისთვის დამახასიათებელია დაბლა მდებარე პოლარული ტროპოპაუზა.

ოზონის ვერტიკალური განაწილების პოლარულ ტიპს გააჩნია დაბალ დონეზე მდებარე ოზონის ძირითადი ფენა. მისთვის ოზონის კონცენტრაციის მაქსიმუმის სიმაღლე მოთავსებულია 13-18 კმ სიმაღლის ინტერგალში და  $P_{\text{max}}$  აღწევს 200 ნბ-მდე. ეს ფენა შედარებით სქელია და ძირითადად შეიცავს ბევრ თხელ ოზონის სხვადასხვა კონცენტრაციის ფენებს, რომლებიც დაკავშირებულნი არიან ტემპერატურის სტრატიფიკაციასთან. ამ ტიპისათვის, საშუალოდ, დამახასიათებელია 0.40 ატმოსმ-ზე მეტი, ხოლო ცალკეულ შემთხვევებში 0.60 ატმოსმ-მდე ოზონის საერთო რაოდენობა. ეს ტიპი, ძირითადად დაიკვირვება პოლარულ განედებში.

უშუალოდ ტროპოსფეროში, ოზონის ვერტიკალური განაწილების ასევე სამ ტიპს განიხილავთ: ნორმალურს, იზოპიკნურს და ინვერსიულ პროფილებს [5]. ავტორებმა უჩვენეს, რომ ტროპოსფეროში ოზონის განხილული 326 პროფილიდან 43% შემთხვევაში დაიკვირვებოდა ოზონის კონცენტრაციის შემცირება სიმაღლის მიხედვით (ნორმალური პროფილი), 37% შემთხვევაში ოზონის კონცენტრაცია სიმაღლის მიხედვით იცვლებოდა უმნიშვნელოდ (იზოპიკნური პროფილი) და 20% შემთხვევაში დაიკვირვებოდა ოზონის კონცენტრაციის ზრდა სიმაღლის მიხედვით. ტროპოსფეროს მთელ ფენაში (ინვერსიული პროფილი). ნორმალური და იზოპიკნური ოზონის პროფილების ფორმირება ხდება შიდატროპოსფერული პროცესების (ჟიმიური, ფოტოქიმიური, დინამიკური) აქტიური გამოვლინებისას. ოზონის ინვერსიული პროფილი წარმოიქმნება ჰაერის მასების სტრატოსფერული შემოჭრისას, რომელიც მიმდინარეობს კარგად გამოსახულ ჭავლური ნაკადების ციკლონურ პერიოდში. ოზონის ვერტიკალური განაწილე-

ბის ინვერსიული ტიპის ფორმირებაზე არსებით გავლენას ახდენს, ასევე, ჭავლური ნაკადის სიმაღლე [6].

#### 4.1. ოზონის გერტიკალური განაწილება საქართველოში

საქართველოში ოზონის ვერტიკალური განაწილების გაზომვები ჩატარდა მიწისპირა (ოპტიკური) მეთოდით “შებრუნვების ეფექტის” გამოყენებით სოფელ რუისპირში (ოელავის რნი) მ. ნოდიას სახელობის გეოფიზიკის ინსტიტუტის (საქართველოს მეცნიერებათა აკადემია) მიერ და აბასთუმანში, აბასთუმნის ასტროფიზიკური ობსერვატორის მიერ 1973-1983 წლებში. გაზომვები ელექტრო-ქიმიური ოზონოზონდებით (OSM-2 და OSE-2 - ტიპის გერმანული ოზონოზონდებით) ასევე ჩატარებული იქნა მ. ნოდიას სახელობის გეოფიზიკის ინსტიტუტის მიერ რუისპირსა და სოხუმში 1979, 1983, 1984 წლებში.

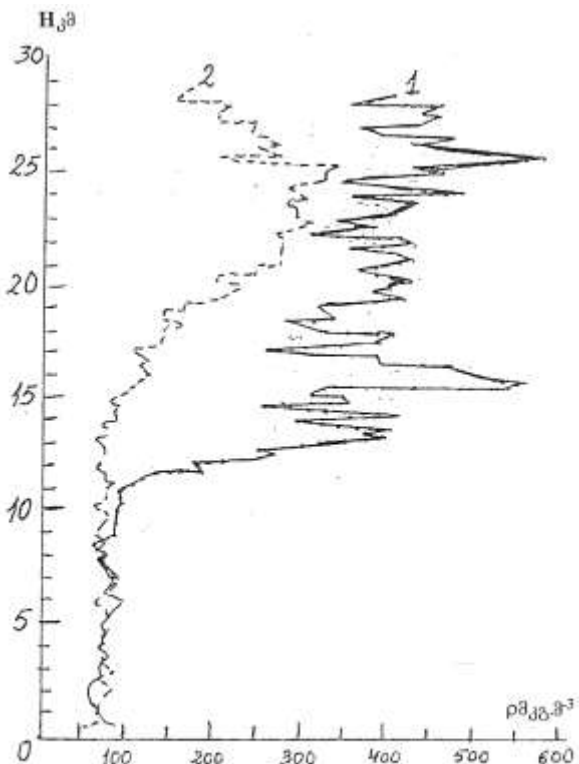
OSM-2 და OSE-2 – ტიპის ელექტრო-ქიმიური ოზონოზონდებით ზაფხულის სეზონზე, ჩატარებულმა გაზომვებმა რუისპირსა და სოხუმში გვიჩვენა, რომ საქართველოში ძირითადად დაიკვირვება ოზონის ვერტიკალური განაწილების ტროპიკული და ზომიერი ტიპები. ოზონის ვერტიკალური განაწილების ტროპიკული ტიპები დაკვირვებული იქნა შემდეგ დღეებში: 21.09.1979; 29.06.1984; 17.07.1984; 20.09.1984; და 27.09.1984. ზომიერი ტიპები კი 21.09.1983; 14.10.1983; 19.05.1984; 03.08.1984; 17.05.1984; 11.06.1984; და 23.09.1984.

საქართველოში დაკვირვებული ოზონის ვერტიკალური განაწილების ტროპიკული და ზომიერი ტიპების სამაგალითო პროფილები მოცემულია ნახ. 4.1-ზე. ამ ნახაზიდან ჩანს, რომ ოზონის ვერტიკალური განაწილების ტროპიკულ ტიპს (მრუდი 2), დაკვირვებული სოხუმში 1984 წლის 27 სექტემბერს, ახასიათებს კონცენტრაციის უმნიშვნელო ცვალებადობა სხვადასხვა დონეზე. ეს დღე ხასიათდება შემდეგი ატმოსფერული პირობებით: დასაგლეთ საქართველოზე იყო მაღალი წნევის ბარიული ველი. 700 და 500 მბ სიმაღლის ანტიციკლონი, ხოლო 300 მბ დონეზე – სიმაღლის თხემი. ყველა დონეზე დაიკვირვებოდა სუსტი ქარი სამხრეთ-დასავლეთის მიმართულების, სიჩქარით 10/წმ-მდე. ტემპერატურის პროფილს კი ჰქონდა შემდეგი სახე: ფენაში - 0.12-0.35 კმ – ინვერსია, ზედა ფენაში - 0.5-1.0 კმ იზოთერმია, შემდეგ 13 კმ სიმაღლემდე ტემპერატურა მცირდებოდა

გრადიენტით  $10^{\circ}\text{C}$  კმ $^{-1}$ . 13 კმ-დან ტემპერატურის გრადიენტი მკვეთრად ეცემოდა ნულამდე. ფენაში 13-15 კმ ტემპერატურა პრაქტიკულად უცვლელი იყო და შეადგენდა  $-60^{\circ}\text{C}$ -ს. ზემოთ ტემპერატურა ეცემოდა და 18 კმ დონეზე შეადგენდა  $-64^{\circ}\text{C}$ . შემდეგ იზრდებოდა და 23 კმ-ზე შეადგენდა  $-55^{\circ}\text{C}$ . ფენაში 23-29 კმ ტემპერატურა იცვლებოდა საზღვრებში  $-56^{\circ}$  -  $-48^{\circ}\text{C}$ , მატულობდა რა სიმაღლის მიხედვით. ფარდობითი სინოტივე მთელ სიმაღლეზე იცვლებოდა 68-დან 14%-მდე, მაშასადამე სოხუმის ზემოთ ატმოსფერო იყო მდგრადი (შეუმფოთებელი).

ოზონის ვერტიკალური განაწილების ზომიერი ტიპის დროს (ნახ. 4.1 მრუდი 1), რომელიც დაკვირვებული იქნა რუისპირის ზემოთ 1983წლის 21 სექტემბერს, ოზონის კონცენტრაცია სიმაღლის მიხედვით უნიშვნელოდ ცვალებადობდა 11 კმ დონემდე. 11-14 კმ-იან ფენაში დაიკვირვებოდა ოზონის კონცენტრაციის მკვეთრი ზრდა 400 მკგ.მ $^{-3}$ -მდე, გრადიენტით 100 მკგ.მ $^{-3}$ . 14 კმ-ის ზემოთ აღინიშნებოდა ოზონის კონცენტრაციის მკვეთრი რხევა ორი მაქსიმუმით 16 და 26 კმ დონეებზე. ოზონის კონცენტრაციის რხევის ამპლიტუდამ 14 კმ-ს ზევით მიაღწია 320 მკგ.მ $^{-3}$ -ს, მაშინ როცა ოზონის ვერტიკალური განაწილების ტრაპიკული ტიპის დროს იმავე დონეებზე ამპლიტუდა შეადგენდა მნიშვნელოვნად ნაკლებს-260 მკგ.მ $^{-3}$ -ს. ატმოსფერული მდგრამარეობა 21 სექტემბერს აღმოსავლეთ საქართველოში იყო შემდეგი: დაიკვირვებოდა მაღალი წნევის არე, დაკვირვების პუნქტს სამხრეთიდან უახლოვდებოდა თბილი “ფრონტი”, რომელიც რუისპირიდან იმყოფებოდა 300 კმ-ზე. სიმაღლის სტანდარტულ დონეებზე 850-200 მბ განლაგებული იყო სიმაღლის დარი, 100 მბ დონეზე კი - თხემის მარჯვენა ნაწილი. ქარის სიჩქარე 200 მბ დონეზე შეადგენდა 35 მწ $^{-1}$ . დაკვირვების პუნქტი იმყოფებოდა ჭავლური ნაკადის მარცხენა ნაწილის ქვემოთ. რუისპირიდან ჭავლური ნაკადის დერძი იმყოფებოდა 200-300 კმ-ზე. ის მიმართული იყო დასავლეთიდან აღმოსავლეთისაკნ, ქარის სიჩქარე დერძზე შეადგენდა 40 მწ $^{-1}$ . ამ დღეს აეროლოგიური მონაცემებით 12 კმ-ის ზემოთ დაიკვირვებოდა ტემპერატურის გრადიენტის შემცირება, რომელსაც შეესაბამებოდა ოზონის შემცველობის მკვეთრი ზრდა. ქარის სიჩქარე იყო დიდი და მატულობდა სიმაღლის მიხედვით: 17 მწ $^{-1}$ . 7 კმ სიმაღლეზე და 61 მწ $^{-1}$  13 კმ დონეზე.

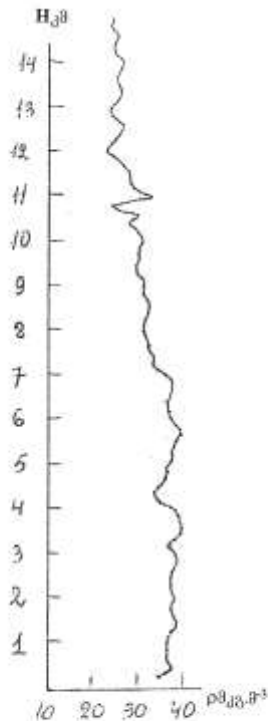
ქარის მიმართულება ძირითადად იყო დასავლეთის. მაშასადამე, 1983 წლის 21 სექტემბერს დაკვირვების პუნქტის ზემოთ ატმოსფეროში იყო ძლიერი შეშფოთება, რომელმაც განაპირობა ოზონის ვერტიკალური განაწილების ნაჩვენები სტრუქტურა. უნდა აღვნიშნოთ ის ფაქტი, რომ ოზონის კონცენტრაციის ანალიზიურ გაზრდას 12 კმ სიმაღლეზე, ამ სიმაღლეზე დასავლეთის მიმართულების ქარის სიჩქარის სწრაფად გაზრდისას, დააკვირდნებ სხვა ავტორებიც ინდოეთში [7].



ნახ. 4.1 ოზონის ვერტიკალური განაწილება რუსეპირში  
1983 წლის 21 სექტემბერს (1) და სოხუმში 1984 წლის 27  
სექტემბერს (2).

ნახ. 4.2-ზე მოყვანილია ოზონის საშუალო ვერტიკალური პროფილი ტროპოსფეროში, მიღებული 8 პროფილის გასაშუა-

ლოებით ანტიციკლონური ბარიული ველის პირობებში. ოზონის ვერტიკალური განაწილების ეს მრუდი წარმოადგენს ოზონის ვერტიკალური განაწილების ტროპიკული ტიპის ტროპიკულ ნაწილს.



ჩა. 4.2 ოზონის საშუალო ვერტიკალური პროფილი  
ტროპიკული ტიპის ველის განაწილების მარტივი ველის  
დროს, რესიპროც (მინიმუმი ელექტრო-ტონიური  
ჰინდინებით).

როგორც ზემოთ იყო ნათქვამი, საქართველოში წლის თბილ სეზონში (აპრილი-ოქტომბერი) რუისპირში და აბას-თუმანში ჩატარდა ოზონის ვერტიკალური განაწილების ზონდირება მიწისპირა (ოპტიკური) მეთოდით “შებრუნების ეფექტის” გამოყენებით. რუისპირში ოზონის ვერტიკალური განაწილების გაზომვები ჩატარდა 112-ჯერ (აქედან დილით 32-

ჯერ, ხოლო საღამოს 75-ჯერ), ხოლო აბასთუმანში 35-ჯერ (დილით 12-ჯერ, საღამოს 23-ჯერ).

გამოყიუფენეთ რა საქართველოს ტერიტორიაზე 147 ჩატარებული ოზონის ვერტიკალური განაწილების ექსპერიმენტული მონაცემები, შევეცადეთ დაგვეგინა ოზონის ვერტიკალური განაწილების სტრუქტურა საქართველოში. მონაცემები დავყავით ოთხ ჯგუფად ტერიტორიული ნიშნის (აბასთუმანი, რუისპირი) და მზის სხივური ენერგიის ზემოქმედების ხანგრძლივობის მიხედვით (დილა-საღამო). სიმაღლეების მიხედვით განვსაზღვრეთ ოზონის საშუალო რაოდენობა და შესაბამისი საშუალო კვადრატული გადახრები. ყოველი ჯგუფისათვის აგებულია ვერტიკალური განაწილების ორ-ორი მრუდი (წყვეტილი), რომელთა შორის პორიზონტალური მანძილები განსაზღვრავენ საშუალო კვადრატულ გადახრას მოცემულ სიმაღლეზე [8].

თუ ოზონის შემცველობას ატმოსფეროში აღვნიშნავთ რიც-ით, რომელიც განსაზღვრავს ოზონის მოლექულების რაოდენობას ატმოსფეროს  $\text{m}^3$  მოცულობაში, ხოლო სიმაღლეს ზღვის დონიდან Z-ით (კმ), მაშინ ნახაზებზე დატანილი ვერტიკალური განაწილებანი ანალიზურად შეიძლება წარმოვადგინოთ ფორმულით:

$$\rho_{03} = A \cdot e^{-B(Z-Z_0)^2} \quad (4.1)$$

სადაც A და B ემპირიული კოეფიციენტებია, ხოლო  $Z_0$ -სიმაღლე, რომელზედაც ოზონის შემცველობა მაქსიმალურ მნიშვნელობას აღწევს. A, B და  $Z_0$ , ცალკეული დაჯგუფებისათვის განვსაზღვრეთ უმცირეს კვადრატო მეთოდით. როგორც ნახაზიდან ჩანს ატმოსფეროს იმ შრეში, სადაც მოთავსებულია ოზონის ძირითადი მასა (10-30 კმ) ფორმულა 4.1 კარგად ასახავს ოზონის ვერტიკალურ განაწილებას [20].

მიღებული შედეგები ერთხელ კიდევ ადასტურებს ოზონის ვერტიკალური განაწილების დამახასიათებელ თავისებურებებს: მცირე შემცველობას ტროპოსფეროში (ოზონის საერთო რაოდენობის მხოლოდ 8-10%-მდე), მისი პარციალური წნევის მკვეთრ ზრდას ოზონოპაუზიდან მაქსიმალურ მნიშვნელობამდე, რომელიც საშუალოდ მდებარეობს 24-27 კმ-ზე

ზღვის დონიდან და მის შემდგომ ექსპონენციალურ შემცირებას 80კმ-მდე.

შედარებული იქნა ოზონის ვერტიკალური განაწილების გასაშუალოებული დილის და საღამოს პროფილები. დადგინდა, რომ რუისპირისათვის ოზონის კონცენტრაცია ოზონის მაქსიმუმიდან ქვედა ფენებში დილით ადემატება ოზონის საღამოს კონცენტრაციას, ხოლო აბასთუმნისათვის კი პირიქით – საღამოს ოზონის კონცენტრაცია აღნიშნულ ფენებში დილისას სჭარბობს. რაც შეეხება ოზონის კონცენტრაციას ოზონის მაქსიმუმიდან ზედა ფენებში, იქ ოზონის კონცენტრაციები ორივე პუნქტისათვის დილით და საღამოს თითქმის ერთნაირია. ქვედა ფენებში, რუისპირში, ოზონის კონცენტრაციის გაზრდა დილით გამოწვეული უნდა იყოს ტროპოსფეროს მკვეთრი გაჭუჭყიანებით, რომელსაც უწყობდა ხელს დრუბლებზე აქტიური ზემოქმედების პროცესი.

ოზონის ვერტიკალური განაწილების მრუდებზე ოზონის კონცენტრაციის მაქსიმალური მნიშვნელობების სიმაღლეები რუისპირისათვის უფრო მაღლაა ვიდრე აბასთუმნისთვის.

რუისპირში “შებრუნების ეფექტით” ჩატარებულმა გაზომვის მასალების ანალიზმა გვიჩვენა, რომ ოზონის შემცველობა ტროპოსფეროსა და სტრატოსფეროში იცვლება თვეების მიხედვით. ივნის-აგვისტოს სეზონისთვის ოზონის ფენის მაქსიმუმი მოდის 22-24 კმ-ზე, ხოლო სექტემბერ-ოქტომბრის სეზონისთვის კი 24-27 კმ-ზე [20].

ატმოსფეროს ცალკეულ ფენებში ოზონის საერთო რაოდენობის საშუალო თვიური მნიშვნელობის წილი ნაჩვენებ თვეებში იცვლებოდა შემდეგნაირად: 0-20 კმ ფენაში ივნისში, აგვისტოსა და სექტემბერში – 26%, ივლისსა და ოქტომბერში – 66-68%; 30-50 კმ ფენაში ოზონის შემცველობა საშუალოთვიური მნიშვნელობიდან იცვლებოდა 11-14%-ით ყველა თვეებისათვის.

მაშასადამე, მიუხედავად მცირე პერიოდისა, მაინც დაიკვირვებოდა შესამჩნევი ცვალებადობა ოზონის შემცველობის ფენებს შორის გადანაწილებაში. დადგენილია, რომ ოზონის შემცველობის ცვალებადობა მინიმალურია 22-24 კმ-იან ფენაში ( $C_v \approx 20\%$ ). 34-40 კმ ფენაში  $C_v$  შეადგენს 90%. მაშასა-

დამე თხონის შემცველობის შედარებით მდგრადი ფენა ატმოს-ფეროში დაიკვირვება 20-სა და 30 კმ-ს შორის [20].

#### 4.2 ზოგიერთი ატმოსფერული პროცესების გავლენა თხონის-ვერტიკალურ განაწილებაზე

თხონის ვერტიკალური განაწილების ცვალებადობაზე გავლენას ახდენს სხვადასხვა ტიპის ჰაერის მასები, ატმოს-ფეროში ჰაერის ვერტიკალური მოძრაობის ხასიათი, ატმოს-ფეროს ტურბულენტობა, ელექტრის პროცესები და სხვ.

ცნობილია მცირე რიცხვი შრომებისა, რომლებიც ეხებიან ატმოსფეროში მიმდინარე პროცესების გავლენას თხონის ვერტიკალურ განაწილებაზე [8-16].

ატმოსფეროში ჰაერის ვერტიკალური მოძრაობები არსებით გავლენას ახდენენ თხონის ვერტიკალური განაწილებიზე სიმაღლის ბარიულ ველებთან დამოკიდებულებით. ციკლონში ჰაერის დაღმავალი ნაკადების არსებობა და ანტიციკლონში – აღმავალის, იწვევენ თხონის დაგროვებას ციკლონში და მისი კონცენტრაციის შემცირებას ანტიციკლონში [8, 9].

საქართველოში ჩატარებული თხონოზონდირების (“შებრუნების ეფექტით” და ელექტრო-ქიმიური თხონოზონდებით) მონაცემებითაც გამოვლინდა სხვადასხვა აეროსინოპრიკური სიტუაციების ზეგავლენა თხონის ვერტიკალურ განაწილებაზე [10]. ცივი ჰაერის “ფრონტების” გავლის წინ და გავლისას აღინიშნება თხონის შემცველობის მკვეთრი ცვალებადობა ატმოსფეროში. აღნიშნული პროცესის დროს დაიკვირვება თხონის ფენის მთავარი მაქსიმუმის სიმაღლის შემცირება და თხონის კონცენტრაციის გაზრდა ამ ფენაში. ტროპიკული წარმოშობის ჰაერის მასების გავლისას შეიმჩნევა შებრუნებული სურათი.

თხონის ვერტიკალური განაწილების გაზომვები “შებრუნების ეფექტის” გამოყენებით, როგორც ზემოთ იყო ნათქვამი, შესაძლებელია მხოლოდ მზიანი ამინდის დროს დიდას და საღამოს. ამიტომ გაზომვის მონაცემები ზედიზედ რამოდენიმე დღით იშვიათია. რუსიპირში ჩატარებული გაზომვების მთელი პერიოდის განმავლობაში ზედიზედ გაზომვის პირობები მხოლოდ ორჯერ იყო – 1978 წლის 06-10 ივნისს და 1982 წლის 09-20 ივნისს (ზოლო ინტერვალში დაკვირვება არ იყო 16 და

17 ივლისს). ცხრილებში 4.1 და 4.2 წარმოდგენილია ოზონის კონცენტრაციის დროითი ცვლილება ატმოსფეროში, ზემოთ მოყვანილი დროითი ინტერვალების ფენებისათვის, რომლებიც განლაგებულნი არიან შემდეგ სიმაღლეებს შორის: 0.56-10, 10-13, 13-16, 16-18, 18-20, 20-22, 22-24, 24-27, 27-30, 30-34, 34-40, და 40-50 კმ. როგორც ცხრილებიდან ჩანს, ძირითადად ოზონის კონცენტრაციის დროითი სვლა ფენებისათვის 0.56-10, 10-13, 13-16, 16-18, 18-20, 30-34, 34-40 და 40-50 კმ წარმოადგენს სინფაზურს და იმყოფება საწინააღმდეგო ფაზაში ოზონის კონცენტრაციის სვლისა შემდეგ ფენებში 20-22 კმ, 22-24 კმ, 24-27 კმ და 27-30 კმ.

ცხრილი 4.1.ატმოსფეროს შეშფოთების გავლენა ოზონის ვერტიკალურ განაწილებაზე 1978წლის 6-10 ივლისს რუსპირში (ფენებში ოზონის კონცენტრაცია გამოსახულია მოლ.სტ<sup>3</sup>10<sup>10</sup> ერთეულში)

რიცხვი, დილა(დ), საღამო(ს).	6ს.	7ს.	8ს.	9დ.	9ს.	10ს.
ატმოსფეროს ფენების განაწილება	0.6-10	1	2	5	8	0
	10-13	0.5	1.5	6.5	8.5	0
	13-16	0.7	4.3	10.3	12.3	1
	16-18	2	5.2	11	12	3.2
	18-20	8.2	13.2	16.8	17.2	11.2
	20-22	23.8	20.8	23.2	21.8	24.8
	22-24	35	26	26.8	24.2	35.5
	24-27	52.7	44.7	46.7	38.7	58
	27-30	58.5	67	76.5	63	74.5
	30-34	80	103	131	118	104
	34-40	21.7	19.3	26.3	30.3	24.7
	40-50	2.6	1.2	1.6	3.2	2.1

მაშასადამე, ოზონის კონცენტრაციის დროითი სვლა ფენაში 20-27 კმ იმყოფება ოზონის კონცენტრაციის სვლის საწინააღმდეგო ფაზაში ამ ფენის ქვედა და ზედა ფენებთან შედარებით.

ოზონის ვერტიკალური განაწილების აღნიშნული პროფილების ვარიაციების სქემაზური ახსნისათვის განხილული იქნა

აღნიშნულ დღეებში აღმოსავლეთ საქართველოს აეროსინოპტიკური სიტუაციები.

1978 წლის 6 ივლისს აღმოსავლეთ საქართველოში დაიკვირვებოდა ანტიციკლონური ბარიული ველი. ყველა სტანდარტულ ბარიულ დონეებზე თხემის მარცხენა ნაწილი მიმართული იყო სამხრეთიდან ჩრდილოეთისაკენ. ქარის მიმართულება ყველა სიმაღლეებზე იყო ჩრდილო-დასავლეთის. ქარის სიჩქარე იზრდებოდა სიმაღლის მიხედვით და მაქსიალურ მნიშვნელობას 35 მ.წ<sup>-1</sup> აღწევდა 200 მბ-ის დონეზე. დაკვირვების პუნქტი (რუისპირი) იმყოფებოდა ჭავლური ნაკადის ზონაში და დაცილებული იყო მისი ღერძიდან 50-70 კმ-ით. ჭავლური ნაკადი . მიმართული იყო დასავლეთიდან აღმოსავლეთისაკენ. ქარის სიჩქარე ჭავლური ნაკადის ღერძზე შეადგენდა 45 მ.წ<sup>-1</sup>. ასეთ პირობებში დაკვირვების პუნქტის ზემოთ აღინიშნება პაერის აღმავალი ნაკადები [10], რომლებიც ამცირებენ ოზონის შემცველობას ოზონის მაქსიმუმის ზონის ქვედა ფენებში [16]. ფენაში 20-27 კმ კი ოზონის შემცველობა იზრდება ქვედა ფენებიდან მისი გადმოტანის გამო.

7 ივლისს აღმოსავლეთ საქართველოს ზემოთ დაიკვირვებოდა მაღალი წნევის არე. იზობარულ ზედაპირებზე კი – სიმაღლის დარის მარცხენა ნაწილი. დაკვირვების პუნქტი იმყოფებოდა ჭავლური ნაკადის მარცხენა მხარეს, მისი ღერძიდან 100-150 კმ-ით დაშორებით. ჭავლური ნაკადის ღერძზე ქარის სიჩქარე შეადგენდა 35 მ.წ<sup>-1</sup>-ს. ასეთი სიტუაციის დროს დაკვირვების პუნქტის ზემოთ აღინიშნებოდა პაერის დაღმავალი ნაკადები. შესაბამისად 16-20 კმ-იან ფენაში ოზონის კონცენტრაცია იზრდებოდა, ხოლო ფენაში 20-27 კმ – მცირდებოდა. ოზონის შემცველობა იზრდება ქვედა ფენებიდან მისი გადმოტანის გამო.

**ცხრილი 4.2. ატმოსფეროს შეშფოთების გავლენა ოზონის გერტიპალურ განაწილებაზე 1978 წლის 6-10 ივლისს რუისპირში (ფენებში ოზონის კონცენტრაცია გამოსახულია მოლ.სმ<sup>-3</sup> 10<sup>10</sup> ერთეულში)**

რიცხვი, დილადი, ხადამო (b).	9ღ.	9ს.	10ღ.	11ღ.	11ს.	12ღ.	12ს.	13ს.	14ღ.	15ს.	18ს.	19ს.	20ს.
ε = 0.6- 10	2.5	3.0	6.0	1.0	2.0	2.5	0.5	1.5	1.0	0.5	1.0	0.5	10

	10-13	6.0	6.5	13.5	6.0	12.0	11.5	1.5	8.5	8.0	4.0	7.5	2.5	24.5
	13-16	16.0	17.3	12.7	10.7	17.3	18.7	5.0	13.7	14.0	10.7	14.7	10.3	21.7
	16-18	16.2	17.5	10.8	13.8	16.5	16.8	8.2	13.8	14.5	13.2	16.5	13.0	17.5
	18-20	6.5	25.8	16.0	22.8	24.2	24.0	16.8	21.2	22.2	22.2	26.5	19.0	23.5
	20-22	30.8	31.5	21.2	29.8	30.8	30.8	29.5	26.2	29.5	31.0	35.2	28.5	28.2
	22-24	33.5	34.5	25.8	33.5	33.8	32.0	31.2	32.0	33.2	35.0	40.0	34.5	31.5
	24-27	52.3	53.0	49.3	50.7	53.0	50.7	55.0	54.7	55.0	55.7	67.0	59.3	54.0
	27-30	80.0	78.5	88.5	75.0	83.0	80.0	83.0	89.0	88.0	84.0	108.0	96.5	91.5
	30-34	137.0	128.0	147.0	126.0	149.0	142.0	134.0	161.0	158.0	140.0	204.0	163.0	167.0
	34-40	30.0	26.7	22.0	27.3	35.0	32.7	26.7	36.7	35.3	30.0	54.3	25.7	35.3
	40-50	1.9	1.9	0.9	1.8	2.9	2.9	1.9	3.0	3.0	1.9	5.7	1.8	3.0

8 ივლისს რუისპირის ზემოთ ბარიული გელის ხასიათი ისეთივე იყო, როგორც 7 ივლისს. ჭავლური ნაკადის ღერძი დაკვირვების პუნქტს დაშორდა 150-200 კმ-ით, ხოლო ღერძზე ქარის სიჩქარემ მიაღწია 50 კმ/სთ-ს. 16-20 კმ-იან ფენაში აღინიშნებოდა ჰაერის დაღმავალი ნაკადები და ოზონის კონცენტრაციის ზრდა.

9 ივლისს აღმოსავლეთ საქართველოს ზემოთ დაიკვირვებოდა დაბალი წნევის არე. სტანდარტულ იზობარულ ზედაპირებზე ძირითადად, იყო სიმაღლის თხემი. დაკვირვების პუნქტი მოთავსებული იყო ჭავლური ნაკადის მარჯვენა მხარეს, მისი ღერძიდან 200-300 კმ-ის დაშორებით. მისი ღერძი მიმართული იყო სამხრეთ-დასავლეთიდან ჩრდილო-აღმოსავლეთისაკენ. ქარის სიჩქარე მაქსიმალური იყო 200 მბ ზედაპირზე და შეადგენდა 50 მ.წ<sup>-1</sup>-ს, ხოლო 100 მბ სიმაღლეზე მკვეთრად იყო შემცირებული და შეადგენდა 20მ.წ<sup>-1</sup>-ს. აღნიშნულ პირობებში ჰაერის ვერტიკალური მოძრაობა აღმავალი იყო. ფენაში 16-20 კმ ადგილი ჰქონდა ოზონის შემცველობის მკვეთრ დაცემას, ხოლო ფენაში 20-27 კმ მის გაზრდას.

10 ივლისს აღმოსავლეთ საქართველოზე დაიკვირვებოდა დაბალი წნევის დარი. დაკვირვების პუნქტს დასავლეთიდან უახლოვდებოდა ცივი “ფრონტი” და ოზონის ვერტიკალური განაწილების გაზომვისას იმყოფებოდა 300-350 კმ-ით რუისპირ-

იდან. იზობარულ დონეებზე 800-200 მმ განლაგებული იყო სიმაღლის დარები. ქარის სიჩარე იზრდებოდა მიწისპირიდან (3 მ.წ<sup>-1</sup>) 200 მმ დონემდე (25 მ.წ<sup>-1</sup>). ჭავლური ნაკადის დერძი იმყოფებოდა 600 კმ-ზე დაკვირვების პუნქტიდან. ჰაერის ვერტიკალური ნაკადი იყო დადმავალი, რამაც გამოიწვია ოზონის კონცენტრაციის შემცირება ფენაში 20-27 კმ და გაზრდა ფენაში 16-20 კმ.

უნდა აღვნიშნოთ, ვუშვებთ რომ განხილულ დღეებში (6-10 ივლისი) ჰაერის ვერტიკალურ ნაკადებს 27 კმ სიმაღლეზე აქვთ ისეთივე მიმართულება, როგორც 200 მმ დონეზე.

მაგალითისათვის ნახ 4.1-ზე განხილული იყო ოზონის ვერტიკალური განაწილების პროფილები რუისპირსა (მრუდი 21.09.1983 წ.), და სოხუმში (მრუდი 27.09.1984 წ.), როგორც ზემოთ იყო ნათქვამი რუისპირის ოზონის ვერტიკალური განაწილების პროფილი მიეკუთვნება ნორმალურ ტიპს, ხოლო სოხუმისა კი – ტროპიკულს. სოხუმის ზემოთ აღნიშნულ დღეს ატმოსფერო იყო შეუშფორებელი, ხოლო რუისპირის ზემოთ ატმოსფეროში დაიკვირვებოდა ძლიერი შეშფორება, რომელმაც განაპირობა ოზონის ვერტიკალური განაწილების ნაჩვენები სტრუქტურა.

ელჭექის პროცესებს შეაქვს დიდი შეშფორება ოზონის ვერტიკალური განაწილების პროფილში, განსაკუთრებით ეს გავლენა შესამჩნევია პროფილის ტროპოსფერულ ნაწილში, სადაც ოზონის კონცენტრაცია ელჭექის დროს უახლოვდება სტრატოსფერული ოზონის მაქსიმუმს.

ელჭექის პროცესის მიმდინარეობისას ოზონის ვერტიკალური განაწილების გაზომვების ჩატარება შესაძლებელია ბალონური მეთოდით, მაგრამ დაკავშირებულია ტექნიკურ სისტემებთან.

დუგრჩა [14] 1964 წლის 8 ივნისს ბოულდერის ზემოთ, ცივი “ფრონტის” გავლისას გაზომა ოზონის ვერტიკალური განაწილება ცივი “ფრონტის” გავლას თან ახლდა ელჭექის პროცესები. ოზონოზონდი შევიდა ელჭექის ღრუბელში და აჩვენა ოზონის კონცენტრაცია მასში, რომელიც უტოლდებოდა ოზონის სტრატოსფერულ მაქსიმუმს. “ფრონტის” გავლიდან რამოდენიმე საათის შემდეგ თავის კონცენტრაცია

ტროპოსფეროში შემცირდა 60%-ით და მთლიანად გაქრა ელ-ჭექის პროცესის გავლენა შემდეგ დღეს.

შლანტამ და კუნძა [19] გამოიკვლიერ თხონის შემცველობა ორი ელჭექის დრუბლის პერიფერიებზე თვითმფრინავის დახმარებით. დაკვირვებები წარმოებდა ისეთ კონვექტურ დრუბლებზე რომელთა სიმაღლე აღწევდა ან არღვევდა ტროპოპაუზას. მათი მონაცემებით დრუბლის ზემოთ, საშუალოდ, თხონის კონცენტრაცია 25%-ით აღემატებოდა კონცენტრაციას იგივე დონეზე უდრუბლო დღეს.

შლანტას და მოორგე [18] დაკვირვებით მიღებული იქნა, რომ თხონის კონცენტრაცია დრუბლის შიგნით თითქმის 2.6-ჯერ აღემატება ელჭექის წინა პერიოდის მიწისპირა თხონის კონცენტრაციას.

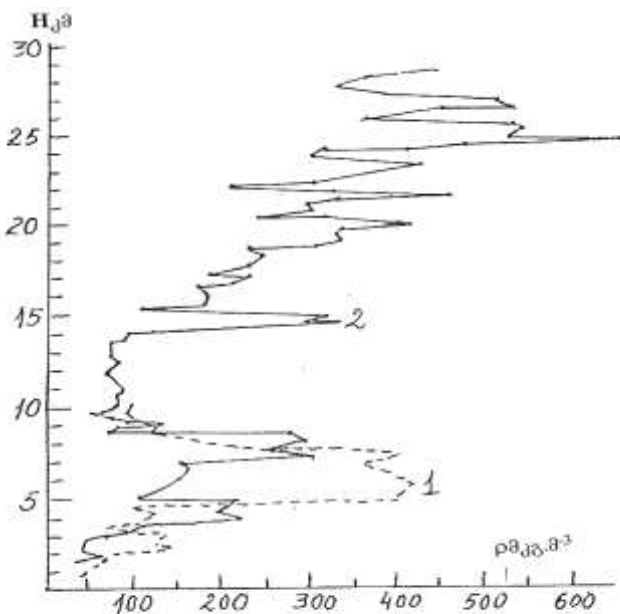
1980 წლის 5 აგვისტოს [13] ავტორებმა ბალტიმორში (აშშ) ექსპერიმენტის დროს ელჭექის დრუბლებზი გაზომეს თხონის კონცენტრაცია სიდიდით 1000 მკგ/მ<sup>3</sup>.

ატმოსფეროს ვერტიკალური თხონოზონდირების სამუშაოების ჩატარებისას რუისპირსა და სოხუმში რამოდენიმეჯერ შევძელით თხონოზონდების გაშვება ელჭექის პროცესების დროს. ხშირად დაბალ სიმაღლეებზე თხონოზონდოთან იყარებოდა კავშირი, მაგრამ იყო წარმატებული ექსპერიმენტების შემთხვევებიც.

ნახ. 4.3-ზე წარმოდგენილია თხონის ვერტიკალური განაწილების მრუდები რუისპირსა და სოხუმის ზემოთ ელჭექის დღეებში, მიღებული ელჭექის დღეებში, რომელიც თანაზომადია თხონის კონცენტრაციისა სტრატოსფერული თხონის მაქსიმუმის დონესთან. თხონოზონდის გაშვების მომენტში რუისპირიდან 5-10 კმ-ზე აღინიშნებოდა ელჭექური განმუხტვები. ამ დღეს რუისპირზე გადიოდა დაბალი წნევის დარი. 800, 700, 500, 300 და 100 მბ დონეებზე უპირატესად განლაგებული იყო დარის მარჯვენა და თხემის მარცხენა ნაწილები. ქარის სიჩქარე სიმაღლის მიხედვით იზრდებოდა და მაქსიმალურ მნიშვნელობას 20 გ.წ-ს აღწევდა

200 მბ დონეზე – ჭავლური ნაკადი პუნქტიდან იმყოფებოდა 500 კმ-ზე.

1984 წლის 23 სექტემბერს სოხუმის ზემოთ იყო დაბალი წნევის დარი. სამხრეთ-დასავლეთიდან აღინიშნებოდა ჰაერის თბილი ნაკადის შემოსვლა, ხოლო ჩრდილო-დასავლეთიდან – ცივი ჰაერის. დაკვირვების პუნქტის ზემოთ 700, 500 და 300 მბ დონეზე იმყოფებოდა თხემის მარცხენა და დარის მარჯვენა ნაწილი. ყველა დონეზე ქარის მიმართულება იყო სამხრეთ-და-სავლეთის. ქარის მაქსიმალური სიჩქარე დაიკვირვებოდა 300 მბ დონეზე და შეადგენდა 25 მ.წ<sup>-1</sup>-ს. დაკვირვების პუნქტი იმყოფებოდა ჭავლური ნაკადის დერძიდან მარცხენა მხარეს 100-150 კმ-ზე. ჭავლური ნაკადის მიმართულება იყო სამხრეთ-დასავლეთით, დერძზე ქარის სიჩქარე შეადგენდა 35 მ.წ<sup>-1</sup>-ს. დაკვირვების პუნქტზე დამით გაიარა ციგმა ფრონტმა, რომელიც ოზონოზონდის გაშვების მომენტში იმყოფებოდა 200-250 კმ-ზე სოხუმიდან დასავლეთით. ოზონის ვერტიკალური განაწილების გაზომვის დროს ელჭექის პროცესები აღინიშნებოდა 10-15 კმ-ზე სოხუმის დასავლეთით. მაშასადამე, აღნიშნულ დღეს სოხუმის ზემოთ ატმოსფერო იყო ძლიერ შეშფოთებული, რამაც განაპირობა განაწილების რთული სტრუქტურა ატმოსფეროს მთელ საკვლევ ფენაში.



ნახ. 4.3. ოზონის ვერტიკალური განაწილება ულტრავის დროს  
1984 წლის 19 მაისს რუსეთში (1) და 1984 წლის  
23 სექტემბერს სოჭში (2).

ნახ. 4.1 და 4.3 და ცხრილების 4.1 და 4.2 შედარება გვაძლევს წარმოდგენას ელქუქის პროცესების არსებითი გავლენის შესახებ ოზონის ვერტიკალური განაწილების ვარიაციაზე ტროპოსფეროში. 23 სექტემბერს სოჭში ზემოთ 0-10 კმ ფენაში აღინიშნებოდა ოზონის კონცენტრაციის ორი პიკი 220 მგგ./მ<sup>3</sup> და 310 მგგ./მ<sup>3</sup> (ფენაში 3.8-4.8 კმ და 6.2-7.5 კმ შესაბამისად). ოზონის საერთო რაოდენობა ტროპოსფეროს 10 კმ-იან ფენაში ელქუქის დროს 1.7-ჯერ აღემატებოდა იგივე ფენაში ოზონის საერთო რაოდენობას მოწმენდილი ამინდის დღეს. ელქუქის პროცესის გავლენით დაიკვირვებოდა ოზონის შემცველობის ცვალებადობა სტრატოსფეროშიც, 14 კმ-ის ზემოთ. აღინიშნებოდა ოზონის მაქსიმუმის ზონის ფენოვნება 20-27 კმ-ს შორის. 14 კმ ზემოთ აღინიშნებოდა 6 პიკი ოზონის კონცენტრაციით 330-დან 670 მგგ./მ<sup>3</sup>-მდე. ტროპოსფეროსი მოთავსებული ოზონი, 0-29 კმ-იანი ფენის ოზონის საერთო რაოდენობის 22%-ს შეადგენდა.

მაშასადამე ელჭექის პროცესები არსებით გავლენას ახდენენ ტროპოსფეროში ოზონის ვერტიკალურ განაწილებაზე. მათ გარშემო დაიკვირვება ოზონის კონცენტრაციის მკვეთრი ზრდა, რომელიც სიდიდით უზოლდება ოზონის კონცენტრაციის სტრატოსფერულ მაქსიმუმს. ტროპოსფეროში ოზონის კონცენტრაციების ფლუქტაციების ხანგრძლივობა თანაზომადია ელჭექის პროცესების არსებობის დროისა.

ოზონის ვერტიკალურ განაწილებაზე, როგორც ზემოთ იყო ნათქვამი, აგრეთვე მოქმედებენ პაერის ვერტიკალური ნაკადები, ტურბულენტური აღრევები და სხვ. [10, 16-19].

ოზონის ვერტიკალურ განაწილებაზე კვლევებმა ოზონონდებითა და ოვითმფრინავით, რომელიც ტარდებოდა მ. ნოდიას სახ. გეოფიზიკის ინსტიტუტში, გამოავლინა დამოკიდებულება ოზონის ვერტიკალურ განაწილებასა და ატმოსფეროს ტურბულენტობას შორის [8].

ატმოსფეროს ტურბულენტობა ხასიათდება რიჩარდსონის რიცხვით ( $R_i$ ). ოუ  $R_i$  კრიტიკულზე მეტია, მაშინ ტურბულენტობა სუსტია, როდესაც  $R_i$  ნაკლებია კრიტიკულზე, მაშინ ტურბულენტური აღრევა ძლიერია. რიჩარდსონის რიცხვის კრიტიკულ მნიშვნელობად მიღებულია 0.25 [19].

1983 წლის 14 ოქტომბერს და 1984 წლის 17 მაისს რუს-პირის ზემოთ მთელ ფენაში გამოთვლილ იქნა  $R_i$ . ის ორივე შემთხვევაში აღმოჩნდა ნაკლები 0.25-ზე ატმოსფეროს მთელ სეეტში, რაც მიუთითებს აღნიშნულ დღეებში ატმოსფეროში ძლიერი ტურბულენტობის არსებობაზე. პარალელურად ჩატარდა ოზონის ვერტიკალური განაწილების გაზომვები ელექტრო-ქიმიური ოზონოზონდებით. ოზონის ვერტიკალურ განაწილებას ორივე შემთხვევაში ჰქონდა ფენოვანი სტრუქტურა და ოზონის კონცენტრაცია 0-10 კმ-იან ფენაში ცვალებადობდა 80-220 მკგ/მ<sup>3</sup> ინტერვალში. აღმოჩნდა, რომ ოზონის კონცენტრაციის პიკები ფაზაში იყო რიჩარდსონის რიცხვის რხევებთან სხვადასხვა სიმაღლეზე. დადგინდა, რომ მაღალი ტურბულენტობის ფენაში, ყოველ პროფილში, ოზონის კონცენტრაცია ნაკლები, ვიდრე ფენაში დაბალი ტურბულენტობით. მაშასადამე, როდესაც ატმოსფეროში ბევრი ფენებია, რომლებიც განსხვავდებიან ტურბულენტობის აღრევის ინტენსიურობით, ადგილი აქვს ოზონის გადატანას სუსტი ტურბუ-

ლენტობის უბანში და მის იქ დაგროვებას. ეს ეფექტი კარგად ჩანს, როდესაც ფენები სუსტი და ძლიერი ტურბულენტობით ერთმანეთს მოხდევს.

ოზონის ვერტიკალურ განაწილებაზე ჩატარებული კვლევები საშუალებას გვაძლევს გავაკეთოთ შემდეგი დასკვნები:

საქართველოში ჩატარებული ოზონოზონდირების მასალების ანალიზმა დაადასტურა ოზონის ვერტიკალური განაწილების თავისებურებანი: მცირე შემცველობა ტროპოსფეროში (ოზონის საერთო რაოდენობის მხოლოდ 8-10%), მისი პარციალური წნევის მკვეთრი ზრდა ოზონიპაუზიდან მაქსიმალურ მნიშვნელობამდე, რომელიც საშუალოდ 24-27 კმ-ზე მდებარეობს ზღვის დონიდან და მისი შემდგომი ექსპონენციალური შემცირება 80 კმ-მდე;

ოზონის ვერტიკალურ განაწილების ცვალებადობაზე, ძირითადად, გავლენას ახდენენ ატმოსფეროს ვერტიკალური მოძრაობები, ტურბულენტობა და ელექტრის პროცესები.

ელექტრის პროცესის მიმდინარეობისას ოზონის კონცენტრაცია ტროპოსფეროში შეიძლება გაუტოლდეს სტრატოსფერული ოზონის მაქსიმუმს;

ტროპოსფეროში ოზონის სიჭარბის ხანგრძლივობა თანაზომადია მისი წარმომქმნელი ელექტრის პროცესის არსებობის დროისა;

ანტიციკლონური ამინდის დროს ოზონის ძირითადი მასა მოთავსებულია ფენაში 20-30 კმ-ზე ზღვის დონიდან;

ოზონის შემცველობის ცვალებადობა მინიმალურია ფენაში 22-24 კმ-ზე ზღვის დონიდან.

### ლიტერატურა

1. Груздев А.Н., Еланский Н.Ф. – Наблюдения озона в области горных подветренных волн. Изв. АН СССР. серия ФАО, т.20, №8, 1984.
2. Бойченко П.Ф., Брезгин Н.И., Кузнецов Г.И., Чижов А.Ф., Штырков О.В. – Одновременные измерения вертикального распределения озона ракетным и наземным спектрометрическим методами – В. кн: Современное состояние исследований озонасферы в СССР, Тр. Всесоюзного совещ. по озону, Москва, ноябрь 1977, М., Гидрометеоиздат, 1980.

3. Ламжавин Б. – Вертикальное распределение озона в высотных циклонах и антициклонах, - В кн.: Рабочее совещание по исследованию атмосферного озона Тбилиси, 23-27 ноября, 1981 г., Материалы докладов, Тбилиси, «Мецниереба», 1982.
4. Осечкин В.В., Куликов Л.А. – Аэросиноптические условия формирования вертикальных профилей концентрации озона в тропосфере. – В кн: Рабочее совещание по исследованию атмосферного озона, 23-27 ноября 1981 г., Материалы докладов, Тбилиси, «Мецниереба», 1982.
5. Осечкин В.В. – О междусуточных изменениях вертикального распределения концентрации озона в тропосфере – Всесоюзн. симп. по атмосферному озону: Тез. докл., Л., 15-17 мая 1985.
6. Перов С.П., Хргиан А.Х. – Современные проблемы атмосферного озона Л., Гидрометеоиздат, 1980.
7. Реннебек К. – Методика определения содержания озона в слое атмосферы. Научные приборы, М., 1979.
8. Харчилава Д.Ф. – О связи между вертикальными скоростями воздуха и озона в атмосфере. Сообщ. АНГССР, Тбилиси, «Мецниереба», , т.47, №3, 1967.
9. Харчилава Д.Ф. – Некоторые результаты исследования вертикального распределения озона в атмосфере с метеорологическими явлениями - В. кн.: Современное состояние исследований озоносферы в СССР, Тр. Всесоюзного совещ. по озону, Москва, ноябрь 1977, М., Гидрометеоиздат, 1980.
10. Харчилава Д.Ф., Амиронашвили А.Г. – Исследование вариаций атмосферного озона в Грузии. М.: МГК при президиуме АН СССР, ПИК ВИНТИИ, 1988.
11. Хргиан А.Х., Кузнецов Г.И., Кондратьев А.В. – Исследование атмосферного озона. Метеорология, М.: Наука, №8, 1965.
12. Хргиан А.Х.–Физика атмосферы. Л., Гидрометеоиздат, 1969.
13. Хргиан А.Х –Физика атмосферного озона . Л.: Гидрометеоиздат, 1973.
14. Dutch H.V. Rapid ozone variation in the lower stratosphere in early summer.- Two year of regular ozone soundings over Boulder. - NCAR Tech., 1966, January, p. 51-54.
15. Dutch H.F. - Two year of regular ozone soundings over Boulder, Colorado . National center for atmospheric research Boulder, Colorado, January, 1966.

16. Clarke I.F., Griffing G.W. Aircraft observations of extreme ozone concentrations near thunderstorms. – Atmos. Environ., 19, №7, 1985.
  17. Mani A., Sreedharan C.R., Haid Ali – Changes the vertical distribution of ozone associated with disturbances over northern India Proceedings of the joint Symposium of atmospheric ozone. Dresden, 9-17 August, Berlin, 1977, vol.I, 1976.
  18. Shlanta A., Moore C.B. Ozone and point discharge measurements under thunderclouds –J. Geoph. Res., vol.77, №24, 1972.
  19. Shlanta A. and Kuhn P.M. Ozone and water vapor injected into stratosphere from two isolated thunderstorms. Journal of Applied Meteorology, vol.12, №8, 1973.
- Kharchilava J., Tavartkiladze K. – The Peculiarities of the Vertical Distribution of Ozone in Georgia. Bulletin of the Georgian Academy of sciences, 162, №1, 2000.

### თავი 5.

#### საქართველოს ტერიტორიაზე რადიაციული ნაპაღების ცვალებადობის მაკირიული მოდელი

კლიმატის ცვლილების გამომწვევ ერთ-ერთ ძირითად ფაქტორს მზის რადიაციის და ქვეცენილი ზედაპირის ფიზიკური მდგრამარეობის (ოპტიკური თვისებების) ცვლილება წარმოადგენს [1]. ადსანიშნავია, რომ კლიმატის გენეზისი და ცვლილებები მოიცავს დედამიწის გეოგრაფიულ გარსში მიმდინარე გლაციონიდრომეტეოროლოგიური პროცესების მთელ სპექტრს. დედამიწის რადიაციული ბალანსის კვლევის ფუნდამენტურმა მნიშვნელობამ განაპირობა სათანადო ინფორმაციის მზარდი როლი კლიმატის ცვლილების კანონზომიერების შესწავლაში [2,3].

საქართველოს ტერიტორიაზე აქტინომეტრიული დაკვირვებები 1904 წელს იღებს სათავეს. 1913 წელს თბილისის ობსერვატორიაში დაიწყო მზის რადიაციის ინტენსიურობაზე რეგულარული დაკვირვებები. ეს დაკვირვებები შეწყდა 1916 წელს. დაკვირვებების შედეგად მიღებული ინფორმაციის ანალიზის საფუძველზე ამ დაკვირვების ორგანიზატორმა შ.მოსიძემ თბი-

ლისისათვის დაადგინა ატმოსფეროს გამჭვირვალობის კოეფიციენტის წლიური სკლის კანონზომიერებანი [4]. 1927 წელს თბილისის ობსერვატორიაში განახლდა 1916 წელს შეწყვეტილი დაკვირვებები და დაიწყო რადიაციის რეგისტრაციაც.

1954 წლიდან საქართველოს ტერიტორიაზე ფუნქციონირებას იწყებს აქტინომეტრიული სადგურების ქსელი. აქედან აქტინომეტრიული დაკვირვების 6 პუნქტი 1954-91 წლებში სისტემაზე ურად ფუნქციონირებდა, ხოლო სამი სხვადასხვა ხანგრძლივობით სხვადასხვა პერიოდში.

აღსანიშნავია, რომ საქართველოში მიღებული აქტინომეტრიული დაკვირვებების მასალები ფართოდ იყო გამოყენებული სამეცნიერო ნაშრომებში, რომლებიც პირველ ნაბიჯებს დამდენ რადიაციული რეჟიმის შესწავლის დარგში [5-12 და სხვ.].

მცირერიცხოვანი აქტინომეტრიული სადგურების ქსელი შეძლებისდაგვარად მოიცავდა საქართველოს ძირითად ლანდშაფტურ ზონებს (სადგურები სოხუმი, ანასეული, სენაკი განლაგებულია დასავლეთ საქართველოს ნოტიო სუბტროპიკულ ზონაში; თბილისი, სკრა და თელავი - აღმოსავლეთ საქართველოს ნახევრადარიდულ ზონაში; წალკა, ჯვრის გადასასვლელი და მ/მ ყაზბეგი - კავკასიონის მთიანი სისტემების შუამთის და მაღალი მთის ზონაში). მიუხედავად ამისა, ფაქტიური გაზომვებით მიღებული ინფორმაცია არ იყო საქართვის საქართველოს, განსაკუთრებით მთიანი რეგიონების რადიაციული რეჟიმის შესასწავლად. ამ ხარვეზების შევსება წარმატებით ხორციელდებოდა გამოთვლითი მეთოდების და ემპირიული ფორმულების გამოყენებით, რომლებიც დისკრეტული აქტინომეტრიული მონაცემებით და გაცილებით ფართო მეტეოროლოგიური ქსელის დაკვირვების მასალების გამოყენებით სხვადასხვა რადიაციული ნაკადების უწყვეტი ვალების აგების საშუალებას იძლეოდნენ მთელ ტერიტორიაზე. ამ მიმართულებით განსაკუთრებული როლი ითამაშა სანქტ-პეტერბურგის მთავარ გეოფიზიკურ ობსერვატორიაში ნ. კალიტინის, გ. გასტროვის, მ. ბუდიკოს, კ. კონდრატიევის, მ. ბერლიანდის, ს. სავინოვის, ს. სივერვის და სხვათა შრომებმა, რომლებიც საფუძვლად დაედო ქვეყნილი ზედაპირების რადიაციული რეჟიმის ფართომასშტაბიან შესწავლას. ამ შრომებმა ჩაუყარეს საფუძველი საქართველოში რადიაციული რეჟიმისადმი

მიძღვნილ გამოკვლევებს, რომელთაც სათავეში ცნობილი ქართველი მეცნიერები შ.მოსიძე და ი.ცუცქირიძე ეღგენენ.

შ.მოსიძის მიერ რადიაციული ბალანსის შესწავლისას მიღებული შედეგები დღესაც მნიშვნელოვან როლს ასრულებენ საქართველოს ცალკეული რეგიონების (თბილისი, სოხუმი, ყაზბეგი და მათი შემოგარენი) კლიმატური რესურსების შეფასებისას [11,13,14].

ი.ცუცქირიძის შრომებში [15-22] საქართველოს ცალკეული პუნქტებისათვის მოცემულია რადიაციული ბალანსისა და მისი მდგრენელების წლიური სელის თავისებურებანი. მისივე მონოგრაფიაში [23] განხილულია საქართველოს ტერიტორიის ფიზიკურ-გეოგრაფიული პირობები, ღრუბლიანობის, მზის ნათების და ატმოსფეროს ოპტიკური მდგომარეობის მახასიათებლები, რადიაციული ბალანსისა და მისი კომპონენტების ტერიტორიული განაწილება, მზის პირდაპირი რადიაციის წლიური ჯამების საუკუნეობრივი სვლა თბილისათვის 1928-1962 წლების დაკვირვების მონაცემებით.

კ.თავართქილაძის მთელ რიგ შრომებში, მათ შორის [24,25]-ში, მოცემულია ევექტური გამოსხივების გამოთვლის მეთოდი კავკასიის მთიანი რეგიონებისთვის: მის მიერვენ-გვასალიასთან ერთად დადგენილია თბილისისთვის ქარის რეჟიმის გავლენა ატმოსფეროს გამჭვირვალობაზე [26].

მზის სხივური ენერგიის ინტენსიური ნაკადების შესწავლასთან ერთად მუშავდებოდა მისი სპექტრული შემადგენლობის გამოთვლის მეთოდები. თ.დავითაძის და კ.თავართქილაძის [27] მიერ თბილისის აქტინომეტრიული და აეროლოგიური დაკვირვების მასალების გამოყენებით გამოთვლილი იქნა მზის პირდაპირი რადიაციის საშუალო თვიური მნიშვნელობების ცვლილება სიმაღლის მიხედვით, ქვევენილი ზედაპირიდან 10 კმ-მდე თავისუფალ ატმოსფეროში, გამოსხივების ულტრაინფერ, ხილულ და ინფრაწითელ დიაპაზონებში.

საქართველოს და კავკასიის მთიანი რეგიონებისათვის რადიაციული ბალანსისა და მისი მდგრენელების სივრცულ-დროითი განაწილების მათი საუკუნეობრივი ცვლილებების თავისებურებები შესწავლილია შრომებში [28-40 და სხვ.].

აქტინომეტრიულ ქსელში დაახლოებით 10 წლის განმავლობაში (1955-65 წწ) დაგროვილი დაკვირვებების მასალებზე

დაყრდნობით 1968 წელს გამოიცა აქტინომეტრიული ცნობარი [41], რომელიც საქართველოს ტერიტორიის რადიაციული რეჟიმის შესწავლის ძირითად საფუძველს იძლეოდა. მოგვიანებით ეს მასალები შეიცხო 1980 წლამდე მონაცემებით [42].

ზემოთქმულიდან გამომდინარე შეიძლება დავასკვნათ, რომ საქართველოს ტერიტორიის რადიაციული რეჟიმი საქმაოდ საფუძვლიანადაა შესწავლილი. მაგრამ ამ ბოლო დროს გლობალური პავის დათბობის ფონზე, დიდი მნიშვნელობა აქვს დათბობის პროცესის ძირითადი მიზეზის, რადიაციული ნაკადების ცვლილების შესწავლას დროში. ამ მიმართულებით, არსებული ლიტერატურული წყაროების მიხედვით გამოკვლევების ძალიან მცირე რაოდენობა მოიპოვება, განსაკუთრებით მთაგორიანი რეგიონებისათვის. წინამდებარე ნაშრომის ერთ-ერთი მიზანი სწორედ ამ ხარჯების შევსებაა.

### 5.1 მზის რადიაციის ცვლებადობა

დედამიწის ცალკეული პუნქტების, რაიონებისა და რეგიონებისათვის რადიაციის მახასიათებლების რეევებისა და ცვლილებების საკითხები განხილულია საკმაო რაოდენობის ნაშრომებში. მრავალი შრომაა მიძღვნილი ყოფილი საბჭოთა კავშირის და აშშ-ის აქტინომეტრიული სადგურების ინფორმაციის ანალიზისადმი [43]-ში მოცემულია მზის რადიაციის მრავალწლიური ცვლილებები მოწმენდილი ცის შემთხვევაში. დადგენილია აღნიშნული სიდიდის შემცირების ტენდენცია ბუნებრივი (ვულკანური ამოფრქვევა) და ანთროპოგენური ფაქტორების ზეგავლენით. [44]-ში ყოფილი საბჭოთა კავშირის რამდენიმე პუნქტისთვის, რომლებიც მოიცავენ როგორც კვრობულ, ასევე აზიურ ნაწილს, განხილულია მზის პირდაპირი და გაბნეული რადიაციის საუკუნეობრივი სვლის თავისებურებები დრუბლიანობის საშუალო პირობებში. კერძოდ, დადგენილია 40-იანი წლების შემდგომი პერიოდისათვის მზის პირდაპირი რადიაციის შემცირების და გაბნეული რადიაციის ზრდის ტენდენციები ცალკეულ პუნქტებში.

ჯამური რადიაციის, რადიაციული ბალანსის, ატმოსფერული ნალექების და სიმშრალის ინდექსის ცვლილებების სინქრონული სურათია მიღებული [45]-ში პოტსდამში 80 წლიანი პერიოდისათვის (1893-1972 წწ). აქვე ბრატისლავაში 36 წლიანი პერიოდისათვის (1940-1975 წწ) განხილულია ჯამური

რადიაციის ცვლილება. დადგენილია უკანასკნელ ათწლეულში მისი წლიური ჯამების შემცირების ტენდენცია.

პავის, განსაკუთრებით რადიაციული პავის ცვლილებაში თავისებური ინდიკატორის როლს ასრულებენ მთის მყინვარები, რომელთა რყევები, ზღვის მყინვარებისგან განსხვავებით, ძირითადად, მზის სხივური ენერგიის ხარჯზე ხდება. ეს გამოწვეულია მათი დიდ აბსოლუტურ სიმაღლეებზე განლაგებით, სადაც ტემპერატურის როლი მათ აბლიაციაში უმნიშვნელოა.

1955-1975 წლების ინფორმაციის ანალიზის საფუძველზე პამბურგისათვის დადგინდა მოკლე და გრძელტალღიანი ბალანსის რყევების სიდიდეები ნორმასთან შედარებით: გრძელტალღიანი რადიაციისათვის 7%, მზის პირდაპირი რადიაციისათვის 35% [45].

მზის პირდაპირი რადიაციის ინტენსიურობის ზრდა ხაზგასმულია ევროპის კონტინენტზე 1910-1940 წლების განმავლობაში [46]. მზის პირდაპირი რადიაციის ორი მაქსიმუმის სინქრონული ხასიათი (1910წ, 1950-იანი წლების დასაწყისი) დადგინდა ათენისა და ევროპის კონტინენტისათვის ათენის 1901-1960 წლების ინფორმაციის ანალიზის საფუძველზე.

მზის პირდაპირი რადიაციის წლიური ჯამების ანალიზის საფუძველზე (ყოფილი საბჭოთა კავშირის რვა სადგურისათვის) აღინიშნა მათი მაქსიმუმი მეცხრამეტე საუკუნის უკანასკნელ ათწლეულში [44]. მოსკოვისა და სვერდლოვსკისათვის ეს მაქსიმუმი აღინიშნა 1950-იან წლებში [46].

1901-1960 წლების დაკვირვების მასალების ანალიზის საფუძველზე ჩრდილოეთ ამერიკის კონტინენტისათვის (კანადა) დაგინდა მზის პირდაპირი რადიაციის მაქსიმუმი 1921-1940 წლების განმავლობაში [47].

აშშ-ს ტერიტორიის დასავლეთი დაბლობი ნაწილისათვის გაანალიზებულია მზის ნათების ხანგრძლივობის საუკუნეობრივი მსვლელობის თავისებურებები, რომლებიც ამავე პერიოდისათვის კონტრფაზაში აღმოჩნდნენ საბჭოთა კავშირის სტეპების ზონაში ამ ელემენტის სვლის თავისებურებებთან [48]. საინტერესოა ის ფაქტი, რომ აშშ-ის მთელი ტერიტორიისათვის მზის ნათების ხანგრძლივობის საუკუნეობრივი სვლის (1950-1976 წწ) მრავდებზე დაწევებული 1964 წლიდან

აღინიშნა მისი შემცირება ნორმაზე ქვევით, 1972 წლიდან კი - უმნიშვნელო ზრდა.

იაპონიის ტერიტორიაზე თანაბრად განლაგებული 45 აქტინომეტრიული სადგურის ინფორმაციაზე დაყრდნობით (1890-1980 წწ) [48]-ში გაანალიზებულია მზის პირდაპირი რადიაციის და მზის ნათების ხანგრძლივობის თავისებურებები. მიღებული შედეგების შედარებამ პრაქტიკულად იმავე განედების დიაპაზონში განლაგებული აშშ-ის ტერიტორიის მონაცემებთან შემთხვევათა დიდი უმრავლესობისათვის უჩვენა დადებითი და უარყოფითი გადახრების პერიოდების სინქრონულობა.

კუნძულებზე იავა, დასავლეთ სამოა, მავრიკია განაწილებული სამი გრძელვადიანი ჰელიოგრაფიული რიგების მქონე სადგურისათვის დადგინდა მზის პირდაპირი რადიაციის ნორმები და ნორმებიდან გადახრის უმნიშვნელო სიდიდეები, რომლებიც არ აღმატებიან საშუალო კვადრატული გადახრის სიდიდეს [49].

განხილული მასალების ანალიზი გვიჩვენებს პავის რადიაციული მახასიათებლების ექსტრემალური მნიშვნელობების სინქრონულობის ნიშნებს, რაც მიუთითებს დედამიწის დიდ სივრცეებზე ატმოსფეროს ცირკულაციის ცვლილების ერთიანი მექანიზმის მოქმედებაზე, ამასთან განხილული წყაროების ანალიზიდან ჩანს, რომ საერთოდ პავის და კერძოდ, რადიაციული მახასიათებლების ცვლილებებს დედამიწის სხვადასხვა რეგიონში და წელიწადის სხვადასხვა სეზონში აქვს არაერთგაროვანი ხასიათი.

დედამიწის ჩრდილოეთ ნახევარსფეროსთვის პაერის ტემპერატურის და მზის რადიაციის საუკუნეობრივი სვლის საშუალო მრუდების ანალიზიდან ჩანს (მრუდები აგებულია ეკროპისა და ამერიკის სადგურებისთვის 1880-1965 წლების მონაცემების გამოყენებით), რომ ადგილი აქვს მათ გარკვეულ თვისობრივ მსგავსებას [43], მიუხედავად იმისა, რომ ცალკეული წლებისთვის რადიაციის საუკუნეობრივი სვლის მრუდებზე აღინიშნა ცნობილი ვულკანების - კრაკატაუს, მონაკელიების, კატმაის გავლენა. ეს გარემოება მიუთითებს იმაზე, რომ ატმოსფეროს გამჭვირვალობის ვარიაციებით განპირობებული მზის სხივური ენერგიის ინტენსიურობის ცვლილებები თამაშობენ პავის ცვლილებაში მნიშვნელოვან როლს სხვა

ფაქტორებთან შედარებით. მზის სხივური ენერგიის ინტენსიურობის შემცირება ატმოსფეროს გაჭუჭყიანების პირობებში დამოკიდებულია ატმოსფერული აეროზოლების ოპტიკურ სიმკარივეზე, რის შედეგად ჰაერის ტემპერატურის შემცირება მაღალ განედებში მეტია დაბალ განედებთან შედარებით. რადიაციით განპირობებული ტემპერატურული გელის ცვლილებები უკუგავლენას ახდენენ ატმოსფეროში და პიდროსფეროში მიმდინარე ცირკულაციურ პროცესებზე, რაც განაპირობებს ტემპერატურული გელის, ტენბრუნვის და ატმოსფერული ნალექების შესამჩნევ რყევებს.

იმ შრომების ციკლიდან, რომლებშიც გაანალიზებულია მზის რადიაციის მახასიათებლების რყევები და ცვლილება, ადსანიშნავია [43], რომელშიც ამერიკის შეერთებული შტატების და ყოფილი საბჭოთა კავშირის ჩრდილოეთი განედის 40-62°-იან სარტყელში განლაგებული აქტინომეტრიული სადგურების (მათ შორის, თბილისის) მონაცემების საფუძველზე მოცემულია მზის პირდაპირი რადიაციის მრავალწლიური ცვლილებების თავისებურებები და მათი გამომწვევი ბუნებრივი (ვულკანების ამოფრქვევა) და ანთროპოგენური ფაქტორების დახასიათება მოწმენდილი ცის პირობებში.

[44]-ში განხილულია დრუბლიანობის საშუალო პირობებში ყოფილი საბჭოთა კავშირის ტერიტორიაზე განლაგებული რამდენიმე მოკლეპერიოდიანი პუნქტისთვის (მათ შორის თბილისისთვისაც) მზის პირდაპირი, განხეული და ჯამური რადიაციის ცვლილება. თბილისისთვის მცოცავი 10 წლიანი საშუალოების გამოყენების შედეგად 40 წლიანი პერიოდის შემთხვევაში (1930-1970 წლები) დადგენილია მზის პირდაპირი რადიაციის წლიური ჯამების შემცირების, გაბნეული რადიაციის წლიური ჯამების ზრდის და ჯამური რადიაციის შემცირების (1950-იან წლებამდე), შემდეგ კი ზრდის (70-იანი წლების დასაწყისამდე) ტენდენციები. მზის პირდაპირი და გაბნეული რადიაციის ცვლილებების აღნიშნული ტენდენციები არა მარტო თბილისში, არამედ სხვა პუნქტებშიც განპირობებულია ატმოსფეროს გაჭუჭყიანების ზრდით ადამიანის სამეურნეო საქმიანობის შედეგად. პარალელურად თბილისისათვის (1890-1970 წლებში) [44]-ში განხილულია მზის ნათების ხანგრძლივობის და საერთო დრუბლიანობის საუკუნეობრივი სვლის

მრუდების დამახასიათებელი თავისებურებები. განსაკუთრებით აღსანიშნავია გაბნეული რადიაციის წლიური ჯამების სვლის განსხვავებული ტენდენციები მზის პირდაპირი რადიაციის იდენტური ცვლილებების განსხვავებული დონის მქონე პუნქტებისათვის: მაგალითად, თბილისში მზის რადიაციის ინტენსიურობის მნიშვნელოვანი შემცირების პირბებში, უკანასკნელი 10 წლის განმავლობაში გაბნეული რადიაციის სიდიდე იცვლებოდა უმნიშვნელოდ, ტაშკენტში ადგილი ჰქონდა გაბნეული რადიაციის მკვეთრ ზრდას, ხოლო ოდესაში – შემცირებას. აგრძოსფეროს მზარდი გაჭუჭყიანება ცალსახად ამცირებს რა მზის პირდაპირ რადიაციას, სხვადასხვაგვარად მოქმედებს გაბნეული რადიაციას სიდიდეზე, მასში წყლის ორთქლის და აეროზოლის შემცველობაზე და ანთროპოგენური აეროზოლური ნაწილაკების ბუნებაზე დამოკიდებულებით.

[23]-ში თბილისისათვის მოცემულია სხივისადმი ნორმალურ სიბრტყეში მზის პირდაპირი რადიაციის წლიური ჯამების საუკუნოვანი სვლის მრუდები ცალკეული წლების, 5 და 11 წლიანი მცოცავებისათვის. 1928-1970 წლების ინფორმაციის ანალიზის საფუძველზე ნაჩვენებია, რომ მზის პირდაპირი რადიაციის ჯამები (11 წლიანი მცოცავი საშუალოების მრუდი) აღნიშნული პერიოდის განმავლობაში განიცდიდნენ შემცირებას. ამასთან, 1940-1950 წლებამდე მათი მნიშვნელობა რჩებოდა ნორმაზე (120 კგალ/სმ<sup>2</sup>) მეტი, 50-იან წლებში იგი გადავიდა ნორმაზე და დარჩა მასზე დაბლა, შემდგომ პერიოდში შემცირების მზარდი ტენდენციით. ამ პერიოდის განმავლობაში რადიაციის ჯამები შემცირდა 130-დან 117 კგალ/სმ<sup>2</sup>-მდე. ვ.ი. 13 კგალ/სმ<sup>2</sup>-ით.

მზის რადიაციის ჯამების შემცირება თბილისში დაკავშირებულია აგრძოსფეროს მზარდ გაჭუჭყიანებასთან, რომელშიც ძირითადი წვლილი შეაქვს ტრანსპორტს.

მზის პირდაპირი რადიაციის საუკუნეობრივი სვლის მრუდების თავისებურებებია გაანალიზებული თბილისისათვის, აგრეთვე [34, 35].

წინამდებარე ნაშრომში საქართველოს რადიაციული რეჟიმის ცვლილებების დადგენა განზრახულია არსებული აქტინომეტრიული ქსელის დაკვირვებების ინფორმაციის ანალიზზე დაყრდნობით. როგორც ცნობილია, რადიაციული რეჟიმის მახ-

ასიათებლების ცვლილებების დადგენა სათანადო სიზუსტით შესაძლებელია იმ შემთხვევაში, თუ არსებული ინფორმაცია იძლევა მახასიათებლების ნორმების (მრავალწლიური საშუალო სიდიდეების) სტაბილური მნიშვნელობების დადგენის შესაძლებლობას. [44]-ის თანახმად, საშუალო მნიშვნელობების სიზუსტე და მათ მისადებად დაკვირვებათა რიგების საჭირო სანგრძლივობა მოითხოვს საკმაო მოცულობის დაკვირვებების ინფორმაციას. აქტინომეტრიული რიგების მიზანშეწონილი სანგრძლივობის საკითხები განხილულია [50,51]-ში. ზ.პიგოვაროვას თანახმად [44], საშუალო თვიური და წლიური ჯამების 0.90-ის ტოლი სანდო ალბათობით მისადებად საკმარისია 30-35 წლიანი პერიოდი მოკლეტალდიანი რადიაციისათვის, 15-20 წლიანი პერიოდი – რადიაციული ბალანსისათვის. 30-35 წლის შემდეგ ჯამური და პირდაპირი რადიაციის საშუალო, ხოლო 15-20 წლის შემდეგ რადიაციული ბალანსის საშუალო ხდება მუდმივი და პრატიკულად აღარ არის დამოკიდებული რიგების სანგრძლივობაზე.

საქართველოს აქტინომეტრიული სადგურების ქსელის დაკვირვებების ინფორმაცია, რომელიც გამოყენებული იქნა რადიაციული რეჟიმის თავისებურებების და რადიაციული მახასიათებლების ცვლილებების დადგენის მიზნით, მოიცავს 35-40 წლიან პერიოდს, რაც აკმაყოფილებს [44, 50, 51]-ში დადგნილი კრიტერიუმების მოთხოვნებს.

რადიაციული რეჟიმის მახასიათებლების ცვლილების შესწავლის მიზნით გამოყენებულია საქართველოს აქტინომეტრიული სადგურების (თელავი, თბილისი, წალკა, ანასეული, სოხუმი, სენაკი) მრავალწლიური დაკვირვებების (1954-1991 წწ.) ინფორმაცია ცხრ. 5.1-ში.

წინასწარ დადგინდა დაკვირვებების რიგების ერთგვაროვნება, რომელიც აუცილებელია რადიაციული მახასიათებლების მრავალწლიური რეჟიმების კვლევის პროცესში. როგორც ცნობილია, რიგების არაერთგვაროვნება განპირობებულია აქტინომეტრიული სადგურის ადგილმდებარეობის, დაკვირვების მეთოდების, ხელსაწყოების განლაგების და ტიპების შეცვლით, ქვეფენილი ზედაპირის ფიზიკური თვისებების ცვლილებებით, დამკვირვებლის ხუბიერტური ცდომილებებით, ჯამების სიდი-

დეების გამოთვლით თვითმწერების ან დაკვირვებების ინფორმაციის გამოყენებით.

საქართველოს აქტინომეტრიული ქსელისათვის მზის პირდაპირი (მართობულ - S და პორიზონტალურ - S' ზედაპირებზე), გაბნეული D და ჯამური Q საშუალო (თვიური, სეზონური, წელიწადის თბილი და ცივი პერიოდები) და საშუალო წლიური ჯამების ცვლილების სიდიდეები მოცემულია ცხრ. 5.2-5.3.

როგორც ამ ცხრილში მოყვანილი ინფორმაციის ანალიზიდან ჩანს, მზის პირდაპირი რადიაციის ჯამები სხივისადმი ნორმალურ (S<sub>S</sub>) და პორიზონტალურ სიბრტყეებში (S'<sub>S'</sub>) მაქსიმალურია იგნისში, გაბნეული რადიაციის თვიური ჯამები კი – ივლისსი, როდესაც ადგილი აქვს ატმოსფეროს მაქსიმალურ გაძუჭვიანებას, (SQ) დასავლეთ საქართველოს ზღვისპირეთში განლაგებული პუნქტებისათვის (ანასეული, სოხუმი, სენაკი) მაქსიმალურია იგნისში, აღმოსავლეთ საქართველოს ბარში კი (თბილისი, თელავი) – ივლისში.

ცვლილებების სიდიდის (R) დამოკიდებულება წელთა თანმიმდევრობაზე (N) აპროქსიმირებულია წრფივი ფუნქციის (R=aN+b) სახით. ჩატარებული კვლევების შედეგების ანალიზიდან ჩანს, რომ მზის პირდაპირი რადიაციის თვიური, სეზონური და წლიური ჯამები სხივისადმი მართობულ და პორიზონტალურ ზედაპირზე დაკვირვების პერიოდის განმავლობაში განიცდიდა შემცირებას ყველა სადგურზე. მხოლოდ სადგურ წალკაში გაზაფხულის თვეებში და სექტემბერში ადგილი პქონდა თვიური ჯამების მატების ტენდენციას. მართობულ ზედაპირზე წლიური ჯამების ცვლილების (შემცირების) სიდიდემ მაქსიმუმს მიაღწია დასავლეთ საქართველოს სადგურებზე ანასეულში და სენაკში (-1.04 და -1.18 კპალ/სმ<sup>2</sup> წელი, შესაბამისად). აღმოსავლეთ საქართველოს სადგურებზე თბილისა და ოქლავში იგი შედარებით ნაკლები იყო, ხოლო წალკაში შემცირებამ შეაღგინა -0.24 კპალ/სმ<sup>2</sup> წელი, პორიზონტალური ზედაპირისათვის შემცირების სიდიდე მართობულ ზედაპირთან შედარებით ნაკლებია, თუმცა ცვლილებების საერთო სურათი სადგურებისთვის რჩება უცვლელი. სეზონური ჯამები წელიწადის თბილი და ცივი პერიოდისთვის განიცდიდნენ შემცირებას, ამასთან, თბილი პერიოდისთვის შედარებით მეტი ინტენსიურობით ყველა სადგურზე, წალკის

გარდა, სადაც შემცირების სიდიდე ცივი პერიოდისთვის აღმოჩნდა მეტი თბილ პერიოდთან შედარებით. განხილულ პერიოდში ადგილი ჰქონდა რადიაციული ბალანსის ძირითადი მდგენელის – ჯამური რადიაციის თვიური, წლიური და სეზონური (X-III, IV-IX) ჯამების შემცირების ტენდენციას ყველა სადგურზე. მიუხედავად იმისა, რომ წალკისთვის ცალკეულ თვეებში (I,II,III,VI,VII,IX,XI) აღინიშნა ცვლილების დადებითი ტენდენცია შედარებით დაბალი აბსოლუტური მნიშვნელობებით, მან გავლენა ვერ იქონია ამ სადგურში წლიური და სეზონური ჯამების ცვლილების საერთო მიმართულებაზე. ჯამური რადიაციის წლიური ჯამების შემცირების სიდიდე მაქსიმალურია ანასეულში და სენაკში, მინიმალური – მთიან სადგურ წალკაში. აღმოსავლეთ საქართველოს სადგურებზე აღინიშნა შემცირების შედარებით დაბალი სიდიდეები, მასთან, წელიწადის თბილ პერიოდში სეზონური ჯამების სიდიდეები მცირდებოდა მეტი ინტენსივობით ცივ პერიოდთან შედარებით, სადგური წალკის გარდა, სადაც ადგილი ჰქონდა ჯამების სიდიდის ზრდას.

**ცხრილი 5.1. მზის რადიაციული ნაკადების ჯამების საშუალო მრავალწლიური მნიშვნელობები  
(კგალ/სმ<sup>2</sup>. ოგე)**

**ΣS**

საღბური	თვე												წელი	X-III	IV-IX
	1	2	3	4	5	6	7	8	9	10	11	12			
ანასეული	5.35	5.63	6.72	8.03	10.08	10.82	8.0	8.54	8.87	8.92	6.57	5.09	92.62	38.27	54.35
სოხუმი	5.03	5.24	7.24	8.05	11.01	13.07	12.31	12.66	11.64	10.09	6.17	4.37	106.88	38.13	68.74
სენაკი	4.81	5.18	7.11	8.31	11.29	12.24	9.37	10.01	10.37	9.54	6.34	4.64	99.20	37.62	61.59
თბილისი	4.42	4.97	6.72	8.22	10.68	12.80	12.81	11.99	10.16	8.07	4.11	3.89	98.84	32.19	66.65
თელავი	5.78	5.90	6.74	8.44	11.06	13.31	13.24	12.45	11.03	9.18	5.85	5.56	108.56	39.01	69.55
წალკა	7.31	7.70	8.46	8.68	10.03	12.04	12.00	11.28	10.09	9.09	6.37	6.66	109.80	45.67	64.13

**ΣS'**

საღბური	თვე												წელი	X-III	IV-IX
	1	2	3	4	5	6	7	8	9	10	11	12			
ანასეული	1.93	2.51	4.02	5.50	7.33	7.85	5.89	5.98	5.50	4.63	2.64	1.72	55.50	17.45	38.05
სოხუმი	1.84	2.46	4.27	5.47	7.96	9.50	8.88	8.72	7.04	5.07	2.46	1.47	65.14	17.56	47.58
სენაკი	1.71	2.34	4.00	5.62	8.06	8.94	6.79	7.12	6.40	4.88	2.47	1.49	59.82	16.89	42.93
თბილისი	1.69	2.37	3.97	5.81	7.97	9.68	9.77	8.65	6.35	4.29	1.79	1.38	63.73	15.48	48.25
თელავი	2.11	2.80	3.99	5.70	8.08	9.86	9.69	8.68	6.71	4.66	2.37	1.94	66.59	17.88	48.71
წალკა	2.75	3.59	5.11	5.87	7.33	8.73	8.61	7.77	5.94	4.60	2.64	2.24	65.19	20.93	44.25

**ΣD**

საღბური	თვე												წელი	X-III	IV-IX
	1	2	3	4	5	6	7	8	9	10	11	12			
ანასეული	1.89	2.53	3.71	4.73	5.63	5.88	6.19	5.40	3.78	2.96	1.93	1.65	46.27	14.67	31.69

სოხუმი	2.00	2.77	4.19	5.18	6.46	6.74	7.16	6.09	4.47	3.29	2.11	1.71	52.18	16.08	36.10
სენაკი	2.00	2.40	3.36	4.48	5.18	5.34	5.64	4.79	3.60	2.91	2.01	1.76	43.48	14.45	29.03
თბილისი	2.26	2.96	4.48	5.40	6.25	5.99	6.34	5.63	4.31	3.27	2.22	1.84	50.94	17.04	33.91
თელავი	2.37	3.09	4.56	5.38	6.36	6.31	6.55	5.77	4.31	3.04	2.11	1.82	51.67	16.99	34.68
წალკა	2.86	3.66	5.40	5.53	6.39	6.62	7.01	5.81	4.72	3.36	2.51	2.43	56.30	20.22	36.02

$\Sigma Q$

საღბური	თბე												VIII	X-III	IV-IX
	1	2	3	4	5	6	7	8	9	10	11	12			
ანასეული	3.81	5.04	7.73	10.23	12.96	13.73	12.08	11.38	9.28	7.59	4.57	3.38	101.77	32.12	69.0
სოხუმი	3.84	5.23	8.47	10.65	14.42	16.24	16.04	14.81	11.52	8.36	4.57	3.19	117.32	33.64	83.0
სენაკი	3.70	4.74	7.37	10.11	13.23	14.28	12.43	11.90	10.00	7.79	4.49	3.26	103.30	31.34	71.0
თბილისი	3.95	5.33	8.45	11.21	14.23	15.67	16.11	14.27	10.66	7.57	4.00	3.22	114.67	32.52	82.0
თელავი	4.48	5.89	8.56	11.08	14.44	16.16	16.24	14.45	11.02	7.70	4.48	3.76	118.26	34.86	83.0
წალკა	5.61	7.25	10.51	11.40	1372	15.35	15.62	13.58	10.66	7.96	5.15	4.67	121.49	41.16	80.0

ცხრილი 5.2.მართობულ (S) და პორიზონტალურ (S') ზედაპირებზე მზის პირდაპირი, გაბნეული (D) და ჯამური (Q) რადიაციების თვიური (სეზონური, წლიური) ჯამების ცვლილება (კპალ/სმ<sup>2</sup>. თვე) საშუალოდ 1 წლის მანძილზე, 1954-91 წლებში

საღაური	თვე												წევი	გვევის სეზ.	თბილი სეზ.		
	I	II	III	IV	V	VI	VII	VIII	IX	X	XI	XII					
$\Sigma S$												$\Sigma S'$			$\Sigma D$		
ანასეკური	-0.080	-0.091	-0.073	-0.050	-0.067	-0.076	-0.113	-0.163	-0.061	-0.127	-0.072	-0.67	-1.04	-0.509	-0.529		
სისტემი	-0.037	-0.08	-0.017	-0.032	-0.035	-0.089	-0.126	-0.118	-0.033	-0.047	-0.063	-0.043	-0.648	-0.216	-0.432		
სენაკი	-0.077	-0.046	-0.046	-0.078	-0.093	-0.139	-0.180	-0.17	-0.082	-0.112	-0.098	-0.064	-1.018	-0.443	-0.741		
თბილისი	-0.019	-0.049	-0.014	-0.007	-0.069	-0.078	-0.098	-0.100	-0.029	-0.082	-0.043	-0.10	-0.596	-0.217	-0.380		
თელავი	-0.027	-0.080	-0.041	-0.032	-0.068	-0.073	-0.152	-0.161	-0.046	-0.141	-0.50	-0.058	-0.929	-0.397	-0.532		
წალკა	-0.018	-0.026	0.0132	0.0197	0.0173	-0.002	-0.047	-0.076	0.148	-0.080	-0.004	-0.043	-0.232	-0.158	-0.074		
ანასეკური	-0.028	-0.045	-0.043	-0.028	-0.046	-0.050	-0.082	-0.110	-0.038	-0.065	-0.030	-0.024	-0.591	-0.236	-0.355		
სისტემი	-0.013	-0.004	-0.010	-0.018	-0.021	-0.064	-0.086	-0.081	-0.025	-0.023	-0.025	-0.013	-0.381	-0.087	-0.294		
სენაკი	-0.028	-0.019	-0.025	-0.056	-0.063	-0.096	-0.125	-0.124	-0.047	-0.053	-0.038	-0.018	-0.691	-0.181	-0.511		
თბილისი	-0.009	-0.030	-0.012	-0.006	-0.069	-0.076	-0.091	-0.096	-0.026	-0.053	-0.023	-0.008	-0.498	-0.135	-0.363		
თელავი	-0.010	-0.039	-0.026	-0.022	-0.05	-0.054	-0.112	-0.112	-0.028	-0.072	-0.020	-0.021	-0.566	-0.188	0.378		
წალკა	-0.007	-0.011	0.0029	0.0112	0.0078	-0.009	-0.033	-0.051	0.0091	-0.043	-0.003	-0.017	-0.143	-0.078	-0.065		
ანასეკური	-0.03	-0.026	-0.053	-0.050	-0.070	-0.068	-0.067	-0.055	-0.020	-0.033	-0.026	-0.025	-0.522	-0.192	-0.330		
სისტემი	0.009	-0.004	0.0041	0.0082	0.0037	0.0101	0.051	0.0519	0.0294	0.0041	-0.009	0.0002	0.1586	0.0044	0.1543		
სენაკი	-0.020	-0.028	-0.016	-0.036	-0.056	-0.043	-0.068	-0.035	-0.034	-0.027	-0.022	-0.023	-0.410	-0.137	-0.273		
თბილისი	-0.011	-0.005	-0.018	-0.005	-0.009	0.0073	0.0451	0.0328	0.0075	-0.013	-0.014	-0.007	0.0114	-0.067	0.0786		
თელავი	-0.015	-0.004	-0.030	-0.046	-0.055	-0.022	-0.003	0.0008	0.0003	-0.007	-0.025	-0.013	-0.219	-0.094	-0.125		
წალკა	0.0145	0.0184	0.0064	-0.019	-0.020	0.0297	0.0383	0.0093	0.0224	0.0059	0.006	0.0092	0.121	0.0603	0.0607		
$\Sigma Q$												$\Sigma D$			$\Sigma Q$		
ანასეკური	-0.058	-0.071	-0.096	-0.077	-0.116	-0.118	-0.149	-0.165	-0.058	-0.099	-0.056	-0.049	-1.11	-0.428	-0.684		
სისტემი	-0.004	-0.008	-0.006	-0.009	-0.017	-0.054	-0.035	-0.029	0.0047	-0.019	-0.034	-0.013	-0.222	-0.083	-0.139		
სენაკი	-0.049	-0.047	-0.040	-0.092	-0.120	-0.139	-0.139	-0.159	-0.081	-0.08	-0.060	-0.041	-1.10	-0.316	-0.784		
თბილისი	-0.020	-0.035	-0.030	-0.011	-0.078	-0.068	-0.046	-0.063	-0.018	-0.066	-0.037	-0.014	-0.486	-0.202	-0.285		
თელავი	-0.025	-0.043	-0.056	-0.068	-0.105	-0.076	-0.115	-0.112	-0.028	-0.079	-0.045	-0.035	-0.785	-0.282	-0.503		
წალკა	0.0086	0.007	0.0158	-0.006	-0.009	0.0253	0.0055	-0.042	0.0223	-0.044	0.0027	-0.008	-0.20	-0.017	-0.003		

ცხრილი 5.3.მართობულ (S) და პორიზონტალურ (S')  
ზედაპირებზე მზის პირდაპირი, გაბნეული (D) და ჯამური (Q)  
რადიაცების თვიური (სეზონური, წლიური) ჯამების ცვლილება  
38 წლის მანძილზე, (1954-1991 წწ) %-ში

საღვევი	მუნ.												წელი	ცენტ სეზ.	თბილი სეზ.
	I	II	III	IV	V	VI	VII	VIII	IX	X	XI	XII			
S															
ანასეზო	-56.8	-62.1	-41.2	-23.9	-25.2	-26.7	-53.8	-72.3	-26	-54.4	-41.7	-49.9	-42.7	-50.8	-37
სიცემი	-30.1	-7.4	-9.1	-15.1	-11.9	-26	-38.7	-35.4	-10.6	-17.6	-38.9	-37.8	-23.2	-22	-23.9
სენაკი	-60.4	-33.8	-24.8	-35.4	-31.3	-43	-73	-64.6	-30	-44.7	-58.7	-52.3	-45.4	-44.7	-45.7
თბილისი	-16.5	-37.3	-7.8	-3	-24.8	-23	-29.7	-31.6	-10.7	-37.2	-39.4	-12	-23	-25.5	-21.8
თელავი	-17.8	-51.3	-23.1	-14.6	-23.5	-20.7	-43.7	-49	-15.9	-58.3	-32.5	-39.8	-32.5	-38.7	-29.1
წალკა	-9.4	-12.9	-10.8	-6.3	-6.6	-0.7	-15	-20.1	0.6	-38.6	-23	-24.5	-8.2	-13.3	-4.5
S'															
ანასეზო	-55.3	-68.3	-40.7	-19	-23.9	-24.3	-53	-70	-26.5	-53.6	-43.8	-53.2	-40.4	-51.4	-35.4
სიცემი	-26	-5.7	-8.8	-12.2	-9.8	-25.5	-37	-35.1	-13.3	-17.2	-37.8	-34.4	-22.2	-18.8	-23.4
სენაკი	-62.4	-30.7	-23.4	-38	-29.5	-40.7	-69.8	-66.2	-28.1	-41.1	-58.9	-45.5	-43.9	-40.6	-45.2
თბილისი	-20	-47.8	-11.3	-3.8	-32.7	-29.6	-35.5	-42	-15.4	-47	-49	-21.2	-29.7	-33	-28.6
თელავი	-18.2	-52.9	-24.4	-14.5	-23.5	-20.8	-43.9	-49.2	-16	-58.4	-32.2	-41.3	-32.3	-39.9	-29.5
წალკა	-8.2	-12.1	7	8.7	5.8	-1.9	14.5	-25	-0.1	40.8	-4.6	28.7	-8.2	-14.1	-5.5
D															
ანასეზო	-60.3	-38.3	-54.2	-39.8	-47.3	-44	-41	-38.8	-19.9	-42.8	-50.6	-57.1	-42.9	-49.8	-39.6
სიცემი	-17.1	-4.9	3.7	6	2.2	5.7	27.1	32.4	25	4.7	16.9	0.4	11.6	1	16.2
სენაკი	-38.6	-44.3	-18.1	-30.5	-41.2	-30.8	-45.9	-28	-36	-35.5	-41.6	-50.1	-35.8	-35.9	-35.7
თბილისი	-17.8	-6.3	-15	-3.8	-5.4	4.6	27	22.1	6.6	-14.9	24.5	13.8	0.9	-15	8.8
თელავი	-24.4	-4.3	-25.1	-32.5	-32.6	13.2	-2	0.5	0.3	-9	45.2	-28	-16.1	-21.1	-13.7
წალკა	-19.3	-19.1	4.5	-13.3	-11.8	17	20.8	6.1	18	6.7	9.1	14.4	8.2	11.3	6.4
Q															
ანასეზო	-57.9	-53.2	-47.2	-28.6	-34.1	-32.7	-46.8	-55.2	-23.8	-49.4	-46.6	-55	-41.5	-50.7	-37.3
სიცემი	-3.6	-5.3	-2.6	-3.3	-4.5	-12.6	-8.4	-7.3	1.6	-8.5	-28.3	-15.7	-7.2	-9.3	-6.3
სენაკი	-49.7	-37.6	-20.9	-34.7	-34.1	-37	-58.9	-50.9	-30.9	-39	-51	-47.8	-40.5	-38.5	-41.4
თბილისი	-18.9	-24.7	-13.3	-3.8	-20.7	-16.5	-10.9	-16.7	-6.5	-33.1	-35.5	-17	-16.1	-23.6	-13.2
თელავი	-21.4	-27.4	-24.7	-23.3	-27.5	-17.8	-27	-29.3	-9.6	-38.9	-38.3	-34.9	-25.2	-30.7	-22.9
წალკა	5.8	3.7	5.7	-2	-2.4	6.3	1.3	-11.7	7.9	20.8	2	-6.3	-0.6	-1.6	-0.2

## 5.2 ქვეფენილი ზედაპირის რადიაციული ბალანსის ცვალებადობა

რამდენადაც ჰავის ჩამოყალიბების ძირითად ფაქტორს რადიაციული ბალანსი წარმოადგენს, მის შესახებ სრული ინფორმაციის ცოდნა ჰავის შესწავლისა და მისი ცვლილების კანონზომიერებათა დადგენისათვის უმთავრეს საფუძველს ქმნის.

ქვეფენილი ზედაპირის რადიაციული ბალანსის ინტენსიურობის და ჯამების სიდიდეები დამოკიდებულია იმ ფაქტორებზე, რომლებიც განაპირობებენ მისი მდგრენელების სიდიდის ფორმირებას. პორიზონტალური ქვეფენილი ზედაპირის რადიაციული ბალანსის განტოლებას აქვს შემდეგი სახ:

$$B = (S + D - R_k) - B_g = Q(1 - A) - B_g \quad (1),$$

სადაც  $S$  არის მზის პირდაპირი,  $D$  – ცის თაღის მიერ გაბრეული,  $R$  – ქვეფენილი ზედაპირიდან არეკლილი რადიაცია,  $Q = S + D$  – ჯამური რადიაცია,  $B_k = Q(1 - A)$  – მოკლეტალდიანი რადიაციული ბალანსი,  $A$  – ქვეფენილი ზედაპირის ალბედო,  $B_g$  – გრძელტალდიანი რადიაციული ბალანსი (ეფექტური გამოსხივება). მოკლეტალდიანი რადიაციული ბალანსი წარმოადგენს ქვეფენილი ზედაპირის მიერ შთანთქმულ რადიაციას.

ამრიგად რადიაციული ბალანსის ძირითადი მდგრელებია ჯამური რადიაცია და ეფექტური გამოსხივება. დამით რადიაციული ბალანსის სიდიდე განისაზღვრებოდა მხოლოდ ეფექტური გამოსხივების სიდიდით ( $B_g$ ), რომელიც დამოკიდებულია ქვეფენილი ზედაპირის ტემპერატურაზე, ღრუბლიანობაზე და ატმოსფეროს სტრატიფიაციაზე დღიური  $B_g$ -ს სიდიდე ძირითადად განისაზღვრება ჯამური რადიაციის და ქვეფენილი ზედაპირის ალბედოს სიდიდით, რომელიც დამოკიდებულია მზის სიმაღლეზე, ღრუბლიანობაზე, ატმოსფეროს გამჭვირვალობაზე და ქვეფენილი ზედაპირის ფიზიკურ თვისებებზე.

ეს პარაგრაფი ეძღვნება რადიაციული ბალანსისა და მისი დანარჩენი მდგრელების საშუალო მრავალწლიური მნიშვნელობების შესწავლასა და საუკუნეობრივი ცვალებადობის კანონზომიერებათა გამოვლენას.

საქართველოს აქტინომეტრიული ქსელისთვის მოკლეტალდიანი და გრძელტალდიანი რადიაციული ბალანსებისა და ქვეფენილი ზედაპირის რადიაციული ბალანსის ჯამებისათვის და ალბედოს საშუალო მნიშვნელობებისათვის ცხრ. 5.4-ში მოცემულია საშუალო თვიური, საშუალო სეზონური და საშუალო წლიური მონაცემები

**ცხრილი 5.4.რადიაციული ბალანსისა და მისი ზოგიერთი მდგენელის ჯამების საშუალო  
მრავალწლიური მნიშვნელობები**

$\Sigma B_k$

საღგური	თვე												წელი	X-III	IV-IX
	1	2	3	4	5	6	7	8	9	10	11	12			
ანასეული	2.67	3.39	5.81	8.05	10.25	10.93	9.56	8.95	7.28	5.97	3.64	2.51	78.91	23.89	55.02
სოხუმი	2.77	3.86	6.60	8.40	11.37	12.77	12.61	11.55	8.87	6.38	3.48	2.39	91.05	24.48	65.56
სენაკი	2.69	3.51	5.73	7.95	10.46	11.34	9.78	9.28	7.79	6.01	3.45	2.45	80.44	23.84	56.60
თბილისი	3.12	4.30	7.15	9.52	12.06	13.40	13.81	12.19	9.03	6.30	3.31	2.62	96.82	26.81	70.01
თელავი	2.99	3.88	6.59	8.78	11.38	12.91	12.98	11.46	8.71	6.05	3.55	2.81	92.09	25.87	66.21
წალკა	2.98	3.53	6.62	9.09	10.84	12.10	12.33	10.76	8.40	6.21	3.71	2.98	89.55	26.03	63.52

$\Sigma B_g$

საღგური	თვე												წელი	X-III	IV-IX
	1	2	3	4	5	6	7	8	9	10	11	12			
ანასეული	-2.26	-2.17	-2.55	-2.56	-2.55	-2.61	-2.15	-2.39	-2.38	-2.90	-2.48	-2.10	-28.94	-14.3	-14.6
სოხუმი	-2.26	-2.35	-0.97	-2.66	-2.97	-2.99	-2.82	-3.18	-2.96	-3.27	-2.45	-2.10	-32.99	-15.4	-17.6
სენაკი	-2.11	-2.07	-0.42	-0.54	-2.65	-2.54	-2.37	-2.63	-2.59	-2.87	-2.19	-1.98	-28.85	-13.5	15.3
თბილისი	-2.22	-2.42	-2.93	-3.19	-3.22	-3.27	-3.61	-3.77	-3.27	-3.14	-2.33	-2.18	-35.53	-15.2	-20.3
თელავი	-2.58	-2.55	-2.76	-3.05	-3.22	-3.31	-3.59	-3.77	-3.32	-3.22	-2.59	-2.61	-36.57	-16.3	-20.3
წალკა	-2.61	-2.72	-3.15	-3.12	-3.11	-3.12	-3.19	-3.17	-3.05	-3.27	-2.74	-2.61	-35.96	-17.1	-18.9

$\Sigma B$

საღგური	თვე												წელი	X-III	IV-IX
	1	2	3	4	5	6	7	8	9	10	11	12			
ანასეული	0.050	1.19	3.21	5.43	7.58	8.24	7.34	6.49	4.86	2.93	1.03	0.37	49.16	9.22	39.94

სოხუმი	0.46	1.47	3.59	5.69	8.32	9.69	9.71	8.31	5.88	3.05	0.97	0.25	57.38	9.78	47.60
სენაკი	0.58	1.45	3.31	5.41	7.82	8.79	7.41	6.65	5.20	3.23	1.27	0.47	51.59	10.30	41.68
თბილისი	0.90	1.88	4.22	6.3	8.84	10.13	10.19	8.42	4.76	3.17	1.00	0.45	61.29	11.31	49.68
თელავი	0.35	1.30	3.68	5.63	8.09	9.49	9.31	7.53	5.31	2.78	0.87	0.10	54.45	9.08	45.36
წალკა	0.37	0.80	3.47	5.86	7.73	8.99	9.14	7.59	5.35	2.94	0.97	0.37	53.59	8.93	44.66

$\Sigma A_k$

საღბური	მდგ												წელი	X-III	IV-IX
	1	2	3	4	5	6	7	8	9	10	11	12			
ანასეული	0.30	0.33	0.25	0.21	0.21	0.20	0.21	0.21	0.22	0.21	0.23	0.25	0.24	0.26	0.21
სოხუმი	0.28	0.26	0.22	0.21	0.21	0.21	0.21	0.22	0.23	0.24	0.24	0.25	0.23	0.25	0.22
სენაკი	0.27	0.26	0.22	0.21	0.21	0.21	0.21	0.22	0.22	0.23	0.23	0.24	0.23	0.24	0.21
თბილისი	0.25	0.25	0.19	0.19	0.19	0.18	0.18	0.18	0.19	0.20	0.20	0.22	0.20	0.22	0.18
თელავი	0.33	0.34	0.23	0.21	0.21	0.20	0.20	0.21	0.21	0.21	0.21	0.25	0.23	0.26	0.21
წალკა	0.46	0.51	0.37	0.20	0.20	0.21	0.21	0.21	0.21	0.22	0.28	0.36	0.29	0.37	0.21

როგორც ცხრ. 5.4-დან ჩანს,  $\Sigma B_g$ ,  $\Sigma B_k$  და  $\Sigma B$ -ს სიდიდეები, 38 წლიანი პერიოდის ინფორმაციის გამოყენებით დადებითია მთელი წლის განმავლობაში, ხოლო [23]-ში მოკლეპერიოდიანი (1954-1965 წლები) რიგების ანალიზის შედეგად მიღებული დეკემბრის თვიური ჯამები -  $\Sigma B$  სოხუმში, თელავში და ანა-სეულში იყო უარყოფითი (-0.6, -0.2 და -0.1 კკალ/სმ<sup>2</sup>, შესაბამისად), ხოლო თბილისისათვის (1957-1961 წლები) – დადებითი.

რადიაციული ბალანსის წლიური ჯამები მინიმალურია ანასეულსა და სენაკისთვის (49.2 და 51.6) და მაქსიმალურია თბილისისათვის – 61.3 კკალ/სმ<sup>2</sup>, თელავში იგი შეადგენს 54.4 კკალ/სმ<sup>2</sup>, ე.ი. საქართველოს ბარში განედური მიმართულებით დასავლეთიდან აღმოსავლეთისაკენ ადგილი აქვს  $\Sigma B$ -ს სიდიდეების მატებას.  $\Sigma B$ -ს შედარებით მაღალი მნიშვნელობა სოხუმში (57.4 კკალ/სმ<sup>2</sup>) განპირობებულია მზის ნათების ხანგრძლივობის მატებით.

უფასტური გამოსხივების ( $\Sigma B_g$ ) თვიური და წლიური ჯამები, პირიქით, მაქსიმალურია აღმოსავლეთ საქართველოს ბარში (მერყეობს 35.6-36.6 კკალ/სმ<sup>2</sup> ფარგლებში) და მინიმალურია შავი ზღვის სანაპიროზე (28.8-33.0 კკალ/სმ<sup>2</sup>). რადიაციული ბალანსისა და უფასტური გამოსხივების წლიური ჯამების სიდიდეებში აღნიშნული განსხვავება განპირობებულია ამ რაიონების ფიზიკურ-გეოგრაფიული და ჰავის პირობების (დრუბლიანობის რეჟიმი, აღმოსფეროს ტენიანობა), აგრეთვე, ქვეფენილი ზედაპირის ფიზიკური თვისებების განსხვავებით, რომელთა სინქრონული მოქმედების შედეგად ადგილი აქვს დასავლეთ საქართველოს ბარში უფასტური გამოსხივების შემცირებას, ხოლო აღმოსავლეთ საქართველოს ბარში – მის ზრდას. მიუხედავად იმისა, რომ აღმოსავლეთ საქართველოს ბარში უფასტური გამოსხივება სჭარბობს დასავლეთ საქართველოს ბარში არსებულ შესაბამის სიდიდეებს. აქ ქვეფენილი ზედაპირის რადიაციული ჯამების მრავალწლიური საშუალო სიდიდეები მეტია კოლხეთის დაბლობთან შედარებით (სოხუმის გამოკლებით), რაც მიუთითებს იმ რაიონში ქვეფენილი ზედაპირის ენერგეტიკული პოტენციალის მაღალ დონეზე. ეს მოვლენა განპირობებულია აღმოსავლეთ საქართველოში დრუბლიანობის საერთო რაოდენობის შემცირების, და ამის შედეგად ქვეფენილი ზედაპირის მოკლე-

ტალღიანი რადიაციული ბალანსის უპირატესი ზრდის ტენდენციით ეფექტური გამოსხივების ზრდასთან შედარებით.

ბალანსოგრაფის მონაცემების თანახმად 1957-1961წლებში დღე-დამეტების რაოდენობა უარყოფითი ბალანსით დეკამბერში მერყეობდა 6-20-ის, იანვარში კი 3-15-ის ფარგლებში, ხოლო 1958 წლის დეკამბერში ΣΒ-ს სიდიდე აღმოჩნდა უარყოფითი და შეადგინა  $-0.2$  კბალ/სმ<sup>2</sup>. გრძელპერიოდიანი რიგების (38 წელი) ანალიზის საფუძველზე, როგორც აღინიშნა, თბილისში რადიაციული ბალანსის საშუალო თვიური მრავალწლიური ჯამი დეკამბერში აღმოჩნდა  $0.5$  კბალ/სმ<sup>2</sup>-ის ტოლი.

რადიაციული ბალანსის, ალბედოს, მოკლეტალღიანი რადიაციისა და ეფექტური გამოსხივების წლიური ჯამების ცვლილების სიდიდეები დაკვირვების პერიოდის (1954-91 წწ) განმავლობაში მოცემულია ცხრ. 5.5-ში, ხოლო მისი პროცენტული მნიშვნელობები ცხრ. 5.6-ში.

დასავლეთ საქართველოს სადგურებზე (სოხუმი, სენაკი) აღნიშნული პერიოდის განმავლობაში ადგილი პქონდა ქვევენილი ზედაპირის ალბედოს საშუალო წლიური სიდიდეების შემცირების ტენდენციას, ანასეულში კი იგი ფაქტიურად უცვლელი დარჩა. აღმოსავლეთ საქართველოს სადგურებზე ალბედოს საშუალო წლიური მნიშვნელობები გაიზარდა. შედარებით ინტენსიური ზრდა აღინიშნა თბილისში და წალკაში (ნახ. 5.1).

აღნიშნული პერიოდის განმავლობაში ალბედოს ცვლილებებში (აბსოლუტურ ერთეულებში ΔA·100) ანასეულისთვის აღინიშნა დადებითი და უარყოფითი გადახრების ურთიერთნიველირება, სენაკისთვის წლის განმალობაში, ივნისისა და ივლისის გარდა, ჭარბობს უარყოფითი, ივნის-ივლისში კი დადებითი გადახრები, რომელთა მაქსიმალურმა სიდიდემ შეადგინა, შესაბამისად,  $-2.3$  და  $+0.5\%$  (ნახ. 5.2)

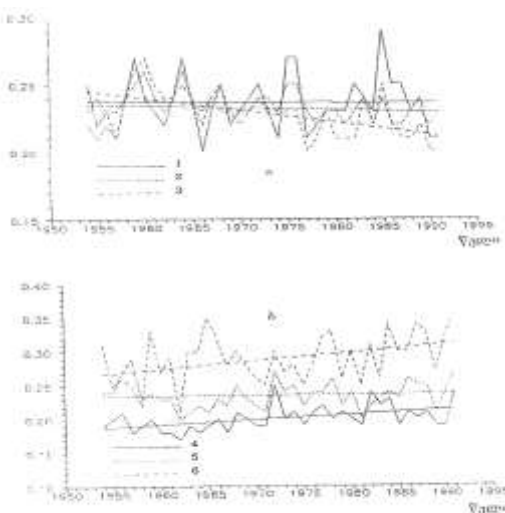
ცხრილი 5.5. მოკლეტალდიანი (Bk), გრძელტალდიანი (Bg) და რადიაციული ბალანსის (B) თვიური (სეზონური, წლიური) ჯამების (კალ/სმ<sup>2</sup>) და ალბედოს (A) საშუალო მნიშვნელობების ცვლილება საშუალოდ 1 წლის მანძილზე, 1954-91 წლებში.

საღიზო	თვე												წელი	კვიპ ბებ.	თბილი ბებ.	
	I	II	III	IV	V	VI	VII	VIII	IX	X	XI	XII				
Bk																
ანასტელი	-0.043	-0.039	-0.075	-0.064	-0.097	-0.100	-0.124	-0.132	-0.046	-0.078	-0.044	-0.036	-0.876	-0.315	-0.562	
სინერგია	-0.004	-0.006	0.012	0.0039	-0.007	-0.042	-0.032	-0.027	0.0002	-0.014	-0.025	-0.009	-0.161	-0.058	-0.103	
სენაკი	-0.032	-0.027	-0.028	-0.066	-0.086	-0.111	-0.152	-0.116	-0.058	-0.055	-0.041	-0.024	-0.795	-0.207	-0.589	
თბილისი	-0.022	-0.048	-0.035	-0.016	-0.07	-0.063	-0.044	-0.056	-0.017	-0.053	-0.029	-0.012	-0.465	-0.200	-0.265	
თელავი	-0.021	-0.043	-0.047	-0.053	-0.073	-0.050	-0.086	-0.082	-0.017	-0.057	-0.033	-0.025	-0.586	-0.226	-0.360	
წალენჯია	-0.008	-0.034	-0.014	-0.003	-0.015	0.0113	0.0056	-0.043	0.0199	-0.034	-0.009	-0.007	-0.129	-0.105	-0.024	
Bg																
ანასტელი	0.0292	0.0295	0.0286	0.0306	0.0564	0.04	0.0389	0.0557	0.0162	0.0414	0.0308	0.0298	0.4271	0.1893	0.2378	
სინერგია	0.0114	0.0137	0.0202	0.0166	0.0241	0.0245	0.0372	0.0418	0.0209	0.0311	0.0266	0.0157	0.2839	0.1187	0.1652	
სენაკი	0.018	0.0113	0.0077	0.0213	0.036	0.0261	0.0356	0.0352	0.0092	0.028	0.0221	0.0142	0.2648	0.1014	0.1635	
თბილისი	0.0004	0.0268	-0.003	-0.014	-0.010	-0.001	-0.036	-0.024	-0.029	0.0205	-0.002	-0.006	-0.077	0.0369	-0.114	
თელავი	0.0028	0.022	0.0094	0.0081	0.0186	0.008	0.0181	0.0234	-0.016	0.0157	0.0046	-0.008	0.107	0.047	0.06	
წალენჯია	-0.019	0.0079	-0.009	-0.008	0.0122	0.0027	0.0041	0.0079	-0.015	-	0.0011	-0.017	-0.017	-0.049	-0.053	0.0044
B																
ანასტელი	-0.014	-0.009	-0.047	-0.033	-0.040	-0.060	-0.085	-0.076	-0.030	-0.036	-0.013	-0.006	-0.449	-0.125	-0.324	
სინერგია	0.007	0.0073	0.0214	0.0205	0.0173	-0.018	0.0053	0.0153	0.0212	0.017	0.0018	0.0067	0.1231	0.0612	0.0619	
სენაკი	-0.014	-0.016	-0.020	-0.045	-0.050	-0.085	-0.116	-0.081	-0.048	-0.027	-0.019	-0.010	-0.531	-0.105	-0.425	
თბილისი	-0.022	-0.021	-0.038	-0.030	-0.081	-0.064	-0.079	-0.080	-0.046	-0.032	-0.031	-0.018	-0.542	-0.163	-0.380	
თელავი	-0.013	-0.019	-0.024	-0.035	-0.047	-0.031	-0.060	-0.041	-0.024	-0.036	-0.020	-0.021	-0.371	-0.133	-0.238	
წალენჯია	-0.026	-0.026	-0.022	-0.010	-0.003	0.014	0.0097	-0.035	0.005	-0.033	-0.026	-0.025	-0.178	-0.158	-0.020	
A																
ანასტელი	0.0001	-0.002	0.0001	0.0003	0.0004	0.0005	0.0005	0.0002	0	0	0.0002	-2e-4	0	-3e-4	0.0003	
სინერგია	0.0006	0	-0.001	-0.001	-0.001	0	0.0002	0.0003	0.0003	-1e-4	-3e-4	-1e-4	-1e-4	-1e-4	-1e-4	
სენაკი	-0.001	-0.001	-0.001	-0.001	-0.001	0	-le-4	-0.001	-0.001	-0.001	-0.002	-0.001	-0.001	-0.001	-0.001	
თბილისი	0.002	0.0039	0.0014	0.0006	0.0005	0.0005	0.0003	0.0003	0.0002	-le-4	-2e-4	0.0002	0.0008	0.0012	0.0004	
თელავი	0.0015	0.0028	0.0004	0	-0.001	-0.001	-4e-4	-4e-4	-0.001	-0.001	-0.001	-le-4	0.0001	0.0006	-4e-4	
წალენჯია	0.0022	0.0052	0.0017	-0.001	0.0003	0.0003	0	0.0007	0.0006	0.001	0.0018	0.001	0.0012	0.0022	0.0002	

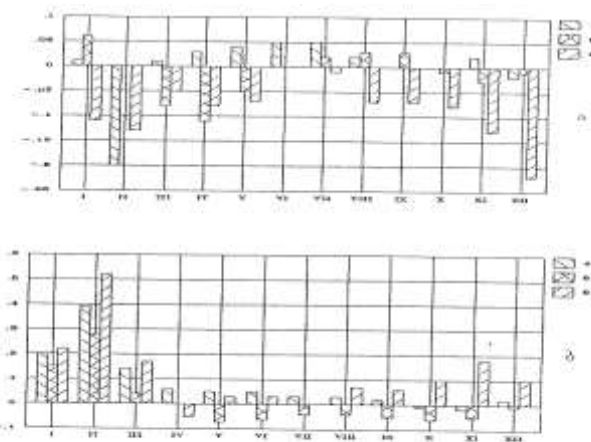
### ცხრილი 5.6.

მოკლეტალდიანი (Bk), გრძელტალდიანი (Bg) და რაღიაციული ბალანსის (B) თვიური (სეზონური, წლიური) ჯამების ( $\frac{\text{კალ}}{\text{სმ}^2}$ ) და აღბეჭოს (A) საშუალო მნიშვნელობების ცვლილება 38 წლის მანძილზე, (1954-91 წწ) %-ში.

საღამო	თვე												წელი	ცივი b <sub>g</sub> <sup>a</sup>	თბილი b <sub>g</sub> <sup>b</sup>
	I	II	III	IV	V	VI	VII	VIII	IX	X	XI	XII			
<b>Bk</b>															
ანასეული	-61.1	-43.7	-49.3	-30.1	-36	-34.8	-49.1	-55.9	-24.1	-49.5	-47.1	-53.9	-42.2	-50	-38.8
სიხეული	-6	-5.9	0.7	1.8	-2.3	-12.6	-9.6	-8.7	0.1	-8.4	-27.1	-14.3	-6.7	-8.5	-6
სენაკი	-44.8	29.4	19.2	31.6	-31	37.1	-59	47.6	-28	34.8	-45	-36.9	-37.6	-33.1	-39.5
თბილისი	1	-12.4	3.4	14.7	-3	0.5	6.6	0.4	12.2	-14.5	16.2	3	1.6	-6.1	4.5
თელავი	-26.9	42.3	26.8	-23	24.2	14.6	25.1	27.1	-7.3	35.9	35.3	-33.5	-24.2	-33.2	-20.6
წალკა	-7.9	36.4	-4	-0.3	-4.2	4.9	1.7	15.3	4.8	25.1	-8.8	-9.1	-5.4	-15.2	-1.4
<b>Bg</b>															
ანასეული	-52.6	51.7	42.6	45.4	-84	-58.2	-68.8	-88.6	-25.9	-54.2	-47.2	-53.9	-56.1	-50.3	-61.7
სიხეული	19.2	22.2	25.8	23.7	30.8	31.1	50.1	49.9	26.8	36.1	41.3	-28.4	-32.7	-29.3	-35.7
სენაკი	-32.4	20.7	12.1	31.9	51.6	-39	57.1	50.9	13.5	38.3	38.3	-27.3	-34.9	-28.5	-40.6
თბილისი	-0.7	-42.1	4	17	12.3	0.8	37.7	24.5	33.4	-24.8	3.3	9.8	8.3	-9.2	21.4
თელავი	-4.1	32.8	12.9	10.1	-22	-9.2	19.2	23.6	18.5	18.5	-6.7	10.9	-11.1	-11	-11.3
წალკა	27.5	-11	10.4	9	14.9	-3.3	-4.9	-9.5	18.6	-1.3	23.6	25.2	5.1	11.8	-0.9
<b>B</b>															
ანასეული	-61.6	19.2	48.7	18.8	15.5	-23.8	40.3	-40.5	20.7	-32	-38.4	-16.4	-29	-37.9	-26.9
სიხეული	95.8	30	27	17	11.4	-2.9	5	9.5	15.7	28.2	28.6	174.8	12.7	35	8.1
სენაკი	-89.8	41.7	24.3	31.5	-24	-36.6	59.6	46.3	35.3	31.9	56.3	-77.6	-39.1	-39.2	-39.1
თბილისი	4.6	25.9	2.9	13.5	-8.6	0.3	-4.4	10.4	0.1	-4.2	61.2	-29.6	-2.3	-1.9	-2.4
თელავი	-140	56.1	-25	23.5	21.9	12.5	24.6	20.8	-17	-48.5	88.2	-809	-25.9	-55.8	-19.9
წალკა	-258	-123	-17	-5.4	0.1	7.7	4	-17.7	-3.1	-51.8	-101	-251	-12.5	-66.7	-1.7
<b>A</b>															
ანასეული	1.3	-23	1.5	5.4	7.2	9.5	9	3.6	0	0	3.3	-3	0	-4.4	5.4
სიხეული	8.1	0	-13.8	19.9	-9	0	3.6	5.2	5	-1.6	-4.8	-1.5	-1.7	-1.5	-1.7
სენაკი	-15.5	-19	-8.6	-14.5	-12.7	0	-1.8	-12.1	-12.1	-13.2	21.5	-34.8	-13.2	-19	-9
თბილისი	30.4	59.3	28	12	10	10.6	6.3	6.3	4	-1.9	-3.8	3.5	15.2	20.7	8.4
თელავი	17.3	31.3	6.6	0	12.7	11.4	-7.6	-7.2	-9	10.9	-9	-1.5	1.7	8.8	-7.2
წალკა	18.2	38.7	17.5	-9.5	5.4	5.4	0	12.7	10.9	17.3	24.4	10.6	15.7	22.6	3.6



ჩა. 5.1 თბილისი ცენტრული მონიტორინგის ცის კიბეზე —  
სივრცი (b) სიდინოველის 1954-1991 წლებში  
(1-იანვარი; 2-თებერვალი; 3-მარტი; 4-აპრილი;  
5-მაისი; 6-ივნი, 2003)



ჩა. 5.2 თბილისი ცენტრული მონიტორინგის ურთეულებებში  
(ΔA-100) თვეების მაჩვენებელი 1954-1991 წლებში კასაცემები  
(a) და სიდინოველი (b) სიდინოველის  
(1-იანვარი; 2-თებერვალი; 3-მარტი; 4-აპრილი; 5-მაისი;  
6-ივნი, 2003)

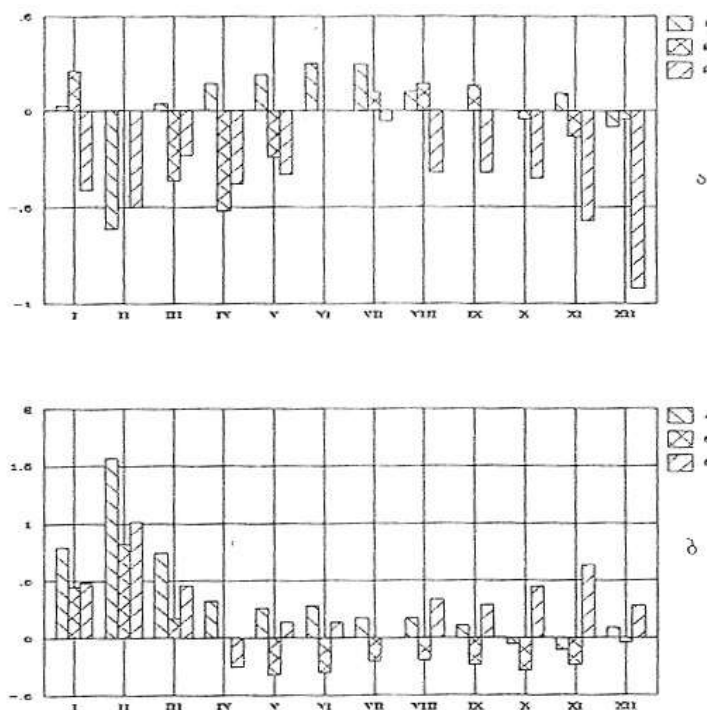
წალენჯიშვილის ალბერტ ვარიაციებში წლის განმავლობაში (აპრილის გარდა) ჭარბობს დადებითი გადახრები აბსო-

ლუტური მაქსიმუმით ოებერვალში (+5.2%), აპრილში კი უარყოფითი გადახრის სიღიღემ შეადგინა -0.4%. თბილისისთვის იანვარ-სექტემბერში და დეკემბერში გადახრები დადებითია, დანარჩენი თვეების (X, XI) კი - უარყოფითი. დადებითი გადახრების მაქსიმალურმა სიღიღემ შეადგინა 3.8%, უარყოფითი გასახრებისამ კი -0.2%. თელავში გადახრები დადებითია სამი თვის (I, II, III) განმავლობაში, ხოლო დანარჩენი ცხრა თვისათვის იგი უარყოფითია. დადებითი გადახრების აბსოლუტური სიღიღებით გაცილებით მეტია უარყოფითი გადახრების აბსოლუტურ სიღიღებზე, რომელთა მაქსიმუმი არ აღმატება -0.6%-ს (ნახ. 5.2).

ალბედოს ცვლილება ფარდობით ერთეულებში  $\Delta A \cdot 100\%$  საშუალოდ 1 წლის მანძილზე განსახილველი პერიოდის განმავლობაში (1954-91 წწ) ანასეულში ოებერვალში, ოქტომბერში და ნოემბერში იყო უარყოფითი, დანარჩენ თვეებში კი დადებითი (ნახ. 5.3). უარყოფითი გადახრების მაქსიმუმმა შეადგინა - 5.3% (II), დადებითი გადახრებისამ კი - 0.35% (VI). სოხუმი ოთხი თვის (I, VII, VIII, IX) განმავლობაში აღინიშნა დადებითი, დანარჩენი რვა თვისათვის კი უარყოფითი გადახრები: პირველ შემთხვევაში გადახრის აბსოლუტურმა მაქსიმუმმა შეადგინა 3.4% (I), მეორე შემთხვევაში კი -5.1% (IV). თბილისში ათი თვის განმავლობაში (I-X, XII) ადგილი აქვს ალბედოს ცვლილების დადებით ტენდენციას, რომლის მაქსიმუმი ფარდობით ერთეულებში თებერვალში შეადგენს 1.6%-ს, ოქტომბერში და ნოემბერში ადგილი აქვს უმნიშვნელო უარყოფით გადახრებს (-0.1-0.2%) ალბედოს დადებითი გადახრები აღინიშნა იანვარში, თებერვალში და მარტში თელავშიც, მაქსიმუმით თებერვალში (1.6%). წელიწადის დანარჩენ თვეებში კი, უარყოფითი გადახრები მინიმუმით მაისში, ივნისში და ოქტომბერში (0.3%).

წალკაში ადგილი ჰქონდა ალბედოს ცვლილების დადებით ტენდენციას ათი თვის განმავლობაში (I-III, V-VI, VIII-XII), რომლის მაქსიმუმმა თებერვალში შეადგინა 1.6% (I-X, XII), აპრილში იქ აღინიშნა ალბედოს ცვლილების უარყოფითი, ივლისში კი - ნულოვანი ტენდენცია. უარყოფითი გადახრის მინიმუმმა აპრილში შეადგინა - 0.25% წელიწადში (ნახ. 5.3). მოკლეტალდიანი რადიაციული ბალანსის წლიური ჯამების (ΣBk) ცვლილებების ტენდენცია (ნახ.5.4) დასავლეთ

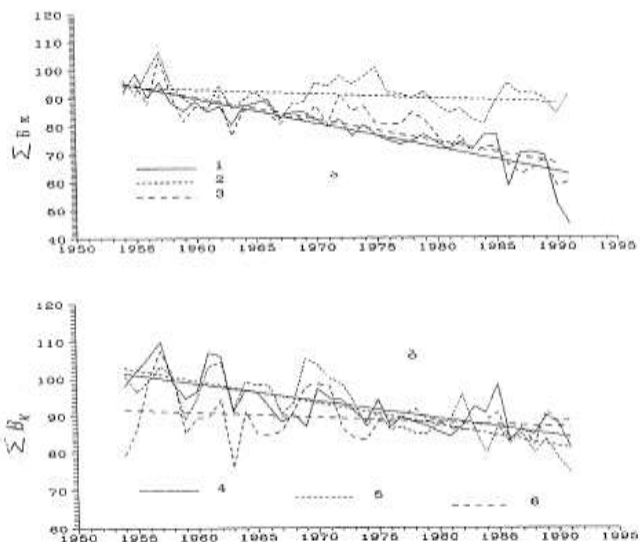
საქართველოს სადგურებზე უარყოფითია. აღნიშნულ პერიოდში წლიური ჯამების ინტენსიური შემცირება აღინიშნა ანასეულსა და სენაკში (საშუალოდ 30.0 კკალ/სმ<sup>2</sup>), სოხუმში ΣBk-ს სიდიდე შემცირდა დაახლოებით 6.0 კკალ/სმ<sup>2</sup>-ით.



ნახ. 5.3. ალბედოს ცვლილება ფარდობით ერთეულებში  
 $\left(\frac{\Delta A}{A} \cdot 100\right)$  თვეების მიხედვით 1954-1991წლებში დასავლეთ  
(a) და აღმოსავლეთ (b) საქართველოში  
(1-ანასეული; 2-სოხუმი; 3-სენაკი; 4-თბილისი; 5-ოქლავი;  
6-წალკა)

ΣBk-ს (წლიური ჯამების) შემცირების ტენდენცია აღინიშნა აღმოსავლეთ საქართველოს სადგურებზეც: თბილისში და თელავში იგი შემცირდა 20 კკალ/სმ<sup>2</sup>-ით, სამხრეთ საქართველოში (სადგური წალკა) ΣBk-ს სიდიდე შემცირდა 5.0

კალ/სმ<sup>2</sup>-ით. თბილისში, თელავსა და წალკაში მოკლეტალდიანი რადიაციული ბალანსის წლიური ჯამების შემცირება ძირითადად განპირობებულია ამ სადგურებზე ქვეფენილი ზედაპირის ალბედოს ცვლილების დადებითი ტენდენციებით; რაც შეეხება ანასეულს, სოხუმს და სენაკს, ამ სადგურებზე სBk-ს შემცირების ტენდენცია. მიუხედავად ალბედოს შესამჩნევი შემცირებისა სენაკში და უმნიშვნელო ცვლილებებისა ანასეულში და სოხუმში, განპირობებულია არა ქვეფენილი ზედაპირიდან არეკლილი რადიაციის წლიური ჯამების ზრდით, არამედ მოკლეტალდიანი რადიაციული ბალანსის მეორე მდგრენელის – ჯამური რადიაციის შესაბამისი ცვლილებებით (შემცირებით) ღრუბლიანობის ცვლილებების შემცირების გავლენის შედეგად.



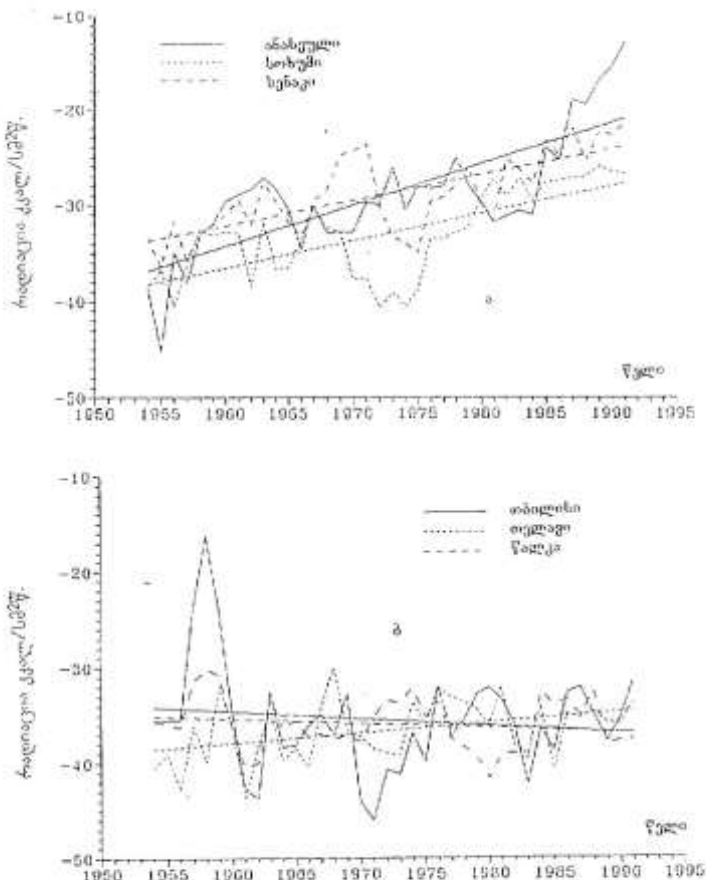
ნახ. 5.4. მოკლეტალდიანი რადიაციული ბალანსის  
წლიური ჯამების (კმ/წლ.) ცვლილება დასაცემთ  
(ა) და აცვისებულთ (ბ) საქართველოში 1954-1991  
წლებში (1-ბათუმი; 2-სოხუმი; 3-სენაკი; 4-თბილისი;  
5-ტბილისი; 6-ჭავჭავაძე)

ქვეფენილი ზედაპირის მოკლეტალდიანი რადიაციული ბალანსის სეზონური ჯამები წელიწადის თბილი (IV-IX) და ცივი (X-III) პერიოდებისათვის ძირითადად განიცდიდნენ შემ-

ცირებას (თბილისის გარდა, რომლისთვისაც თბილ პერიოდში აღინიშნა დადგებითი ტენდენცია – 0.083 კბალ/სმ<sup>2</sup> წელი). ჯამების შემცირების ინტენსივობა მეტია თბილი პერიოდისათვის ცივ პერიოდთან შედარებით უკელი სადგურზე, გარდა წალკისა, რომლისთვისაც ადგილი აქვს შებრუნებულ მოვლენას. იგი განპირობებულია ამ სადგურზე ცივ პერიოდში სეზონური თოვლის საფარის მეტი სანგრძლივობით (სხვა სადგურებთან შედარებით) და ალბედოს მაღალი მნიშვნელობით. თბილისისათვის სეზონური ჯამების ცვლილების დადგებითი ტენდენცია განპირობებულია ქვეყნილი ზედაპირის მოქლეებითი რადიაციული ბალანსის თვიური ჯამების ცვლილების დადგებითი ტენდენციებით (IV, VI, VII, VIII, IX). მოკლებალდიანი რადიაციული ბალანსის თვიური ჯამები (SBk) უარყოფითა შემთხვევების დიდი უმრავლესობისათვის, რამაც განაპირობა წლიური და სეზონური ჯამების ცვლილებების ანალოგიური ტენდენციები. SBk-ს ცვლილებების დადგებითი ტენდენცია აღინიშნა ზოგიერთ თვეში სოხუმში (III, IV), წალკაში, (VI, VII, IX), თბილისში (IV, VI, VII, VIII, IX), ნულოვანი ტენდენცია დაფიქსირდა სოხუმში (X).

გრძელტალდიანი რადიაციული ბალანსის წლიური ჯამების (SBg) ცვლილების ტენდენცია დასავლეთ საქართველოს სადგურებისათვის (ანასეული, სოხუმი, სენაკი) უარყოფითა. აღნიშნული პერიოდის განმავლობაში SBg მაქსიმალურად (15.0 კბალ/სმ<sup>2</sup>) შემცირდა ანასეულში, სოხუმში და სენაკში SBg-ს ვარდნის სიდიდემ შეადგინა შესაბამისად 10.0 და 9.0 კბალ/სმ<sup>2</sup> (ნახ.5.5).

აღმოსავლეთ საქართველოს სადგურებზე SBg-ს საუკუნეობრივ სვლას თბილისში და წალკაში აქვს დადებითი, ოელავში კი უარყოფითი ტენდენცია. ამასთანავე, მისი ცვლილებების დიაპაზონი ორივე შემთხვევისათვის გაცილებით ნაკლებია დასავლეთ საქართველოსთვის დაფიქსირებულ SBg-ს ცვლილებების დიაპაზონთან შედარებით. აღნიშნულ პერიოდში SBg-ზე საშუალოდ მოიმატა თბილისში 2.0 კბალ/სმ<sup>2</sup>-ით, ოელავში კი შემცირდა 4% კბალ/სმ<sup>2</sup>-ით (ნახ.5.5).



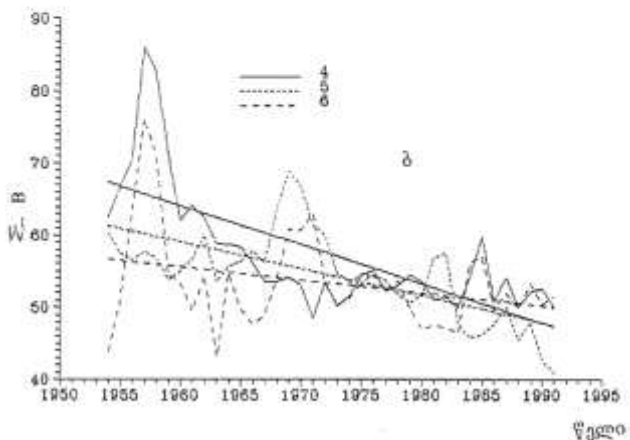
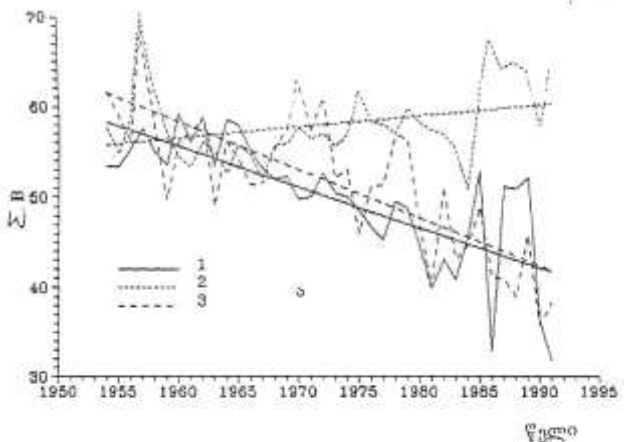
5.5 კონკრეტული მოძრავების მაღალი წლიური ჯამშის  
საფუძველი 1954 - 1991 წლებში  
ა) დანართული საქართველო  
ბ) მოძრავების საქართველო

გრძელტალღიანი რადიაციის ბალანსის წლიური ჯამების (ΣBg) ცვლილების ინტენსივობამ დასავლეთ საქართველოს საღგურებზე შესაბამისად შეადგინა ანასულ ში 0.427, სოხუმში 0.284, სენაკში 0.265 კკალ/სმ<sup>2</sup> წელი, აღმოსავლეთ საქართველოში თბილისსა და წალკაში, შესაბამისად, -0.077 და -0.049

კპალ/სმ<sup>2</sup>წელი, ხოლო თელავში – 0.107 კპალ/სმ<sup>2</sup> წელი. აღსანიშნავია, რომ დასავლეთ საქართველოს სადგურებზე წლიური და სეზონური (თბილი, ცივი პერიოდები) ჯამების ცვლილების ინტენსივობის ტენდენციებს აქვთ ერთი მიმართულება, აღმოსავლეთ საქართველოს სადგურ თელავშიც აღნიშნულია ანალოგიური მოვლენა, მაშინ, როდესაც თბილისში და წალკაში სეზონური ჯამების ცვლილების ინტენსივობის ტენდენციები თბილი და ცივი პერიოდისათვის არის ურთიერთსაწინააღმდეგო.

რადიაციული ბალანსი განსაზღვრავს ქვეთქნილი ზედაპირის ენერგეტიკულ პოტენციალს, და მისი ცვლილებების სიდიდის და ტენდენციის დადგენას ჰავის ცვლილების შესწავლის თვალსაზრისით აქვს განსაკუთრებული მნიშვნელობა. აღნიშნული პერიოდის განმავლობაში სენაკა და ანასეულში ადგილი პქონდა რადიაციული ბალანსის წლიური ჯამების (SB) შემცირებას, შესაბამისად, 20.0 და 13.0 კპალ/სმ<sup>2</sup>-ით, ხოსუმში კი ზრდას 8.0 კპალ/სმ<sup>2</sup>-ით, აღმოსავლეთ საქართველოს სადგურებზე – თბილისში, თელავში და წალკაში, SB-ს სიდიდეები, შესაბამისად, შემცირდა 20.0, 14.0 და 7.0 კპალ/სმ<sup>2</sup>-ით (ნახ. 5.6.).

ამრიგად განხილულ სადგურებზე (სოხუმის გარდა) როგორც აღმოსავლეთ, ისე დასავლეთ საქართველოში რადიაციული ბალანსის წლიური ჯამების ცვლილებების მიმართულება ემთხვევა ერთმანეთს: ადგილი აქვს SB-ს შემცირებას, სოხუმში SB იზრდება. წლიური ჯამების შემცირების ინტენსივობა (კპალ/სმ<sup>2</sup>წელი) მაქსიმალურია სენაკისათვის (0.531), მინიმალურია თბილისისათვის (-0.037). სოხუმში SB-ს ზრდის ინტენსივობა წლიური შეადგენს 0.191 კპალ/სმ<sup>2</sup>-ს. წელიწადის თბილი პერიოდისათვის სეზონური ჯამების ცვლილების ინტენსივობა აღემატება ცივი პერიოდისათვის მიღებულ ანალოგიურ სიდიდეებს ანასეულისათვის 3-ჯერ, სენაკისათვის 4-ჯერ, თბილისისათვის 5-ჯერ, თელავისათვის 2-ჯერ, წალკისათვის 1.3-ჯერ.



ნახ. 5.6. რადიაციული ბადანის წლიური ჯამშის  
ცვლილება (ქვად/სმ<sup>2</sup>) დასაცემი (ა) და ოღონისაცემი  
(ბ) საქართველოში (1-სასუკეთი; 2-სოსტეო; 3-სუნაქო;  
4-თბილისი; 5-თელავი; 6-ჭალე)

რადიაციული ნაკადების ცვლილება %-ში 38 წლის გან-  
მავლობაში (1954-1991წ) მოცემულია ცხრილში 5.3 (შედა-  
რებულია 1954 წლის აპროქსიმირებულ მნიშვნელობასთან).  
ამრიგად, ჩატარებული გამოკვლევები საშუალებას გვაძლევს  
გავაკეთოთ შემდეგი ძირითადი დასკვნები:

1954-1991 წლების განმავლობაში, მოდრუბლულობის საშუალო პირობებში, საქართველოში აღილი ჰქონდა ქვეფენილი ზედაპირის მოკლეტალდიანი რადიაციული ბალანსის წლიური ჯამების შემცირებას. დასავლეთ საქართველოში ჯამების მაქსიმალური შემცირება აღინიშნა ანასეულსა და სენაკში, მინიმალური – სოხუმში: აღმოსავლეთ საქართველოში ჯამების მაქსიმალური შემცირება აღინიშნა თელავსა და თბილისში, მინიმალური წალკაში.

აღნიშნულ პერიოდში გრძელტალდიანი რადიაციული ბალანსის (ეფექტური გამოსხივება) წლიური ჯამები შემცირდა დასავლეთ საქართველოში სამივე სადგურზე (ანასეული, სენაკი, სოხუმი) – მაქსიმალური შემცირება აღინიშნა ანასეულში. აღმოსავლეთ საქართველოში სადგურებზე თბილისი და თელავი ეფექტური გამოსხივების წლიური ჯამები უმნიშვნელოდ გაიზარდა, წალკაში კი ასევე უმნიშვნელოდ შემცირდა.

ქვეფენილი ზედაპირის რადიაციული ბალანსის (მოკლეტალდიანი რადიაციული ბალანსის და ეფექტური გამოსხივების ჯამი) წლიური ჯამების სიდიდე აღმოსავლეთ საქართველოს სამივე სადგურებზე შემცირდა (მაქსიმალურად თბილისში, მინიმალურად წალკაში). დასავლეთ საქართველოს სადგურებზე აღინიშნა რადიაციული ბალანსის წლიური ჯამების ცვლილების ურთიერთსაწინააღმდეგო ტენდენციები: სოხუმში ზრდა, სენაკში და ანასეულში შემცირება. რადიაციული ბალანსის წლიური ჯამების ცვლილების აღნიშნული ტენდენციები განაპირობა მისი კომპონენტების მოკლეტალდიანი რადიაციული ბალანსის და ეფექტური გამოსხივების აბსოლუტურმა სიდიდეებმა და ტენდენციებმა. აღმოსავლეთ საქართველოს სადგურებისთვის რადიაციული ბალანსის წლიური ჯამების სიდიდეების და ცვლილებების ტენდენციების ფორმირებაში მთავარი როლი ითამაშა მოკლეტალდიანი რადიაციული ბალანსის სიდიდეებმა (ეფექტური გამოსხივება შეიცვალა უმნიშვნელოდ) და ცვლილების ტენდენციებმა (შემცირებამ), რასაც მოყვა რადიაციული ბალანსის წლიური ჯამების შემცირება სამივე სადგურზე. დასავლეთ საქართველოს სადგურებზე (სენაკი და ანასეული) მოკლეტალდიანი რადიაციული ბალანსის წლიური ჯამების შემცირების სიდიდე და შემცი-

რების ტენდენცია ძირითადად განსაზღვრა გრძელტალღიანი რადიაციული ბალანსის (ეფექტური გამოსხივების) ცვლილების სიდიდემ და ზრდის ტენდენციამ, რის შედეგად რადიაციული ბალანსის წლიური ჯამები განსახილველი პერიოდის განმავლობაში საგრძნობლად დაეცა. სოხუმში კი აღნიშნულ პერიოდში მოკლეტალღიანი რადიაციული ბალანსი უმნიშვნელოდ შემცირდა, გრძელტალღიანი კი – მნიშვნელოვნად. ამან განაპირობა ქვეყნილი ზედაპირის რადიაციული ბალანსის წლიური ჯამების ზრდის ტენდენცია.

მოკლეტალღიანი რადიაციული ბალანსის სიდიდეების ფორმირებაზე და ცვლილებების ტენდენციებზე გარკვეული როლი ითამაშა ქვეფენილი ზედაპირის საშუალო წლიური ალბედოს ცვლილებების ტენდენციებმა. დასავლეთ საქართველოს სადგურებზე: ანასეული და სოხუმი, 1954-1991 წლების განმავლობაში ადგილი პქონდა ალბედოს უმნიშვნელო ზრდას, სენაკში კი – საგრძნობ შემცირებას, მაშინ როდესაც აღმოსავლეთ საქართველოს სამივე სადგურზე აღინიშნა ალბედოს ზრდის ტენდენციები მაქსიმუმით წალგაში და მინიმუმით თელავში.

### ლიტერატურა

1. Кондратьев К.Я. Радиационный баланс Земли, аэрозоль и облака. М., 1983.
2. Марчук Г.И., Кондратьев К.Я., Козодеров В.В. Энергоактивные зоны северной Атлантики, как проявление межгодовой изменчивости радиационного баланса. «Исследование Земли из космоса», 1984.
3. Кондратьев К.Я. Современный этап Радиационных исследований. Радиационная климатология и прикладные аспекты актинометрии. Иркутск, 1984.
4. Мосидзе Ш.В. Годовой ход прозрачности атмосферы в Тбилиси по актинометрическим наблюдениям 1914-1915 гг. Метеорологический вестник, №12, 1927.
5. Батыгина А.И. Фактор мутности земной поверхности для некоторых пунктов СССР, Тр. ГГО, т.1, 1934.
6. Цуцкиридзе Я.А. Наблюдения над рассеянной радиацией в Тбилиси 19 июня 1936г. во время затмения Солнца. «Техника да шрома», №3, Тбилиси, 1937.

7. Мосидзе Ш.В., Рухадзе П.А., Чхайдзе Ш.М., Векуа Л.В. Активно-метрическая характеристика курортов Бахмара, Шови, Сухуми, Абастумани, Ликани. Тр. ГГО, вып. 1(63), 1947.
8. Цуцкиридзе Я.А. Напряжение рассеянной радиации в Тбилиси. Тр. местных обсерваторий, вып. 1, 1947.
9. Берлянд Т.Г. Годовой ход суммарной радиации по данным фактических наблюдений. Тр. ГГО, вып. 48(110), 1954.
10. Кондратьев К.Я. Лучистая энергия Солнца. Гидрометеоиздат, Л., 1954.
11. Мосидзе Ш.В. Радиационный и тепловой баланс Тбилиси и его окрестностей. Тр. ТбилНИГМИ, вып. 1, 1956.
12. Радиационный баланс деятельной поверхности и методика его обработки. Тр. ГГО, вып. 61, 1956.
13. Мосидзе Ш.В. Радиационный и тепловой баланс Сухуми и его окрестностей. Тр. ТбилНИГМИ, вып. 2, 1957.
14. Мосидзе Ш.В. Радиационный в условиях высокогорной зоны Казбеги. Тр. ТбилНИГМИ, вып. 7, 1961.
15. Цуцкиридзе Я.А. Суммарная радиация в Тбилиси. Тр. ТбилНИГМИ, вып. 2, 1957.
16. Цуцкиридзе Я.А. Радиационный баланс под культурой чая в районе Анасеули. Тр. ТбилНИГМИ, вып. 2, 1957.
17. Цуцкиридзе Я.А. Режим солнечной радиации в Тбилиси. Тр. ТбилНИГМИ, вып. 2, 1957.
18. Цуцкиридзе Я.А. Альбедо некоторых культурных растений и других естественных поверхностей. Тр. ТбилНИГМИ, вып. 8, 1961.
19. Цуцкиридзе Я.А. Радиационные факторы климата Грузии. Тр. ТбилНИГМИ, вып. 10, 1962.
20. Цуцкиридзе Я.А. Солнечный кадастр Грузии. Тр. ТбилНИИГМИ, вып. 12, 1963.
21. Цуцкиридзе Я.А. Радиационный баланс территории Закавказья. Тр. ТбилНИГМИ, вып. 15(21), 1964.
22. Цуцкиридзе Я.А. Радиационный баланс зоны вечных снегов и ледников Центральной части Большого Кавказа. Тр. ТбилНИГМИ, вып. 20, 1966.
23. Цуцкиридзе Я.А. Радиационный и термический режимы территории Грузии. Гидрометеоиздат, Л., 1967.
24. Тавартиладзе К.А. О формуле для вычисления эффективного излучения. Сообщ. АНГССР. т. XXXIII, 1963.

25. Тавартиладзе К.А. Учет влияния высоты местности при вычислении эффективного излучения. Тр. ЗакНИГМИ, вып.35, 1970.
26. Тавартиладзе К.А., Гвасалия Н.В. Прозрачность атмосферы и её зависимость от ветра в условиях Тбилиси. Сообщ. АНГССР. т.73, №3, 1974.
27. Давитая Ф.Ф., Тавартиладзе К.А. Проблема борьбы с градобитием и морозами в субтропиках и другими стихийными бедствиями. «Мецниереба», Тбилиси, 1982.
28. Котария А.Ф. К вопросу о климатическом расчете суммарной радиации в условиях пересеченного рельефа Грузии. Сообщ. АНГССР. т.26, №2, 1961.
29. Котария А.Ф. К вопросу о распределении эффективного излучения на территории Грузии. Тр. ТГУ, т.231, Тбилиси, 1964.
30. Гвасалия Н.В. Тепловой баланс Грузии. Изд. «Мецниереба», Тбилиси, 1986.
31. Самукашвили Р.Д. Суммарная радиация на территории Кавказа. Тр. ВГИ, вып. 43, 1979.
32. Самукашвили Р.Д. Эффективное излучение и радиационный баланс на территории Кавказа. Тр. ВГИ, вып. 46, 1980.
33. Самукашвили Р.Д. Рассеянная радиация на Кавказе. Тр. ВГИ, вып. 46, 1980.
34. Асланиашвили Н.А. Вековой ход интенсивности прямой солнечной радиации. В кн. «Актинометрия и оптика атмосферы». Л., Гидрометеоиздат, 1969.
35. Асланиашвили Н.А. О вековом ходе солнечной радиации в Тбилиси. Тр. ЗакНИГМИ, вып.35, Л., 1970.
36. Шенгелия И.А. Моделирование спектрального радиационного поля на территории Западной Грузии. Сообщ. АНГССР, вып. 130, №1, 1988.
37. Шенгелия И.А. Распределение фотосинтетически активной радиации (ФАР) на территории Западной Грузии. Тр. ЗакНИИ, вып.90(97), 1990.
38. Гагуа В.П. К вопросу расчета спектральной рассеянной радиации на территории Грузии. Тр. ЗакНИИ, вып.54(60), 1977.
39. Долидзе Д.Ш. Фотосинтетически активная радиация (ФАР) в условиях Анасеули. Субтропические культуры, №5(133), 1974.

40. კ.თავართქილაძე, ი.შენგავაძია. პავის თანამედროვე ცვლილება საქართველოში. რადიაციული რეჟიმის ცვალებადობა. თბილისი, 1999.
41. Справочник по климату СССР, вып.14. Солнечная радиация, радиационный баланс и солнечное сияниею Л., Гидрометеоиздат, 1968.
42. Сванидзе Г.Г., Гагуа В.П., Сухишвили Э.В. Возобновляемые энергоресурсы Грузии. Л., Гидрометеоиздат, 1987.
43. Пивоварова З. И. Многолетние изменения интенсивности солнечной радиации по наблюдениям актинометрических станций. Тр. ГГО, вып. 223, 1968. ллю
44. Пивоварова З. И. Радиационные характеристики климата СССР. Гидрометеоиздат, Л., 1967.
45. Murinova G., Ostrozlik M. Variations of air temperature in the Tatra Mountains and the possible connection with geomagnetic activity. Contributions of the Geophysical Institute of the Slovak Academy of Sciences. Series of Meteorology, v.10, Bratislava, 1990.
46. Рубинштейн Е.С., Полозова Л.Г. Современное изменение климата. Гидрометеоиздат, Л., 1967.
47. Powell I. Change in amounts of sunshine in British Columbia, 1901–1960. – Quart. J. Roy. Meteor. Soc., v.91, №387, 1965.
48. Берлянд Т.Г. О вековом ходе продолжительности солнечного сияния на территории Великих равнин США. Тр. ГГО, вып.365, 1976.
49. Shmidt T., Koopen K., Shmidt F. On climate variations in Indonesia. Verh. №41, Kometerian perhubungan Djawadan Meteorologidan Geophisik. Djakarta, 1951.
50. Будыко М.И., Дроздов О.А. О применении осреднения в климатических исследованиях. Метеорология и гидрология, №10, 1966.
51. Дроздов О.А., Рубинштейн Е.С. Что следует называть климатологическими нормами? Изв. АН СССР, сер. геогр., №1, 1966.

## თავი 6.

### ნიადაგის ზედაპირის ტემატიკურული გელი

#### და მისი ცვალებადობა საქართველოში

ბუნება, რომელიც ცალკეული კომპონენტებისაგან შედგება, წარმოადგენს ერთ მთლიან სისტემას, სადაც ურთულეს ფიზიკურ, ქიმიურ და ბიოლოგიურ პროცესებს მზე-აგრძოსფერო-დედამიწის ენერგეტიკული მდგომარეობა განაპირობებს. მის კომპონენტებს შორის (რელიეფი, კლიმატი, წყალი, ნიადაგი, მცენარეული საფარი და ცხოველთა სამყარო) მჭიდრო ურთიერთკავშირები არსებობს. ერთის შეცვლა იწვევს მეორის შეცვლას, მეორის შეცვლა გავლენას ახდენს სხვებზე და ა.შ. მაგალითად, ჰავის ცვლილებას, რომლისთვისაც ათეული წლებიც საკმარისია, მოსდევეს წყლის ბალანსის შეცვლა, შემდეგ ფლორისა და ა.შ. აღსანიშნავია, რომ ნიადაგის ბუნებრივ ცვლილებას ათასეული წლები ესაჭიროება, მაშინ როცა ანთროპოგენური ფაქტორების შედეგად შესაძლებელია მისი ფიზიკური თვისებების, პირველყოფლისა ტემპერატურული გელის მკვეთრი ცვლილება დროის მოკლე პერიოდში. ეს კი, თავის მხრივ გავლენას მოახდენს მთელ რიგ ატმოსფერულ პროცესებზე [1,9].

საქართველოს ჰავის ცვლილების ენერგო-ბალანსური მოდელის შექმნისათვის, ერთ-ერთი მნიშვნელოვანი წინაპირობაა ქვეყნის ზედაპირის, კერძოდ, მისი ყველაზე მგრძნობიარე ფენის – ნიადაგის ზედაპირის ტემპერატურული გელის შესწავლა. ამ საკითხს ეძღვნება წინამდებარე თავი, რომლის მიზანია საქართველოში ნიადაგის ზედაპირის ტემპერატურაზე მრავალ წლიურ დაკვირვებათა მონაცემების სრულყოფილი ანალიზი, ქვეყნის ზედაპირის თერმული რეჟიმის დადგენა, მისი ცვლილების განსაზღვრა უკანასკნელ ათწლეულებში და მონაცემთა ბაზის შექმნა, რომელიც შემდგომში უნერგო-ბალანსური მოდელის ასაგებად იქნება გამოყენებული.

#### 6.1. ნიადაგის ზედაპირის ტემპერატურული გელის რეჟიმი საქართველოში

საქართველოში ნიადაგის ტემპერატურული რეჟიმის შესწავლისადმი მიძღვნილი გამოკვლევები საკმაოდ მცირერიცხოვანია, მათ შორის მნიშვნელოვანია შ. გაგაშელის საქართველოს, და განსაკუთრებით, კოლხეთის დაბლობის ნიადაგების თერმული რეჟიმის გამოკვლევა [10,11] და, აგრეთვე, მ.

კორძახიას ნაშრომი “საქართველოს პავა” [2]. 1960 წლამდე მონაცემებით, მთელი საქართველოსათვის, შედგენილია ნიადაგის ზედაპირის ტემპერატურის განაწილების რამოდენიმე რუკა აპრილის, ივლისისა და ოქტომბრის თვეებისათვის [12]. რაც შეეხება ნიადაგის ზედაპირის ტემპერატურის დროში ცვლილებას, იგი დღემდე თითქმის შეუსწავლელია.

ნიადაგის ზედაპირის ტემპერატურა იზომება ნიადაგის ვერცხლისწყლის თერმომეტრით, რომელიც თავსდება ჰორიზონტალურად ისე, რომ მისი რეზერვუარი ნახევრად ჩაფლულ მდგომარეობაშია ნიადაგის სწორ, მოშიშვლებულ (მცენარეებისაგან თავისუფალ) ზედაპირზე. დღისით, მოწმენდილი ცის პირობებში, თერმომეტრის რეზერვუარი ენერგიას დეტულობს უშუალოდ მზისგან. რადგან ნიადაგისა და რეზერვუარის შთანთქვის უნარი სხვადასხვაა, ფაქტიურ და გაზომილ ტემპერატურებს შორის მნიშვნელოვანი განსხვავება მიიღება [13].

ნიადაგის ტემპერატურის გასაზომად, მინის რეზერვუარიანი თერმომეტრებისაგან განსხვავებით, გაცილებით ზუსტია ელექტრული თერმომეტრები. მაგრამ, ასეთი თერმომეტრები მხოლოდ ბოლო პერიოდში დაინერგა ჰიდრომეტელში და მათი მონაცემები კლიმატის ცვლილების შეფასებისას შეიძლება გამოვიყენოთ მხოლოდ რეზერვუარიანი თერმომეტრების გაზომვის სიზუსტის შესაფასებლად. ასეთი შეფასებების შედეგად [13-17] დადგინდა, რომ დღისით, განსაკუთრებით მოწმენდილი ცის შემთხვევაში, გაზომვის ცდომილებამ რამდენიმე გრადუსს შეიძლება მიაღწიოს. რეზერვუარიანი თერმომეტრები უდრუბლო ცის დროს, დღისით ფაქტიურად შედარებით ნაკლებ ტემპერატურას უჩვენებენ. 1958 წელს, თბილისის ობსერვატორიის მეტეოროლოგიურ მოედანზე ნიადაგის ზედაპირის მინის რეზერვუარიანი თერმომეტრები შედარებულ იქნა ნიადაგის ზედაპირის თერმოელექტრულ თვითმწერის მონაცემებს, რომელიც გაზომვის მაღალი სიზუსტით გამოირჩევა [13]. ორი თვის მანძილზე დღე-დამის განმავლობაში ყოველ ნახევარ საათში ერთდღროულად ხდებოდა ანათვლების ადება ნიადაგის ზედაპირის სამ თერმომეტრზე და მათი საშუალო მნიშვნელობა შედარებულ იქნა თერმოელექტრული თვითმწერის მონაცემებს. აღმოჩნდა, რომ დღე-დამის განმავლობაში მათ შორის განსხვავება მხოლოდ დღისით

აღინიშნებოდა მოწმენდილი ცის, ან მცირე მოდრუბლულობის დროს. თერმომეტრები საშუალოდ  $1.0^{\circ}\text{C}$ -მდე ნაკლებს უჩვენებდნენ, ვიდრე თერმოელექტრული თვითმწერი. მოდრუბლული ცის დროს და დამის განმავლობაში მათ შორის განსხვავება უმნიშვნელო იყო.

გარდა მიკროკლიმატური პირობების განმსაზღვრელი ფაქტორებისა, ნიადაგის ტემპერატურულ რეჟიმზე დიდ გავლენას ახდენს ნიადაგის სტრუქტურა და, განსაკუთრებით, მისი მინერალური შემადგენლობა. მათი ერთდროული მოქმედება ნიადაგის ზედაპირის ტემპერატურაზე უაღრესად როცელია, და ამიტომაც მისი მხოლოდ მიახლოებით განსაზღვრა თუ შეიძლება.

დღე-დამის განმავლობაში ნიადაგის ზედაპირი განიცდის ტემპერატურის მეტ რყევას, ვიდრე მას მინიმალური და მაქსიმალური თერმომეტრები აღრიცხავენ. გამოჩენილმა რუსმა კლიმატოლოგმა ა. ვოეკოვმა შენიშნა, რომ რელიეფის ფორმაც დიდ გავლენას ახდენს ტემპერატურის დღე-დამურ ამპლიტუდაზე. მან გამოიკვლია, რომ ნიადაგის ჩაზნექილ ზედაპირებზე ტემპერატურის ამპლიტუდა უფრო დიდია, ვიდრე ამზნექილ ზედაპირზე. თუმცა აღნიშნული კანონზომიერებანი დრუბლიანობამ მნიშვნელოვნად შეიძლება დაარღვიოს. თუ ცამთელი დღე-დამის განმავლობაში დრუბლების სქელი ფენით არის დაფარული, ამპლიტუდა თითქმის უმნიშვნელოა. გასათვალისწინებელია ქარის მიმართულებისა და სიჩქარის ფაქტორებიც. საქართველოს ტერიტორიაზე მისი გავლენა ყველგან ერთნაირი არ არის. მაგალითად, რიონის ხეობაში, გაზაფხულზე აღმოსავლეთის ქარების (ფიონების) დროს ნიადაგის ზედაპირის ტემპერატურა მაღლა იწევს რამოდენიმე გრადუსით, ხოლო დასავლეთის ქარების დროს პირიქით. ქარის მიმართულებასთან და მის სიჩქარესთან მიმართებაში, ნიადაგის ზედაპირის ტემპერატურის ცვლილება და მასთან დაკავშირებული ამპლიტუდები უფრო ლოკალური ცირკულაციური პროცესებით აიხსნება. თუმცა, ადგილობრივი კლიმატის შესწავლისას, მათ დიდი მნიშვნელობა ენიჭებათ.

ნიადაგის ზედაპირის თერმული რეჟიმის შესწავლა, უწყვეტი ზედაპირული თერმული ველის აგება და მისი დროში ცვლილების დადგენა, საქართველოს რთული ფიზიკურ-გეოგ-

რაფიული პირობების გამო, დიდ სირთულეს წარმოადგენს. ამ სირთულეს განაპირობებს საქართველოში 30-მდე განსხვავებული ტიპის ნიადაგის არსებობა, ნიადაგის ტემპერატურაზე დაკვირვების გრძელვადიანი მონაცემების სიმცირე და არსებული მონაცემების არაერთგვაროვნება. ერთგვაროვნების შემოწმება და გამოტოვებული პერიოდების აღდგენა ჩვენს მიერ განხორციელდა შემთხვევითი ფუნქციის ორთოგონალურ მდგრენელებად დაშლის მეთოდის და მიწისპირა ჰაერის ტემპერატურების გამოყენებით [3]. აღდგენის სიზუსტე თითქმის ყოველთვის 95%-ზე მაღალი იყო, რაც ნიადაგის ზედაპირისა და ჰაერის ტემპერატურებს შორის მაღალმა კორელაციურმა ქავშირებმა განაპირობა.

საქართველოს უმეტეს ტერიტორიაზე, წლის ყველა სეზონში, ნიადაგის ზედაპირის საკმაოდ მაღალი ტემპერატურები აღინიშნება. გამოთვლებმა გვიჩვენა, რომ მთელი საქართველოს ნიადაგის ზედაპირის საშუალო ტემპერატურა  $12.2^{\circ}\text{C}$ -ია და იგი თითქმის ორი გრადუსით მეტია მიწისპირა ჰაერის ტემპერატურაზე ( $10.3^{\circ}\text{C}$ ). შესაბამისი წლის თრთქლის დრეგადობის (10.3 მბ) და ფარდობითი სინოტივის (74%) პირობებში.

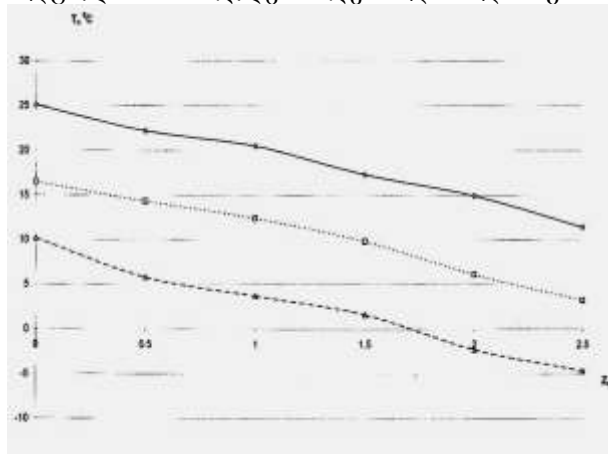
ნიადაგის ზედაპირის თერმული რეჟიმის შესასწავლად და დროში მისი ცვლილების დასადგენად გამოყენებულია 1954-1991 წლების პერიოდის დაკვირვებათა მონაცემები (ცხრილი 6.1) საქართველოს ტერიტორიაზე არსებული 88 მეტეოსადგურისათვის. ცხრილში 6.2 მოცემულია აშნიშნული სადგურებისათვის თვის, წლის და ცივი და თბილი სეზონების ნიადაგის ზედაპირის საშუალო ტემპერატურები 1954-1991 წლებისათვის. წლის განმავლობაში ნიადაგის ზედაპირის ტემპერატურა მკვეთრად იცვლება ერთი მაქსიმუმით (იცლისში) და ერთი მინიმუმით იანვარში მისი განაწილება საქართველოს ტერიტორიაზე ჰაერის ტემპერატურის განაწილების ანალოგიურია. ყველაზე მაღალი ტემპერატურა დაიკვირვება კოლხეთის დაბლობსა და შავიზღვისპირა ზონაში, განსაკუთრებით აფხაზეთში (ლესელიძეში ნიადაგის საშუალო წლიური ტემპერატურა  $17.1^{\circ}\text{C}$ -ია), ასევე მტკვრისა და ალაზნის ნაპირების გასწვრივ. აღმოსავლეთ საქართველოში ყველაზე მაღალი საშუალო წლიური ტემპერატურა აღინიშნება გარდაბანში ( $16.3^{\circ}\text{C}$ ).

საქართველო ტიპიური მთიანი ქაფეანაა. ტერიტორიის ნახევარზე მეტს მთები შეადგენენ. ზღვის დონიდან სიმაღლეები 0-დან 5000 მეტრამდე იცვლება. აქედან გამომდინარე, იგი კერტიკალური ნიადაგობრივ-კლიმატური ზონებისა და ქერზონების მრავალსახეობის კლასიკურ მაგალითს წარმოადგენს.

ნიადაგის ზედაპირის ტემპერატურის ცვლილება სიმაღლის მიხედვით როგორც საშუალო წლიური, ასევე თბილი და ცივი სეზონებისათვის წარმოდგენილია ნახ. 6.1. როგორც ნახაზიდან ჩანს ნიადაგის ზედაპირის ტემპერატურის ცვლილება ძაღილის სიმაღლის მიხედვით თბილი და ცივი სეზონებისათვის სტაბილურია და განიცდის ყოველ 100 მეტრზე შემცირებას  $0.57^{\circ}\text{C}$ -ით. საშუალო წლიური ტემპერატურებისათვის ანალიზურად ეს კავშირი შეიძლება გამოისახოს განტოლებით:

$$T_0 = 16.44 - 5.69z_0$$

სადაც  $z_0$  ადგილის სიმაღლეა ზღვის დონიდან კმ-ში.



ნახ. 6.1. ნიადაგის ზედაპირის ტემპერატურის ცვლილება სიმაღლის მიხედვით ( $\Delta$  - ცივი სეზონი;  $\square$  - საშუალო სეზონი;  $\diamond$  - თბილი სეზონი)

**ცხრილი 6.1.ნიადაგის ზედაპირის ტემპერატურა (°C)**

მეტეო სადაცური	სი- მადლე ნულის დო- ნიდან მ-ზი	ოვენციალი														
		I	II	III	IV	V	VI	VII	VIII	IX	X	XI	XII	I-XII	X-III	IV- IX
1	2	3	4	5	6	7	8	9	10	11	12	13	14	15	16	17
აბასთუმანი	1265	-6.5	-5.1	1.2	10.2	16.1	19.8	23.9	23.4	17.4	9.2	2.2	-3.7	9.0	-0.5	18.4
ამბროლაური	544	-1.6	0.3	6.0	13.3	19.6	23.8	27.3	25.8	20.3	12.6	5.9	0.4	12.8	3.9	21.7
ანასეკული	158	3.6	4.2	7.6	14.1	19.4	23.3	24.8	24.4	20.7	15.1	10.1	5.5	14.4	7.7	21.1
ახალქალაქი	1716	-7.8	-5.9	-1.4	7.6	13.7	18.5	22.9	21.6	16.2	8.3	0.8	-5.1	7.5	-1.8	16.8
ახალციხე	982	-3.9	-1.5	4.8	12.8	18.6	22.8	26.9	25.5	19.6	11.7	4.3	-1.8	11.9	2.7	21.0
ახმეტა	567	0.5	2.0	7.0	14.4	20.1	24.9	28.6	27.0	21.5	14.1	7.4	2.1	14.1	5.5	22.8
ბათუმი	2	5.3	6.3	8.9	14.5	20.4	25.0	26.5	25.6	21.9	16.2	10.8	7.2	15.7	9.1	22.3
ბარისახო	1325	-5.8	-3.8	0.8	8.1	13.2	17.0	20.2	19.5	14.7	8.3	2.1	-3.6	7.6	-0.3	15.5
ბათქარო	1926	-7.4	-6.7	-4.6	-0.6	6.9	14.5	17.5	16.6	11.8	4.7	-1.6	-5.6	3.8	-3.5	11.1
ბოლნისი	534	0.8	2.8	8.3	15.5	21.9	27.0	31.3	29.7	23.5	15.1	7.7	2.5	15.5	6.2	24.8
ბორჯომი	789	-30.	-1.7	4.5	12.0	16.9	20.9	24.3	23.8	18.0	10.3	4.6	-1.4	10.8	2.2	19.3
გაგრის ქედი	1644	-5.7	-5.5	-3.4	1.4	11.9	16.7	19.2	18.1	13.3	6.9	0.4	-3.7	5.8	-1.8	13.4
გაღი	63	4.0	5.5	8.7	14.1	20.0	24.1	25.9	25.5	21.3	15.3	9.6	5.5	14.9	8.1	21.8
გარდაბანი	300	1.0	3.4	9.0	16.7	23.4	28.3	32.2	30.8	24.3	15.9	8.2	2.5	16.3	6.7	25.9
გორი	588	-0.9	1.0	6.4	13.4	18.8	23.4	26.8	25.8	20.6	12.7	5.7	0.9	12.9	4.3	21.4
გუდაური	2194	-9.8	-8.9	-5.4	-1.0	6.9	14.0	17.2	16.6	11.5	4.0	-2.5	-8.8	2.8	-5.2	10.9
გურჯაანი	415	0.8	2.8	7.7	15.5	22.1	26.9	30.3	28.5	22.8	14.7	7.7	2.3	15.2	6.0	24.3
დამბი	25	2.9	3.7	8.0	14.9	20.9	25.1	27.7	27.0	21.9	14.9	9.1	5.0	15.1	7.3	22.9
დმანისი	1256	-2.7	-1.4	2.9	10.5	16.2	21.0	24.6	23.3	18.0	11.1	4.4	-0.4	10.6	2.3	18.9
დუშეთი	922	-2.6	-1.3	3.7	11.3	17.1	21.5	24.9	23.6	18.3	10.8	4.4	-0.9	10.9	2.4	19.4
ეკრემოვაძა	2112	-11.2	-10.0	-6.2	1.6	10.5	15.6	20.4	19.4	13.4	6.1	-2.0	-7.6	4.2	-5.2	13.5
ზეგანი	117	3.6	4.8	7.8	13.7	19.1	23.0	24.9	24.7	20.6	14.4	9.4	5.4	14.3	7.6	21.0
თბილისი	403	0.8	2.8	8.0	15.8	22.1	26.9	30.7	29.0	22.8	14.2	6.9	2.2	15.2	5.8	24.6

1	2	3	4	5	6	7	8	9	10	11	12	13	14	15	16	17
თელავი	568	0.3	1.8	6.8	14.3	20.3	24.9	28.9	27.4	21.6	14.0	7.1	2.0	14.1	5.3	22.9
თიანეთი	1099	-4.9	-3.3	2.2	11.0	17.1	21.7	25.1	23.6	18.2	10.6	3.6	-2.6	10.2	0.9	19.5
გარეახი	1863	-8.9	-7.3	-2.4	5.9	11.7	16.1	20.6	19.6	14.2	6.9	0.3	-4.6	6.0	-2.7	14.7
ლაგოდები	435	1.0	2.8	7.8	15.2	21.0	25.9	29.8	28.1	22.4	15.0	8.3	3.0	15.0	6.3	23.6
ლათა	299	1.1	2.9	7.3	13.6	19.2	23.1	25.6	24.4	19.4	13.1	7.6	2.8	13.3	5.8	20.9
ლესეპლიძე	6	4.3	6.0	9.6	16.1	23.2	28.5	31.2	30.0	24.0	16.0	10.0	5.8	17.1	8.6	25.5
შესტია	1441	-7.6	-6.1	-1.8	6.9	13.5	17.5	21.0	19.5	14.0	7.1	0.6	-5.5	6.6	-2.2	15.4
მუხრანი	550	-0.5	1.4	7.0	14.3	20.4	25.2	28.8	27.4	21.4	13.4	5.9	1.2	13.8	4.7	22.9
ონი	788	-2.7	-1.2	4.0	11.8	17.1	21.6	25.2	24.2	18.4	11.1	4.4	-0.8	11.1	2.5	19.7
რადიონოვა	2100	-10.1	-9.5	-5.3	3.2	10.3	14.5	18.7	17.7	12.2	5.1	-1.7	-7.3	4.0	-4.8	12.8
სამტრედია	25	4.0	4.9	8.9	15.1	21.1	25.4	27.4	26.8	22.1	15.7	9.8	5.8	15.6	8.2	23.0
საქართველო	148	2.0	3.3	8.1	15.1	21.3	25.8	28.4	27.7	22.4	15.2	8.8	4.2	15.2	6.9	23.4
სოხუმი	116	4.4	5.6	8.9	14.5	20.3	25.3	27.7	27.2	21.9	15.6	10.0	6.3	15.6	8.5	22.8
ტყიბული	535	-0.1	0.6	4.8	12.5	18.6	22.2	24.3	24.0	19.8	12.7	6.5	1.8	12.3	4.4	20.2
ფასანაური	1074	-4.7	-2.9	2.5	10.6	16.3	20.8	24.0	23.0	17.7	10.5	3.7	-2.2	10.0	1.2	18.7
ჭოთი	3	4.7	6.0	9.9	15.7	22.1	26.7	28.0	27.3	22.6	16.3	10.5	6.2	16.3	8.9	23.7
ჭიქეთი	685	-3.3	-2.0	2.2	11.4	18.6	22.7	25.5	23.8	18.0	11.1	4.4	-1.1	10.9	1.9	20.0
ქვეზანი	266	3.8	4.8	7.5	13.6	19.4	22.6	24.1	24.5	20.4	14.3	9.7	5.5	14.2	7.6	20.8
კვარცლი	449	1.2	2.7	7.6	14.9	21.0	25.6	29.1	28.2	22.0	14.6	7.8	2.6	14.8	6.1	23.5
შირაქი	555	-1.4	0.4	6.0	14.4	21.5	26.3	29.6	28.0	21.1	12.8	5.6	0.5	13.7	4.0	23.5
ჩაქვი	30	4.7	5.6	8.6	14.5	20.3	24.8	26.3	25.7	21.8	16.2	10.6	6.5	15.5	8.7	22.2
სენაკი	40	4.5	5.7	9.1	15.2	21.6	25.6	27.4	27.3	22.5	16.3	10.7	6.4	16.0	8.8	23.3
ცხინვალი	862	-1.9	-0.6	5.1	12.7	18.8	23.4	26.6	25.5	19.9	12.2	5.1	0.3	12.3	3.4	21.1
წალკა	1457	-5.2	-4.2	0.5	9.4	15.0	19.2	23.0	21.7	15.8	8.7	2.0	-3.2	8.5	-0.3	17.3
წილა	637	-1.4	-0.7	3.8	11.7	17.5	22.2	24.7	24.5	19.4	11.8	5.6	0.5	11.6	3.3	20.0
ხაშუ	730	-2.4	-0.6	5.0	13.4	19.8	23.4	26.7	25.5	19.7	11.9	4.1	-0.3	12.2	2.9	21.4
ხეოთა	29	5.5	6.8	9.9	15.6	21.5	26.1	27.4	27.2	22.3	15.8	11.0	6.7	16.3	9.3	23.4
ხულო	823	-1.1	-0.8	3.5	12.7	18.8	22.9	25.5	25.0	19.9	13.1	6.1	0.9	12.2	3.6	20.8
ჯავა	1109	-4.3	-3.3	2.0	10.9	17.3	21.9	25.8	24.7	18.3	10.7	3.9	-2.1	10.5	1.2	19.8

მეტი თვალსაჩინოებისთვის, საქართველოს ნიადაგის ზედაპირის ტემპერატურის რიცხობრივი მაჩვენებლები როგორც დასავლეთ, ისე აღმოსავლეთ საქართველოს სხვადასხვა რეგიონისათვის, ნიადაგობრივ-კლიმატური ვერტიკალური ზონალობის გათვალისწინებით წარმოდგენილია ცხრილებში 6.2 და 6.3. ვერტიკალური ზონების ფართობები აღებულია შრომიდან [18].

ნიადაგის ზედაპირის ტემპერატურა ზღვიდან დაშორებასთან ერთად, ლისის ქედამდე (ხეთა-სენაკის მიდამოების გარდა) თითქმის ყველგან მცირდება. ყველაზე დაბალ მნიშვნელობას იგი აღწევს სამხრეთ საქართველოს მთიანეთში, კერძოდ ჯავახეთის ზეგანზე. ეს ტერიტორია ჩვენი ქვეენის ყველაზე ცივი მხარეა და მას “საქართველოს ციმბირსაც” უწოდებენ [4]. მეტეოსადგური ეფრემოვგა (H=2112მ), რომელიც ამ რეგიონში მდებარეობს, 80მ-ით დაბლაა კავკასიონის სამხრეთაღმოსავლეთ ფერდობზე მდებარე გუდაურთან შედარებით, მაგრამ 14.4°C-ით ცივია მასზე. იგი მიეკუთვნება ცივი მთა-მდელოს ნიადაგურ-კლიმატურ ზონას, რომელიც მე-6 ვერტიკალურ სიმაღლებრივ ზონაშია მოთავსებული (ცხრილი 6.3)

ნოტიო სუბტროპიკული ზონის, კოლხეთის დაბლობის (0-200გ) საერთო ფართობი დაახლოებით 7600 კმ<sup>2</sup>-ს აღემატება. 3176 კმ<sup>2</sup> უჭირავს ყვითელმიწებსა და ყვითელმიწა-ეწერ ნიადაგებს; დაახლოებით 2258 კმ<sup>2</sup>- წითელმიწებსა და წითელმიწა-ეწერ ნიადაგებს; ჭაობის ტორფიან და ლებიან ნიადაგებს, ერთად აღებულს, კი – 2010 კმ<sup>2</sup> [19]. აქ ნიადაგის ზედაპირის საშუალო წლიური ტემპერატურა 14-დან 17°C-მდე მერყეობს, იანვრის 3-დან 5°C-მდე, ხოლო ივლისის 25-დან 32°C-მდე (ცხრილი 6.2).

აღსანიშნავია, რომ კოლხეთის ჭაობიანი ნიადაგების გავრცელებას ხელს უწყობს ადგილის ზედაპირის ვაკიანობა, ჭაობი ატმოსფერული ნალექები, მაღალი სინოტივე და სხვ. მაღალი ჰუმურის შემცველობის გამო ნიადაგს მუქი ფერი აქვს და, შესაბამისად მცირე ალებედო, რაც ხელს უწყობს სითბოს დიდი რაოდენობით შთანთქმას და მის აკუმულაციას ნიადაგში.

დაბლობის მოსაზღვრე მთისწინეთში (201-400 მ) ჭაობის ნიადაგები ნაკლებად არის გავრცელებული. აქ იანვრის ტემ-

პერატურა 1-დან 4°C-მდე მერყეობს, ივლისისა 24-დან 28°C-მდე, ხოლო წლიური -13-დან 15°C-მდე (ცხრილი 6.2)

ცხრილი 6.2.ნიადაგის ზედაპირის ტემპერატურისა და ფართობების განაწილება სიმაღლის მიხედვით დასავლეთ საქართველოში

ვერტიკალური ზონები მ-ში	ნიადაგ-კლიმატური ზონები	ფართობი კმ <sup>2</sup>	იანვარი T°C დან-მდე		ივლისი T°C დან-მდე		წლიური T°C დან-მდე
0-200	თბილი	7673.2	3	5	25	32	14
201-400	ნოტიო	2464.5	1	4	24	28	13
401-600	სუბტროპიკული	2104.6	-2	2	24	29	12
601-1000	ზომიერად	4209.8	-4	2	23	26	10
1001-1400	თბილი	4144.7	-6	-5	19	24	7
1401-1800	მთა-ტყის	4028.6	-8	-6	19	22	6
1801-2200	ზომიერად	3594.3	-7	-	18	-	4
2201-2600	ცივი მთა-ტყის	2434.3					

ცხრილი 6.3.ნიადაგის ზედაპირის ტემპერატურისა და ფართობების განაწილება სიმაღლის მიხედვით აღმოსავლეთ საქართველოში

ვერტიკალური ზონები მ-ში	ნიადაგ-კლიმატური ზონები	ფართობი კმ <sup>2</sup>	იანვარი T°C დან-მდე		ივლისი T°C დან-მდე		წლიური T°C დან-მდე
201-400	თბილი, შედარებით მშრალი სუბტროპიკული	3405.7	0	2	31	32	16
401-600	მშრალი სუბტროპიკული	4245.1	-2	0	27	31	12
601-1000	ზომიერად	7671.3	-4	0	25	29	10
1001-1400	თბილი მთა-ტყის	5851.7	-7	-3	21	26	8
1401-1800	5708.1	-9	-6	18	23	5	8
1801-2200	ზომიერად	4651.7	-12	-9	18	22	3
2201-2600	ცივი მთა-ტყის	2933.8	-14	-13	14	17	0

დასავლეთ საქართველოს მთა-ტყის ზონა მოიცავს დიდ ტერიტორიას საშუალო მთიან სარტყელში. აქ ნიადაგის ძირითადი ტიპი ყომრალი ნიადაგებია. ნიადაგის ზედაპირის საშუალო ტემპერატურა იანვარში -8°C-მდე ეცემა, ივლისის 22°C-ს აღწევს, ხოლო წლიური 7°C-ს შეადგენს. აღსანიშნავია, რომ აღმოსავლეთ საქართველოში იმავე ვერტიკალურ ზონაში

ნიადაგის ზედაპირის ტემპერატურა იანვარში  $1^{\circ}\text{C}$ -ით ნაკლებია, ხოლო ივლისში საშუალოდ  $1^{\circ}\text{C}$ -ით მეტია, ვიდრე დასავლეთ საქართველოში, რაც მის მეტ კონტინენტურობაზე მიუთითებს.

მთა-მდელოს ნიადაგების გავრცელების არეალია სუბალბური და ალპური ზონა. დასავლეთ საქართველოს ნოტიო სუბტროპიკებისაგან განსხვავებით, აღმოსავლეთ საქართველოში მშრალი სუბტროპიკები მოიცავს შიდა და ქვემო ქართლის ვაკეებს, იორის ზეგანსა და ალაზნის დაბლობს 201-დან 600-მდე. როგორც უკვე აღინიშნა, აქ, იანვრის საშუალო ტემპერატურა  $1-1.5$  გრადუსით ნაკლებია, ვიდრე დასავლეთ საქართველოს ნოტიო სუბტროპიკების შესაბამის ვერტიკალურ ზონაში, საშუალო წლიური ტემპერატურა კი მეტია  $2-3$  გრადუსით, ზაფხულის მაღალი ტემპერატურების გამო (ცხრილი 6.3).

მაღალი თერმული რეჟიმით ხასიათდება აღმოსავლეთ საქართველოს ყავისფერი, შავმიწა, რუხი-ყავისფერი, მურა და დამლაშებული ნიადაგები. ეს უკანასკნელი განვითარებულია ალაზნის ველზე, იქ სადაც ნახევრად უდაბნოს ლანდშაფტებსაც კი ვხვდებით [5,20].

აღმოსავლეთ საქართველოს ზომიერად თბილი მთა-ტყის ზონას დიდი ფართობი უკავია როგორც ჩრდილოეთ, ასევე სამხრეთ კავკასიონის მთის შეა და ზედა ნაწილში. აქ ზედაპირის ტემპერატურა მერყეობს  $-4^{\circ}\text{C}$ -დან  $-9^{\circ}\text{C}$ -მდე იანვარში და  $18^{\circ}\text{C}$ -დან  $29^{\circ}\text{C}$ -მდე ივლისში (ცხრილი 6.3)

აღმოსავლეთ საქართველოს ზონებიდან განსაკუთრებულ ყურადღებას იქცევს სამხრეთ საქართველოს ნიადაგები, სადაც უმეტესად გავრცელებულია მთის შავმიწები, რომლებიც 1500-2200 მ სიმაღლეზე მდებარეობენ. აქ ნიადაგის ზედაპირის ტემპერატურა წლის ცივ პერიოდში ძალზე დაბალია, იანვარში  $-12^{\circ}\text{C}$ -ზე დაბლაც კი ეცემა.

მთებში ინტენსიურად მიმდინარეობს ერთზიული პროცესები, ყოველწლიურად იზრდება საშიში ბუნებრივი პროცესების სიხშირე და ინტენსივობა. წინათ ტყით დაფარული ადგილები ახლა მოლიანად უტყეო და მოშიშვლებულია. თუ როგორ შემცირდა ტყის ფართობები, ამისათვის საკმარისია დაგასახლოთ XVIII საუკუნის ცნობილი ქართველი გეოგრაფის ვახუშტი ბაგრატიონის ფუნდამენტური შრომა [6] სა-

დაც ის იმერეთს (საერთოდ მთელ კოლხეთს) ახასიათებს როგორც ძალზედ ტყიანს.

1950-1985 წლებში, სასოფლო-სამეურნეო სავარგულებმა დიდი ცვლილება განიცადა სხვადასხვა ხარისხის ეროვნის, წიაღისეული რესურსების დია წესით მოპოვების, წყალდიდობების და სხვა მიზეზების გამო [4,7,8,20,21] ასევე დიდ ცვლილებებს განიცდის საქართველოს შავი ზღვის სანაპიროც [22].

## 6.2. ნიადაგის ზედაპირის ტემპერატურული ველის

### ცვალებადობა

წინა პარაგრაფში აღნიშნული პროცესები რადიკალურად ცვლიან ქვეფენილი ზედაპირების თერმულ რეჟიმს. როგორც უკვე აღინიშნა, საქართველო დიდ ანთროპოგენურ ზეგავლენას განიცდის. ამიტომაც, ასეთ პატარა ტერიტორიაზე, ქვეფენილი ზედაპირების მრავალფეროვნებასთან და აღნიშნულ ცვლილებებთან დაკავშირებით, ნიადაგის ზედაპირს განსხვავებული ტემპერატურები გააჩნია, ხოლო მათ დროში ვარიაციებს სხვადასხვა სიჩქარე და მიმართულება აქვთ. ეს კარგად ჩანს ჩვენს მიერ შედგენილი ნიადაგის ზედაპირის ტემპერატურის ცვლილების რუკებიდანაც (ნახ. 6.2-6), რომლებიც აიგო იანვრის, ივლისის, წლიური, თბილი (IV-IX) და ცივი (X-III) პერიოდების ტემპერატურათა ცვლილებების მიხედვით.

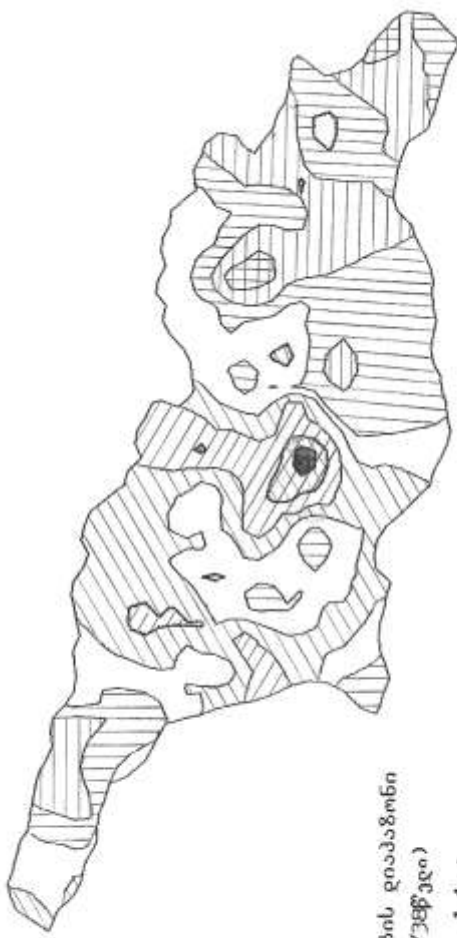
ნიადაგის ტემპერატურული ველის ცვლილებების გამო-სავლენად გამოყენებული იქნა ორი კრიტერიუმი: პირველი – 1973-91 და 1954-72 წლების ნიადაგის ტემპერატურის ანომალიათა შორის არსებული სხვაობები ( $\Delta T = T_{1973/91} - T_{1954/72}$ ) და მეორე – ნიადაგის ტემპერატურის ანომალიათა ვარიაციების წრფივი აპროქსიმაცია, რომელიც დაკვირვების მთელ პერიოდს (1954-1991) მოიცავს.

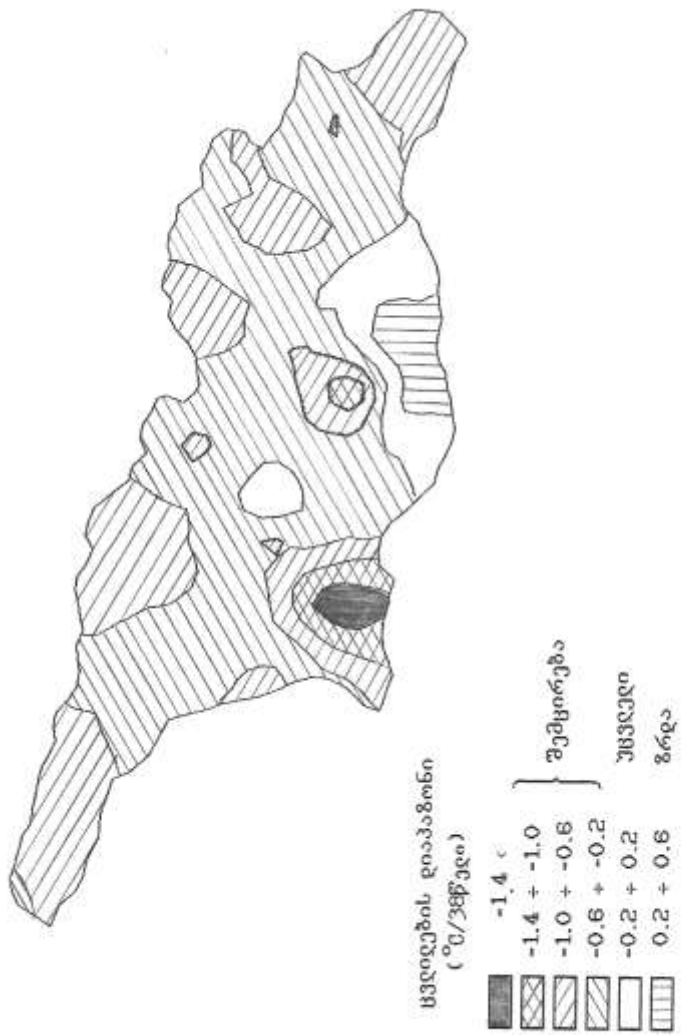
ပေါ်လျှော့မြတ်စွာများ၊ ပေါ်လျှော့မြတ်စွာများ၊ ပေါ်လျှော့မြတ်စွာများ၊ ပေါ်လျှော့မြတ်စွာများ၊ ပေါ်လျှော့မြတ်စွာများ၊

1.0 >  
0.6 + 1.0  
0.2 + 0.6  
-0.2 + 0.2  
-0.6 + -0.2  
-1.0 + -1.0  
-1.4 >

သင်္ကာရီ  
သင်္ကာရီ  
သင်္ကာရီ  
သင်္ကာရီ  
သင်္ကာရီ  
သင်္ကာရီ  
သင်္ကာရီ

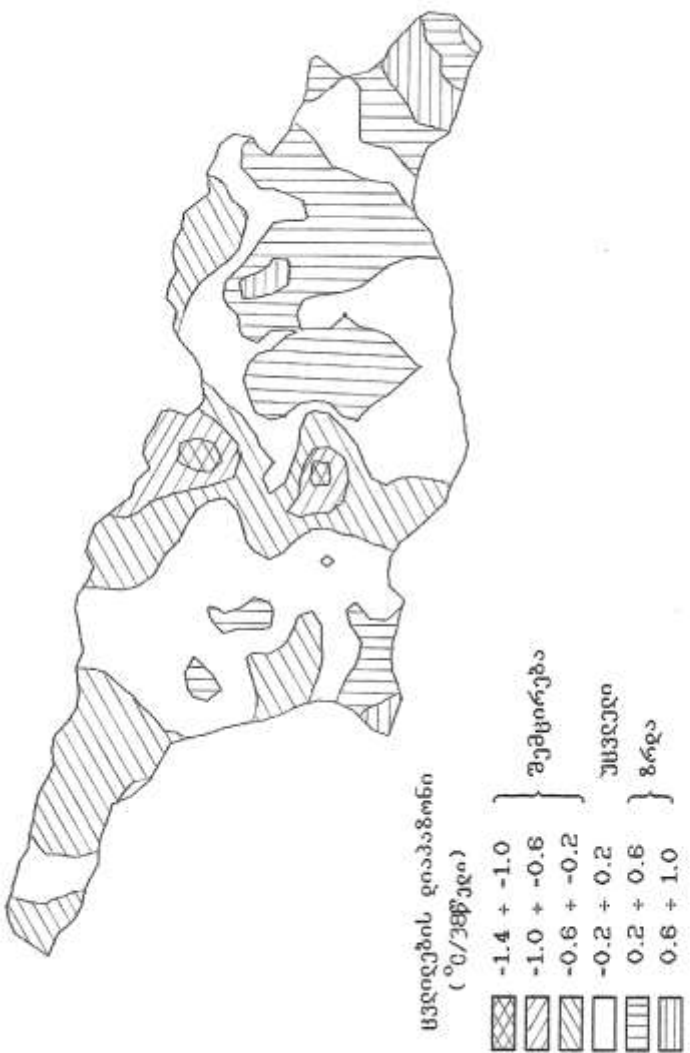
(၁၇/၂၅၂၆၀)

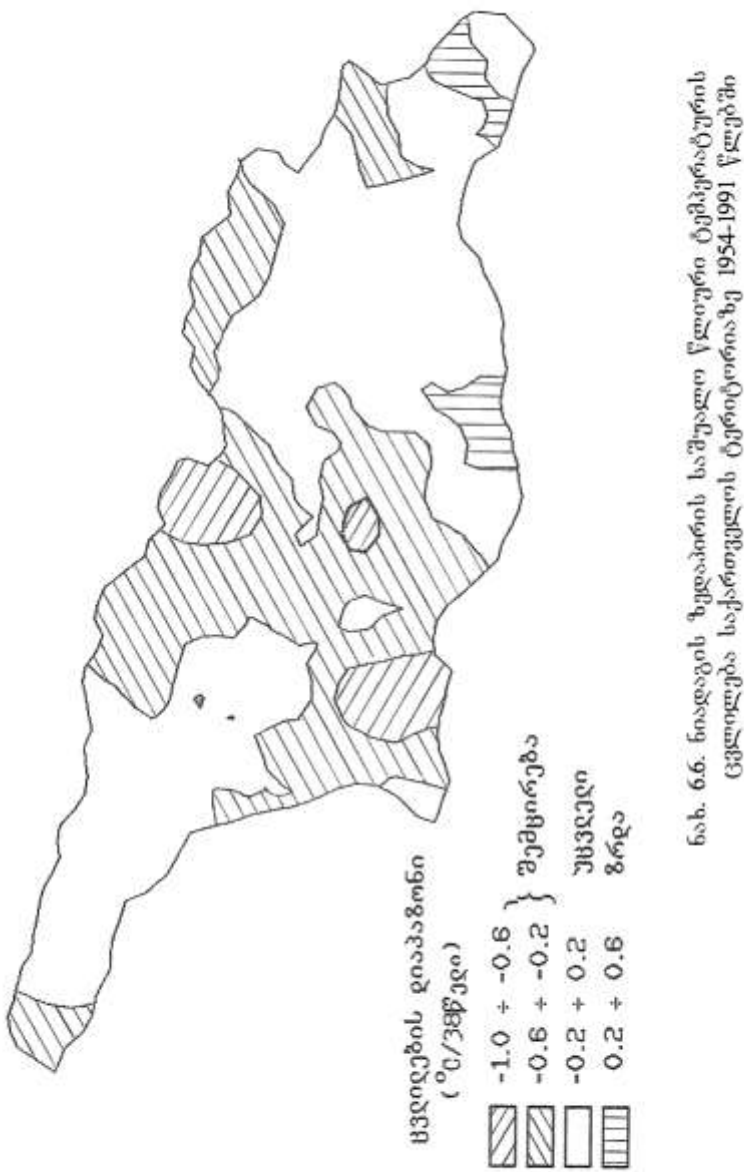




სახ. 64. ნიკედონის ზეპირიაულების გადაფარვის  
საფუძველი და სუბსტრუქციული განვითარების  
მასშტაბი და სუბსტრუქციული განვითარების  
მასშტაბი 1954-1991 წლებში

Fig. 65. Encyrtidae. *Encyrtus* sp. (Hymenoptera-Hymenoidea) from *Diaphorina citri* (Homoptera-Aleyrodoidea) collected at *Citrus* orchard, *Yunnan*, China, 1954. *Yunnan* province.



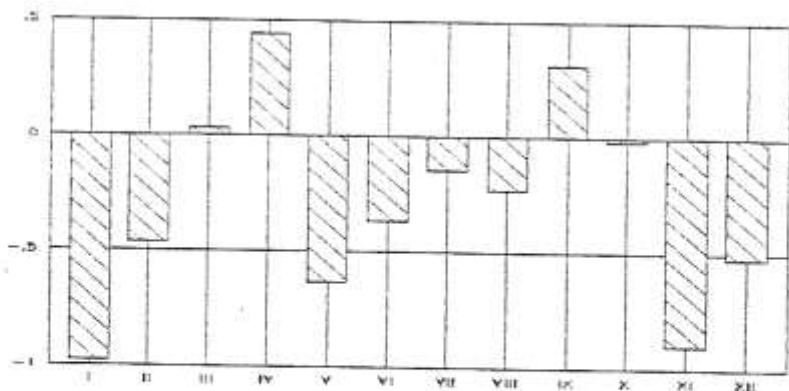


1973-91 და 1954-72 წლების პერიოდებს შორის სხვაობები გვიჩვენებს, რომ ნიადაგის ზედაპირის ტემპერატურა კლებულობს საქართველოს მთელ ტერიტორიაზე. ეს კლება შეიმჩნევა ნოემბრიდან მოყოლებული თებერვლის ჩათვლით, განსაკუთრებით იანვარსა და ნოემბერში, როდესაც ტემპერატურათა სხვაობამ 1°C-ს მიაღწია. აღსანიშნავია, რომ აპრილსა და ნაწილობრივ სექტემბრის თვეში ტემპერატურა უმნიშვნელოდ, მაგრამ მაინც მატულობს (ნახ. 6.7). კლების ასეთივე სურათი გვაქს, როდესაც ნიადაგის ზედაპირის ტემპერატურის ცვლილების ანომალიები გამოივლილია, ახლა უკვე, 1954-1991 წლების პერიოდისათვის. ცვლილების დადებით ანომალიებს აქაც ადგილი აქვს ასევე აპრილსა და ივლისის თვეში (ნახ. 6.8). ეს კიდევ ერთხელ ადასტურებს ჩვენი გამოივლების საფუძველზე მიღებული დასკვნის სისწორეს, იმის შესახებ, რომ ნიადაგის ზედაპირის ტემპერატურა კლებულობს მთელს საქართველოში. თითქმის ყველა თვეში, აპრილის და სექტემბრის გარდა.

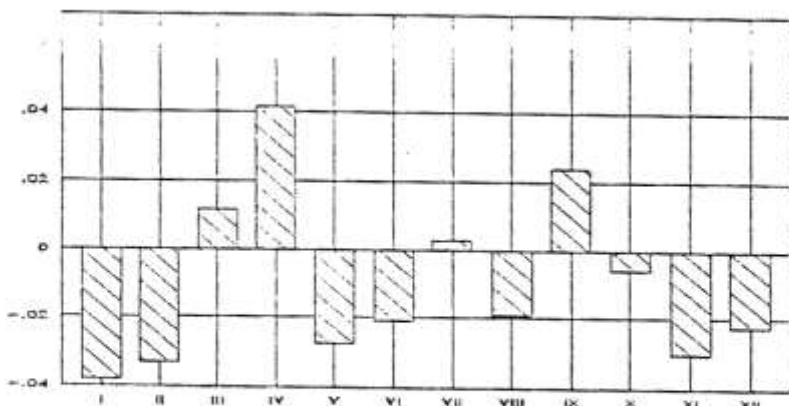
ნიადაგის ზედაპირის ტემპერატურის ცვლილების ყველაზე მკვეთრი ანომალიებით, როგორც კლების, ისე ზრდის თვალსაზრისით, შირაქი (მაქსიმალური ანომალიები ზრდის მიმართულებით) და ონი (მინიმალური ანომალიები კლების მიმართულებით) გამოირჩევა (ნახ. 6.9). როგორც ნახაზიდან ჩანს, ონში ნიადაგის ზედაპირის ტემპერატურა შესამჩნევად კლებულობს წლის თბილ პერიოდში, (განსაკუთრებით მაისში) და კლების საშუალო სიჩქარე ყოველწლიურად – 0.12°C-ს შეადგენს. ასეთი პროცესი დამახასიათებელია თითქმის მთელი დასავლეთ საქართველოსათვის, მხოლოდ ნაკლები ინტენსიურობით. რაც შეეხება აღმოსავლეთ საქართველოში, ნიადაგის ზედაპირის ტემპერატურის ცვლილებას, აქ, იგი თითქმის შეუმჩნეველია და მაქსიმალური ზრდის სიჩქარე (შირაქში) წელიწადში 0.05°C-ს არ აჭარბებს.

ჩვენს მიერ დადგენილი კანონზომიერება კიდევ ერთხელ დასტურდება ნიადაგის ზედაპირის საშუალო წლიური ტემპერატურის მსვლელობიდანაც. დასავლეთ საქართველოში, რომელიც ამ შემთხვევაში წარმოდგენილია 3 მეტეოსადგურის (სოხუმის, სენაკის და ანასეულის) მონაცემებით, შეიმჩნევა ტემ-

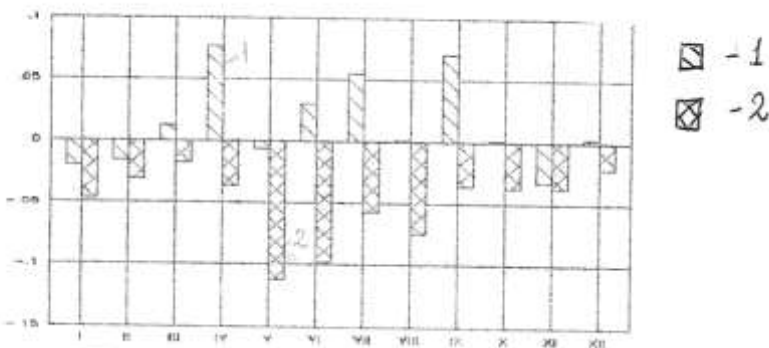
პერატურის კლების ტენდენცია შავი ზღვის სანაპირო ზოლში,  
კერძოდ, სოხუმისა და ანასეულის მიმდებარე ტერიტორიაზე.



ნახ. 6.7 ნიადაგის ზედაპირის 1973-91 და 1954-72 წლების  
საშუალო წლიური ტემპერატურების სხვაობები  
თვეების მიხედვით



ნახ. 6.8. ნიადაგის ზედაპირის ტემპერატურის ანომალიები  
1954-91 წლებში თვეების მიხედვით



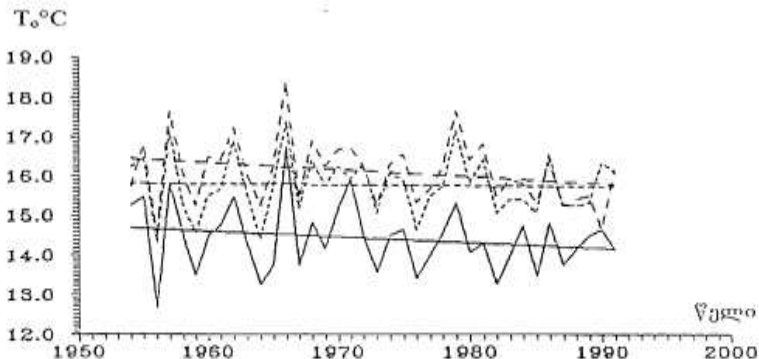
ნახ. 6.9. ნიადაგის ზედაპირის ტემპერატურის  
მაქსიმალური (1-შირაქი) და მინიმალური (2-ონი)  
ანომალიები თვეების მიხედვით 1954-91წლების  
მონაცემებით

ზღვიდან ცოტა დაშორებით, მაგალითად სენაკში, ეს მაჩვენებელი მრავალწლიური ნორმის [19,23] ფარგლებშია, ე.ი. მის საუკუნეობრივ სფლაში არც მატების და არც კლების ტენდენცია არ აღინიშნება (ნახ. 6.10).

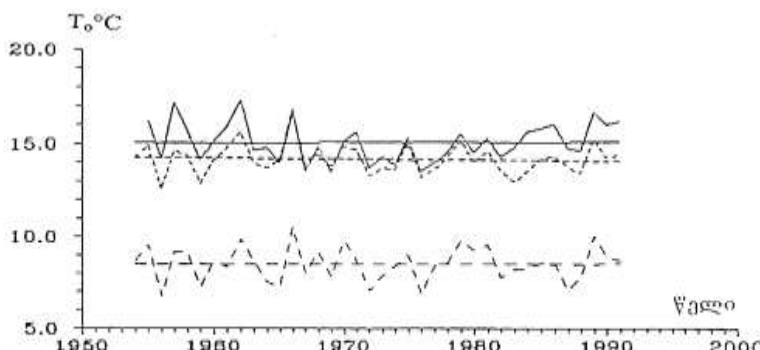
აღმოსავლეთ საქართველოში საკვლევი ელემენტის ცვლილება ნაკლები ინტენსიურობითაა გამოხატული, რასაც აღმოსავლეთ საქართველოს სამი პუნქტისათვის (თბილისი, თელავი, წალკა) ნიადაგის ზედაპირის საშუალო წლიური ტემპერატურის ცვლილება გვიჩვენებს (ნახ. 6.11) იგივე პერიოდისათვის.

ნახაზზე 6.12 მოცემულია ნიადაგის ზედაპირის საშუალო წლიური ტემპერატურის საუკუნეობრივი მსვლელობები საქართველოს ტერიტორიაზე დაკვირვების იმ პუნქტებისათვის, რომლებიც ყველაზე ნაკლები შემცირებით (ონი) და ზრდით (დმანისი) ხასიათდებიან. ნახაზზე დატანილია მრუდები, რომლებიც აგებულია მოცემული წერტილების მესამე რიგის პოლინომითი აპროქსიმაციით. მიუხედავად იმისა, რომ მათ

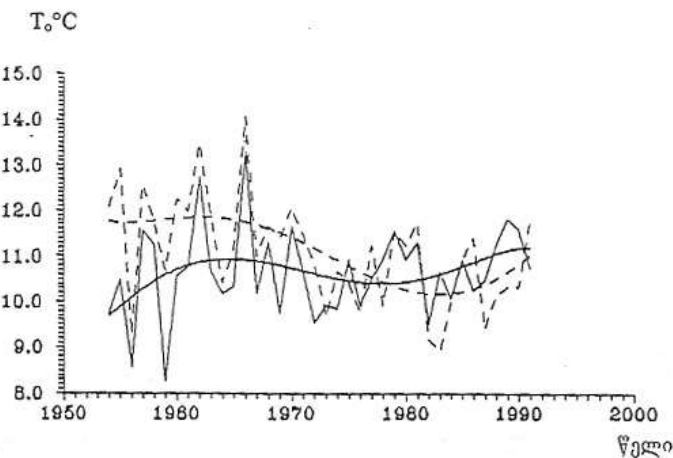
საქართველოს ტერიტორიაზე ცვლილების ყველაზე მკვეთრად გამოხატული ურთიერთსაწინააღმდეგო ტენდენციები გააჩნიათ, მოკლეპერიოდიანი ვარიაციების გამორიცხვის შემდეგ, ისინი თითქმის სინქრონულობით ხასიათდებიან და ამავე დროს მათი მსვლელობები თვალისათვალივ მიუთითებს ტემპერატურის ცვლილებაში ციკლური პროცესების არსებობაზე.



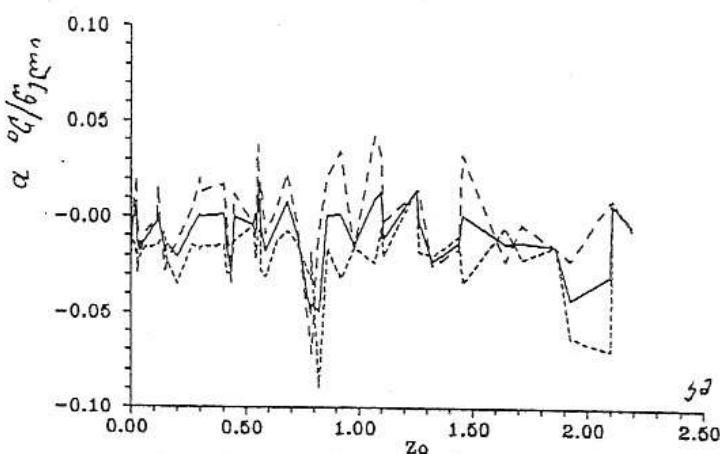
ნახ. 6.10. ნიადაგის ზედაპირის საშუალო წლიური ტემპერატურის ცვლილება 1954-91 წლებში დასავლეთ საქართველოს სამი პუნქტისათვის  
(— ანასეული, - - - სოხუმი, ..... სენაკი)



ნახ. 6.11. ნიადაგის ზედაპირის საშუალო წლიური ტემპერატურის ცვლილება 1954-91 წლებში აღმოსავლეთ საქართველოს სამი პუნქტისათვის  
(— თბილისი, - - - თელავი, ..... ჭალა)



ნახ. 6.12. ნიადაგის ზედაპირის საშუალო წლიური  
ტემპერატურის ცვლილება ყველაზე მკვეთრად გამოხატული  
ზრდის (— დმანისი) და შემცირების (- - ონი)



ნახ. 6.13. a კოეფიციენტის ცვლილება სიმაღლის მიხედვით  
(— საშუალო წლიურ; - - თბილი სეზონი; .....ცივი სეზონი)

აღსანიშნავია, რომ ისევე როგორც პაერის ტემპერატურის დროს, ნიადაგის ზედაპირის ტემპერატურის მრავალწლიური ცვლილების ამპლიტუდა სიმაღლის მიხედვით არ იცვლება. ეს ნათლად ჩანს ნახაზიდან 6.13, რომელზედაც დატანილია დაკვირვების ყველა სადგურისათვის ნიადაგის ზედაპირის მრავალწლიური საშუალო ცვლილების (ცხრ. 6.2) სიდიდეები, სიმაღლის მიხედვით.

ნიადაგის ზედაპირის ტემპერატურაზე არსებული ემპირიული მასალების სრულყოფის შემდეგ, განისაზღვრა საქართველოს ტერიტორიაზე დისკრეტულ წერტილებში ტემპერატურის დროში ცვლილების მიმართულებები და სიდიდეები. ასევე, კომპიუტერის მიერ მატრიცული მოგლუვების მეთოდით აიგო ნიადაგის ზედაპირის ტემპერატურის განაწილების უწყვეტი ველები.

ამრიგად, გლობალური კლიმატის საერთო დათბობის ფონზე, საკვლევ პერიოდში, დასავლეთ საქართველოს უმეტეს ტერიტორიაზე ნიადაგის ზედაპირის ტემპერატურა  $0.1\text{--}0.3^{\circ}\text{C}$ -ით კლებულობს, თუმცა პპრილსა და სექტემბერში შეიმჩნევა მისი მატებაც. რაც შეეხება აღმოსავლეთ საქართველოს, აქ, ეს მაჩვენებელი პრაქტიკულად მრავალწლიური ნორმის ფარგლებშია.

## ლიტერატურა

- დ. მუმლაძე. ბუნების კომპონენტები და მათი ეკოლოგიური ასპექტები. ეკონ. ურთიერთ. ობილ. სახელ. ინსტიტუტის შრომები. ტომი1. ობილისი, 1997.
- მ. კორძახია. საქართველოს ჰავა. ობილისი, 1961.
- კ-თავართქილაძე, ე-ელიზბარაშვილი, დ.მუმლაძე, ჯ.ვაჩნაძე. საქართველოს მიწისპირა ტემპერატურული გელის ცვლილების ემპირიული მოდელი. ობილისი, 1999.
- დ. მუმლაძე. საქართველოს კლიმატის ოანამედროვე ცვლილება. ობილისი, 1991.
- საქართველოს სსრ ნიადაგების რუკა. ობილისი, 1984.
- ვახუშტი. აღწერა სამეცნისა საქართველოსა (საქართველოს გეოგრაფია). ობილისი, 1941.

7. 6. ელიზაბარაშვილი, ნ.ჯდენტი საქართველოს ზოგიერთი ეკოლოგიური პრობლემა. ექონ. ურთიერთ. თბილ. სახელ. ინსტიტუტის შრომები. ტომი 1. თბილისი, 1997.
8. ვ. ჯამშვილი. საქართველოს სოციალურ-ეკონომიკური გათვალისწინებულებები. თბილისი, 1996.
9. Давитая Ф.Ф. Климатические нормы и взаимосвязь различных природных факторов. Мет. и Гид. №3, 1966.
10. Гавашели Ш.Г. Температура почвы на Колхидской низменности. Труды ЗакНИГМИ, вып. 28(34), 1956.
11. Гавашели Ш.Г. Температура почвы. Труды ЗакНИГМИ, вып. 44(50), 1971.
12. Атлас Грузинской ССР. Тбилиси-Москва, . 1964.
13. Тавартиладзе К.А. Термоэлектрический самописец температуры почвы. Тр. ЗакНИГМИ, вып. 7, 1960.
14. Айзенштат Б.А. Прибор для регистрации температуры поверхности почвы – надпочвенный термограф. Тр. ТГО, вып. 7(8), 1958.
15. Воробьев И.Е. Некоторые данные измерения температуры поверхности почвы различными методами. Тр. ГГО, вып. 52(114), 1955.
16. Куалин Н.Я., Чижевская А.Ф. Погрешность изменения температуры поверхности почвы ртутными термометрами. Тр. ГГО, вып. 86, 1958.
17. Куганов М.А., Чудновский А.Ф. Прибор для изменения температуры поверхности. Тр. АФИ, вып.5, 1952.
18. Владимиров Л.А., Апхазава И.С. и др. К гипсометрии речных бассейнов Грузии. Сообщ. АН ГССР, т. XXVIII, №4, 1962.
19. Почвы. В кн.: Колхидская низменность. Л., Гидрометеоиздат, 1989.
20. Уклеба Д.Б. Антропогенные ландшафты Грузии и их классификация. В сб.: Человек и природа в географической науке., Тбилиси, 1981.
21. Природные ресурсы Грузии и проблемы их рационального использования. Тбилиси, 1991.
22. Зенкович В.П., Кикнадзе А.Г. Изучение морских берегов Грузии. В сб.: Человек и природа в географической науке. Тбилиси, 1981.
23. Климатический справочник СССР. Тбилиси, 1965.

თავართქილაძე კუპური ანდროს ძე  
ბეგალიშვილი ნოდარი ალექსანდრეს ძე  
ხარჩილავა ჯუმბერი თომას ძე  
მუმლაძე დალი გიორგის ასული  
ამირანაშვილი ავთანდილი გიორგის ძე  
ვაჩნაძე ჯემალი ირაკლის ძე  
შენგელია ირაკლი აბესალომის ძე  
ამირანაშვილი ვაჟა ავთანდილის ძე

**ISBN 99928-885-4-7**

© ჰიდრომეტეოროლოგიის ინსტიტუტი

აიწყო ჰიდრომეტეოროლოგიის ინსტიტუტი

ქომპიუტერული დიზაინი      ა.გიორგიშვილი  
დამკაბადონებელი      ნ.არუთინიანი

დაისტამბა ბაქურ სულაკაურის გამომცემლობის სტამბაში

გამოიცა ავტორთა ხარჯით

ტირაჟი 500 ეგზ.



ჰიდრომეტეოროლოგიის ინსტიტუტი  
**INSTITUTE OF HYDROMETEOROLOGY**  
**ИНСТИТУТ ГИДРОМЕТЕОРОЛОГИИ**

**თბილისი – TBILISI - ТБИЛИСИ**  
2006